

АКАДЕМИЯ НАУК СОЮЗА ССР

# ЖУРНАЛ ФИЗИЧЕСКОЙ ХИМИИ

ТОМ  
XXIX

11

ВЫПУСК

НОЯБРЬ  
1955

---

---

ИЗДАТЕЛЬСТВО АКАДЕМИИ НАУК СССР  
МОСКВА

# ЖУРНАЛ ФИЗИЧЕСКОЙ ХИМИИ

*Редакционная коллегия:*

В. Я. АНОСОВ, К. В. АСТАХОВ, А. И. БРОДСКИЙ, Г. К. БОРЕСКОВ,  
Я. И. ГЕРАСИМОВ, С. В. ГОРБАЧЕВ, Г. С. ЖДАНОВ, Н. А. ИЗГАРЫШЕВ,  
Л. А. НИКОЛАЕВ, Н. Н. СЕМЕНОВ, А. Н. ТЕРЕНИН, А. Н. ФРУМКИН,  
К. В. ЧМУТОВ

*Главный редактор* Я. И. ГЕРАСИМОВ

*Заместители главного редактора* С. В. ГОРБАЧЕВ, К. В. ЧМУТОВ

*Отв. секретарь* Л. А. НИКОЛАЕВ



## СПЕКТРЫ ПОГЛОЩЕНИЯ ПРОИЗВОДНЫХ ТРИАЗИНА В УЛЬТРАФИОЛЕТОВОЙ ОБЛАСТИ

*А. И. Финкельштейн и В. И. Заграничный*

Литературные данные по спектрам поглощения в ультрафиолетовой области производных симметричного триамина очень ограничены. Наиболее подробно изучены спектры поглощения меламина (2,4,6-триаминотриазин) и циануровой кислоты [1—4] (2,4,6-триокситриазин) в связи с исследованием таутомерии этих молекул в растворе.

Так, в работе [1] показано, что циануровая кислота в водном растворе существует в виде двух таутомерных форм (окси- и оксоформы). В щелочном растворе преобладает первая из этих форм, в кислом — вторая. Аналогично для меламина было установлено [2], что в кислой среде он находится в аминной форме, а в щелочной — в иминной. Константа диссоциации меламина как основания была определена равной  $1,1 \cdot 10^{-9}$  [3].

При исследовании спектров поглощения меламина и его производных [4] была обнаружена полоса в области 2800—3400 Å, наличие которой, по мнению авторов [4], указывает на аналогичное в строении меламина и бензола.

В настоящей работе приводятся спектры поглощения несимметричных производных триамина\* — аммелина (2,4-диамин-6-окситриазин) и аммелида (2-амино-4,6-диокситриазин), а также спектры поглощения продуктов термического разложения меламина.

Исследование производилось при помощи кварцевого спектрографа Q-12. В качестве источника света использовалась ртутная лампа ПРК-2, дающая значительный и большое число слабых линий в области 220—400 мμ. Интенсивные линии ртути не использовались, так как всегда давали на снимках почернения, попадавшие в область исследования.

Для ослабления света использовался секторный диск переменного раскрытия. Интенсивность поглощения определялась визуальным сравнением по методу «точек равного почернения». Для расчета использовался закон Бугера — Бара

$$I = I_0 \cdot 10^{-kcd},$$

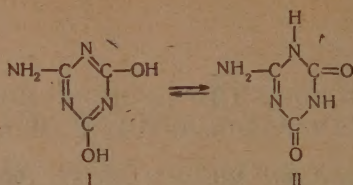
где  $I$  и  $I_0$  — интенсивность света, прошедшего через слой вещества и падающего на поверхность вещества,  $k$  — коэффициент поглощения,  $c$  — концентрация,  $d$  — толщина слоя. В качестве примера на рис. 1 приводится спектр поглощения аммелина в 1% NaOH с отметкой точек равного почернения.

Кривые спектрального поглощения аммелина и аммелида приведены на рис. 2 и 3.

Как видно из сопоставления рис. 2, 3 и 4, общий характер спектров поглощения аммелина и аммелида аналогичен меламину и циануровой кислоте, что свидетельствует о близости молекулярного строения. Зависимость характера спектров поглощения от кислотности среды в данном случае аналогична меламину и циануровой кислоте. Это может быть связано наличием таутомерных форм. В случае аммелида изменение характера

\* Аммелин и аммелид были получены В. Г. Григоровой гидролизом меламина с разделением этих продуктов дробным осаждением с перекристаллизацией. Анализ азот дал для аммелина 54,7% (вычислено 55,1%), для аммелида 43,7% (вычислено 43,0%). Некоторые образцы аммелина и аммелида представлены нам Г. В. Заваровым.

спектра поглощения в зависимости от кислотности среды подобно изменению, наблюдающемуся в случае диануровой кислоты, что, помимо, указывает на наличие таутомерного равновесия:



Значительный интерес представляет исследование спектров поглощения продуктов термического разложения (дезаминирования) меламина, поскольку вопрос о молекулярном строении этих соединений является со-

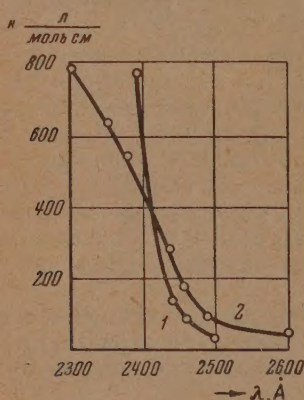


Рис. 2. Спектры поглощения аммелина. 1 — в кислой среде (2% HCl); 2 — в щелочной среде (5% NaOH)

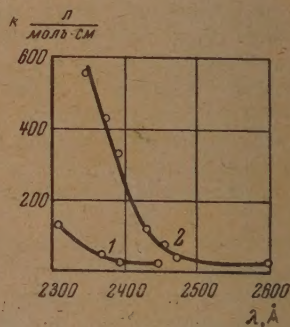
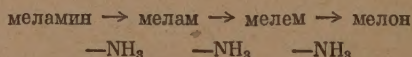


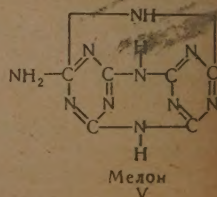
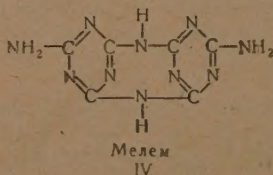
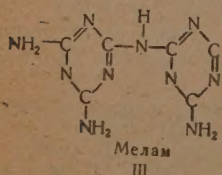
Рис. 3. Спектры поглощения аммелида. 1 — в кислой среде (2% HCl); 2 — в щелочной среде (5% NaOH)

вершенно открытым. Обычно считают, что термическое разложение идет по схеме:



Согласно этой схеме первым продуктом термического разложения меламина является мелам. Другим методом его получения является разложение триоцианата аммония при температуре 300°C. При этом одновременно получается мелем, который отделяется от мелама путем растворения последнего в горячем концентрированном растворе KOH [5].

Молекулярное строение мелама, мелама и мелона обычно [6] изображают формулами:





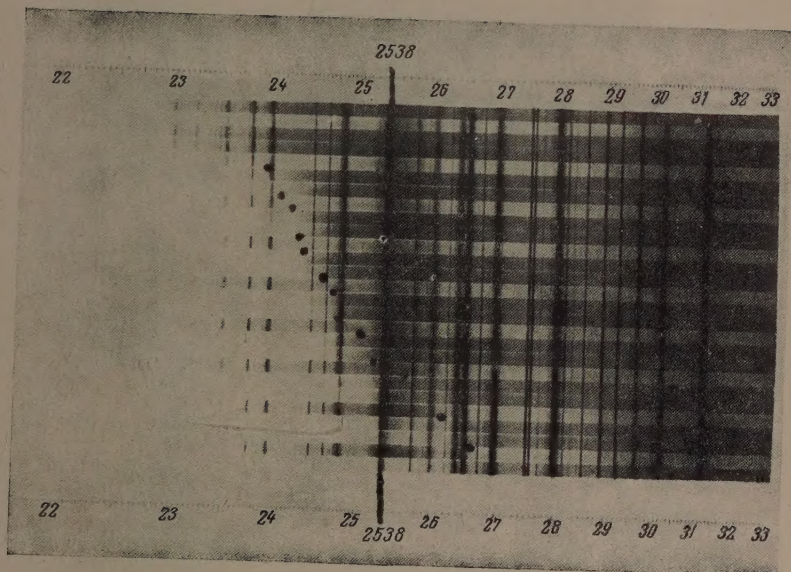


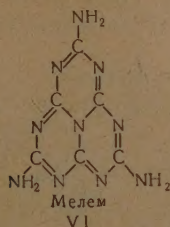
Рис. 1. Спектрограмма аммелина в 5% NaOH





Возможно также в пределах этой теории, что выделение аммиака идет за счет образования цепевидных молекул.

Редеман и Лукас [7] приписывают мелему структурную формулу (VI):



Характерной особенностью которой является наличие сложной системы сопряжения  $C=N$  связей. С точки зрения этих авторов, мелам описывается формулой (III), а мелон представляет собой продукт объединения нескольких молекул (VI) через посредство аминых мостиков.

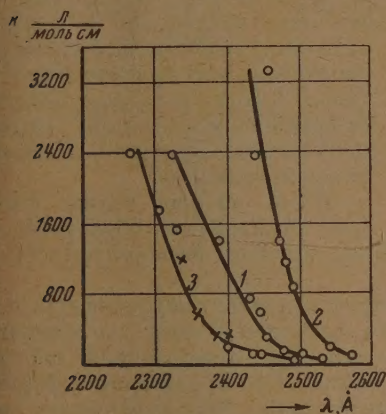


Рис. 4

с. 4. Спектры поглощения меламина и циануровой кислоты. 1 — мелемин в щелочной среде (5% NaOH); 2 — мелемин в кислой среде (2% HCl); 3 — циануровая кислота в щелочной среде (5% NaOH)

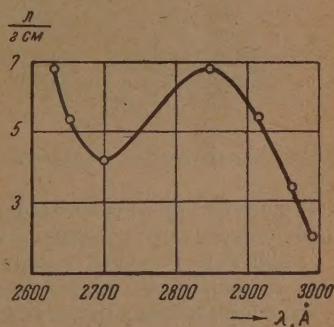


Рис. 5

с. 5. Спектр поглощения первого продукта дезаминирования в щелочной среде (5% NaOH)

Если допустить, что первому продукту дезаминирования меламина соответствует структурная формула (III), то спектр поглощения этого вещества должен быть подобен спектру поглощения меламина ввиду отсутствия сопряжения. Аналогичные соображения могут быть высказаны относительно спектров поглощения веществ (IV) и (V), так как и в этих случаях не будет иметь места взаимодействие  $p$ -электронов двух триазинных колец.

Если принять теорию Редемана и Лукаса, то следует ожидать резкого различия в спектрах поглощения мелама и мелона.

Для выяснения того, насколько правильно отражают эти теории действительное строение продуктов дезаминирования меламина, нами были сфотографированы спектры поглощения различных продуктов термического разложения меламина.

Первый продукт дезаминирования меламина был получен нагреванием перекристаллизованного меламина до 340—350° С. При этом довольно

энергично проходит процесс дезаминирования, который заканчивается через 1,5—2 часа. Образовавшийся продукт почти на 50 % состоит из меламина, не вступившего в реакцию. Тщательной промывкой непрореагировавший меламин отделялся от остальной массы вещества. Полученное вещество являлось неоднородным. Одна часть растворялась в горячей щелочи и выпадала в осадок при охлаждении, другая — не растворялась при действии горячей щелочи.

Растворимость в кислотах части вещества, перешедшей в щелочной раствор, меньше, поэтому оно выпадало при подкислении в осадок. Поскольку

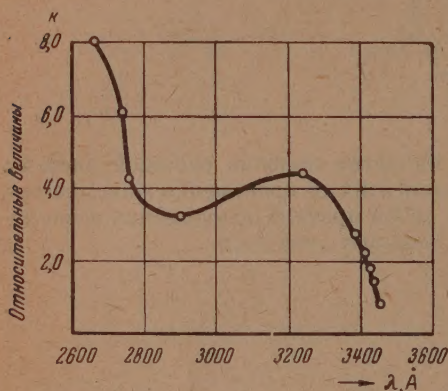


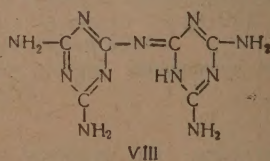
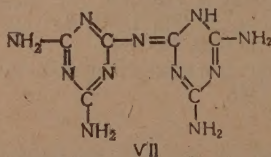
Рис. 6. Спектр поглощения второго продукта дезаминирования в щелочной среде (5% NaOH)

свойства полученного вещества соответствуют свойствам меламина, можно было предположить, что полученное вещество и есть меламин. Спектр этого продукта показан на рис. 5.

Для того чтобы окончательно доказать, что полученный спектр соответствует спектру меламина, мы приготовили это вещество путем разложения роданистого аммония при температуре 280° С с последующим разделением полученных продуктов, как описано в литературе [5]. Спектр меламина оказался совершенно идентичным спектру полученного продукта дезаминирования меламина.

Нами получен также спектр (рис. 6) продукта, образующегося при дезаминировании меламина при более высоких температурах (450—500°С).

Как видно из рис. 5, спектр первого продукта дезаминирования (меламин) резко отличается от спектра меламина наличием полосы поглощения  $\lambda_{\text{макс}} = 285 \text{ м}\mu$ . Отсюда следует, что в меламине имеется более сложная система сопряженных связей, чем в меламинах. Это противоречит формуле (III), где сопряжение нарушено аминным мостиком. Более приемлемы предлагаемые нами структурные формулы:



Кривая поглощения (рис. 6) второго продукта дезаминирования (меламин) показывает дальнейший сдвиг поглощения в сторону еще более длинных волн ( $\lambda_{\text{макс}} = 319 \text{ м}\mu$ ), что противоречит формуле (IV) и согласуется с формулой (VI).

Хотя нам не удалось получить спектр поглощения конечного продукта дезаминирования (мелона) из-за его нерастворимости, желтая окраска этого вещества указывает на дальнейший сдвиг поглощения в длинноволновую область и, следовательно, на дальнейшее усложнение системы сопряженных связей, что не согласуется с представлением Редемана и Луиса о строении мелона в виде диамеллуриновых ядер (VI), соединенных аминными мостиками.

Резкое различие в спектрах поглощения меламина и продуктов его термического разложения позволяет применить спектральный анализ



для количественного и качественного определения этих веществ в техническом и продажном меламинах.

Исследования показали, что даже в меламинах первого сорта содержатся примеси продуктов дезаминирования.

Следует отметить, что влияние этих веществ на процесс смолообразования при получении меламинформальдегидных пластмасс не изучено.

### ВЫВОДЫ

1. Получены спектры поглощения в ультрафиолетовой области аммелина и аммелида в щелочном и кислом растворах.

2. Получены спектры поглощения в ультрафиолетовой области продуктов термического дезаминирования меламина и результаты сопоставлены с имеющимися теориями молекулярного строения этих веществ.

Поступила  
6.IX.1953

### ЛИТЕРАТУРА

1. E. Agallidis, H. Fromherz u. A. Hartmann, Ber., 71, 1391, 1931.  
2. J. M. Klotz a. T. Askounis, Journ. Amer. Chem. Soc., 69, 801, 1947.  
3. J. K. Dixon, N. T. Woodbery a. G. W. Costa, Journ. Amer. Chem. Soc., 69, 599, 1947.  
4. G. W. Costa, R. C. Hirt a. D. J. Salley, Journ. Chem. Phys., 18, 434, 1950.  
5. A. Gams, G. Widmer, W. Fisch, Brit. Plastic, 14, 508, 1943.  
6. А. Ф. Фокин, Химия дианамидов и его производных, Петроград, 1920.  
7. C. E. Redemann a. H. J. Lucas, Journ. Amer. Chem. Soc., 62, 842, 1940.

## К ВОПРОСУ О СВЯЗИ ЭЛЕКТРИЧЕСКОЙ ПРОЧНОСТИ ЖИДКИХ ДИЭЛЕКТРИКОВ С ИХ ФИЗИКО-ХИМИЧЕСКИМИ СВОЙСТВАМИ

*А. А. Воробьев и А. Ф. Калганов*

Экспериментально показано [1, 2], что электрическая прочность твердых кристаллических диэлектриков закономерно возрастает с увеличением химической устойчивости соединения. Электрическая прочность монокристаллов щелочно-галогенидных солей растет с увеличением теплоты их образования [1]. Последняя для ионных кристаллов является мерой их химической устойчивости.

Для кристаллов твердых растворов щелочно-галогенидных солей электрическая прочность растет с уменьшением теплоты, поглощенной при их образовании [2]. Известно, что устойчивость твердых растворов, как равновесных систем при различных температурах, зависит от теплового эффекта их образования. Изомерные смеси и твердые растворы, образованные из своих компонентов с положительным тепловым эффектом, остаются постоянными при понижении температуры. Наоборот, твердые растворы, образовавшиеся с заметным поглощением тепла, представляют неустойчивые системы при низких температурах и стремятся к распаду.

Обнаруженная закономерность соответствует общепринятому энергетическому представлению, согласно которому разрушение вещества наступает тогда, когда выделяется необходимая для этого энергия.

В свете этого представления естественно ожидать зависимость электрической прочности от физико-химических свойств и для жидких диэлектриков. Следствием электрического пробоя твердого диэлектрика является его разрушение — образование канала, который перестает быть заполненным веществом в твердом состоянии. В этом случае могут разрушаться связи твердого вещества, как химического соединения. Завершающим этапом электрического пробоя жидких диэлектриков является образование между электродами канала, заполненного парами диэлектрика. Испарение жидкости при пробое связано с разрывом межмолекулярных связей без разрушения молекулы. В этом случае следует ожидать увеличения электрической прочности жидкого диэлектрика с повышением температуры кипения жидкости, теплоты испарения жидкости, поверхностного натяжения, плотности, поляризационных сил и других величин, характеризующих межмолекулярные связи. Следует отметить, что снижение температуры кипения жидкости при уменьшении давления не должно влиять на пробивное напряжение, так как при наличии огромных сил поверхностного натяжения изменение внешнего давления не изменяет существенно сил связи между молекулами. Действительно, в работах [3] и [4] показано, что для обезгаженных толуола и ксилола электрическая прочность не зависит от внешнего давления.

Если имеет место другой, энергетически менее вероятный процесс — разрушение химических связей — следует ожидать возрастания электрической прочности жидкостей с увеличением термодинамического, изобарного) потенциала, энергии связей в молекуле и других величин, характеризующих устойчивость химического соединения.

Сопоставление электрической прочности жидкостей с их физико-химическими свойствами может дать существенные данные для суждения о



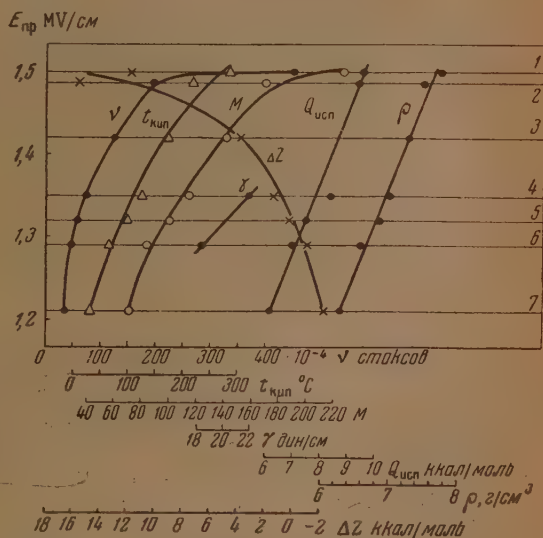
природе явления пробой жидких диэлектриков и научные основания для выбора материалов с высокой электрической прочностью.

Однако сопоставление электрической прочности жидких диэлектриков с их физико-химическими характеристиками до последнего времени не имело смысла, так как измеряемое пробивное напряжение жидкостей определялось не столько их химической природой, сколько различными вторичными явлениями, сопровождавшими пробой. Поэтому величина электрической прочности почти всех жидких диэлектриков технической очистки получалась одинаковой и не превышала нескольких сотен кВ/см [5].

В последнее время получены более высокие ( $>1\text{MV/см}$ ) значения измеренной электрической прочности жидкостей, приближающиеся к электрической прочности твердых диэлектриков [6, 7], причем значения электрической прочности каждой отдельной жидкости отличались друг от друга и являлись специфическими для отдельной жидкости. Так, Кроу, Брайг и Шарбаух [6] получили для электрической прочности некоторых органических жидкостей — алифатических углеводородов — линейную зависимость от плотности.

Полученные высокие значения электрической прочности жидкостей дают основания считать, что в этих опытах пробой определялся не случайными или вторичными причинами, а связан с природой самой жидкости. Сопоставление электрической прочности только с плотностью жидкости, как это сделали Кроу и другие, не давало еще полного представления о влиянии физико-химических свойств диэлектрика на его прочность. Поэтому, используя данные Кроу и других, мы сопоставили электрическую прочность алифатических углеводородов с другими физико-химическими свойствами указанных жидкостей. На рисунке представлены построенные нами зависимости электрической прочности  $E_{пр}$  жидких углеводородов от теплоты испарения  $Q_{исп}$ , температуры кипения  $t_{кип}$ , поверхностного натяжения  $\gamma$ , вязкости  $\nu$ , молекулярного веса  $M$  и термодинамического потенциала  $\Delta Z$ . Там же приведена зависимость электрической прочности от плотности  $\rho$ , полученная Кроу и другими.

Как видно из рисунка, наблюдается возрастание электрической прочности с увеличением указанных выше параметров, кроме изобарного потенциала  $\Delta Z$ . С увеличением изобарного потенциала электрическая прочность падает. Известно также, что прочности связей атомов углерода  $C-C$  и атома углерода с атомом водорода  $C-H$  для органических соединений в среднем постоянны [8].



Зависимость электрической прочности  $E_{пр}$  жидких углеводородов от вязкости  $\nu$ , температуры кипения  $t_{кип}$ , молекулярного веса  $M$ , поверхностного натяжения  $\gamma$ , теплоты испарения  $Q_{исп}$ , плотности  $\rho$  и термодинамического потенциала  $\Delta Z$ : 1 —  $n-C_{16}H_{34}$ ; 2 —  $n-C_{12}H_{26}$ ; 3 —  $n-C_{10}H_{22}$ ; 4 —  $n-C_8H_{18}$ ; 5 —  $n-C_7H_{16}$ ; 6 —  $n-C_6H_{14}$ ; 7 —  $n-C_5H_{12}$

Можно думать, что, вследствие указанного, величины, характеризующие прочность связей молекул данного гомологического ряда органических жидкостей, не определяют электрической прочности последних. Наоборот, с ростом величин, характеризующих межмолекулярные связи, электрическая прочность растет. Поэтому надо полагать, что в этом случае электрический пробой, вероятно, связан с преодолением межмолекулярных сил.

В общем случае можно предположить, что процесс пробоя начинается с разрушения межмолекулярных связей, более слабых по сравнению с внутримолекулярными, а затем с увеличением концентрации энергии в канале разряда может происходить разрушение и внутримолекулярных связей.

Интересно отметить, что зависимость электрической прочности  $E_{пр}$  от теплоты испарения  $Q_{исп}$  и плотности  $\rho$ , в наибольшей степени характеризующих межмолекулярные связи, близка к линейной, тогда как другие кривые имеют неравномерный наклон.

Данные физико-химических характеристик жидких углеводородов взяты из работ [9, 10 и 11].

### ВЫВОДЫ

1. Установлено, что электрическая прочность гомологического ряда предельных жидких углеводородов уменьшается с увеличением термодинамического (изобарного) потенциала  $\Delta Z$ , характеризующего прочность связи химического соединения.

2. Установлено, что электрическая прочность этих же углеводородов увеличивается с ростом величин, характеризующих межмолекулярные связи в жидкостях.

3. На основании вышесказанного можно думать, что электрический пробой исследованных жидкостей связан с преодолением межмолекулярных сил.

Политехнический институт  
Томск

Поступила  
18. I. 1955

### ЛИТЕРАТУРА

1. А. А. Воробьев и Е. К. Завадовская, Журн. физ. химии, 28, 1910, 1954.
2. А. А. Воробьев, Е. К. Завадовская и А. М. Трубицын, ДАН, 100, 1065, 1955.
3. А. Ф. Вальтер и О. В. Челюсткина, Журн. техн. физики, 6, 1900, 1936.
4. А. Ф. Вальтер и Л. Д. Инге, Журн. техн. физики, 1, 745, 1931.
5. Ф. Ф. Волькенштейн, Пробой жидких диэлектриков, ОНТИ, 1934.
6. R. W. Crowe, J. K. Bragg, A. H. Sharbaugh, Journ. Appl. Phys., 25, 392, 1954.
7. W. D. Edwards, Journ. Chem. Phys., 20, 753, 1952.
8. В. А. Киреев, Курс физической химии, Госхимиздат, 1951.
9. Физико-химические свойства индивидуальных углеводородов, вып. III, Гостоптехиздат, 1951.
10. Справочник химика, т. 1, Госхимиздат, 1951.
11. Р. Д. Оболенцев, Физические константы углеводородов, жидких топлив и масел, Гостоптехиздат, 1953.



## АЛКИЛИРОВАНИЕ БЕНЗОЛА ОЛЕФИНАМИ. I

*Х. Р. Рустамов, Т. А. Кудрявцева и Н. М. Чирков*

Изучением вопроса алкилирования бензола олефинами занимались многие исследователи, среди которых значительное место занимают советские ученые — А. В. Топчиев, Я. М. Паушкин [1], Ю. Г. Мамедалиев [2], Ю. Л. Хмельницкий, А. И. Доладугин [3] и другие.

Однако при исследовании этого вопроса главное внимание уделялось определению продуктов реакции вблизи равновесного состояния, кинетика же реакции не изучалась; полученные результаты с динамической точки зрения не обобщались. Исключение составляет работа Е. И. Скрипика [4], изучившего, однако, лишь некоторые кинетические стороны этой реакции.

Отсутствием сколько-нибудь подробного исследования по кинетике столь важного класса реакций, как алкилирование ароматических углеводородов олефинами, и, в частности, по алкилированию бензола олефинами, побудило нас подробно изучить кинетику алкилирования бензола олефинами. Мы провели измерения как в струевой, так и в статической установках.

В этой статье излагаются полученные данные по кинетике алкилирования бензола пропиленом и н-бутиленом в струевой установке.

## Исходные продукты

Пропилен получался дегидратацией химически чистого изопропилового спирта над окисью алюминия при 380° С.

Полученный таким образом газ анализировался на аппарате Орса и содержал 7—98% чистого пропилена. Бензол брался химически чистый (свободный от тиофена). Катализатором служила фосфорная кислота на пористом носителе. Из носителя откачивали воздух, после чего приливали к нему раствор фосфорной кислоты. Носитель оставляли погруженным в раствор кислоты не менее чем на 3—5 час. После этого изслете давали стечь, а пропитанный ею носитель помещали в воронку Бюхнера для гсасывания и сушили продуванием сухого, немного подогретого воздуха.

Количество кислоты, оставшейся на носителе, зависит от концентрации ее в растворе. В наших опытах катализатор изготовлялся в основном из 40%-ного раствора фосфорной кислоты (здесь и в дальнейшем процентное содержание фосфорной кислоты дано в пересчете на содержание  $P_2O_5$ ). Количество кислоты на носителе определялось гмыванием ее с определенного количества катализатора водой до нейтральной реакции на метилоранж и последующим титрованием раствора.

## ЭКСПЕРИМЕНТАЛЬНАЯ ЧАСТЬ

Первые опыты проводились таким образом, что пропилен насыщался арами бензола и воды (которая необходима для поддержания постоянной концентрации кислоты на катализаторе), проходя через барботер, температура которого поддерживалась постоянной в течение всего опыта.

Но этот метод оказался неудобным для наших целей, так как не позволял регулировать относительные количества реагентов. Поэтому в дальнейшем мы пользовались установкой, позволяющей произвольно изменять количество и скорость подачи всех исходных продуктов. Схема этой установки показана на рис. 1.

Газ подавался из газометра 1. Скорость газа измерялась реометром 2. Скорость подачи бензола в смеситель 3 устанавливалась давлением воздуха

в сосуде 12, которое регулировалось микровентилем 11. Воздух, проходя через капилляр 10, собирался над бензолом в резервуаре 9 и теснял бензол в смеситель 3.

Зная количество пузырьков воздуха, вытесняющих 1 мл жидкост и регулируя вентилем скорость подачи воздуха, можно достаточно точно задать скорость вытекания жидкости. В нашей установке капилляр был такого диаметра, что для вытеснения 1 мл жидкости потребовалось 250 пузырьков. Вытекание жидкости происходило достаточно медленно и равномерно (до 5 мл/час). Для уменьшения влияния изменения уровня жидкости на скорость ее вытеснения резервуар 9 с бензолом был соединен со смесителем капилляром 7 длиной 1,0 м.

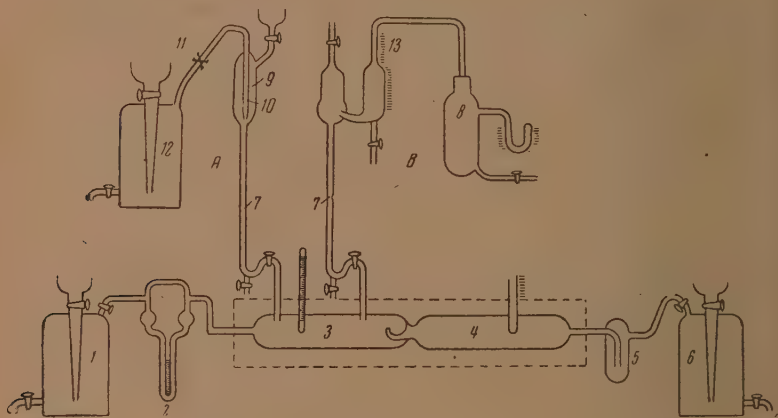


Рис. 1

Для регулировки скорости подаваемой воды вначале был применен способ А, аналогичный употреблявшемуся для бензола. Но он оказался неудобным, так как количество подаваемой воды в наших опытах должно было изменяться от 0,25 до 10 мл/час. Для этого необходимо было иметь очень тонкий капилляр, и число пузырьков для вытеснения 1 мл воды значительно возрастало, а счет и регулировка их, особенно в случае скорости в 10 мл/час, становились почти невозможными.

Поэтому регулировку скорости подачи воды проводили при помощи давления, создаваемого в резервуаре 8, объем которого (в нашем случае 2 л) значительно превосходил объем подаваемой жидкости, и поэтому давление в нем можно было считать постоянным в течение всего опыта (способ В).

Количество жидкости и скорость ее подачи рассчитывались по скорости падения уровня жидкости в капилляре 13, диаметр которого был заранее измерен и равнялся 1 мм.

В начале опыта в резервуаре 8 создавалось такое давление, которое обеспечивало нужную скорость подачи воды. В дальнейшем обе жидкости подавались при помощи давления. Все исходные продукты подавались в смеситель 3, где нагревались до температуры опыта, и затем оттуда смесь газообразных продуктов попадала в реактор 4, заполненный катализатором. Жидкие продукты реакции собирались в приемнике 5, охлаждавшемся водой со льдом, а газообразные — собирались в газометре 6. Скорость прохождения смеси продуктов над катализатором регулировалась скоростью вытекания воды из газометра 6. Жидкие продукты подвергались разгонке, а газообразные анализировались на аппарате Орса.

### Стабильность катализатора

Постоянство активности катализатора необходимо для получения воспроизводимых данных, а также для правильного учета влияния на скорость реакции таких факторов, как температура, количество кислоты и др.

Между тем, катализатор — фосфорная кислота легко меняет свою активность, а иногда, при несоблюдении всех необходимых мер предосторожности, практически полностью отравляется.

Вопрос об отравлении и промотировании кислотноосновных катализаторов полностью еще не разработан. Здесь слово «отравление» мы употребили для обозначения видимого уменьшения активности катализатора от опыта к опыту. Надо полагать, что уменьшение активности катализатора связано прежде всего с переходом фосфорной кислоты из одной модификации в другую (активность фосфорной кислоты проходит через максимум при переходе из орто-формы в пиро- и мета-форму), образованием менее активных комплексов с носителями и осмолением поверхности катализатора продуктами реакции. Нахождение активной концентрации кислоты и условий, при которых эта наивысшая активность сохраняется постоянной, представляет большой технический интерес. Однако опыты, работавшие с кислотными катализаторами (фосфорная кислота на носителе), не уделяли достаточного внимания этому важному фактору.

Применяя этот катализатор для реакции алкилирования бензола олефинами, мы обратили особое внимание на поиски наиболее активной формы катализатора и нахождение условий, обеспечивающих стабильность работы катализатора в этом активном состоянии.

Как известно, концентрация кислоты определяется упругостью пара воды над ней. Изменение упругости пара влечет за собой переход одной из форм кислоты в другую. Поэтому главным условием, обеспечивающим стабильность данного состояния кислоты, является постоянная упругость пара воды над ней. В своих опытах мы всегда создавали вполне определенную упругость пара для каждой температуры, что достигалось пропускной катализатора воздухом, насыщенным требуемым количеством воды, до тех пор пока количество получаемой в приемнике воды не осталось равным количеству подаваемой за определенное время.

Полученные данные приведены в табл. 1—7, причем в этих таблицах количество пропилена и бензола даны в молях, количество воды  $P_{H_2O}$  — парциальное давление в миллиметрах рт. ст., продолжительность опыта  $t$  — в минутах, время контактирования  $\tau$  — в секундах, процент превращения  $\alpha$  — по олефину,  $m$  — количество кислоты на носителе в граммах,  $V$  — объем реактора в мл,  $k$  — константа скорости в

1  
атм. сек.

При вычислении времени контактирования за свободный объем принималась половина объема реактора, приведенного к  $0^\circ\text{C}$ . При этом не учитывалось сжатие газов, вызванное реакцией. Ввиду малого процента превращения и ввиду того, что в наших опытах один из исходных компонентов брался в избытке, сделанное нами допущение заметно не изменяет численного значения константы скорости.

Константа скорости вычислялась по кинетическому уравнению для реакции второго порядка.

Анализируя вышеприведенные данные, можно заключить, что одним из оптимальных условий, обеспечивающих активное и стабильное состояние фосфорной кислоты, является соблюдение соотношения между упругостью пара воды и температурой, определяемое уравнением:

$$\lg P = \frac{2,8 \cdot 10^{-3}}{T} + 8,45. \quad (1)$$



Таблица 1

Влияние упругости пара воды на стабильность катализатора фосфорной кислоты  
Объем реактора 115 мл; количество кислоты 16,3 г

| °C | $P_{H_2O}$ | $C_2H_6$ | $C_3H_8$ | $t$ | $\tau$ | $\alpha$ | $k$    |
|----|------------|----------|----------|-----|--------|----------|--------|
| 75 | 5          | 0,385    | 1,670    | 335 | 21,3   | 43,4     | 0,0338 |
| 75 | 5          | 0,605    | 1,670    | 220 | 11,3   | 22,5     | 0,0325 |
| 75 | 5          | 0,540    | 1,700    | 263 | 14,2   | 40,5     | 0,0515 |
| 75 | 5          | 0,385    | 1,750    | 88  | 5,0    | 24,4     | 0,0690 |
| 75 | 5          | 0,387    | 1,740    | 82  | 4,7    | 26,7     | 0,0755 |

Таблица 2

Влияние упругости пара воды на стабильность катализатора фосфорной кислоты  
Объем реактора 115 мл; количество кислоты 32,6 г

| °C  | $P_{H_2O}$ | $C_2H_6$ | $C_3H_8$ | $t$ | $\tau$ | $\alpha$ | $k$    |
|-----|------------|----------|----------|-----|--------|----------|--------|
| 150 | 5          | 0,308    | 0,384    | 292 | 33,7   | 35,8     | 0,0336 |
| 150 | 5          | 0,345    | 0,570    | 183 | 16,0   | 10,2     | 0,0165 |
| 150 | 5          | 0,166    | 0,275    | 300 | 67,8   | 34,0     | 0,0110 |
| 150 | 5          | 0,333    | 0,610    | 136 | 14,4   | 6,9      | 0,0078 |
| 150 | 5          | 0,345    | 0,570    | 183 | 16,0   | 5,6      | 0,0072 |

Таблица 3

Влияние упругости пара воды на стабильность катализатора фосфорной кислоты  
Объем реактора 85 мл; количество кислоты 12,7 г

| °C  | $P_{H_2O}$ | $C_2H_6$ | $C_3H_8$ | $t$ | $\tau$ | $\alpha$ | $k$    |
|-----|------------|----------|----------|-----|--------|----------|--------|
| 140 | 175        | 0,208    | 0,352    | 180 | 18,7   | 10,6     | 0,0124 |
| 140 | 142        | 0,291    | 0,675    | 350 | 22,2   | 17,2     | 0,0160 |
| 140 | 152        | 0,250    | 0,745    | 198 | 12,0   | 10,0     | 0,0149 |
| 140 | 146        | 0,167    | 0,417    | 155 | 16,1   | 8,7      | 0,0100 |
| 140 | 147        | 0,291    | 0,633    | 192 | 12,6   | 5,5      | 0,0095 |

Таблица 4

Влияние упругости пара воды на стабильность катализатора фосфорной кислоты  
Объем реактора 85 мл; количество кислоты 12,7 г

| °C  | $P_{H_2O}$ | $C_2H_6$ | $C_3H_8$ | $t$ | $\tau$ | $\alpha$ | $k$    |
|-----|------------|----------|----------|-----|--------|----------|--------|
| 150 | 128        | 0,291    | 0,528    | 374 | 28,0   | 39,8     | 0,0595 |
| 180 | 205        | 0,250    | 0,500    | 314 | 21,0   | 27,4     | 0,0330 |
| 200 | 156        | 0,25     | 0,500    | 345 | 24,1   | 23,4     | 0,0216 |
| 200 | 160        | 0,208    | 0,621    | 250 | 15,5   | 15,0     | 0,0180 |
| 200 | 150        | 0,208    | 0,700    | 330 | 17,9   | 5,0      | 0,0025 |
| 200 | 162        | 0,208    | 0,510    | 340 | 60,0   | 0        | 0      |

Таблица 5

Влияние упругости пара воды на стабильность катализатора фосфорной кислоты  
Объем реактора 92 мл; количество кислоты 17,75 г

| °C  | $P_{H_2O}$ | $C_2H_4$ | $C_2H_6$ | $t$ | $\tau$ | $\alpha$ | $k$    |
|-----|------------|----------|----------|-----|--------|----------|--------|
| 150 | 149        | 0,368    | 1,385    | 293 | 11,7   | 20,7     | 0,0350 |
| 170 | 118        | 0,338    | 1,384    | 240 | 11,5   | 25,5     | 0,0400 |
| 190 | 188        | 0,328    | 1,023    | 202 | 8,2    | 14,9     | 0,0340 |
| 210 | 190        | 0,118    | 0,565    | 180 | 12,4   | 0        | 0      |

Таблица 6

Влияние упругости пара воды на стабильность катализатора фосфорной кислоты  
Объем реактора 240 мл; количество кислоты 35,8 г

| °C  | $P_{H_2O}$ | $C_2H_4$ | $C_2H_6$ | $t$ | $\tau$ | $\alpha$ | $k$    |
|-----|------------|----------|----------|-----|--------|----------|--------|
| 210 | 421        | 0,221    | 0,535    | 360 | 38,2   | 24,6     | 0,0242 |
| 210 | 395        | 0,214    | 0,555    | 360 | 41,0   | 26,2     | 0,0221 |
| 210 | 374        | 0,133    | 0,556    | 326 | 45,6   | 17,7     | 0,0269 |
| 210 | 372        | 0,141    | 0,379    | 342 | 63,5   | 13,7     | 0,0246 |
| 210 | 415        | 0,241    | 0,780    | 394 | 29,7   | 17,3     | 0,0200 |
| 210 | 436        | 0,220    | 0,642    | 395 | 28,3   | 18,9     | 0,0244 |
| 210 | 401        | 0,125    | 0,367    | 357 | 62,2   | 30       | 0,0176 |
| 210 | 397        | 0,106    | 0,310    | 300 | 62,2   | 31,4     | 0,0185 |
| 210 | 406        | 0,338    | 0,960    | 241 | 16,4   | 19,8     | 0,0185 |
| 210 | 408        | 0,338    | 0,950    | 251 | 16,4   | 14,8     | 0,0306 |
| 210 | 352        | 0,364    | 0,930    | 117 | 10,6   | 2,3      | 0,0230 |
| 210 | 352        | 0,354    | 0,900    | 118 | 10,6   | 3,5      | 0,0226 |

Таблица 7

Влияние упругости пара воды на стабильность катализатора фосфорной кислоты  
Объем реактора 92 мл; количество кислоты 22,2 г

| °C  | $P_{H_2O}$ | $C_2H_4$ | $C_2H_6$ | $t$ | $\tau$ | $\alpha$ | $k$    |
|-----|------------|----------|----------|-----|--------|----------|--------|
| 210 | 470        | 0,218    | 0,488    | 254 | 9,6    | 16,2     | 0,0722 |
| 210 | 398        | 0,218    | 0,543    | 272 | 8,9    | 14,6     | 0,0403 |
| 210 | 410        | 0,152    | 0,321    | 408 | 17,6   | 3,2      | 0,0285 |
| 210 | 420        | 0,117    | 0,285    | 500 | 33,4   | 2,5      | 0,0022 |
| 210 | 395        | 0,205    | 0,493    | 180 | 35,0   | 0        | 0      |

Если упругость пара воды над кислотой будет меньше, чем вычисляемая из этого соотношения, то катализатор постепенно отравляется.

Отравление, наблюдаемое при недостатке воды, связано с изменением равновесия между отдельными модификациями фосфорной кислоты. Будем называть это явление необратимым отравлением. Таким образом, если в условиях опыта происходит частичное превращение ортофосфорной кислоты в метафосфорную, то катализатор практически необратимо теряет свою активность, так как обратный переход очень труден.

Однако достаточное количество паров воды в начале опытов полностью не гарантирует катализатор от отравления. Необходима дополнительная



продувка парами воды перед каждым опытом. Иначе активность катализатора от опыта к опыту падает, и катализатор выходит из строя, вероятно, вследствие осмоления. Вернуть катализатору активность можно новой продувкой парами воды.

В табл. 7 даются результаты опытов, проведенных при  $210^{\circ}\text{C}$  и упругости пара воды 400 мм. рт. ст., т. е. в соответствии с приведенным уравнением (1). Но, в отличие от других опытов, эти опыты проводились без предварительной продувки перед каждым опытом воздухом, насыщенным соответствующим уравнению количеством воды.

Как видно из табл. 7, активность катализатора от опыта к опыту в данном случае уменьшается, и, наконец, он практически полностью отравляется. Воспроизводимые данные более не получаются.

В дальнейшем в своих опытах мы старались избегать этих видов отравления, и опыты проводились следующим образом: перед каждым опытом катализатор в течение 2 час. продувался воздухом, содержащим нужное количество водяного пара, и, таким образом, упругость пара воды над катализатором отвечала указанному выше соотношению.

### Определение состава продуктов реакции

В большинстве работ, посвященных каталитическому алкилированию бензола, состав продуктов определяется более или менее точной разгонкой, определением удельного веса и показателя преломления света.

Многие авторы ограничиваются выделением широкой фракции моноалкилпроизводных и совсем не интересуются составом более высококипящих фракций. Состав диалкилбензолных фракций обычно устанавливается при помощи окисления. При алкилировании наряду с основными продуктами (алкилатами) можно ожидать получения побочных продуктов благодаря полимеризации пропилена, изомеризации продуктов и т. д.

Полученную в наших опытах смесь жидких продуктов мы разгоняли на колонке в  $\sim 25$  теоретических тарелок. фракции выше  $170^{\circ}$  собирали и затем вновь разгоняли на той же колонке. Кривая разгонки приведена на рис. 2. (Верхняя шкала на оси абсцисс относится к кривым 1, 2, 3, нижняя к кривой 4.)

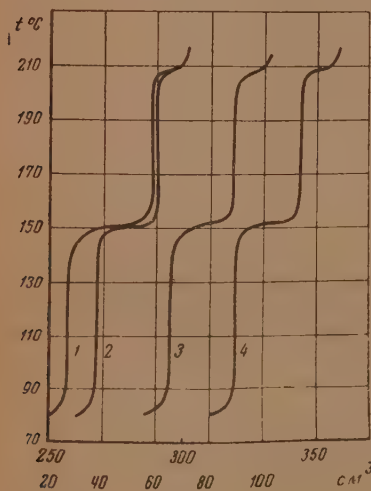


Рис. 2

В результате проведения серии опытов при  $170$ – $210^{\circ}\text{C}$  и разгонки продуктов реакции мы получили ряд фракций. Для выяснения строения полученных продуктов часть смеси фракций, отогнанных при  $170$ – $230^{\circ}\text{C}$ , подвергалась окислению щелочным раствором перманганата калия, другая часть смеси этих фракций окислялась азотной кислотой.

В случае наличия в окисляемой смеси гексилбензола должна образоваться бензойная кислота. Однако ни в одном опыте нам не удалось ее обнаружить. Следовательно, можно считать доказанным, что гексилбензола в окисляемой смеси не было.

При окислении перманганатом калия мы выделили кислоту с т. пл.  $115$ – $118^{\circ}\text{C}$ . По литературным данным так плавится 4-изопропилбензойная кислота.

При окислении азотной кислотой была выделена кислота, не распла-

выпаяя до 300° С. Кипячением с метиловым спиртом, насыщенным газом, разным хлористым водородом, мы превратили кислоту в метиловый эфир.

Выпавший осадок был дважды перекристаллизован из метилового эфира и имел т. пл. 140° С. По литературным данным метиловый эфир фталевой кислоты плавится при 141° С.

Таким образом окисление показало, что основным продуктом в окислительной смеси было 1, 4-диизопропилбензол. Отсутствие 1, 2-фталевой кислоты было доказано отрицательной реакцией при пробе с анилин-ом.

Опыт, проведенный в тех же условиях с 1, 2-фталевой кислотой, да с анилином характерный осадок соли (т. пл. 152° С).

Для контроля была взята шпильчатая фракция (170—230° С) из за-мещенного продукта и окислялась в той же смеси.

Найдено, что и там основным продуктом является 1, 4-диизопропилбензол.

Эту фракцию мы разгоняли на колонке в вакууме при давлении 10 мм рт. ст. Были получены следующие фракции, приведенные в табл. 8.

Взяв формулу, приведенную в работе [5], связывающую температуру кипения различных изомеров диизопропилбензола с упругостью пара, воспользовавшись константами и подставив наше давление, мы получим температуры кипения для различных изомеров при 10 мм рт. ст.

Вычисленные таким путем температуры (табл. 8) соответствуют полученным нами при разгонке. И здесь фракция, полученная при 84° С (наибольшая по количеству), 1, 4-диизопропилбензол.

Таблица 8  
Состав фракции

| Температура кипения<br>С <sub>исх</sub> | Объем<br>в мл | $\pi_D^{20}$ | Температура кипения (выч.) |
|---|---------------|--------------|----------------------------|
| 78—80                                   | 24,0          | 1,4909       | 79,47° для о               |
| 84                                      | 46,0          | 1,4910       | 83,4° » р                  |
| 94                                      | 5,2           | 1,4915       | 97° » т                    |

Удерживалась равной 56, 2; 110; 209; 400 мм рт. ст. Эти значения упругости пара отвечают смеси 95 %-ной орто- и 5 %-ной пиррофосфорной кислоты. Опыты велись при давлении, равном одной атмосфере, поэтому при той и той же концентрации кислоты упругости паров исходных реагентов уменьшались с повышением температуры.

Опыты при 150, 190 и 210° С проводились в реакторе, объем которого был 240 см<sup>3</sup>, а при 170° С — в реакторе на 250 см<sup>3</sup>. Соответственно количество кислоты на катализаторе было 35,8 и 38,5 г.

Из приведенных данных видно (табл. 9 и рис. 3), что эффективная (наблюдаемая) энергия активации близка к нулю.

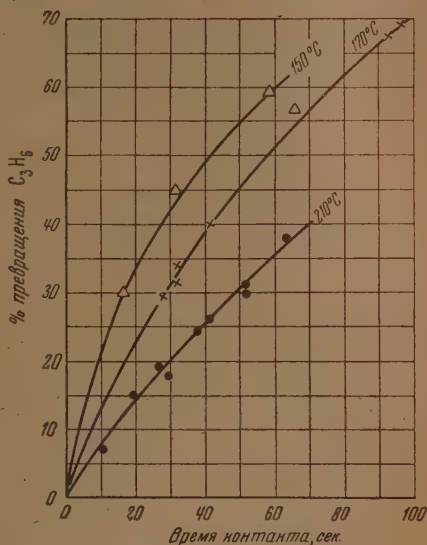


Рис. 3

### Влияние температуры на скорость реакции

Для выяснения влияния температуры на скорость реакции опыты проводились при 150, 170, 190 и 210° С.

Упругость пара воды соответственно поддерживалась равной 56, 2; 110; 209; 400 мм рт. ст. Эти значения упругости пара отвечают смеси 95 %-ной орто- и 5 %-ной пиррофосфорной кислоты. Опыты велись при давлении, равном одной атмосфере, поэтому при той и той же концентрации кислоты упругости паров исходных реагентов уменьшались с повышением температуры.

Опыты при 150, 190 и 210° С проводились в реакторе, объем которого был 240 см<sup>3</sup>, а при 170° С — в реакторе на 250 см<sup>3</sup>. Соответственно количество кислоты на катализаторе было 35,8 и 38,5 г.

Из приведенных данных видно (табл. 9 и рис. 3), что эффективная (наблюдаемая) энергия активации близка к нулю.



Таблица 9

## Влияние температуры на скорость реакции

Е. И. Скрипник [4] для эффективной энергии активации получает 1000 кал/моль. Он работал с постоянной упругостью пара воды при различных температурах. Скорость реакции повышалась вследствие одновременного увеличения и температуры, и концентрации кислоты. Согласно данным Фонтана [6] 102,8%-ная фосфорная кислота при 183°С имеет упругость пара воды 30 мм рт. ст. Такая же упругость пара у 96,2%-ной кислоты при 110,2°С. Согласно измерениям М. И. Винника [7], функция кислотности при таком изменении концентрации кислоты равна 0,4 единицы. Согласно нашим измерениям, при таком изменении функции кислотности константа скорости изменяется в 1,536 раза. Следовательно, эффективная энергия активации, вызванная изменением концентрации кислоты, равна

$$\frac{1,536}{4,1 \cdot 10^{-4}} \cdot 4,575 = 17,5 \text{ ккал/моль,}$$

т. е. это значение энергии активации совпадает со значением энергии активации, найденным Е. И. Скрипником.

Следовательно, если в опыты Е. И. Скрипника внести соответствующие поправки на изменение концентрации кислоты, то у него эффективная энергия активации также близка к нулю.

### Влияние различных факторов на характер продуктов реакции

Известно, что при алкилировании бензола олефинами, наряду с целевым продуктом (моноалкилбензолом), образуются также полиалкилбензолы. В условиях наших опытов при отношении бензола к пропилену, равном 3:1 и выше, основным продуктом является моноалкилбензол с примесями диалкилбензола. При соотношении исходных продуктов 1:1 образуются также и твердые полиалкилбензолы. Представляет интерес найти условия максимального выхода моноалкилбензола при минимальном образовании полиалкилатов. С этой целью было изучено влияние различных факторов на выход и состав продуктов реакции.

### Влияние процента превращения

Как мы уже упоминали, реакции алкилирования олефинами изучались почти во всех работах при состоянии, близком к равновесию. Хотя некоторые авторы и проводили изучение этой реакции при различном времени контактирования (различных объемных скоростях), но даже при минимальном времени контактирования процент превращения олефина был близок к равновесию. При дальнейшем увеличении времени контактирования процент превращения исходного олефина оставался постоянным. Надо полагать, что в этих случаях реакция шла между продуктами реакции.

Нас же интересует состав смеси продуктов реакции до установления равновесия, причем в первую очередь соотношение моно- и диалкилбензола. Поэтому наши опыты велись в условиях, исключающих возможность образования высших замещенных форм бензола.

Реакция образования моно- и диалкилбензолов мыслима как последовательная, так и параллельная. В первом случае, т. е. если реакция последовательная, диалкилбензол образуется из моноалкилбензола и олефина, тогда концентрация диалкилбензола должна увеличиваться по мере увеличения процента превращения исходных продуктов, и при больших процентах превращения можно ожидать практически чистый диалкилбензол.

Во втором случае, если реакции протекают параллельно, т. е. моно- и диалкилбензолы образуются независимо друг от друга, прямо из бензола и олефина, при условии одинакового порядка реакции отно-



шения образующихся продуктов должны оставаться постоянными, независимо от процента превращения, т. е. с самого начала должно образоваться значительное количество диалкилбензола.

В наших исследованиях процент превращения олефина изменялся от 10 до 60 (табл. 10 и 11 и рис. 4), однако соотношение моно- и диалкил-

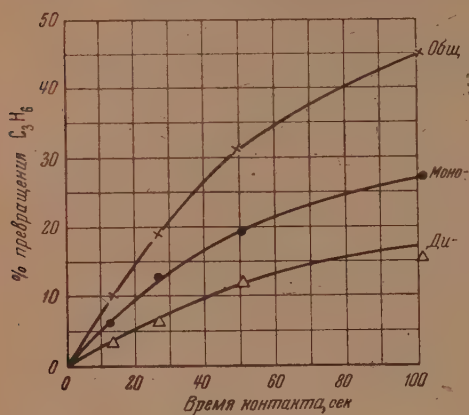


Рис. 4

бензолов оставалось постоянным, что указывает на то, что реакции протекают параллельно, и реакции образования моно- и диалкилбензолов имеют один и тот же порядок.

Анализ экспериментальных данных, полученных при большем проценте превращения проведенный рядом авторов [8], тоже показал, что отношение моно- к диалкилбензолу остается постоянным - независимо от глубины реакции. Надо еще отметить, что на этой закономерности сами авторы обращали внимания, и ее можно обнаружить, обработав соответствующим образом их данные.

### Влияние температуры

Температура реакции является важным фактором, влияющим на состав образующихся продуктов. Имеющиеся в литературе данные показывают, что увеличение температуры до некоторого предела при прочих равных условиях благоприятствует выходу моноалкилзамещенных [3, 9].

Мы изучали эту реакцию при температурах 150, 170, 190, 210° С и при различных отношениях бензола к пропилену. Полученные данные приведены в табл. 11.

Как видно, в изученных нами пределах процент моноалкилбензола в алкильной фракции увеличивается с увеличением температуры, причем для каждой температуры отношение моноалкилбензола к диалкилбензолу остается постоянным при всех процентах превращения.

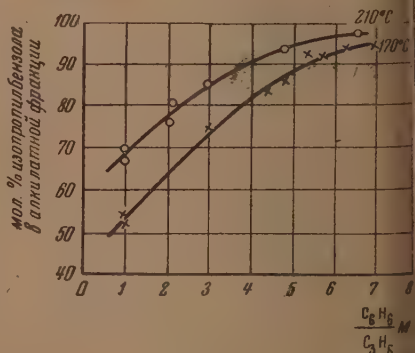


Рис. 5

### Влияние соотношения реагентов

Известно, что избыток бензола благоприятствует выходу монозамещенных бензола. Этот фактор наиболее сильно влияет на состав продуктов.

Но такие исследования проведены с пропанпропиленовой фракцией крекинг-газа, и поэтому из них трудно сделать теоретические обобщения.

Таблица 10

Влияние процента контактирования на соотношение получающихся продуктов для реакции —  $C_4H_8 + C_6H_6$ ; температура 210 °C; объем 240 мл; количество кислоты 35,8г

| $H_2O$ | $C_4H_8$ | $C_6H_6$ | $\frac{C_4H_8}{C_6H_6}$ | $t$ | $\tau$ в сек. | $\alpha$ | Моно<br>в молях | Ди<br>в молях | % моно |
|--------|----------|----------|-------------------------|-----|---------------|----------|-----------------|---------------|--------|
| 382    | 0,273    | 0,845    | 3,1                     | 195 | 17,7          | 16,9     | 0,0511          | 0,0395        | 56,5   |
| 40     | 0,190    | 0,745    | 3,92                    | 170 |               |          |                 |               |        |
| 354    | 0,294    | 0,995    | 3,38                    | 250 |               |          |                 |               |        |
| 445    | 0,250    | 0,745    | 2,98                    | 360 | 34,6          | 23,4     | 0,0623          | 0,0460        | 57,5   |
| 377    | 0,208    | 0,620    | 2,98                    | 300 |               |          |                 |               |        |
| 367    | 0,208    | 0,620    | 2,98                    | 300 |               |          |                 |               |        |
| 470    | 0,081    | 0,226    | 2,78                    | 214 | 49,5          | 22,1     | 0,0359          | 0,0267        | 57,5   |
| 397    | 0,119    | 0,281    | 2,37                    | 302 |               |          |                 |               |        |
| 456    | 0,101    | 0,281    | 2,78                    | 302 |               |          |                 |               |        |
| 440    | 0,104    | 0,281    | 2,70                    | 304 | 62,5          | 24       | 0,0308          | 0,0248        | 55,0   |
| 456    | 0,125    | 0,355    | 2,85                    | 306 |               |          |                 |               |        |
| 414    | 0,106    | 0,281    | 2,66                    | 305 |               |          |                 |               |        |
| 425    | 0,102    | 0,281    | 2,75                    | 300 |               |          |                 |               |        |

Таблица 11

Влияние процента превращения и температуры на состав продукции

| $H_2O$ | $C_4H_8$ | $C_6H_6$ | $\frac{C_4H_8}{C_6H_6}$ | $\tau$ | $\alpha$ | Моно<br>в молях | Ди<br>в молях | % моно |
|--------|----------|----------|-------------------------|--------|----------|-----------------|---------------|--------|
| 210° C |          |          |                         |        |          |                 |               |        |
| 353    | 0,767    | 1,892    | 2,47                    | 10,6   | 6,8      | 0,0258          | 0,0067        | 79,0   |
| 421    | 0,221    | 0,535    | 2,20                    | 38,5   | 23,9     | 0,0322          | 0,0076        | 81,0   |
| 470    | 0,218    | 0,488    | 2,24                    | 9,6    | 16,2     | 0,0251          | 0,0059        | 81,0   |
| 410    | 0,152    | 0,321    | 2,12                    | 27,6   | 23,3     | 0,0213          | 0,0050        | 81,0   |
| 406    | 0,678    | 1,900    | 2,84                    | 16,7   | 15,0     | 0,0678          | 0,0103        | 86,5   |
| 374    | 0,183    | 0,550    | 3,00                    | 20,2   | 15,7     | 0,0222          | 0,0037        | 85,6   |
| 395    | 0,214    | 0,555    | 2,60                    | 41,8   | 26,2     | 0,0400          | 0,0068        | 81,5   |
| 397    | 0,316    | 1,039    | 2,90                    | 59,3   | 30,0     | 0,0752          | 0,0118        | 86,5   |
| 190° C |          |          |                         |        |          |                 |               |        |
| 211    | 0,318    | 0,952    | 2,82                    | 12,8   | 13,5     | 0,0466          | 0,0134        | 77,8   |
| 186    | 0,502    | 1,467    | 2,93                    | 25,9   | 20,5     | 0,0645          | 0,0161        | 80,0   |
| 216    | 0,494    | 1,443    | 2,98                    | 94,4   | 32,1     | 0,0967          | 0,0290        | 77,0   |
| 193    | 0,231    | 0,689    | 2,98                    | 102,0  | 46,7     | 0,0625          | 0,0202        | 75,6   |
| 170° C |          |          |                         |        |          |                 |               |        |
| 108    | 0,229    | 0,610    | 2,96                    | 27,6   | 14,0     | 0,0212          | 0,0140        | 74,0   |
| 142    | 0,125    | 0,350    | 2,80                    | 93,6   | 21,5     | 0,0150          | 0,0053        | 74,0   |
| 176    | 0,219    | 0,615    | 2,80                    | 40,8   | 23,8     | 0,0322          | 0,0108        | 75,0   |
| 131    | 0,208    | 0,620    | 2,98                    | 31,5   | 24,0     | 0,0179          | 0,0054        | 76,2   |
| 132    | 0,104    | 0,292    | 2,81                    | 12,7   | 24,0     | 0,0179          | 0,0048        | 78,5   |
| 105    | 0,300    | 0,880    | 2,94                    | 17,3   | 38,8     | 0,0710          | 0,0226        | 76,0   |
| 91     | 0,208    | 0,609    | 2,93                    | 32,4   | 42,0     | 0,0417          | 0,0145        | 74,3   |
| 135    | 0,146    | 0,434    | 2,98                    | 63,0   | 78,5     | 0,0574          | 0,0204        | 78,5   |
| 150° C |          |          |                         |        |          |                 |               |        |
| 292    | 0,344    | 1,000    | 2,91                    | 14,4   | 10,5     | 0,0301          | 0,0097        | 75,6   |
| 48,7   | 0,346    | 0,925    | 2,88                    | 16,8   | 17,0     | 0,0580          | 0,0209        | 73,5   |
| 93,5   | 0,210    | 0,610    | 2,90                    | 27,7   | 60,5     | 0,0402          | 0,0140        | 74,0   |
| 94,5   | 0,316    | 0,936    | 2,96                    | 29,6   | 45,5     | 0,0580          | 0,0204        | 74,0   |
| 65,5   | 0,294    | 0,870    | 2,95                    | 47,6   | 31,5     | 0,0716          | 0,0296        | 71,0   |
| 56,0   | 0,254    | 0,740    | 2,91                    | 56,6   | 65,0     | 0,0788          | 0,0263        | 75,0   |
| 95,7   | 0,256    | 0,745    | 2,91                    | 59,5   | 59,5     | 0,0835          | 0,0322        | 72,0   |



так как работа проделана не с чистым пропиленом, а со смесями, благодаря чему образовалась целая гамма продуктов.

Наши исследования мы провели в интервале отношений бензола к пропилену от 1 : 1 до 7 : 1 при температурах 170 и 210° С. Отдельные опыты были проведены и при других температурах. Полученные данные приведены в табл. 12 и на рис. 5.

Таблица 12

## Влияние соотношения реагентов на состав продукта

| №         | t°С | C <sub>6</sub> H <sub>6</sub> | C <sub>3</sub> H <sub>6</sub> | C <sub>6</sub> H <sub>6</sub><br>C <sub>3</sub> H <sub>6</sub> | α    | Моно    | Ди     | Три    | % мо |      |
|-----------|-----|-------------------------------|-------------------------------|--|------|---------|--------|--------|------|------|
|           |     |                               |                               |  |      | в молях |        |        |      |      |
| 77        | 170 | 0,333                         | 0,333                         | 1,00   | 24,4 | 0,0251  | 0,0134 | 0,0098 | 52,0 |      |
| 68        | 170 | 0,333                         | 0,328                         | 1,00   | 19,4 | 0,0215  | 0,0118 | 0,0064 | 54,0 |      |
| Табл. 3,4 | 170 | —                             | —                             | 3,00   | —    | —       | —      | —      | 74,7 |      |
|           | 84  | 170                           | 0,463                         | 0,104  | 4,45 | 38,0    | 0,0263 | 0,0053 | —    | 83,5 |
| 85        | 170 | 1,22                          | 0,250                         | 4,87   | 54,2 | 0,0935  | 0,0158 | —      | 86,0 |      |
| 26        | 170 | 0,451                         | 0,0835                        | 5,40   | 60,0 | 0,0122  | 0,0011 | —      | 92,5 |      |
| 25        | 170 | 0,97                          | 0,167                         | 5,80   | 69,0 | 0,0573  | 0,0048 | —      | 92,0 |      |
| 27        | 170 | 1,57                          | 0,250                         | 6,29   | 43,5 | 0,0394  | 0,0027 | —      | 93,5 |      |
| 24        | 170 | 0,875                         | 0,125                         | 7,00   | 41,8 | 0,0302  | 0,0018 | —      | 94,5 |      |
| 71        | 210 | 0,333                         | 0,328                         | 1,00   | 12,5 | 0,0200  | 0,0080 | 0,0020 | 66,5 |      |
| 76        | 210 | 0,654                         | 0,656                         | 1,00   | 17,1 | 0,0685  | 0,0250 | 0,0062 | 69,0 |      |
| 7         | 210 | 0,677                         | 0,336                         | 2,03   | 32,8 | 0,0680  | 0,0212 | —      | 76,5 |      |
| 11        | 210 | 0,321                         | 0,152                         | 2,12   | 23,2 | 0,0215  | 0,0051 | —      | 81,0 |      |
| 9         | 210 | 0,498                         | 0,218                         | 2,24   | 16,2 | 0,0251  | 0,0059 | —      | 81,0 |      |
| Табл. 4   | 210 | —                             | —                             | 3,00   | —    | —       | —      | —      | 85,0 |      |
|           | 86  | 210                           | 1,180                         | 0,246  | 4,82 | 28,0    | 0,0546 | 0,0040 | —    | 93,5 |
|           | 30  | 210                           | 1,100                         | 0,167  | 6,59 | 96,5    | 0,0129 | 0,0005 | —    | 96,5 |

Из рис. 4. видно, что вначале увеличение моноалкилбензола с ростом отношения бензола к пропилену идет очень быстро, а в дальнейшем приближаясь к 90%, значительно медленнее. Поэтому наиболее выгодно вести процесс при соотношении 5 : 1.

Дальнейшее же увеличение отношения не имеет смысла, так как существенного увеличения количества моноалкилбензола не вызовет и только лишь понизит производительность катализатора.

## Влияние концентрации кислоты

Вопрос о влиянии кислотных катализаторов на соотношение получающихся продуктов, т. е. на направление реакции, представляет известный теоретический и практический интерес. По данному вопросу в литературе не имеется указаний общего характера, а только встречаются

Таблица 13

## Влияние концентрации кислоты на соотношения получающихся продуктов

| PH <sub>2</sub> O | $\frac{C_6H_6}{C_3H_6}$ | $\alpha$ | Моно    | Ди     | % моно |
|-------------------|-------------------------|----------|---------|--------|--------|
|                   |                         |          | в молях |        |        |
| 60                | 2,85                    | 44,5     | 0,0716  | 0,0996 | 71,0   |
| 51,5              | 2,91                    | 56,5     | 0,0783  | 0,0263 | 75,0   |
| 50                | 2,88                    | 16,8     | 000580  | 0,0209 | 73,5   |
| 94,5              | 2,96                    | 29,6     | 0,0580  | 0,0204 | 74,0   |
| 98,4              | 2,90                    | 27,7     | 0,0402  | 0,0140 | 74,0   |
| 96                | 2,91                    | 59,5     | 0,0825  | 0,0322 | 72,0   |
| 296               | 3,0                     | 21,9     | 0,0400  | 0,0171 | 70,0   |
| 290               | 2,91                    | 14,4     | 0,0301  | 0,0097 | 75,6   |
| 305               | 2,97                    | 26,0     | 0,0225  | 0,0091 | 71,0   |
| 299               | 2,98                    | 40,8     | 0,0107  | 0,0053 | 67,5   |

ельные скудные экспериментальные данные, на основании которых можно делать какие-либо заключения.

Мы провели серию опытов при различной концентрации фосфорной кислоты при  $150^{\circ}\text{C}$ , причем упругость пара воды над кислотой менялась от 50 до 300 мм рт. ст., что соответствует изменению функции кислотности на 0,44 единицы. Полученные результаты приведены в табл. 13.

Как видно из этих данных, изменение концентрации кислоты не влияет на соотношение получающихся продуктов, т. е. не влияет на направление реакции.

Ввиду параллельности реакции и одинаковости порядка реакции, изменение соотношений получающихся продуктов в связи с изменением концентрации кислоты должно зависеть от характера изменения констант скоростей образования моно- и диалкилата в зависимости от функции кислотности. Из приведенных результатов вытекает, что в уравнении  $k = aH_0 + b$  (где  $k$  — константа скорости,  $H_0$  — функция кислотности) постоянное значение  $a$  для обеих реакций равно, различные значения имеет коэффициент  $b$ .

### ВЫВОДЫ

1. На основании изучения кинетики алкилирования бензола пропиленом показано, что основными продуктами реакции являются изо- и *p*-диизопропилбензол.
2. Описана струевая установка, позволяющая довольно точно регулировать количество и скорость подачи двух жидкостей и одного газа.
3. Изучена кинетика реакции при четырех температурах (150, 170, 190,  $210^{\circ}\text{C}$ ) и показано, что эффективная энергия активации близка к нулю при постоянной концентрации кислоты.
4. Процент превращения исходных реагентов не влияет на соотношение продуктов, т. е. образование изо- и диизопропилбензола идет параллельно.
5. Показано, что с увеличением температуры отношение изо- к диизопропилбензолу увеличивается, оставаясь постоянным для каждой температуры, независимо от общего процента превращения.
6. Изучено влияние отношения бензола к пропилену в пределах от 1 до 7 : 1 при температуре 170 и  $210^{\circ}\text{C}$  и показано, что по мере увеличения этого отношения растет выход изопропилбензола. Особенно резко возрастание идет до соотношения 5 : 1.
7. Показано, что изменение концентрации кислоты не влияет на соотношение продуктов реакции.

Среднеазиатский политехнический институт

Поступила  
4.V.1955

### ЛИТЕРАТУРА

- А. В. Топчиев и Я. М. Паушкин, Соединения фтористого бора как катализатора в реакциях алкилирования, полимеризации и конденсации, Гостоптехиздат, 1949.
- Ю. Г. Мамедалиев, Реакция алкилирования в производстве авиационных топлив, Баку, Азнефтеиздат, 1945.
- А. И. Доладугин, Ю. Л. Хмельницкий, Труды ЦИАТИМ, вып. 1, 72, 1946; вып. 2, 78, 1946; Нефть. хозяйство, № 3, 44, 1944; № 10, 43, 1945.
- Е. И. Скрипник, Труды Грозненского нефтяного ин-та, Сб., 6, 73, 1948.
- F. W. Melpolder, J. E. Woodridge a. C. E. Headigton, Journ. Amer. Chem. Soc., 70, 935, 1948.
- B. J. Fontana, Journ. Amer. Chem. Soc., 73, 3348, 1951.
- М. И. Винник, Кандидатская диссертация, 1952, Ин-т химической физики АН СССР.
- W. N. Ipatiev a. L. Schmerling, Ind. Eng. Chem., 38, 400, 1946.
- A. A. O'Kelly, L. Kellet a. P. Plucker, Ind. Eng. Chem., 39, 154, 1947.

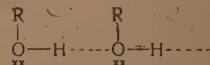
## ПРИРОДА ВОДОРОДНОЙ СВЯЗИ И ЕЕ ВЛИЯНИЕ НА КОЛЕБАТЕЛЬНЫЕ И ЭЛЕКТРОННЫЕ СПЕКТРЫ МОЛЕКУЛ

*Д. Н. Шигорин и Н. С. Докунихин*

В работах одного из нас [1—3] было установлено, что внутримолекулярные водородные связи  $O - H \dots O = C$  или  $N - H \dots O = C$ , включенные в молекулы с сопряженными связями, особым образом проявляют себя в колебательных и электронных спектрах молекул. Было показано, что в молекулах энольного изомера ацетилацетона, в димерах амидинокарбоновых кислот [4] и т. п. валентные колебания групп  $O-H$  и  $N-H$  характеризуются резко смещенными и сильно размытыми полосами. Это явление своеобразного проявления внутримолекулярной водородной связи, включенной в систему сопряженных связей, было объяснено тем, что в ее образовании, наряду с дипольным и акцепторно-донорным взаимодействием, существенную роль играет непосредственное взаимодействие деформированного (в направлении  $\sigma \rightarrow \pi$ ) электронного облака атома водорода с  $\pi$ -электронным облаком атома кислорода группы  $C=O$ ; в результате этого образуется дополнительный цикл с  $\pi$ -электронным взаимодействием. Таким образом, возникшие изменения в  $\pi$ -электронном взаимодействии в одном месте молекулы посредством  $\pi$ -электронного взаимодействия передаются на всю цепь атомов. Водородная связь в общем случае образуется за счет трех видов взаимодействий: дипольного, акцепторно-донорного [5],  $\pi$ -электронного взаимодействий [1,2].

$$E = E_d + E_a + E_{\pi}.$$

Образование водородных связей типа



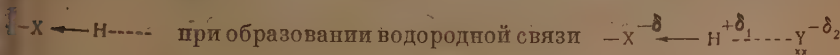
за счет ди

польного и акцепторно-донорного взаимодействия сопровождается значительной деформацией  $\sigma$ -электронного облака связи  $O-H$  в направлении более электроотрицательного атома (кислорода). Это приводит к некоторому увеличению полярности связи. Увеличение дипольного момента метанола ( $\Delta\mu = 0,18D$ ), фенола ( $\Delta\mu = 0,30D$ ) и других в диоксановом растворе по сравнению с бензольным является прямым доказательством возрастания полярности связи  $O-H \dots$ , участвующей в образовании межмолекулярной водородной связи:  $O-H \dots O$  [6]. Параллельно с ростом величины относительного смещения частоты валентного колебания ( $\Delta\nu$ ) связи  $O-H \dots$  наблюдается увеличение относительного изменения дипольного момента ( $\Delta\mu$ ). Наши измерения интегральных интенсивностей полос валентных колебаний группы  $O-H$  и  $N-H$  (изатина, индиго, фенола, метилового спирта, 2-оксипантрахинона) показывают резкое их увеличение (5—10 раз) при переходе от паров к жидкости или твердому состоянию. Значительное увеличение интенсивности полос валентных колебаний групп  $O-H$ ,  $N-H$ , участвующих в образовании водородных связей (энергия которых определяется как сумма  $E = E_d + E_a$ ), может быть объяснено не только увеличением дипольного момента связи при образовании водородной связи, но главным образом его изменением в процессе колебания.

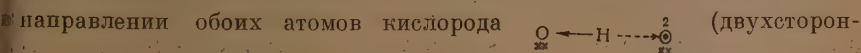
Значительное возрастание производной дипольного момента по ядерной координате  $\frac{\partial \mu}{\partial q}$  в процессе колебания для  $X-H \dots Y$  по сравнению



— Н, повидимому, связано с линейным и симметричным характером валентных колебаний атомов цепи с водородными связями и принципом Ланжана — Кондона. Здесь, как и в других аналогичных случаях при колебании, расстояние между тяжелыми ядрами  $X \leftrightarrow Y$  мало меняется, а расстояние  $H \dots Y$  уменьшается почти на столько, на сколько удлиняется  $X \dots H$ . В таких условиях, естественно, происходит существенное изменение величины эффективного заряда атома водорода. В комплексах с водородной связью с увеличением расстояния  $X-H \dots$  водород несколько протонируется [5]. Следовательно, причинами снижения частоты валентного колебания связи  $X-H \dots$  является уменьшение электронной плотности в связи в результате соответствующей ее деформации



Изменение эффективного заряда атома водорода в процессе колебания. Указанными причинами можно объяснить особенности проявления (некоторое уменьшение смещения, размытия и интенсивности) полос валентных колебаний групп  $O-H \dots$ . Другой тип водородной связи характеризуется преобладающим значением  $\pi$ -электронного взаимодействия в ее образовании и определении ее природы. Природа такого типа водородной связи определяется тем, что электрон атома водорода при известных условиях может непосредственно участвовать во взаимодействии с  $\pi$ -электронами соседних атомов и передавать это взаимодействие по системе «сопряженных» связей, что способствует обобществлению электронов в молекуле. Включение атома водорода в  $\pi$ -электронное взаимодействие молекулы сопровождается определенной деформацией его электронного облака и соответствующими энергетическими изменениями. Деформация электронного облака атома водорода в случае образования внутримолекулярной водородной связи с  $\pi$ -электронным взаимодействием должна существенно отличаться от той деформации, которую оно испытывает при образовании водородной связи, где дипольное и акцепторно-донорное взаимодействие играет решающую роль. Если в последнем случае электронное облако атома водорода испытывает одностороннюю деформацию в направлении своего («своего») электроотрицательного атома, то при образовании внутримолекулярной водородной связи с  $\pi$ -электронным взаимодействием, повидимому, происходит деформация электронного облака атома водорода



деформация, связанная с образованием цикла), что должно привести к меньшему увеличению полярности связи или даже к ее уменьшению. Деформация электронного облака атома  ${}_1O$  увеличивает полярность связи, а деформация в направлении  ${}_2O$  уменьшает значение полярности. В тех случаях, когда в силу структурных особенностей молекулы атом водорода вынужденно располагается на малых расстояниях от второго атома кислорода  ${}_1O-H-{}_2O$  (как, например, в глиоксиме никеля), тогда, повидимому, имеет место сильная деформация электронного облака атома водорода в направлении, перпендикулярном к связи ( $\sigma \rightarrow \pi$ ). Плоскостное расположение групп  $C=O$  и  $H-N-H$  в этих случаях способствует  $\pi$ -электронному взаимодействию в образовании водородной связи. В последнее время распределение электронной плотности атома водорода, участвующего в образовании водородной связи с  $\pi$ -электронным взаимодействием, изучается рентгеновским и электронографическим методами. В работе Б. И. Вайнштейна [7] при электронографическом исследовании кристаллов дикетопиперазина обнаружена вытянутость пика потенциала атома водорода группы  $N-H$  в направлении связи к атому

кислорода, с которым он образует водородную связь. Этот факт автор истолковывает как результат вытянутости потенциальной ямы водорода группы N — H в направлении к атому кислорода. В свою очередь, растяжение или вытянутость потенциальной ямы атома водорода в направлении атома, с которым он образует водородную связь, по нашему мнению является следствием одновременного участия деформированного электронного облака атома водорода во взаимодействии с соседними атомами.

В работах [8, 9] по рентгеноструктурному исследованию кристаллов бензойной и, соответственно, салициловой кислоты также делается вывод о вытянутости электронного облака атома водорода группы  $_1\text{O} - \text{H} \dots$  вдоль связи, в направлении второго атома кислорода. Эти экспериментальные данные подтверждают ранее высказанные одним из нас [1], представления о соответствующей деформации электронного облака атома водорода, участвующего в образовании водородной связи с  $\pi$ -электронным взаимодействием. Весьма желательно изучение структурными методами распределения электронной плотности атома водорода, участвующего в образовании другого типа водородной связи. В этом случае следует ожидать отсутствия вытянутости электронного облака в направлении атома Y, с которым он образует водородную связь за счет дипольного и а

цепторно-донорного взаимодействия  $\overset{\text{X}}{\text{X}} \leftarrow \text{H} \cdots \overset{\text{Y}}{\text{X}}$

При образовании циклической (внутримолекулярной) водородной связи, включенной в сопряженную систему связей, электроны деформированной  $\sigma$ -связи —  $\text{X} - \text{H} \dots$  включаются во взаимодействие  $\pi$ -электронов всей молекулы. Поэтому к этим случаям применимы закономерности характерные для  $\pi$ -электронных систем. Принцип взаимодействия  $\pi$ -электронов с антипараллельными спинами состоит в том, что существующая максимальная энергия их взаимодействия с изменением числа соседей, и геометрического расположения и природы распределяется так, что усиление взаимодействия с одним из соседей приведет к ослаблению взаимодействия с другими. Принцип периодического взаимодействия электронов [9] исключает представление об образовании химических связей только парами электронов, а также их насыщаемость, сводящуюся только к парному насыщению спинов электронов. Затрата энергии на изменение энергетических состояний электронов окупается, повидимому, тем, что взаимодействие электронов (при известных условиях) с несколькими соседними атомами энергетически более выгодно. Взаимодействие ансамбля  $\pi$ -электронов с антипараллельными спинами (а не образование изолированных электронных пар) обуславливает стабилизацию соединений с сопряженными связями [10].

Из рассматриваемой модели водородной связи с преобладающим значением  $\pi$ -электронного взаимодействия можно сделать следующие выводы. Одной из причин, объясняющей снижение частоты валентного колебания группы  $\text{O} - \text{H}$ , в этом случае является значительное уменьшение электронной плотности в связи вследствие непосредственного участия электронов атома водорода в образовании связей с двумя соседними атомами кислорода.

Из этой модели также следует, что полярность групп  $\text{O} - \text{H}$  (или вообще  $\text{X} - \text{H}$ ), принимающих участие в ее образовании, должна увеличиваться меньше, чем в предыдущем случае, или даже может уменьшаться.

В этом случае в силу особенностей природы водородной связи и нелинейности валентных колебаний атомов, участвующих в ее образовании изменение дипольного момента при колебании, повидимому, мало или имеет обратное направление ( $\frac{\partial \mu}{\partial q} < 0$ ) по сравнению с другим типом водородной связи. Следовательно, в инфракрасном спектре поглощения интенсивности

злосы группы  $O - H...$ , образующей внутримолекулярную водородную связь с преимущественным значением  $\pi$ -электронного взаимодействия, должна быть меньше интенсивности полосы  $O - H$ , участвующей в образовании межмолекулярной водородной связи, где дипольное и акцепторно-донорное взаимодействие играют главную роль.

Константа диссоциации для групп  $O - H...$ , участвующих в образовании внутримолекулярных водородных связей с преимущественным значением  $\pi$ -электронного взаимодействия, должна быть значительно ниже константы диссоциации групп  $-O - H...$ , принимающих участие в образовании межмолекулярных водородных связей, в которых дипольное и акцепторно-донорное взаимодействие имеют решающее значение.

Далее из рассматриваемой модели следует, что полосы валентных колебаний групп  $O - H$ , участвующих в образовании внутримолекулярных водородных связей с  $\pi$ -электронным взаимодействием, должны быть не только сильно смещены в сторону длинных волн, но и сильно размыты. В этом случае группа  $-X - H...$  непосредственно включается в  $\pi$ -электронное взаимодействие всей молекулы. В силу этого взаимодействие связей  $X - H$  и  $H ... Y$  как между собой, так и с остальной частью молекулы (в таких случаях) должно быть наиболее значительным. Тогда взаимодействие колебательных уровней связей  $X - H$  и  $H ... Y$  и их влияние на положение электронных уровней молекулы становятся существенными. Поэтому поглощенная группой  $O - H ...$  энергия в виде кванта света будет интенсивно передаваться, рассеиваться внутри молекулы. Это приведет к сокращению времени жизни молекулы в возбужденном колебательном состоянии, что согласно соотношению «неопределенностей»  $\Delta E = \hbar$  должно сопровождаться размытием полосы.

Идея о том, что размытие полосы валентного колебания группы  $X - H...$  может наблюдаться в отдельной связи  $X - H ... Y$ , была высказана Б. И. Степановым в его преддиссоциационной теории оптического проявления водородной связи [11]. В этой теории предполагается, что энергия, поглощенная связью  $O - H$  в виде светового кванта ( $\nu = 3670 \text{ см}^{-1}$ ), может быть безвозвратно передана связи  $O ... H$ , которая при этом может разорваться (диссоциировать). В преддиссоциационной теории водородной связи в общем случае неправильно решается вопрос о «судьбе» энергии, переданной связью  $O - H$  на связь  $O ... H$ . Вопрос о «судьбе» переданной энергии нельзя правильно решить, если рассматривать взаимодействие  $O - H$  и  $O ... H$  изолированно от молекулы как целого и от особенностей ее химического строения.

В ассоциатах образуются цепи с водородными связями, в образовании которых принимают участие оба атома группы  $...X - H...$ , что способствует быстрому рассеянию поглощенной энергии по цепи.

Замечательным свойством внутримолекулярных водородных связей с  $\pi$ -электронным взаимодействием является то, что они способны принять на себя энергию, в несколько раз большую, чем та, которая требуется для их разрыва, и затем передать ее внутрь молекулы посредством  $\pi$ -электронного взаимодействия [12]. В процессе передачи и трансформации энергии более слабая водородная связь не рвется благодаря тому, что она в силу своей природы способна передать ее, а остальная часть молекулы, аккумулирующая энергию, — принять. Большим принципиальным вопросом является то, каким образом водородная связь (имеющая энергию диссоциации  $\sim 2000 \text{ см}^{-1}$ ) «разменивает» большой квант энергии ( $\nu = 3670 \text{ см}^{-1}$ ), принимаемый от соседней связи, и трансформирует его в энергию электронно-колебательного возбуждения молекулы. При выяснении этого вопроса, вероятно, будут вскрыты более глубокие причины размытия полос валентных колебаний групп, участвующих в образовании внутримолекулярных водородных связей с  $\pi$ -электронным взаимодействием. В тех случаях, когда внутримолекулярная водородная связь образуется без (или при слабом) участии  $\pi$ -электронов (гваякол, оксоктенол [13],



Таблица 1

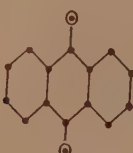

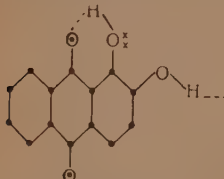
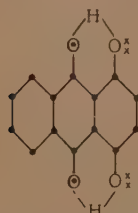
| Наименование соединения   | $\nu$ (O—H) $\text{см}^{-1}$<br>внутримолеку-<br>лярной водород-<br>ной связи | $\nu$ (O—H...) $\text{см}^{-1}$<br>межмолекуляр-<br>ной водородной<br>связи | $\nu$ (O—H) $\text{см}^{-1}$ | $\nu$ (C=O...), уча-<br>ствующей в об-<br>разовании водо-<br>родной связи,<br>$\text{см}^{-1}$ | $\nu$ (C=O), $\text{см}^{-1}$ | $\lambda_{\text{макс}}$ спектра<br>поглощения в шр-<br>м по литератур-<br>ным данным [18] | $\lambda_{\text{макс}}$ спектра<br>флуоресценции<br>в шр по литерат.<br>данным [18] |
|---|---|---|------------------------------|--|-------------------------------|---|---|
| Антрахинон  |   |   |                              |  | 1672                          | 325   | 480   |
|    |   |   |                              |  |                               |   |   |
| 4-хлорантрахинон  |   |   |                              |  | 1670                          |   |   |
| 2-хлорантрахинон  |   |   |                              |  | 1670                          |   |   |
| 1,5-дихлорантрахинон  |   |   |                              |  | 1668                          |   |   |
| 1,8-дихлорантрахинон  |   |   |                              |  | 1672                          |   |   |
| 2-метилантрахинон   |   |   |                              |  | 1670                          |   |   |
| 2-оксиантрахинон кристалл   |   | 3350  |                              | 1650   |                               |   |   |
| То же пары (290°)   |   |   | 3620(p)                      |  |                               | 375   | 450   |
| 4-оксиантрахинон кристалл   | ~3050(ш)<br>(очень<br>слабая)   |   |                              | 1630   | 1670                          |   |   |
|    |   |   |                              |  |                               |   |   |
| То же расплав (190—193°)  | ~3100(ш)  |   |                              |  |                               |   |   |
| То же пары (310°)   | ~3130(ш)  |   |                              |  |                               | 410   | 550   |
| 1,2-диоксиантрахинон (ализа-<br>рин) кристалл                                       | ~3100(ш)  | 3380,<br>3435   |                              | 1625,<br>1645  |                               |   |   |
|  |   |   |                              |  |                               |   |   |
| То же пары (290°)   | ~3120(ш)  |   | 3625(p)                      |  |                               |   |   |
| 1,4-диоксиантрахинон кристалл   | ~3100(ш)  |   |                              | 1625   |                               |   |   |
|  |   |   |                              |  |                               |   |   |
| То же расплав (200°)  | ~3150(ш)  |   |                              |  |                               | 480   | 550   |
| То же пары (260°)   | ~3150(ш)  |   |                              |  |                               |   |   |

Таблица 1 (продолжение)

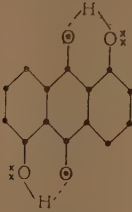


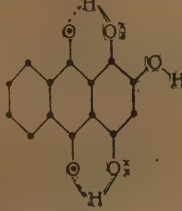
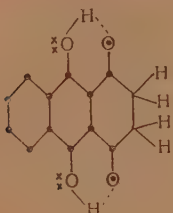
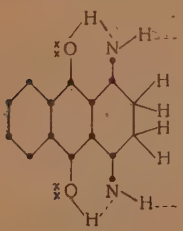
| Наименование соединения   | $\nu$ (O—H) $\text{см}^{-1}$<br>внутримолекуляр-<br>ной водородной<br>связи | $\nu$ (O—H...) $\text{см}^{-1}$<br>межмолекуляр-<br>ной водородной<br>связи | $\nu$ (O—H) $\text{см}^{-1}$ | $\nu$ (C=O...), уча-<br>ствующей в об-<br>разовании водо-<br>родной связи,<br>$\text{см}^{-1}$ | $\nu$ (C=O) $\text{см}^{-1}$ | $\lambda_{\text{макс}}$ спектра<br>поглощения $\text{ш}^{\text{р}}$<br>по литерат.<br>данным [18] | $\lambda_{\text{макс}}$ спектра<br>флуоресценции<br>в $\text{ш}^{\text{р}}$ по литерат.<br>данным [18] |
|---|---|---|------------------------------|--|------------------------------|---|--|
| 3-диоксиантрахинон кристалл   | ~3100(ш)  |   |                              | 1625   |                              |   |  |
|     |   |   |                              |  |                              |   |  |
| То же пары (300°)   | ~3125(ш)  |   |                              |  |                              |   |  |
| 8-диоксиантрахинон кристалл   | ~3100(ш)  |   |                              | 1625   | 1670                         |   |  |
|     |   |   |                              |  |                              |   |  |
| То же расплав   | ~3150(ш)  |   |                              |  |                              |   |  |
| То же пары (300°)   | ~3150(ш)  |   |                              |  |                              |   |  |
| Нафтазарин пары (230°)  | Широкая<br>полоса<br>с двумя<br>макси-<br>мумами<br>3215,<br>3290           |   |                              |  |                              |   |  |
|  |   |   |                              |  |                              |   |  |
| 1, 2, 4-триоксиантрахинон (пур-<br>пурин) пары (318—320°)                           | ~3150(ш)  |   | 3620(р)                      |  |                              | 480   | 560  |
|   |   |   |                              |  |                              |   |  |
| 2-окси-3-хлорантрахинон кри-<br>сталл   |   | 3450  |                              |  |                              |   |  |

Таблица 1 (продолжение)

| Наименование соединения   | $\nu(\text{O}-\text{H})$ см <sup>-1</sup><br>внутримолекулярной водородной связи | $\nu(\text{O}-\text{H} \dots)$ см <sup>-1</sup><br>межмолекулярной водородной связи | $\nu(\text{O}-\text{H})$ см <sup>-1</sup> | $\nu(\text{C}=\text{O} \dots)$ , участвующей в образовании водородной связи, см <sup>-1</sup> | $\nu(\text{C}=\text{O})$ см <sup>-1</sup> | $\lambda_{\text{макс}}$ спектра поглощения в см по литератур. данным [18] | $\lambda_{\text{макс}}$ спектра флуоресценции в см по литератур. данным [18] |
|---|--|---|---|---|---|---|--|
| 1-окиси-2-метилантрахином пары (310°)   | ~3130(ш)   |   |   | 1630  | 1672                                      |   |  |
| Лейкохизарин кристалл   | ~3100(ш)   |   |   | 1642  |   |   |  |
|  |  |   |   |   |   |   |  |
| Лейко-1,4-диаминоатрахион кристалл  | $\nu_{\text{OH}} = 3200(\text{ш})$ ,<br>$\nu_{\text{NH}} = 3430(\text{р})$       |   |   |   |   |   |  |
|  |  |   |   |   |   |   |  |

Примечание: ш — широкая; р — резкая; ● —  $\pi$ -электроны; × — неподеленные электронные пары.

диацетонный спирт, о-метоксибензиловый спирт), полосы валентных колебаний групп О—Н, участвующих в ее образовании, мало смещены и слабо размыты. Доля энергии  $\pi$ -электронного взаимодействия в образовании водородной связи может быть приблизительно оценена из величин относительного смещения частот валентных колебаний групп О—Н таких молекул, как диацетонный спирт и энольный изомер ацетилацетона, метилсалицилат, а также салола, ортонитрофенола; трополона [14] и оксокетенола и тому подобных систем.

Энергия водородной связи  $E = \frac{1}{k} \frac{\nu_0 - \nu}{\nu_0}$ , где  $k = 1,7 \cdot 10^{-2}$  ккал<sup>-1</sup>;  $\nu_0, \nu$  — соответственно несмещенная и смещенная частоты в см<sup>-1</sup> [15]. Доля  $\pi$ -электронного взаимодействия в образовании водородной связи, может быть приблизительно оценена как  $\Delta E_{\pi} = \frac{E - (E_a + E_d)}{E}$ , где  $E_a + E_d$  — энергия акцепторно-донорного и дипольного взаимодействия, равная энергии водородной связи в подобном соединении без  $\pi$ -электронного взаимодействия.

Наши данные показывают, что доля энергии  $\pi$ -электронного взаимодействия для разных соединений составляет 50—85% от общей энергии водородной связи.



Таблица 2

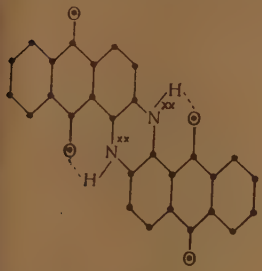
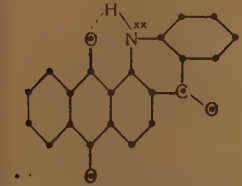
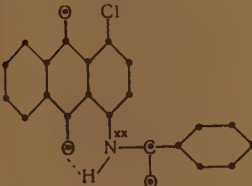
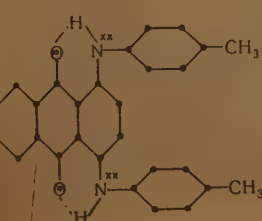
| Наименование соединения  | $\nu$ (N—H...) $\text{см}^{-1}$<br>внутримолекулярной водородной связи | $\nu$ (N—H...) $\text{см}^{-1}$<br>межмолекулярной водородной связи | $\nu$ (N—H) $\text{см}^{-1}$ | $\nu$ (C=O...) $\text{см}^{-1}$ | $\nu$ (C=O) $\text{см}^{-1}$ | Макс. спектра поглощения в $\text{ш}^{\text{м}}$ по литератур. данным [16] и авторов | Макс. спектра флуоресценции в $\text{ш}^{\text{м}}$ по литератур. данным [16] |
|--|--|---|------------------------------|---------------------------------|------------------------------|--|---|
| Бидантрон кристалл   | 3165(ш)  |   |                              | 1630                            | 1660                         |  |   |
|    |  |   |                              |                                 |                              |  |   |
| Бидантрон пары (315°)  | 3220(ш)  |   |                              |                                 |                              |  |   |
| 4,4'-фталлоилакридон кристалл  | 3200(ш)  |   |                              | 1630                            | 1666                         |  |   |
|    |  |   |                              |                                 |                              |  |   |
| 4-хлор-4'-бензоиламиноантрахион кристалл   | Широкая полоса с двумя максимумами 3140, 3170                          |   |                              |                                 |                              |  |   |
|  |  |   |                              |                                 |                              |  |   |
| 4,4'-ди-п-толуидоантрахион кристалл  | 3120(ш)  |   |                              | 1620                            |                              | 645 (1,51)<br>610 (1,42)<br>410 (0,65)   |   |
|  |  |   |                              |                                 |                              |  |   |

Таблица 2 (продолжение)

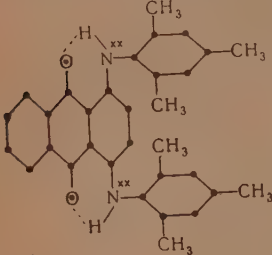
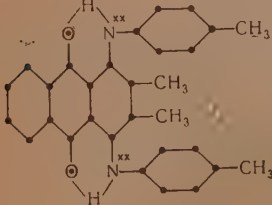
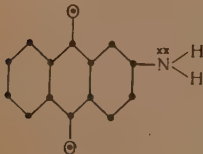
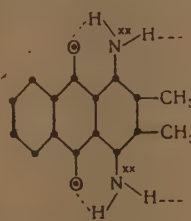
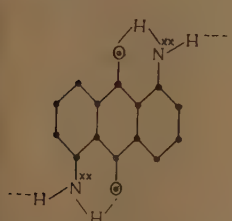
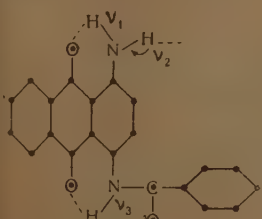
| Наименование соединения   | $\nu$ (N—H...) $\text{см}^{-1}$<br>внутримолеку-<br>лярной водород-<br>ной связи | $\nu$ (N—H...) $\text{см}^{-1}$<br>межмолекуляр-<br>ной водородной<br>связи | $\nu$ (N—H) $\text{см}^{-1}$ | $\nu$ (C=O...) $\text{см}^{-1}$ | $\nu$ (C=O) $\text{см}^{-1}$ | $\lambda_{\text{макс}}$ спектра<br>поглощения в $\text{м}\mu$<br>по литерат. дан-<br>ным [18] и авто-<br>ров | $\lambda_{\text{макс}}$ спектра<br>флуоресценции<br>в $\text{м}\mu$ по литерат.<br>данным [18] |
|---|--|---|------------------------------|---------------------------------|------------------------------|--|--|
| 1,4-димезидоантрахинон<br>                             | 3175(ш)  |   |                              | 1630                            |                              | 630 (1,69)<br>585 (1,52)   |  |
| 2,3-диметил-1,4-п-толуидоан-<br>трахинон, кристалл<br> | 3230(ш)  |   |                              | 1640                            |                              | 610 (0,88)<br>440 (0,45)   |  |
| <i>N, N'</i> -бис (2-метил-1-антрахи-<br>нонил)-изофталонилдиамид   | 3165(ш)  |   |                              | 1620                            | 1655                         |  |  |
| <i>N, N'</i> -бис-1-антрахинонизо-<br>фталилдиамид  | 3210(ш)  |   |                              |                                 | 1650                         |  |  |
| 1-метиламиноантрахинон, кри-<br>сталл   | 3300(р)  |   |                              |                                 |                              |  |  |
| 1-метиламино-4-бромантрахи-<br>нон, кристалл  | 3275(р)  |   |                              |                                 |                              |  |  |
| 2-аминоантрахинон, кристалл<br>                      |  | 3210(р)<br>3340(р)<br>3455(р)   |                              |                                 |                              | 450  | 470  |

Таблица 2 (продолжение)

| Наименование соединения  | $\nu$ (N—H...) $\text{см}^{-1}$<br>внутримолекулярной водородной связи | $\nu$ (N—H...) $\text{см}^{-1}$<br>межмолекулярной водородной связи | $\nu$ (N—H) $\text{см}^{-1}$ | $\nu$ (C=O...) $\text{см}^{-1}$ | $\nu$ (C=O) $\text{см}^{-1}$ | $\lambda_{\text{макс}}$ спектра поглощения в $\text{м}\mu$ по литератур. данным [18] и авто-ров | $\lambda_{\text{макс}}$ спектра флуоресценции в $\text{м}\mu$ по литератур. данным [18] |
|--|--|---|------------------------------|---------------------------------|------------------------------|---|---|
| 4-диамино-2,3-диметилантрахинон, кристалл  | 3310(ш)  | 3410(р)   |                              | 1625                            |                              | 580 (0,76)<br>540 (0,83)  |   |
|    |  |   |                              |                                 |                              |   |   |
| 1,5-диаминоантрахинон, кристалл  | 3310(р)  | 3430(р)   |                              |                                 |                              |   |   |
|    |  |   |                              |                                 |                              |   |   |
| То же пары ( $t = 335^\circ$ )   | 3315(р)  |   | 3490(р)                      |                                 |                              | 490   | 550   |
| 1-аминоантрахинон, кристалл  | 3300(р)  | 3430(р)   |                              |                                 |                              |   |   |
| То же пары ( $t = 330^\circ$ )   | 3310(р)  |   | 3485(р)                      |                                 |                              | 480   | 530   |
| 1-амино-3-хлорантрахинон, кристалл   | 3300(р)  | 3420(р)   |                              |                                 |                              |   |   |
| 1-амино-4-хлорантрахинон, кристалл   | 3300(р)  | 3430(р)   |                              |                                 |                              |   |   |
| 1-амино-5-хлорантрахинон, кристалл   | 3225(р)  | 3460(р)   |                              |                                 |                              |   |   |
| 1-амино-2-метилантрахинон, кристалл  | 3290(р)  | 3435(р)   |                              |                                 |                              |   |   |
| 1-амино-2-метил-4-хлорантрахинон, кристалл   | 3275(р)  | 3420(р)   |                              |                                 |                              |   |   |
| 1-амино-5-бензил-аминоантрахинон   | $\nu_3 =$<br>3210(ш)<br>$\nu_1 =$<br>3285(р)                           | $\nu_3 =$<br>3410 (р)   |                              |                                 |                              |   |   |
|  |  |   |                              |                                 |                              |   |   |

Примечание: ш — широкая; р — резкая; ● —  $\pi$ -электроны; × — неподеленные электронные пары.



Настоящая работа посвящена исследованию инфракрасных спектров поглощения окси- и аминокпроизводных антрахинона с целью экспериментального обоснования изложенных выше теоретических представлений на природу внутримолекулярной водородной связи, включенной в сопряженную систему связей. В работе одного из нас [15] было установлено влияние внутримолекулярной водородной связи на химические свойства amino- и оксипроизводных ряда антрахинона.

Полученные экспериментальные данные приведены в табл. 1, 2 и на рисунках в работах [16, 17].

### ОБСУЖДЕНИЕ РЕЗУЛЬТАТОВ

Анализ результатов показывает, что как в кристаллическом, так и в парообразном состоянии веществ полосы валентных колебаний групп  $O-H...$ , участвующих в образовании внутримолекулярной водородной связи с  $\pi$ -электронным взаимодействием, резко смещены в длинноволновую область ( $3000-3150\text{ см}^{-1}$ ) и сильно размыты. В то время как группы  $O-H...$  (2-оксиантрахинона,  $\beta-O-H$  ализарина,  $\beta-O-H$  пурпурина), участвующие в образовании межмолекулярных водородных связей  $C=O...H-O$  или  $O-H...O-H...$ , в которых  $\pi$ -электронное взаимодействие отсутствует, характеризуются в кристалле менее резко смещенными полосами в длинноволновую сторону ( $3350-3435\text{ см}^{-1}$ ), в парообразном состоянии соответствующих веществ группы  $O-H...$  характеризуются узкими полосами с высокими частотами валентных колебаний  $3620-3625\text{ см}^{-1}$  (характерных для свободных групп  $O-H$  в парах).

Относительная интенсивность полос валентных колебаний  $\alpha$ -групп  $O-H...$ , участвующих в образовании внутримолекулярных водородных связей с сильным  $\pi$ -электронным взаимодействием, меньше интенсивности полос валентных колебаний  $\beta$ -групп  $O-H...$ , принимающих участие в образовании межмолекулярных водородных связей, где  $\pi$ -электронное взаимодействие играет слабую роль. В кристаллическом состоянии интенсивность полос  $\alpha$ -групп  $O-H$  приблизительно в 10—12 раз меньше интенсивности полос  $\beta$ -групп  $O-H$ . В парообразном состоянии соединений максимумы полос  $\alpha$ -групп  $O-H$  несколько сдвинуты в сторону больших частот, по сравнению с кристаллическим состоянием. Разница в интенсивности полос групп  $\alpha-O-H$  и  $\beta-O-H$  в кристаллическом состоянии значительно больше, чем в парообразном. Это, видимо, объясняется тем, что при повышенных температурах происходит ослабление внутримолекулярной водородной связи и разрыв межмолекулярной  $H$ -связи. Вследствие этого полярность  $\alpha$ -групп  $O-H$  в парах увеличивается, а полярность групп  $\beta-O-H$  уменьшается. В то время как в кристаллическом состоянии полярность  $\alpha$ -групп  $O-H$  падает (из-за упрочнения связи), полярность  $\beta$ -групп  $O-H$  растет вследствие их участия в образовании межмолекулярных водородных связей. Более полярны  $\beta$ -связи  $O-H...$ , чем  $\alpha$ -связи  $O-H...$ . Поэтому, например, для ализарина существуют две константы диссоциации [19]  $K_{\alpha-O-H} = 1,1 \cdot 10^{-12}$  и  $K_{\beta-O-H} = 6,6 \cdot 10^{-9}$ .

В связи с этим отметим, что реакционная способность групп  $\alpha-O-H...$  в ряде химических и обменных реакций значительно ниже, чем  $\beta$ -групп  $O-H$ . При обычных условиях в воднодиоксановом растворе  $\beta-O-H$  2-оксиантрахинона быстро обменивает свой водород на дейтерий, в то время как  $\alpha-O-H$  1-оксиантрахинона не обменивает его в течение нескольких дней.

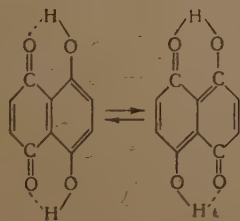
Соответствующие изменения наблюдаются также в области частот валентных колебаний групп  $C=O$ . Частота валентного колебания группы  $C=O$  в антрахиноне, равная  $1672\text{ см}^{-1}$ , снижается в  $\alpha$ -оксипроизводных антрахинона до  $1630\text{ см}^{-1}$ . Полуширина полосы  $\alpha-O-H$  групп в 6—7 раз больше полуширины  $\beta-O-H$  групп (в парах). Так в случае ализарина полуширина полосы  $\beta-O-H$  группы составляет  $50\text{ см}^{-1}$ , а полуширина

плоты  $\alpha = \text{O} - \text{H}$  группы равна  $\sim 350 \text{ см}^{-1}$ . Таким образом, теоретические предположения, учитывающие  $\pi$ -электронную природу водородной связи, изложенные выше, находятся в полном соответствии с экспериментальными результатами.

Опытные данные, полученные А. В. Карякиным [19] в лаборатории Н. Теренина, показывают, что максимумы полос поглощения в электронном спектре и в спектре флуоресценции у  $\alpha$ -оксипроизводных антрахинона сдвинуты в сторону длинных волн по сравнению с  $\beta$ -производными. Электронные спектры поглощения получены А. В. Карякиным [18] в спиртовом растворе, а спектры флуоресценции — в парах. Разница в положении максимумов полос поглощения  $\alpha$ - и  $\beta$ -оксипроизводных была бы значительно больше, если бы сравнивались они в парообразном состоянии.  $\alpha$ -Производные не испытывают тушения флуоресценции кислородом, в то время как  $\beta$ -производные испытывают сильное тушение [18]. Эти закономерности в электронных спектрах соединений мы объясняем образованием у  $\alpha$ -производных внутримолекулярной водородной связи с сильным  $\pi$ -электронным взаимодействием и отсутствием ее у  $\beta$ -производных.

Относительное расположение водородных связей с  $\pi$ -электронным взаимодействием в диоксипроизводных антрахинона также существенно влияет на электронный спектр поглощения. Полоса поглощения 1,4-диоксидантрахинона (480  $\text{м}\mu$ ) смещена в длинноволновую область более значительно, чем полоса поглощения 1,5-диоксидантрахинона (430  $\text{м}\mu$ ). Интересно отметить тот факт, что полосы поглощения 1,4-диоксидантрахинона 1, 2, 4-триоксидантрахинона по положению максимума совпадают (480  $\text{м}\mu$ ). Эти данные говорят о том, что основную определяющую роль в изменении положения электронного уровня в молекулах диоксидантрахинонов играют внутримолекулярные водородные связи.

Смещение и размытие полосы  $\alpha - \text{O} - \text{H} \dots$  группы зависит от числа электронов и их распределения в молекуле. Опыт показывает, что смещение и размытие полос валентных колебаний групп  $\text{O} - \text{H}$  в нафтазарине меньше, чем в 1,5- или 1,4-диоксидантрахиноне. Повидимому, число электронов в молекуле определяет способность («емкость») системы аккумулировать энергию, принимаемую от группы  $\text{O} - \text{H}$  посредством связи  $\dots \text{O} = \text{C}$ . Наличие двух полос в спектре нафтазарина, соответствующих валентным колебаниям групп  $\text{O} - \text{H}$ , может быть объяснено существованием таутомерного равновесия в парах между изомерами:



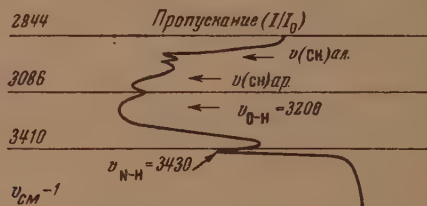
Этот вопрос требует дальнейшего исследования.

Передача  $\pi$ -электронного взаимодействия в молекуле, как известно, возможна при условии плоскостного (или близкого к плоскостному) расположения групп  $\text{O} - \text{H}$  по отношению к остальной части молекулы. В оксипроизводных антрахинона группы  $\text{O} - \text{H}$  лежат в плоскости молекул, что создает благоприятное условие для  $\pi$ -электронного взаимодействия.

Если действительно электрон атома водорода (облако которого деформировано в направлении  $\sigma \rightarrow \pi$ ) группы  $\text{O} - \text{H}$  или  $\text{N} - \text{H}$  принимает непосредственное участие во взаимодействии с  $\pi$ -электроном соседней группы  $\text{C} = \text{O}$ , то нарушение их плоскостного расположения должно привести к ослаблению этого взаимодействия или полному его устранению.

В этом случае проявление водородной связи в колебательных спектрах ничем не отличалось бы от того типа Н-связи, в образовании которой полное и акцепторно-донорное взаимодействие играют решающую роль. Установление зависимости между пространственным расположением групп, участвующих в образовании водородных связей, и характером проявления в колебательных и электронных спектрах молекул является важным для выяснения природы водородной связи, для выяснения причин, влияющих на цветность соединений.

С этой целью нами были исследованы спектры поглощения в инфракрасной области большой группы аминопроизводных антрахинона. Результаты измерений в области валентных колебаний групп NH и NH<sub>2</sub> приведены в табл. 2, а также на рисунках, приведенных в работах [16, 17].



Инфракрасный спектр поглощения лейко-1,4-диаминоантрахинона

Установлено наличие С = О групп в кристаллах лейкохинизарила и С = N — Н групп в кристаллах лейко-1,4-диаминоантрахинона (см. рисунок), что подтверждает взгляд на строение этих соединений, высказанный Цаном и Охвотом [20].

Полученные результаты по инфракрасным спектрам поглощения сопоставлены с литературными данными по электронным спектрам этих молекул [19]. В инфракрасных спектрах поглощения молекул индантра на  $\nu_{N-H} = 3165$  (ш)  $\text{см}^{-1}$ , 1,4-ди-п-толуидоантрахинона  $\nu_{N-H} = 3170$  (ш)  $\text{см}^{-1}$ , 3,4-фталоилакридона  $\nu_{N-H} = 3200$  (ш)  $\text{см}^{-1}$ , 1-хлор-4-бензиламиноантрахинона  $\nu_{N-H} = 3140, 3170$  (ш)  $\text{см}^{-1}$  валентные колебания групп — N — H..., характеризуются сильно размытыми и резко смещенными полосами в сторону длинных волн.

Такое проявление в колебательном спектре групп N — H рассматриваемых молекул можно объяснить тем, что деформированное электронное облако атома водорода, находящееся в соответствующем энергетическом состоянии, принимает непосредственное участие во взаимодействии с  $\pi$ -электроном соседней группы.

Возможность такого взаимодействия связана с наличием плоскостного расположения групп С = О и N — Н. Повидимому, в перечисленных выше молекулах группы N — Н лежат в плоскости молекулы. В молекулах индантра, 1,4-ди-п-толуидоантрахинона, 3,4-фталоилакридона, 1-хлор-4-бензиламиноантрахинона и т. п. атомы азота принимают участие во взаимодействии с  $\pi$ -электронами соседних атомов также за счет «неподеленных» электронных пар, что и обуславливает изменение их валентных состояний с расположением связей в плоскости молекулы.

Опыт показывает, что при переходе от 1,4-дитолуидоантрахинона ( $\nu_{N-H} = 3120$  (ш)  $\text{см}^{-1}$ ) к 1,4-димезидидоантрахинону ( $\nu_{N-H} = 3170$  (ш)  $\text{см}^{-1}$ ) и особенно к 2,3-диметил-1,4-п-толуидоантрахинону ( $\nu_{N-H} = 3230$   $\text{см}^{-1}$ ) наблюдается уменьшение смещения и размытия полос валентных колебаний групп N — H..., участвующих в образовании внутримолекулярных водородных связей. Параллельно с этим в том же направлении в электронных спектрах поглощения этих молекул наблюдается сдвиг полос в коротковолновую область с уменьшением коэффициента



поглощения ( $\epsilon \cdot 10^{-5}$ ). Длинноволновые максимумы электронных спектров соединений соответственно имеют значения: 645 (1,51), 630 (1,69), 610 (0,88) м $\mu$ . Аналогичная картина наблюдается также в молекулах  $N,N'$ -бис(2-метил-1-антрахинонил)-изофталонилдиамид  $\nu_{N-H} = 3165$  (ш) и  $N,N'$ -бис-1-антрахинонил-изофталонилдиамид  $\nu_{N-H} = 3210$  см $^{-1}$ . Эти опыты свидетельствуют об ослаблении  $\pi$ -электронного взаимодействия в связи  $C-O \dots H-N$  в результате возникновения стericких препятствий, вызывающих нарушение плоскостного расположения групп. Метильные группы, введенные в состав отмеченных выше, соединений, мешают плоскостному расположению групп  $C=O \dots H-N$ , что приводит к ослаблению  $\pi$ -электронного взаимодействия в образовании связи и существенному изменению цветности этих соединений. Существование зависимости между характером проявления (смещением, размытием, интенсивностью) полос валентных колебаний групп  $O-H, N-H \dots$ , участвующих в образовании внутримолекулярных водородных связей геометрическим их расположением по отношению к плоскости молекулы, наиболее отчетливо обнаруживается при сопоставлении спектров молекул индантрона и 1-метиламиноантрахинона  $\nu_{N-H} = 3300$  (р) см $^{-1}$  или 1-метиламино-4-бромантрахинона  $\nu_{N-H} = 3275$  (р) см $^{-1}$ . В этих молекулах существование внутримолекулярных водородных связей доказано существованием смещенных полос групп  $N-H \dots$  не только в кристалле, но и в парах.

В молекуле индантрона полоса валентного колебания групп  $N-H \dots$ , участвующих в образовании внутримолекулярных водородных связей  $\pi$ -электронным взаимодействием, также резко смещена в область длинных волн (3165 см $^{-1}$ ) и сильно размыта. В то время как полоса валентного колебания группы  $N-H$  1-метиламиноантрахинона, принимающей участие в образовании внутримолекулярной водородной связи не смещена так резко в сторону длинных волн (3300 см $^{-1}$ ) и проявляется в виде узкой (узкой) полосы. Такое неодинаковое поведение групп  $N-H$  объясняется различным пространственным расположением по отношению к плоскости молекулы. В индантроне группы  $N-H \dots$ , по видимому, лежат в плоскости молекулы, а в случае 1-метиламиноантрахинона такое расположение не осуществляется, что не способствует  $\pi$ -электронному взаимодействию. Это отражается на распределении энергии в колебательном  $\pi$ -электронных спектрах молекул. Интенсивность полосы валентного колебания группы  $N-H \dots$  индантрона в 10–12 раз меньше интенсивности полосы валентного колебания группы  $N-H$  1-метиламиноантрахинона. Соединения (1-аминоантрахинон, 1,4-диаминоантрахинон, 1,5-диаминоантрахинон), содержащие группу  $NH_2$ , в которых одна связь  $N-H$  участвует в образовании внутримолекулярной водородной связи, а другая — межмолекулярной, имеют в спектрах поглощения две узкие полосы, характеризующие группы  $NH_2$ .

Полоса с частотой 3300 см $^{-1}$  соответствует валентному колебанию связи  $N-H$ , участвующей в образовании внутримолекулярной водородной связи, а полоса с частотой 3430 см $^{-1}$  характеризует связь  $N-H$ , межмолекулярной водородной связи.

Такое отнесение частот подтверждается тем, что спектр группы  $NH_2$  для этих соединений в парах наблюдается с полным сохранением полосы 300 см $^{-1}$  и существенным сдвигом (до 3490 см $^{-1}$ ) полосы связи  $N-H$ , участвующей в образовании межмолекулярной связи. Это доказывают также тем, что группа  $NH_2$  (2-аминоантрахинона), в которой обе связи  $N-H$  принимают участие в образовании межмолекулярных водородных связей в инфракрасном спектре поглощения в области валентных колебаний, имеет три полосы ( $\nu_s = 3340$  см $^{-1}$ ,  $\nu_{as} = 3455$  см $^{-1}$  и полоса, соответствующая обертопу деформационной полосы группы  $NH_2$  ( $2\nu_s = 3210$  см $^{-1}$ , усиленная ферми-резонансом).

При образовании внутримолекулярной водородной связи с участием одной из связей  $N-H$ , группа  $NH_2$  теряет обычную симметрию, и в спектре наблюдаются две полосы.

В перечисленных выше молекулах, содержащих группу  $NH_2$ , связь  $N-H$ , участвующая в образовании внутримолекулярной водородной связи, повидимому, не лежит в одной плоскости с группой  $C=O$ , в связи с чем полоса, соответствующая ее валентному колебанию, имеет обычное проявление в инфракрасном спектре поглощения (узкая и менее смещенная в сторону длинных волн).

В соединениях 1-аминоантрахинон, 1,4-диаминоантрахинон и т. д., в которых отсутствует плоскостное расположение групп, природа внутримолекулярной связи определяется в основном дипольным и акцепторно-донорным взаимодействием.

Однако в электронных спектрах  $\alpha$ - и  $\beta$ -аминопроизводных антрахинона наблюдаются соответствующие различия [18]. Мы считаем, что эти различия несомненно связаны с наличием у  $\alpha$ -аминопроизводных антрахинона внутримолекулярной водородной связи. Основываясь на этих фактах, приходим к выводу, что внутримолекулярная водородная связь в том случае, когда электрон атома водорода не принимает непосредственного участия во взаимодействии с  $\pi$ -электроном соседней группы, способен вызывать лишь некоторые изменения в распределении  $\pi$ -электронной плотности в молекуле, ответственной за цветность соединений.

В таких условиях происходит лишь некоторая деформация  $\pi$ -электронов в связи  $C=O$  в результате слабого акцепторно-донорного и дипольного взаимодействия между группами  $C=O$  и  $N-H$ .

Возникающая при этом некоторая деформация электронного облака  $\pi$ -электрона атома кислорода в направлении  $\pi \rightarrow \sigma$  может привести к ослаблению  $\pi$ -электронного взаимодействия в связи  $C=O$ , что, в свою очередь, вызовет некоторое усиление взаимодействия  $\pi$ -электрона атома водорода группы  $C=O$  с  $\pi$ -электронами соседних атомов. Эти изменения по закону периодического взаимодействия  $\pi$ -электронов будут передаваться на всю цепь атомов.

### ВЫВОДЫ

В настоящей работе измерены инфракрасные спектры поглощения ряда соединений окси- и аминопроизводных антрахинона в области валентных колебаний групп  $C=O$ ,  $O-H$  и  $N-H$ . Спектры соединений получены для кристаллического и парообразного состояния соединений.

Показано, что внутримолекулярная водородная связь, включенная в сопряженную систему связей при определенных условиях, вызывает существенное изменение  $\pi$ -электронного взаимодействия во всей молекуле и некоторое изменение энергии в системе как целом. Это объясняет значительную устойчивость такого типа водородных связей.

Эти изменения особенно значительны в том случае, когда имеется непосредственное участие электрона атома водорода (группы  $O-H$  или  $N-H$ , энергетическое состояние которого изменено в направлении  $\sigma \rightarrow \pi$  во взаимодействии с  $\pi$ -электронами молекулы. В этом случае в молекуле возникает дополнительный цикл с  $\pi$ -электронным взаимодействием, что равносильно удлинению цепи с «сопряженными» связями.

Водородная связь с  $\pi$ -электронным взаимодействием является «слабым звеном» в цепи  $\pi$ -электронного возбуждения.

Эти причины, повидимому, объясняют специфику проявления такого типа водородной связи в колебательных и электронных спектрах поглощения, спектрах флуоресценции, химических и обменных реакциях.

## ЛИТЕРАТУРА

- Д. Н. Шигорин, Журн. физ. химии, 27, 554, 1953.  
Д. Н. Шигорин, Изв. АН СССР, сер. физич., 27, 596, 1953.  
Д. Н. Шигорин, Журн. физ. химии, 23, 241, 505, 1949.  
А. А. Шубин, Изв. АН СССР, сер. физич., 14, 442, 1950.  
Н. Д. Соколов, ДАН, 82, 369, 1952.  
В. Г. Васильев и Я. К. Сыркин, Журн. физ. химии, 15, 254, 1941.  
Б. И. Вайнштейн, Журн. физ. химии, 29, 372, 1955.  
G. A. Sim, J. M. Robertson, Acta Crystallogr., 8, 125, 1955.  
W. Cochran, Acta Crystallogr., 6, 260, 1953.  
Д. Н. Шигорин, Журн. физ. химии, 27, 1731, 1953.  
Б. И. Степанов, Журн. физ. химии, 19, 507, 1949; 20, 907, 1946.  
Д. Н. Шигорин, Изв. АН СССР, сер. физич. № 6, 723, 1954.  
М. И. Батуев и Л. И. Андус, ДАН, 100, 267, 1955.  
K. Kuratani, M. Tsubota, T. Shimanouchi, Bull. Chem. Soc., 25, 250, 1952; Chem. Abstr., 47, 8516, 1953.  
Н. С. Докунин, Труды VIII—X совещаний по анилоокрасочной химии и технике, Изд-во АН СССР, 1950, стр. 121.  
Д. Н. Шигорин и Н. С. Докунин, ДАН, 100, 323, 1955.  
Д. Н. Шигорин и Н. С. Докунин, ДАН, 100, 745, 1955.  
А. В. Карякин, Журн. физ. химии, 23, 1332, 1949.  
G. Hüttig, Zs. phys. Chem., 87, 129, 1914.  
K. Zahn, P. Ochwatt, Ann., 462, 72, 1928.



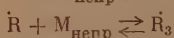
# СТЕРИЧЕСКИЕ ФАКТОРЫ ЭЛЕМЕНТАРНЫХ ОБРАТИМЫХ РЕАКЦИЙ ВЗАИМОДЕЙСТВИЯ Н-и $\text{CH}_3$ - РАДИКАЛОВ С ПРОСТЕЙШИМИ ОЛЕФИНАМИ

*А. Д. Степухович и Е. И. Эттингер*

Полученные в наших работах [1—4] данные по кинетике и механизму реакций крекинга индивидуальных алканов дают право считать эти реакции сложными цепными, развивающимися при помощи радикалов.

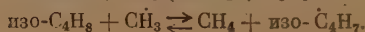
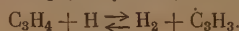
Правильные выводы о механизме и однозначное истолкование наблюдаемой макроскопической кинетики сложных реакций возможны лишь на основе знания скоростей элементарных реакций, являющихся отдельными звеньями сложного превращения, что требует знания стерических факторов и энергий активации их.

Важнейшими в процессе крекинга являются элементарные бимолекулярные реакции развития цепей и их торможения в результате образования неактивных радикалов [1], возникновение которых выражается уравнениями:



Целью настоящей работы является теоретическое исследование вопросов о стерических факторах обратимых элементарных реакций типа (2), с которыми, как было показано в наших работах, связано замедление реакции крекинга. Эти реакции имеют низкие значения энергий активации [4] и тем большее значение при расчете их скоростей приобретают величины стерических факторов [5]. Относительно этих реакций в литературе принято полагать без достаточных оснований стерический фактор равным или близким к единице [6]. Имеются, правда, и противоположные мнения [7] о низком значении этих факторов в подобных реакциях, но с теоретической стороны вопрос этот до сих пор остается нерешенным.

Решение вопроса о стерических факторах реакций типов (1) и (2) можно принципиально получить на основе разработанного ранее метода расчета стерических факторов моно- и бимолекулярных реакций [8]. К реакциям типа (2') этот метод был применен с успехом и привел к заключению о том, что реакции присоединения атома Н к простейшим олефинам имеют стерический фактор порядка  $10^{-3}$ , а стерические факторы реакций распада радикалов с усложнением последних имеют тенденцию понижаться лишь для простых радикалов, сохраняя значение, близкое к единице [5,8]. В этой работе мы применим наш метод к вычислению стерических факторов следующих реакций замещения с участием Н и СН<sub>3</sub> радикалов:



этих реакциях радикалы Н и  $\text{СН}_3$  замещаются на более сложные радикалы, и если последние менее активны, то развитие цепей в результате замены замедляется. С термодинамической точки зрения обязательны обратимые реакции, в которых сложные радикалы взаимодействуют с молекулами  $\text{H}_2$  и  $\text{СН}_4$ , приводя к образованию олефинов и активных радикалов.

Стерические факторы бимолекулярных реакций можно вычислить по формуле [8]:

$$s = \gamma \frac{kT}{h} \frac{1}{z} \frac{Q^*}{Q_R Q_M} \exp \left[ \frac{1}{2} + T \frac{d}{dT} \left( \ln \frac{Q^*}{Q_R Q_M} \right) \right], \quad (4)$$

где  $Q^*$ ,  $Q_R$  и  $Q_M$  — полные суммы состояний активированного комплекса радикала и молекулы олефина\*,  $z$  — число двойных столкновений, учитываемых на одну молекулу,  $\gamma$  — коэффициент трансмиссии,  $h$  — постоянная Планка. Ценность этой формулы состоит в том, что для вычисления стерического фактора бимолекулярных реакций не требуется знания энергий активации и вполне достаточно сведений о геометрическом строении и спектрах реагирующих частиц [8].

Полные суммы состояний для частиц вычисляются как произведения частных сумм состояний, относящихся к поступательному, колебательному и вращательному движениям, с учетом свойств симметрии частиц, электронных и ядерных статистических весов. Парциальные суммы состояний вычисляются по формулам [9]:

$$Q_{\text{пост}} = \frac{(2\pi mkT)^{3/2} V}{h^3} \quad (\text{при } V = 1 \text{ см}^3),$$

$$Q_{\text{кол}} = \prod_{i=1}^{3n-6} (1 - e^{-hc\omega_i/kT})^{-1}, \quad (5)$$

$$Q_{\text{вр}} = \frac{g_{\text{эл}} g_{\text{яд}}}{\sigma} \frac{8\pi^2 (8\pi^2 I_1 I_2 I_3)^{1/2} (kT)^3}{h^3}.$$

в формулах (5)  $m$  — масса частиц (приведенная масса  $\mu$  в случае активированного комплекса),  $\omega_i$  — частота  $i$ -го нормального колебания,  $n$  — число атомов в частице,  $g_{\text{эл}}$  и  $g_{\text{яд}}$  — электронные и ядерные квантовые веса,  $\sigma$  — число симметрии частицы,  $I_1$ ,  $I_2$ ,  $I_3$  — главные моменты инерции частицы и  $c$  — скорость света.

Вообще, приближение активного радикала к молекуле должно отразиться на ее геометрическом строении, и активированный комплекс, мыслимый как некоторое критическое состояние реагирующих частиц на вершине активационного барьера, имеет в общем случае несколько иное по сравнению с молекулой геометрическое строение. Таким образом, необходим учет изменения геометрической конфигурации при переходе к активированному состоянию. С другой стороны, для вычисления колебательных сумм состояний необходимо располагать сведениями о спектрах молекул, радикалов и активированных комплексов. Если спектры молекул, принимающих участие в изучаемых реакциях, хорошо известны, то о спектрах радикалов и активированных комплексов современная спектроскопия данными почти не располагает. Естественно, что для проведения расчетов мы должны были сделать некоторые предположения, представляющиеся довольно вероятными, которые сводятся к следующим положениям:

1. Наиболее энергетически выгодным направлением подхода радикала к молекуле является направление той связи в молекуле, которая изме-

\* В сумме состояний активированного комплекса одно колебание заменено на трансляционное движение вдоль координаты реакции.

нится или исчезнет при реакции [10]. Учет столкновений радикала с молекулой под другими углами к разрываемой связи, при условии равенства вероятности всех направлений подхода, как показывает статистический расчет, лишь незначительно изменит результаты.

2. Геометрическое строение получающихся по реакции (2) радикалов  $\dot{R}_2$  — близко к строению молекулы  $M_{\text{олеф}}$ , а по реакции (1)  $\dot{R}_1$  близко к строению к  $M_{\text{пр}}$ .

3. Наличие свободной валентности, т. е. свободная электронная плотность, не сильно искажает колебательное состояние, и спектр радикала  $\dot{R}_2$  близок к спектру молекулы  $M_{\text{непр}}$ , и вообще колебательный спектр радикала  $\dot{R}_1$  близок к спектру  $R_1H$ . Число колебаний радикала  $\dot{R}_2$  в три меньше, чем у молекулы  $R_1H$ .

4. Колебательный спектр радикалов  $\dot{R}$  получается из спектра молекулы  $RH$  путем исключения трех колебаний (одного валентного и двух деформационных), связанных с колебаниями исчезнувшей  $C-H$  связи.

При вычислениях колебательных сумм состояний радикалов, однако мы принимали, что, по крайней мере, при высоких температурах у молекул олефинов на одну степень свободы приходится та же величина, что и в радикалах. В соответствии с этим колебательные суммы состояний радикалов вычислялись из выражения:

$$Q_{\text{кол } \dot{R}} = [(Q_{\text{кол } RH})^{1/(3n-6)}]^{3n-9},$$

так как радикал  $\dot{R}$  имеет на три колебания меньше, чем молекула  $RH$ .

5. Число колебаний активированных комплексов принималось равным  $3n' - 6 - 1$  ( $n'$  — число атомов в активированном комплексе), так как у комплекса одна колебательная степень свободы на вершине активационного барьера заменяется поступательным движением вдоль координаты реакции.

6. Спектр активированного комплекса молекулы  $M_{\text{олеф}}$  с радикалами составляется из полного спектра  $M_{\text{олеф}}$ , спектра радикала  $CH_3$ , четырех деформационных частот, связанных с колебаниями метильной группы относительно молекулы  $M_{\text{олеф}}$  [близки к деформационным колебаниям молекулы метана ( $1450 \text{ см}^{-1}$ )], и валентного колебания вдоль новой  $C-H$  связи. Данные для этой частоты колебаний отсутствуют, и мы принимаем ее довольно низкой ( $450 \text{ см}^{-1}$ ), что может несколько завязать результаты.

7. Вращение  $CH_3$  группы вокруг новой связи в активированном комплексе принимаем незаторможенным, поэтому частота крутильного колебания в расчетах отсутствует.

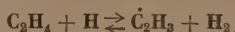
8. Свободный радикал  $CH_3$  имеет плоское строение [11].

9. Все реакции происходят адиабатическим путем и  $\gamma = 1$ .

10. Расчет во всех случаях производится для  $T = 900^\circ \text{ К}$ .

Перейдем к конкретным расчетам для реакции (2).

#### РАСЧЕТ СТЕРИЧЕСКИХ ФАКТОРОВ ЭЛЕМЕНТАРНОЙ ОБРАТИМОЙ РЕАКЦИИ



В основу расчета стерических факторов данной реакции положены следующие предположения относительно геометрического строения радикалов и активированного комплекса:

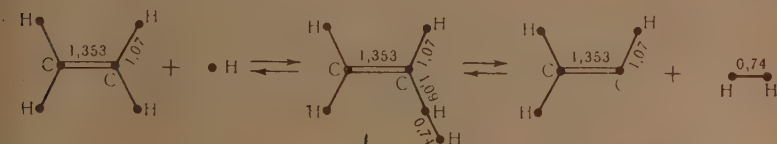
а) под влиянием приближения  $H$ -атома к молекуле этилена ближайшая  $C-H$  связь растягивается до величины ординарной связи —  $1,09 \text{ \AA}$ ; остальные связи и углы в активированном комплексе остаются неизменными по сравнению с соответствующими углами и связями в молекуле этилена;



б) расстояние Н — Н в активированном комплексе равно 0,74 Å — ядерному расстоянию в молекуле водорода; таким оно принимается и в последующих расчетах;

в) винил-радикал  $\dot{C}_2H_3$  имеет плоское строение и углы и связи, равные соответствующим углам и связям в молекуле этилена.

Геометрические параметры и конфигурация реакции изображены на рис. 1:



Для вычисления колебательной суммы состояний этилена использованы 12 частот его нормальных колебаний, полученные в работе М. Свердлова и Н. Л. Пахомовой [12], а именно:

$\omega_1 = 3075 \text{ см}^{-1}$ ;  $\omega_2 = 3105,5 \text{ см}^{-1}$ ;  $\omega_3 = 3019 \text{ см}^{-1}$ ;  $\omega_4 = 2385,5 \text{ см}^{-1}$ ;  
 $\omega_5 = 1623 \text{ см}^{-1}$ ;  $\omega_6 = 1443 \text{ см}^{-1}$ ;  $\omega_7 = 1342 \text{ см}^{-1}$ ;  $\omega_8 = 1236 \text{ см}^{-1}$ ;  
 $\omega_9 = 1024 \text{ см}^{-1}$ ;  $\omega_{10} = 949,2 \text{ см}^{-1}$ ;  $\omega_{11} = 943 \text{ см}^{-1}$ ;  $\omega_{12} = 810 \text{ см}^{-1}$ ;

Колебательная сумма состояний активированного комплекса принята равной

$$Q_{\text{кол}}^* = [(Q_{\text{кол } C_2H_4})^{1/12}]^{14}.$$

Спектр винил-радикала получается из спектра этилена путем исключения трех частот, связанных с колебаниями исчезнувшей С — Н связи ( $\omega_5, \omega_9$ ).

Молекула водорода имеет одно нормальное колебание, частота которого  $\omega = 4390 \text{ см}^{-1}$ , поэтому колебательная сумма состояний для  $H_2$  вычисляется из выражения

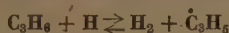
$$Q_{\text{кол}} = (1 - e^{-hc \cdot 4390/kT})^{-1}.$$

Для вычисления ротационной суммы состояний предварительно вычислялось произведение главных моментов инерции по известным формулам Гиршфельдера [9]. При этом предварительно вычислялись координаты атомов молекулы радикала и активированного комплекса, отнесенные к центрам тяжести, в которых помещалось начало системы координат.

Подставляя значения величин, полученных в табл. 1, в формулу (4), получаем значения для стерических факторов прямой и обратной реакции:

$$s_{\text{пр}} = 4,55 \cdot 10^{-3} \text{ и } s_{\text{обр}} = 1,09 \cdot 10^{-4}.$$

#### РАСЧЕТ СТЕРИЧЕСКИХ ФАКТОРОВ ЭЛЕМЕНТАРНОЙ ОБРАТИМОЙ РЕАКЦИИ



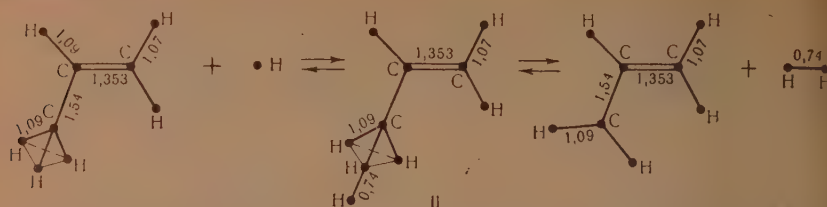
При расчетах стерических факторов этой реакции были приняты следующие предположения о геометрическом строении:

а) Н-атом подходит к первичной С — Н связи, так как отрыв водорода в этом месте наиболее облегчен в энергетическом отношении;

б) в активированном комплексе все углы и связи не изменяются по сравнению с молекулой пропилена;

в) после отрыва водородного атома, при образовании аллил-радикала, атома Н, соседние с оторванным, перемещаются в плоскость углеродной цепочки и устанавливаются под углом  $120^\circ$  между собой и к С — С связи. Остальные связи и углы не изменяются.

Геометрические параметры и конфигурация реакции изображены на схеме II:



Колебательная сумма состояний пропилена вычислялась при помощи 21 частоты нормальных колебаний его молекулы, взятых по [13] и имеющих следующие значения:

$$\begin{aligned}\omega_1 &= 177 \text{ см}^{-1}; \\ \omega_2 &= 417 \text{ см}^{-1}; \omega_3 = 578 \text{ см}^{-1}; \omega_4 = 919 \text{ см}^{-1}; \omega_5 = 936 \text{ см}^{-1}; \\ \omega_6 &= 996 \text{ см}^{-1}; \omega_7 = 1043 \text{ см}^{-1}; \omega_8 = 1166 \text{ см}^{-1}; \omega_9 = 1226 \text{ см}^{-1}; \\ \omega_{10} &= 1287 \text{ см}^{-1}; \omega_{11} = 1399 \text{ см}^{-1}; \omega_{12} = 1416 \text{ см}^{-1}; \omega_{13} = 1488 \text{ см}^{-1}; \\ \omega_{14} &= 1472 \text{ см}^{-1}; \omega_{15} = 1647 \text{ см}^{-1}; \omega_{16} = 2852 \text{ см}^{-1}; \omega_{17} = 2916 \text{ см}^{-1}; \\ \omega_{18} &= 2960 \text{ см}^{-1}; \omega_{19} = 3012 \text{ см}^{-1}; \omega_{20} = 1979 \text{ см}^{-1}; \omega_{21} = 3081 \text{ см}^{-1}.\end{aligned}$$

Колебательные суммы состояний активированного комплекса и аллил-радикала вычисляются, как и в случае реакции с  $\text{C}_2\text{H}_4$ , и равны соответственно

$$[(Q_{\text{КОЛ}} \text{C}_3\text{H}_6)^{1/21}]^{23} \text{ и } [(Q_{\text{КОЛ}} \text{C}_3\text{H}_6)^{1/21}]^{18}.$$

Ротационные суммы состояний вычислялись на основании предварительно рассчитанных значений координат, а затем произведения  $I_1 I_2 I_3$ . В табл. 1 и 2 приведены результаты вычислений для реакции между Н и  $\text{C}_3\text{H}_6$ .

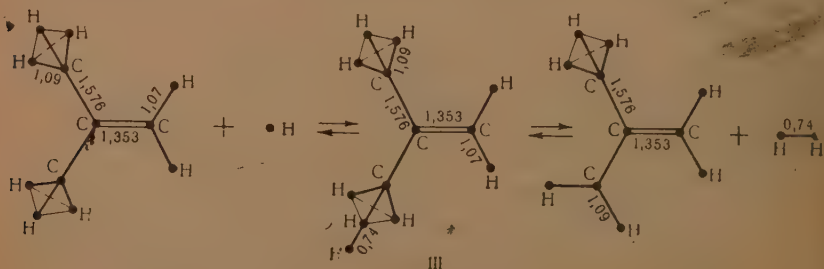
Для стерических факторов прямой и обратной реакций на основании данных табл. 1 по формуле (4) получаются значения

$$s_{\text{пр}} = 1,26 \cdot 10^{-3} \text{ и } s_{\text{обр}} = 1,89 \cdot 10^{-4}.$$

#### РАСЧЕТ СТЕРИЧЕСКИХ ФАКТОРОВ ЭЛЕМЕНТАРНОЙ ОБРАТИМОЙ РЕАКЦИИ изо- $\text{C}_4\text{H}_8 + \text{H} \rightleftharpoons \text{H}_2 + \text{изо-}\dot{\text{C}}_4\text{H}_7$

Предположения, сделанные относительно геометрического строения при расчете стерических факторов этой реакции точно такие же, как и в случае реакции  $\text{C}_3\text{H}_6 + \text{H} \rightleftharpoons \text{H}_2 + \text{C}_3\text{H}_5$ . Прием нахождения колебательных сумм состояний активированного комплекса и изобутирил-радикала остается тем же.

Геометрические параметры и конфигурации при реакции изображены на схеме III:



Для вычисления колебательной суммы изобутилена были использованы следующие 30 частот нормальных колебаний его молекулы — 15]:

$\omega_1 = 378 \text{ см}^{-1}$ ;  $\omega_2 = 431 \text{ см}^{-1}$ ;  $\omega_3 = 400 \text{ см}^{-1}$ ;  $\omega_{4,5} = 570 \text{ см}^{-1}$ ;  
 $\omega_6 = 578 \text{ см}^{-1}$ ;  $\omega_7 = 800 \text{ см}^{-1}$ ;  $\omega_8 = 981 \text{ см}^{-1}$ ;  $\omega_9 = 996 \text{ см}^{-1}$ ;  
 $\omega_{10} = 1005 \text{ см}^{-1}$ ;  $\omega_{11} = 1040 \text{ см}^{-1}$ ;  $\omega_{12} = 1063 \text{ см}^{-1}$ ;  $\omega_{13} = 1166 \text{ см}^{-1}$ ;  
 $\omega_{14} = 1224 \text{ см}^{-1}$ ;  $\omega_{15} = 1390 \text{ см}^{-1}$ ;  $\omega_{16} = 1399 \text{ см}^{-1}$ ;  $\omega_{17} = 1382 \text{ см}^{-1}$ ;  
 $\omega_{18} = 1448 \text{ см}^{-1}$ ;  $\omega_{19} = 1472 \text{ см}^{-1}$ ;  $\omega_{20} = 1487 \text{ см}^{-1}$ ;  $\omega_{21} = 1490 \text{ см}^{-1}$ ;  
 $\omega_{22} = 1664 \text{ см}^{-1}$ ;  $\omega_{23} = 2851 \text{ см}^{-1}$ ;  $\omega_{24} = 2860 \text{ см}^{-1}$ ;  $\omega_{25} = 2816 \text{ см}^{-1}$ ;  
 $\omega_{26} = 2907 \text{ см}^{-1}$ ;  $\omega_{27} = 2960 \text{ см}^{-1}$ ;  $\omega_{28} = 2980 \text{ см}^{-1}$ ;  $\omega_{29} = 3081 \text{ см}^{-1}$ ;  
 $\omega_{30} = 2979 \text{ см}^{-1}$ .

Таблица 1

| вещицы                      | $d \cdot 10^4$ | $z \cdot 10^3$<br>на молекулу | $\sigma$ | $\sigma$ | $I_1 I_2 I_3 \cdot 10^{10}$ | $Q_{\text{рот}}$ | $Q_{\text{кол}}$      | $f_{\text{кол}}$ | $Q_{\text{тр}} \cdot 10^{-10}$ | exp   |
|-----------------------------|----------------|-------------------------------|----------|----------|-----------------------------|------------------|-----------------------|------------------|--------------------------------|-------|
| Реакции с Н-атомом          |                |                               |          |          |                             |                  |                       |                  |                                |       |
| $\text{C}_2\text{H}_4$      | 4,9            | 2,1                           | 1        | 4        | 5 631                       | 3 520            | 4,745                 | 1,139            |                                | 0,705 |
| $\text{C}_2\text{H}_5^*$    | —              | —                             | 2        | 1        | 9 210                       | 36 700           | (1,139) <sup>14</sup> | 1,139            |                                | —     |
| $\text{C}_3\text{H}_6$      | 6,5            | 2,54                          | 1        | 1        | 112 999                     | 65 300           | 104,4                 | 1,25             |                                | 0,82  |
| $\text{C}_3\text{H}_7^*$    | —              | —                             | 2        | 1        | 212 705                     | 176 000          | (1,25) <sup>23</sup>  | 1,25             |                                | —     |
| зо- $\text{C}_4\text{H}_8$  | 6,5            | 2,52                          | 1        | 2        | 2 480 000                   | 145 200          | 600                   | 1,23             |                                | 0,86  |
| о- $\text{C}_4\text{H}_9^*$ | —              | —                             | 2        | 1        | 3 102 350                   | 672 000          | (1,23) <sup>32</sup>  | 1,23             |                                | —     |
| $\text{C}_3\text{H}_4$      | 6,5            | 2,52                          | 1        | 2        | 57 000                      | 22 700           | 33,8                  | 1,26             |                                | 0,82  |
| $\text{C}_3\text{H}_5^*$    | —              | —                             | 2        | 1        | 78 000                      | 107 000          | (1,26) <sup>17</sup>  | 1,26             |                                | —     |
| Н                           | 2,7            | —                             | 4        | 1        | —                           | —                | —                     | —                | 5,3                            | —     |

Реакции с радикалом  $\dot{\text{C}}\text{H}_3$ 

|                                |     |      |   |   |            |           |       |       |     |      |
|--------------------------------|-----|------|---|---|------------|-----------|-------|-------|-----|------|
| $\text{C}_2\text{H}_4$         | 4,9 | 0,85 | 1 | 4 | 5 631      | 3 520     | 4,745 | 1,139 |     | 0,37 |
| $\text{C}_3\text{H}_7^*$       | —   | —    | 2 | 1 | 657 200    | 310 000   | 21,9  | 1,14  |     | —    |
| $\text{C}_3\text{H}_6$         | 6,5 | 1,1  | 1 | 1 | 112 999    | 65 300    | 104,4 | 1,25  |     | 0,45 |
| $\text{C}_4\text{H}_9^*$       | —   | —    | 2 | 1 | 909 154    | 376 000   | 485   | 1,21  |     | —    |
| зо- $\text{C}_4\text{H}_8$     | 6,5 | 1,07 | 1 | 2 | 2 480 000  | 145 200   | 660   | 1,23  |     | 1    |
| о- $\text{C}_5\text{H}_{11}^*$ | —   | —    | 2 | 1 | 24 950 000 | 1 870 000 | 3020  | —     |     | —    |
| $\dot{\text{C}}\text{H}_3$     | 4   | —    | 2 | 6 | 29,8       | 905       | 1,52  | 1,08  | 304 | —    |

Реакции различных радикалов с  $\text{H}_2$ 

|                                  |     |      |   |   |           |         |                      |       |      |      |
|----------------------------------|-----|------|---|---|-----------|---------|----------------------|-------|------|------|
| $\text{C}_2\text{H}_3$           | 4,9 | 1,01 | 2 | 1 | 3 620     | 21 900  | 4,66                 | 1,19  |      | 0,79 |
| $\dot{\text{C}}_3\text{H}_5$     | 6,5 | 1,45 | 2 | 1 | 111 162   | 123 000 | (1,25) <sup>18</sup> | 1,25  |      | 1    |
| зо- $\dot{\text{C}}_4\text{H}_7$ | 6,5 | 1,49 | 2 | 1 | 2 020 000 | 541 000 | (1,23) <sup>27</sup> | 1,23  | 14,9 | 1    |
| $\dot{\text{C}}_3\text{H}_3$     | 6,5 | 1,45 | 2 | 1 | 35 600    | 76 500  | (1,26) <sup>12</sup> | 1,26  |      | 1    |
| $\text{H}_2$                     | 2,7 | —    | 4 | 2 | 0,475     | 21,6    | 1,002                | 1,002 | 14,9 | —    |

Реакции сложных радикалов с  $\dot{\text{C}}\text{H}_4$ 

|                                  |     |      |   |    |           |         |                      |      |     |      |
|----------------------------------|-----|------|---|----|-----------|---------|----------------------|------|-----|------|
| $\dot{\text{C}}_3\text{H}_3$     | 4,9 | 0,85 | 2 | 1  | 3 260     | 219 000 | 4,66                 | 1,19 |     | 0,37 |
| $\dot{\text{C}}_3\text{H}_5$     | 6,5 | 1,11 | 2 | 1  | 111 162   | 123 000 | (1,25) <sup>18</sup> | 1,25 |     | 0,56 |
| зо- $\dot{\text{C}}_4\text{H}_7$ | 6,5 | 1,07 | 2 | 1  | 2 020 000 | 541 000 | (1,23) <sup>27</sup> | 1,23 |     | 1    |
| $\dot{\text{C}}\text{H}_4$       | 4   | —    | 1 | 12 | 150       | 194     | 1,85                 | 1,08 | 333 | —    |

\* Знак \* относится к активированному комплексу.



Таблица 2

Значения стерических факторов обратимых реакций замещения H и  $\text{CH}_3$  с олефинами ( $900^\circ \text{K}$ )

| Реакция   | Стерический фактор прямой реакции | Стерический фактор обратной реакции | Эффективные стерические факторы реакций* |                     |
|---|-----------------------------------|-------------------------------------|--|---------------------|
|   |                                   |                                     | прямой                                   | обратной            |
| $\text{C}_3\text{H}_4 + \text{H} \rightleftharpoons \text{H}_2 + \dot{\text{C}}_2\text{H}_3$                                  | $4,6 \cdot 10^{-3}$               | $1,6 \cdot 10^{-4}$                 | $1,8 \cdot 10^{-2}$                      | $3,1 \cdot 10^{-4}$ |
| $\text{C}_3\text{H}_6 + \text{H} \rightleftharpoons \text{H}_2 + \text{C}_3\text{H}_5$  | $1,3 \cdot 10^{-3}$               | $1,9 \cdot 10^{-4}$                 | $3,9 \cdot 10^{-3}$                      | $3,8 \cdot 10^{-4}$ |
| изо- $\text{C}_4\text{H}_8 + \text{H} \rightleftharpoons \text{H}_2 + \text{изо-}\dot{\text{C}}_4\text{H}_7$                  | $2,2 \cdot 10^{-3}$               | $1,6 \cdot 10^{-4}$                 | $1,3 \cdot 10^{-2}$                      | $3,2 \cdot 10^{-4}$ |
| $\text{C}_3\text{H}_4 + \text{H} \rightleftharpoons \text{H}_2 + \dot{\text{C}}_3\text{H}_3$                                  | $2,4 \cdot 10^{-3}$               | $1,8 \cdot 10^{-4}$                 | $9,6 \cdot 10^{-3}$                      | $3,6 \cdot 10^{-4}$ |
| $\text{C}_2\text{H}_4 + \dot{\text{C}}\text{H}_3 \rightleftharpoons \text{CH}_4 + \dot{\text{C}}_2\text{H}_3$                 | $3,6 \cdot 10^{-5}$               | $9,1 \cdot 10^{-6}$                 | $1,4 \cdot 10^{-4}$                      | $3,6 \cdot 10^{-5}$ |
| $\text{C}_3\text{H}_6 + \dot{\text{C}}\text{H}_3 \rightleftharpoons \text{CH}_4 + \dot{\text{C}}_3\text{H}_5$                 | $7,0 \cdot 10^{-6}$               | $5,9 \cdot 10^{-6}$                 | $2,1 \cdot 10^{-5}$                      | $2,4 \cdot 10^{-5}$ |
| изо- $\text{C}_4\text{H}_8 + \dot{\text{C}}\text{H}_3 \rightleftharpoons \text{CH}_4 + \text{изо-}\dot{\text{C}}_4\text{H}_7$ | $3,0 \cdot 10^{-6}$               | $4,3 \cdot 10^{-6}$                 | $1,8 \cdot 10^{-5}$                      | $1,7 \cdot 10^{-5}$ |

\* Эффективные значения стерических факторов получены путем умножения величин, помещенных в первых двух колонках, число равноценных H-атомов в молекуле олефина.

Ротационные суммы активированного комплекса изобутенил-радикала и молекулы изобутилена рассчитывались аналогично тому, как и в предыдущих реакциях.

Результаты вычислений сведены в табл. 1 и 2.

Для стерических факторов прямой и обратной реакций получаем значения

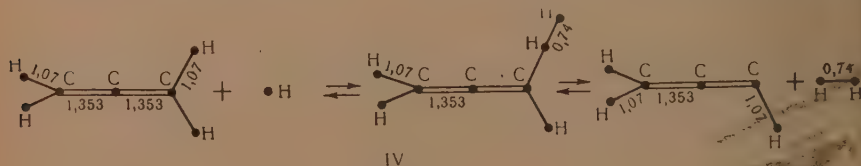
$$s_{\text{пр}} = 2,18 \cdot 10^{-3} \quad \text{и} \quad s_{\text{обр}} = 1,55 \cdot 10^{-4}.$$

#### РАСЧЕТ СТЕРИЧЕСКИХ ФАКТОРОВ ЭЛЕМЕНТАРНОЙ ОБРАТИМОЙ РЕАКЦИИ



При расчетах принимаем, что в активированном комплексе, а также в аллил-радикале  $\dot{\text{C}}_2\text{H}_3$  углы и связи остаются такие же, как соответствующие углы и связи в молекуле аллена.

Геометрические параметры и конфигурация при реакции изображены на схеме IV:



Для вычисления колебательных сумм аллена, аллил-радикала и активированного комплекса по способу, примененному в предыдущих случаях, использовались следующие значения 15 частот нормальных колебаний аллена:

$$\begin{aligned} \omega_{1,2} &= 354 \text{ см}^{-1}; \quad \omega_{3,4} = 842 \text{ см}^{-1}; \quad \omega_5 = 865 \text{ см}^{-1}; \quad \omega_{6,7} = 1015 \text{ см}^{-1}; \\ \omega_8 &= 1076 \text{ см}^{-1}; \quad \omega_9 = 1398 \text{ см}^{-1}; \quad \omega_{10} = 1440 \text{ см}^{-1}; \quad \omega_{11} = 1957 \text{ см}^{-1}; \\ \omega_{12} &= 2996 \text{ см}^{-1}; \quad \omega_{13} = 3005 \text{ см}^{-1}; \quad \omega_{14,15} = 3085 \text{ см}^{-1}. \end{aligned}$$

В табл. 1 и 2 даны результаты расчетов для реакции Н-атомов с аллел-м.

Для стерических факторов прямой и обратной реакций получаются значения

$$s_{\text{пр}} = 2,35 \cdot 10^{-3} \quad \text{и} \quad s_{\text{обр}} = 1,82 \cdot 10^{-4}.$$

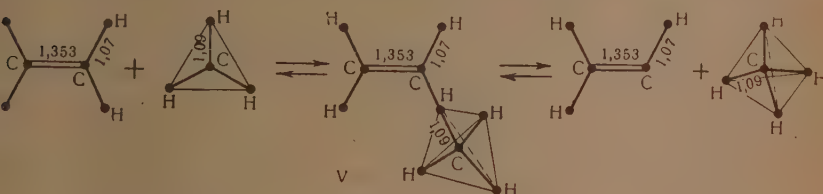
### СЧЕТ СТЕРИЧЕСКИХ ФАКТОРОВ ЭЛЕМЕНТАРНОЙ ОБРАТИМОЙ РЕАКЦИИ



Относительно геометрического строения активированного комплекса принимаем предположения:

- а) плоский радикал  $\text{CH}_3$  [11], приближаясь к молекуле этилена, деформируется и в активированном комплексе создается молекула метана;
- б) углы и связи в активированном комплексе не изменяются по сравнению с соответствующими углами и связями молекулы этилена;
- в) винил-радикал имеет геометрическое строение, принятое нами в предыдущей реакции.

Геометрические параметры и конфигурация при реакции изображены на схеме V:



Спектр радикала  $\text{CH}_3$  содержит шесть частот нормальных колебаний:  $\omega_1 = 2923 \text{ см}^{-1}$ ;  $\omega_{2,3} = 3025 \text{ см}^{-1}$ ;  $\omega_5 = 1602 \text{ см}^{-1}$  и  $\omega_6 = 1000 \text{ см}^{-1}$ , которую мы приняли, исходя из сравнения спектров  $\text{CH}_4$  и производных метана.

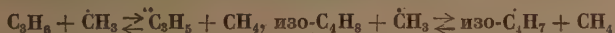
Спектр метана содержит девять частот нормальных колебаний:  $\omega_1 = 2914,2 \text{ см}^{-1}$ ;  $\omega_{2,3} = 1526 \text{ см}^{-1}$ ;  $\omega_{4,5,6} = 3020 \text{ см}^{-1}$ ;  $\omega_{7,8,9} = 1306 \text{ см}^{-1}$ .

В табл. 1 представлены значения величин, необходимых для вычисления стерических факторов.

Пользуясь величинами табл. 1, получаем

$$s_{\text{пр}} = 3,6 \cdot 10^{-5}; \quad s_{\text{обр}} = 9,1 \cdot 10^{-6}.$$

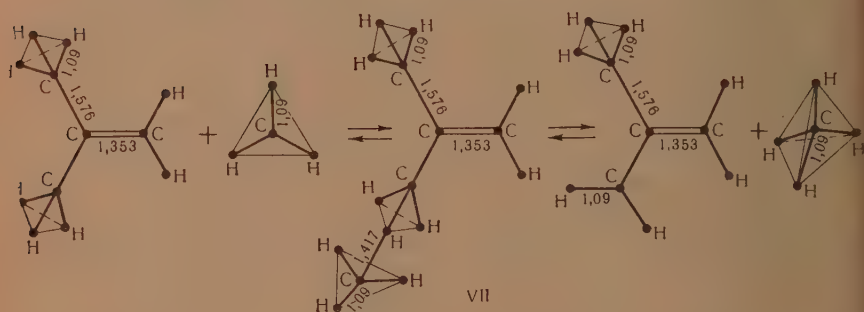
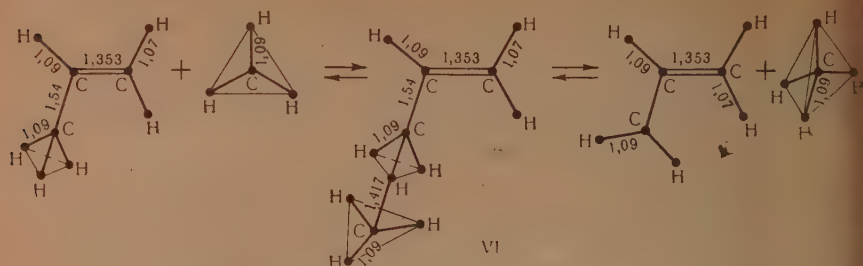
### СЧЕТ СТЕРИЧЕСКИХ ФАКТОРОВ ЭЛЕМЕНТАРНЫХ ОБРАТИМЫХ РЕАКЦИЙ



В основу расчета стерических факторов этих реакций положены следующие предположения относительно геометрического строения реагирующих частиц:

- а) метил-радикал в активированном комплексе остается плоским;
- б) направление его подхода к молекуле ( $\text{C}_3\text{H}_6$ ,  $\text{C}_4\text{H}_8$ ) совпадает с направлением разрываемой связи; плоскость, в которой лежит метил-радикал, перпендикулярна направлению этой связи;
- в) образовавшаяся  $\text{C} - \text{H}$  связь между углеродным атомом радикала и водородным атомом молекулы (пропилена, изобутилена) удлинена по сравнению с ординарной  $\text{C} - \text{H}$  связью на 30% [10];
- г) молекулы  $\text{C}_3\text{H}_6$ ,  $\text{изо-C}_4\text{H}_8$ , а также полученные после отрыва Н-атома метил- и изобутилен-радикалы имеют колебательные суммы состояний геометрического строения, принятые нами в реакциях атомов Н с теми молекулами;

д) обрывается в молекуле слабейшая  $C-H$  связь. Геометрические параметры и конфигурация при реакциях изображены на схемах VI и VII.



Колебательные и ротационные суммы активированного комплекса, метил-радикала и метана вычислялись при помощи тех же приемов, что и в предыдущих случаях.

Результаты вычислений приведены в табл. 1 и 2.

Для стерических факторов этих реакций получены соответственно значения:

$$s_{\text{пр}} = 7 \cdot 10^{-6} \text{ и } s_{\text{обр}} = 5,9 \cdot 10^{-6} \text{ и } s_{\text{пр}} = 3 \cdot 10^{-6} \text{ и } s_{\text{обр}} = 4,3 \cdot 10^{-6}.$$

На основании результатов, сведенных в табл. 2, можно сделать следующие общие заключения.

### ВЫВОДЫ

1. Стерические факторы реакций замещения H-атомов с молекулами олефинов, приводящие к образованию сложных неопределенных радикалов, имеют порядок величины, равный  $10^{-3}$ . Реакция с этиленом несколько стерически облегчена, а реакция с пропиленом более затруднена по сравнению с другими неопределенными молекулами. Использование для этих реакций в научной литературе значения стерических факторов порядка единицы следует считать неправильным.

2. Различие в стерических факторах реакций H-атома с пропиленом и изобутиленом соответствует различию их тормозящего действия по опытным данным [2].

3. Стерические факторы реакций взаимодействия сложных радикалов, содержащих двойную связь, с молекулой водорода, имеют величину на порядок более низкую, чем стерические факторы обратных реакций. Эти реакции стерически более затруднены. Вообще реакции сложных радикалов с простыми молекулами, повидимому, имеют более низкие значе-



стерических факторов, чем реакции простых радикалов со сложными молекулами.

4. Стерические факторы реакций замещения радикалов  $\dot{\text{C}}\text{H}_3$  с непрерывными молекулами имеют на 2—3 порядка более низкое значение, в аналогичных реакциях с H-атомами. Но, как и в последних реакциях, реакция с этиленом в стерическом отношении более благоприятна. Имеет место тенденция к уменьшению стерического фактора при переходе к более сложным молекулам.

5. Резкое различие стерических факторов в реакциях с радикалами  $\dot{\text{C}}\text{H}_3$  обусловлено значительным различием в значениях ротационных сумм и частично колебательных сумм состояний радикалов и актированных комплексов.

6. Стерические факторы реакций замещения сложных непредельных радикалов с молекулой метана имеют тот же порядок величины, что и соответствующие им реакции, но стерически, повидимому, все же несколько облегчены.

7. В отношении пространственных препятствий радикал  $\text{CH}_3$  является гораздо менее активным (при высоких температурах), и это опровергает распространенное в научной литературе представление о  $\text{CH}_3$  как наиболее активном радикале и, в частности, по сравнению с H. Для того чтобы радикал  $\text{CH}_3$  в реакциях замещения был также или более активным, как метан, энергия активации реакции с его участием должна иметь гораздо более низкое значение, чем в реакциях с участием H.

8. Несмотря на то что при расчетах предположения варьировались в довольно широких пределах, результаты расчетов оказались устойчивыми, что лишний раз доказывает применимость метода к расчету стерических факторов реакций разнообразных классов.

Саратовский государственный  
университет им. Н. Г. Чернышевского

Поступила  
23.X.1954

#### ЛИТЕРАТУРА

- А. Д. Степухович, ДАН, 89, 5, 1953; 90, 2, 1953; 92, 2, 1953; 96, 1, 1954.  
А. Д. Степухович и Э. С. Швер, Журн. физ. химии, 27, 1013, 1953; ДАН, 89, 6, 1953.  
А. Д. Степухович и А. М. Чайкин, Журн. физ. химии, 27, 1737, 1953.  
А. Д. Степухович и Г. П. Воробьева, Журн. физ. химии, 28, 1361, 1954.  
А. Д. Степухович, Вопросы химической кинетики, катализа и реакционной способности, Изд-во АН СССР, 1955, стр. 165—175.  
B. de B. Darvenant, R. Roberts, Discuss. Farad. Soc., № 14, 54, 1953.  
M. R. Berlie, A. D. J. Le Roy, Discuss. Farad. Soc., № 14, 50, 1953.  
А. Д. Степухович, ДАН, 92, 1, 1953.  
С. Глессстон, Теоретическая химия, ИИЛ, М., 1950.  
С. Глессстон, К. Лейдлер, Г. Эйринг, Теория абсолютных скоростей реакций, ИИЛ, М., 1948.  
А. М. Гурвич, А. В. Фрост, Уч. зап. МГУ, вып. 164, физ. химия, 1953.  
Л. М. Свердлов и Н. Л. Пахомова, ДАН, 91, 5, 1953.  
Г. Герцберг, Колебательные и вращательные спектры молекул, ИИЛ, М., 1949.  
М. В. Волькенштейн, М. А. Ельяшевич, Б. И. Степанов, Колебания молекул, т. I, Гостехиздат, М., 1949.  
Е. Ф. Гросс, К. В. Нельсон и Я. М. Слободин, Журн. физ. химии, 25, 5, 1951.

## К ВОПРОСУ О СВОЙСТВАХ ТРЕХКОМПОНЕНТНЫХ АЗЕОТРОПНЫХ СМЕСЕЙ, ОБРАЗОВАННЫХ КОМПОНЕНТАМИ С ОГРАНИЧЕННОЙ ВЗАИМНОЙ РАСТВОРИМОСТЬЮ

В. Б. Коган

В работе [1] было показано, что в трехкомпонентных системах, образованных компонентами с ограниченной взаимной растворимостью, относительная летучесть последних возрастает с уменьшением их взаимной растворимости.

Применительно к свойствам трехкомпонентных азеотропных смесей это приводит к заключению о том, что они должны содержать относительно больше тех компонентов, которые хуже растворимы друг в друге.

Если три компонента А, Б и В образуют азеотропную смесь, то при условии, что компоненты Б и В обладают наименьшей взаимной растворимостью, в тройном азеотропе должно содержаться относительно больше компонентов Б и В, по сравнению с бинарными азеотропными смесями АВ и АВ.

В связи с изложенным представляет интерес рассмотрение имеющих экспериментальных данных о свойствах трехкомпонентных азеотропных смесей, образованных компонентами, имеющими ограниченную взаимную растворимость.

С этой целью были рассмотрены данные о свойствах азеотропных смесей, собранные в справочнике [2]. Рассмотрению были подвергнуты трехкомпонентные азеотропные смеси, одним из компонентов которых является вода, так как взаимная растворимость воды и органических соединений в большинстве случаев известна.

В табл. 1 приводятся результаты обработки данных о свойствах азеотропных смесей. Буквами Б и В обозначены компоненты, обладающие наименьшей взаимной растворимостью по сравнению с другими. По данным о составах тройных и бинарных азеотропных смесей определялось относительное содержание компонента А в тройном  $\left[ \left( \frac{X_A}{X_B} \right)_{\text{тр}} \right]$  и бинарных  $\left[ \left( \frac{X_A}{X_B} \right)_{\text{бин}} \right]$  азеотропах. Знаком (Г) обозначены компоненты, образующие с компонентом А бинарные гетероазеотропы.

Как видно из данных, приведенных в табл. 1, в подавляющем большинстве случаев относительное содержание компонента А, обладающего наибольшей взаимной растворимостью с двумя другими, в тройной азеотропной смеси меньше, чем в бинарных. Это находится в полном соответствии с найденной ранее [1] закономерностью, характеризующей связь между растворимостью и летучестью. Пользуясь этой закономерностью, представляется возможным производить проверку правильности данных о составе азеотропных смесей. В конце табл. 1 приведены данные о 10 (из 82 рассмотренных) системах, обнаруживающих несоответствие с закономерностью, характеризующей связь между растворимостью и летучестью. Очевидно, это несоответствие свидетельствует о неправильности данных о составах указанных азеотропных смесей.

В самом деле, тройные азеотропные смеси, образованные этанолом, водой и соответственно дис-1-бромпропеном, транс-1-бромпропеном и 2-

| Наименование компонентов |                                 |   | Состав тройного азеотропа<br>мол. % |       |       | Содержание А в би-<br>нарных азеотропах<br>мол. % |      |       | $\left(\frac{X_A}{X_B}\right)_{тр}$ | $\left(\frac{X_A}{X_B}\right)_{бин}$ | $\left(\frac{X_A}{X_B}\right)_{тр}$ | $\left(\frac{X_A}{X_B}\right)_{бин}$ |
|--------------------------|---------------------------------|---|-------------------------------------|-------|-------|---|------|-------|-------------------------------------|--------------------------------------|-------------------------------------|--------------------------------------|
| А                        | В                               | В                                       | ХА                                  | ХВ    | ХВ    | ХАВ   | ХАВ  | ХАВ   | $\left(\frac{X_A}{X_B}\right)_{тр}$ | $\left(\frac{X_A}{X_B}\right)_{бин}$ | $\left(\frac{X_A}{X_B}\right)_{тр}$ | $\left(\frac{X_A}{X_B}\right)_{бин}$ |
| Этанол                   | Вода                            | 1,2-Дихлорэтилен, нис                   | 11,6                                | 12,8  | 75,6  | 89,7  | 18,6 | 0,907 | 8,7                                 | 0,154                                | 0,228                               | 0,134                                |
| »                        | »                               | 1,2-дихлорэтилен, транс                 | 8,4                                 | 5,4   | 86,2  | 89,7  | 11,8 | 1,55  | 8,7                                 | 0,097                                | 0,134                               | 0,134                                |
| »                        | »                               | цетарехлористый углерод                 | 21,8                                | 19,5  | 58,7  | 89,7  | 38,7 | 1,42  | 8,7                                 | 0,372                                | 0,632                               | 0,632                                |
| »                        | »                               | 1,2-Дихлорэтан                          | 25,7                                | 18,45 | 54,9  | 89,7  | 55,7 | 1,32  | 8,7                                 | 0,468                                | 1,26                                | 1,26                                 |
| »                        | »                               | Хлороформ                               | 8,25                                | 18,45 | 73,3  | 89,7  | 16,0 | 0,447 | 8,7                                 | 0,412                                | 0,412                               | 0,412                                |
| »                        | »                               | Иодистый этил                           | 19,0                                | 27,1  | 53,9  | 89,7  | 33,4 | 0,702 | 8,7                                 | 0,352                                | 0,502                               | 0,502                                |
| »                        | »                               | Сероуглерод                             | 7,64                                | 6,25  | 86,11 | 89,7  | 39,7 | 1,41  | 8,7                                 | 0,089                                | 0,164                               | 0,164                                |
| »                        | »                               | Бромистый пропиол                       | 21,5                                | 22,8  | 55,7  | 89,7  | 40,8 | 0,943 | 8,7                                 | 0,386                                | 0,69                                | 0,69                                 |
| »                        | »                               | Этилацетат                              | 12,4                                | 28,4  | 59,2  | 89,7  | 46,0 | 0,437 | 8,7                                 | 0,21                                 | 0,852                               | 0,852                                |
| »                        | »                               | Бромистый изобутил                      | 34,6                                | 35,2  | 30,2  | 89,7  | 57,2 | 0,983 | 8,7                                 | 1,145                                | 1,34                                | 1,34                                 |
| »                        | »                               | Хлористый изобутил                      | 20                                  | 47,6  | 62,4  | 89,7  | 28,1 | 1,136 | 8,7                                 | 0,32                                 | 0,391                               | 0,391                                |
| »                        | »                               | Метилпропионкетон                       | 68,1                                | 22,1  | 9,8   | 89,7  | 95,1 | 3,08  | 8,7                                 | 6,95                                 | 19,4                                | 19,4                                 |
| »                        | »                               | Диэтилформаль                           | 23,0                                | 38,7  | 38,3  | 89,7  | 60,8 | 0,594 | 8,7                                 | 0,604                                | 1,55                                | 1,55                                 |
| »                        | »                               | Диэтилацеталь                           | 34,1                                | 36,5  | 29,4  | 89,7  | —    | 0,935 | 8,7                                 | —                                    | —                                   | —                                    |
| »                        | »                               | Триэтиламин                             | 18,2                                | 32,1  | 49,7  | 89,7  | 71,6 | 0,567 | 8,7                                 | 0,366                                | 2,52                                | 2,52                                 |
| »                        | »                               | Бензол                                  | 22,8                                | 23,3  | 53,9  | 89,7  | 44,8 | 0,979 | 8,7                                 | 0,423                                | 0,812                               | 0,812                                |
| »                        | »                               | Циклогексаниен-4,3                      | 25,0                                | 22,4  | 52,6  | 89,7  | 47,2 | 1,116 | 8,7                                 | 0,476                                | 0,894                               | 0,894                                |
| »                        | »                               | Циклогексен                             | 25,4                                | 22,6  | 52,0  | 89,7  | 47,8 | 1,123 | 8,7                                 | 0,488                                | 0,917                               | 0,917                                |
| »                        | »                               | Циклогексан                             | 22,2                                | 23,3  | 54,5  | 89,7  | 43,9 | 0,953 | 8,7                                 | 0,407                                | 0,783                               | 0,783                                |
| »                        | »                               | Вода                                    | 9,1                                 | 4,5   | 86,4  | 90,9  | 23,2 | 2,02  | 10,0                                | 0,105                                | 0,302                               | 0,302                                |
| Этиленхлор-<br>гидрин    | Дихлор-<br>диэтило-<br>вый эфир | Иодистый этил                           | 27,6                                | 36,9  | 35,5  | 43,2  | 53,7 | 0,748 | 0,762                               | 0,777                                | 1,16                                | 1,16                                 |
| н-Пропанол               | Вода                            | Хлористый пропиол                       | 0,76                                | 2,54  | 96,7  | 43,2  | Нет  | 0,299 | 0,762                               | —                                    | —                                   | —                                    |
| »                        | »                               | Пропилформат                            | 4,8                                 | 41,5  | 53,7  | 43,2  | —    | 0,115 | 0,762                               | —                                    | —                                   | —                                    |
| »                        | »                               | Пропилацетат                            | 15,7                                | 56,2  | 28,1  | 43,2  | 63,0 | 0,280 | 0,762                               | 0,558                                | 1,70                                | 1,70                                 |
| »                        | »                               | Этилпропиоформаль                       | 21,0                                | 52,0  | 27,0  | 43,2  | Нет  | 0,404 | 0,762                               | —                                    | —                                   | —                                    |
| »                        | »                               | Дипропилацеталь                         | 34,1                                | 60,2  | 5,7   | 43,2  | »    | 0,566 | 0,762                               | —                                    | —                                   | —                                    |
| »                        | »                               | Пропиловый эфир хлоруксусной<br>кислоты | 39,0                                | 56,2  | 4,8   | 43,2  | »    | 0,693 | 0,762                               | —                                    | —                                   | —                                    |
| »                        | »                               | Нитрометан                              | 18,45                               | 40,4  | 41,15 | 43,2  | 56,4 | 0,457 | 0,762                               | 0,448                                | 1,29                                | 1,29                                 |
| »                        | »                               | Бензол                                  | 8,9                                 | 28,3  | 62,8  | 43,2  | 20,9 | 0,314 | 0,762                               | 0,142                                | 0,264                               | 0,264                                |



Таблица 1 (продолжение)

| Наименование компонентов     |      | Состав тройного азетропа<br>мол. % |      |      | Содержание А в би-<br>нарных азетропах<br>мол. % |      | $\left(\frac{X_A}{X_B}\right)_{тр}$ | $\left(\frac{X_A}{X_B}\right)_{бин}$ | $\left(\frac{X_A}{X_B}\right)_{тр}$ | $\left(\frac{X_A}{X_B}\right)_{бин}$ |       |
|------------------------------|------|------------------------------------|------|------|--|------|-------------------------------------|--------------------------------------|-------------------------------------|--------------------------------------|-------|
| А                            | Б    | В                                  | ХА   | ХВ   | ХВ   | ХБА  |                                     |                                      |                                     |                                      | ХАВ   |
| н-Пропанол                   | Вод  |                                    | 11,8 | 29,7 | 58,5   | 43,2 | 25,0                                | 0,397                                | 0,762                               | 0,202                                | 0,333 |
|                              | »    |                                    | 11,5 | 30,1 | 58,4   | 43,2 | 27,3                                | 0,382                                | 0,762                               | 0,197                                | 0,375 |
|                              | »    |                                    | 10,4 | 29,3 | 60,3   | 43,2 | 25,9                                | 0,354                                | 0,762                               | 0,172                                | 0,35  |
|                              | »    |                                    | 20,4 | 39,3 | 40,3   | 43,2 | 42,1                                | 0,519                                | 0,762                               | 0,506                                | 0,727 |
| Изопрона-<br>нол             | »    |                                    | 16,6 | 32,3 | 51,4   | 43,2 | 31,0                                | 0,514                                | 0,762                               | 0,325                                | 0,449 |
|                              | »    |                                    | 48,2 | 27,6 | 54,2   | 43,2 | 38,7                                | 0,66                                 | 0,762                               | 0,336                                | 0,631 |
|                              | »    |                                    | 27,0 | 34,4 | 38,6   | 68,5 | 71,8                                | 0,785                                | 2,17                                | 0,70                                 | 2,54  |
|                              | »    |                                    | 18,6 | 24,8 | 56,6   | 68,5 | 39,3                                | 0,75                                 | 2,17                                | 0,329                                | 0,647 |
| Аллиловый<br>спирт           | »    |                                    | 21,8 | 25,3 | 52,9   | 68,5 | 44,5                                | 0,862                                | 2,17                                | 0,412                                | 0,802 |
|                              | »    |                                    | 19,2 | 25,8 | 55,0   | 68,5 | 40,8                                | 0,745                                | 2,17                                | 0,349                                | 0,689 |
|                              | »    |                                    | 8,3  | 44,8 | 76,9   | 68,5 | 24,9                                | 0,561                                | 2,17                                | 0,108                                | 0,392 |
|                              | »    |                                    | 10,3 | 25,2 | 64,5   | 44,7 | 40,6                                | 0,411                                | 0,808                               | 0,16                                 | 0,684 |
| Металлило-<br>вый спирт      | »    |                                    | 13,0 | 27,7 | 59,3   | 44,7 | 48,7                                | 0,469                                | 0,808                               | 0,219                                | 0,95  |
|                              | »    |                                    | 9,6  | 24,8 | 65,6   | 44,7 | 22,0                                | 0,387                                | 0,808                               | 0,146                                | 0,282 |
|                              | »    |                                    | 11,5 | 28,7 | 53,8   | 44,7 | 28,2                                | 0,401                                | 0,808                               | 0,214                                | 0,393 |
|                              | »    |                                    | 11,9 | 27,8 | 60,3   | 44,7 | 26,6                                | 0,428                                | 0,808                               | 0,197                                | 0,362 |
| Диметал-<br>лиловый эфир     | »    |                                    | 9,2  | 41,8 | 49,0   | 44,7 | 42,0                                | 0,22                                 | 0,808                               | 0,188                                | 0,724 |
|                              | »    |                                    | 16,5 | 16,2 | 67,3   | 88,5 | —                                   | 1,02                                 | 7,7                                 | —                                    | —     |
| Мономети-<br>ловый эфир      | »    |                                    | 4,55 | 65,7 | 29,75  | —    | 62                                  | —                                    | —                                   | 0,153                                | 1,63  |
|                              | »    |                                    | 28,6 | 68,3 | 3,1  | 39,2 | Нет                                 | 0,419                                | 0,645                               | —                                    | —     |
| Этилен-<br>гликоль<br>Ацетон | Вода |                                    | 0,56 | 30,3 | 69,14  | 28,4 | »                                   | 0,0185                               | 0,393                               | —                                    | —     |
|                              | »    |                                    | 6,8  | 59,5 | 33,7   | 28,4 | 29,9                                | 0,114                                | 0,393                               | 0,202                                | 0,427 |
|                              | »    |                                    | 13,5 | 75,4 | 11,1   | 28,4 | 58,0                                | 0,179                                | 0,393                               | 1,215                                | 1,38  |
|                              | »    |                                    | 25,0 | 66,2 | 8,8  | 28,4 | 92,8                                | 0,978                                | 0,393                               | —                                    | —     |

|                   |          |      |      |       |      |       |       |       |       |       |       |       |
|-------------------|----------|------|------|-------|------|-------|-------|-------|-------|-------|-------|-------|
| Изоамиловый спирт | Вода (г) | 2,0  | 19,5 | 78,5  | 32,8 | —     | 0,103 | 0,488 | —     | 0,779 | —     | 29,3  |
| »                 | »        | 13,0 | 70,3 | 16,7  | 32,8 | 96,7  | 0,185 | 0,488 | —     | —     | —     | —     |
| »                 | »        | 26,9 | 69,8 | 3,3   | 32,8 | Нет   | 0,386 | 0,488 | —     | 0,072 | —     | 0,469 |
| Втор. бутанол     | Вода (г) | 4,75 | 29,0 | 66,25 | 34,1 | 16,6  | 0,164 | 0,518 | —     | —     | —     | —     |
| »                 | »        | 28,2 | 59,0 | 12,8  | 34,1 | 90,8  | 0,478 | 0,518 | 2,2   | 2,2   | 9,87  | —     |
| Трет. бутанол     | Вода     | 17,6 | 27,4 | 55,0  | 64,5 | 37,8  | 0,643 | 1,816 | 0,32  | 0,32  | 0,607 | —     |
| »                 | »        | 18,0 | 28,2 | 53,8  | 64,5 | 40,0  | 0,638 | 1,816 | 0,335 | 0,335 | 0,667 | —     |
| »                 | »        | 18,2 | 19,4 | 62,4  | 64,5 | 39,7  | 0,9,9 | 1,816 | 0,292 | 0,292 | 0,658 | —     |
| Апетонигрил       | »        | 35,4 | 25,2 | 39,4  | 71,3 | 61,7  | 1,404 | 2,48  | 0,899 | 0,899 | 1,61  | —     |
| Метилацетилен     | »        | 29,9 | 23,9 | 46,2  | 71,3 | 55,8  | 1,25  | 2,48  | 0,647 | 0,647 | 1,26  | —     |
| Вода (г)          | »        | 32,1 | 17,4 | 50,5  | 66,9 | 84,0  | 1,84  | 2,02  | 0,636 | 0,636 | 5,25  | —     |
| »                 | »        | 14,5 | 29,4 | 56,1  | 66,9 | 64,3  | 0,493 | 2,02  | 0,259 | 0,259 | 1,8   | —     |
| »                 | »        | 9,0  | 77,6 | 13,4  | 14,8 | 50,0  | 0,116 | 0,174 | 0,671 | 0,671 | 1,0   | —     |
| н-Амиловый спирт  | »        | 2,2  | 87,3 | 10,5  | 14,8 | Нет   | 0,025 | 0,174 | —     | —     | —     | —     |
| »                 | »        | 9,1  | 73,9 | 17,0  | 17,2 | —     | 0,123 | 0,21  | —     | —     | —     | —     |
| Изоамиловый спирт | »        | 14,7 | 82,2 | 6,1   | 17,2 | —     | 0,142 | 0,21  | —     | —     | —     | —     |
| »                 | »        | 17,1 | 81,7 | 1,2   | 17,2 | Нет   | 0,209 | 0,21  | —     | —     | —     | —     |
| Этанол            | Вода     | 90,1 | 7,6  | 2,3   | 89,7 | 20,7  | 11,83 | 8,7   | 39,2  | 39,2  | 0,261 | —     |
| »                 | »        | 87,6 | 10,2 | 2,2   | 89,7 | 22,6  | 8,58  | 8,7   | 39,8  | 39,8  | 0,292 | —     |
| »                 | »        | 95,9 | 2,6  | 1,5   | 89,7 | 14,35 | 36,85 | 8,7   | 63,9  | 63,9  | 0,468 | —     |
| н-Пропанол        | »        | 41,3 | 20,3 | 38,4  | 89,7 | 51,4  | 2,03  | 8,7   | 1,075 | 1,075 | 1,06  | —     |
| Аллилловый спирт  | »        | 48,2 | 28,7 | 23,4  | 43,2 | Нет   | 1,68  | 0,762 | —     | —     | —     | —     |
| Изопропанол       | »        | 6,2  | 19,6 | 74,2  | 44,7 | 6,53  | 0,316 | 0,808 | 0,084 | 0,084 | 0,070 | —     |
| Диэтиленгликоль   | »        | 54,6 | 17,6 | 27,8  | 68,5 | 69,3  | 3,1   | 2,17  | 1,96  | 1,96  | 2,26  | —     |
| Вода (г)          | »        | 37,2 | 50,9 | 13,7  | 56,2 | 36,7  | 0,73  | 1,28  | 2,61  | 2,61  | 0,579 | —     |
| Гексиловый спирт  | »        | 5,6  | 5,5  | 88,9  | 5,5  | Нет   | 1,02  | 0,058 | —     | —     | —     | —     |
| Втор. бутанол     | »        | 9,55 | 7,03 | 83,42 | 34,1 | 14,8  | 1,35  | 0,518 | 0,114 | 0,114 | 0,174 | —     |

бромпропаном, имеют значительно меньшее содержание бромпроизводных, чем, например, азеотропная смесь, образованная этанолом, водой и бромистым пропилом или бромистым изобутилом, хотя указанные выше бромпроизводные имеют более низкие температуры кипения и должны были бы содержаться в азеотропных смесях в относительно больших количествах, чем бромистый пропиол или бромистый изобутиол.

Система н-пропанол — вода — дипропилформаль должна, несомненно, иметь глубокую аналогию с системой этанол — вода — диэтилформаль благодаря близости функциональных свойств компонентов, образующих эти системы. По аналогии с другими азеотропными смесями, например образованными спиртами, водой и сложными эфирами уксусной или муравьиной кислот, или спиртами, водой и углеводородами, можно ожидать, что увеличение температуры кипения двух других компонентов должно приводить к увеличению относительного содержания воды в трехкомпонентной азеотропной смеси.

Противоречие этому положению составов азеотропных смесей, образованных этанолом, водой и диэтилформалем, а также н-пропанолом, водой и дипропилформалем, приводит к заключению о том, что данные о составе последней ошибочны.

На основании аналогичных соображений можно придти также к заключению о сомнительности данных о составах других трехкомпонентных азеотропных смесей, не подчиняющихся общей закономерности. Данные о составах указанных азеотропных смесей требуют уточнения.

Таким образом, рассмотрение данных, приведенных в табл. 1, подтверждает существование в трехкомпонентных системах закономерной связи между растворимостью и летучестью.

Применительно к свойствам трехкомпонентных азеотропных смесей эта закономерность может быть сформулирована следующим образом. В трехкомпонентных азеотропных смесях, образованных компонентами с ограниченной взаимной растворимостью, увеличивается по сравнению с соответствующими бинарными азеотропами относительное содержание тех компонентов, которые обладают наименьшей взаимной растворимостью. Найденная закономерность имеет важное практическое значение при выборе разделительных агентов для процессов азеотропной и экстрактивной ректификации.

## ВЫВОДЫ

1. На основании рассмотрения экспериментальных данных о свойствах бинарных и трехкомпонентных азеотропных смесей подтверждено наличие связи между растворимостью и относительной летучестью, описанной в работе [1].

2. Показано, что в трехкомпонентных азеотропных смесях, образованных компонентами с ограниченной взаимной растворимостью, увеличивается по сравнению с соответствующими бинарными азеотропами относительное содержание тех компонентов, которые обладают наименьшей взаимной растворимостью.

3. На основе применения указанной закономерности сделано заключение об ошибочности имеющихся в литературе данных о составах некоторых трехкомпонентных азеотропных смесей.

Институт прикладной химии  
Ленинград

7

Поступила  
31.XII.1954

## ЛИТЕРАТУРА

1. В. Б. Коган, Жур. физ. химии, 29, 1470, 1955.
2. Л. Хорсли, Таблицы азеотропных смесей, ИИЛ, М., 1951.



## ФИЗИЧЕСКОМ ИСТОЛКОВАНИИ УРАВНЕНИЙ ДЕ-БРОЙЛЯ\*

Н. И. Кобозев

Квантовая механика, совмещая широкую фактическую обоснованность развитым математическим аппаратом, оставляет не раскрытым физический смысл основных своих положений, в том числе главного из них — представления о корпускулярно-волновой природе материи. В результате этого уже в течение 25 лет, прошедших после создания квантовой механики, ее основное представление — о фазовой волне частицы — не имеет физического истолкования и понимается в чисто символическом плане.

Это символическое (борновское) толкование фазовых волн как «волн вероятности» тесно граничит, если не просто сливается, с махизмом, как при этом не вероятность является абстрагированным отображением реальных соотношений в природе, а, наоборот, эти соотношения регулируются свойствами вероятности. Подобное толкование удовлетворяет математическому формализму теории, но не разъясняет физической сущности явления и стоит в явном несоответствии с той вполне реальной природой, которую волновые свойства материи играют в поведении микрочастиц.

Но, отклонив борновскую трактовку, приходится признать, что физический смысл соотношений де-Бройля остается столь же неясным, как и четверть века назад при их установлении.

В соответствии с этим эффекты, которые связаны с волновыми свойствами материи — туннельный эффект, аномальные активные сечения, локализация частиц, — имеющие основное значение не только для физики, но и для химии, поскольку ими определяется природа ковалентной связи и механизм электронных процессов, также не получают в квантовой механике физического объяснения.

То, что в руководствах по квантовой механике, в том числе и советских [2, 3], выдается за такое объяснение, представляет не более как простое констатирование формальной согласуемости этих эффектов с соотношением неопределенности Гейзенберга, что ни в какой мере не раскрывает их объективной физической природы.

Квантовые свойства микрообъектов представляют особое качество материи, не сводимое к классической механике и статистике. Наличие этих свойств ведет к закономерному ограничению точности в определении состояния этих объектов во времени и пространстве, но отнюдь не лишает состояния объективной реальности.

Существование объективного качественного различия между макрообъектами отвечает тому, что не только регистрируемая прибором и действительная картина движения квантовой нерелятивистской частицы, например электрона, в пространстве-времени существенно отличается от аналогичной картины для макрообъектов и подчиняется иным законам [3].

Необходимым элементом изучения и описания всякого движения является понятие данного момента времени, с которым связываются другие

\* Данная статья, представляющая собой обобщение ранее опубликованных в журнале работ автора по проблемам кинетики [1], печатается в порядке обсуждения (ред.)

параметры частицы — ее пространственные координаты, энергия, импульс. В современной физике в это понятие вкладываются два, равно не удовлетворительных, содержания: в классическом смысле под данным моментом понимается сколь угодно тонкий слой времени; в квантово-механической трактовке этот параметр определяется на основе соотношения неопределенности

$$\Delta t \geq \frac{h}{\Delta E}; \quad \Delta t \geq 2h \frac{m}{(\Delta p)^2} \quad (1)$$

как неустранимая ошибка наблюдения, связанная с неопределенностью энергии ( $\Delta E$ ) или импульса ( $\Delta p$ ).

Неудовлетворительность этих определений очевидна. Первое из них физически фиктивно: бесконечно тонкий слой времени представляется не физический параметр, а абстрактное понятие, заимствованное из геометрии. Второе определение ведет к тому, что ширина данного момента для частицы оказывается зависящей от акта измерения, т. е., по существу от произвола наблюдателя.

Естественно, что, пользуясь такими определениями, нельзя построить правильную объективную картину физического явления.

Пока длительность изучаемого процесса значительно превышает возможную ширину «данного момента» (как, например, у макротел), то этой шириной можно пренебречь по сравнению с измеряемым интервалом. Но для элементарных квантовых актов такое пренебрежение оказывается уже неприемлемым.

Однако сущность вопроса заключается не в том (как ставится эта проблема Гейзенбергом и Бором), на сколь тонкие слои разрезается «наблюдателем» по оси времени движущаяся система, а в реальном физическом поведении частицы на временной границе.

В классической физике содержались два допущения: первое, — что все объекты жестко связаны с временной границей, и второе, что временная граница является общей для всех объектов.

Оба эти допущения не удовлетворяют фактам современной физики. Квантовая механика пытается исправить классическую картину при помощи соотношения неопределенности, которое позволяет состояние объекта рассматривать в пределах конечного временного интервала  $\Delta t$ , зависящего от условий наблюдения, причем фактическое состояние частицы на временной границе признается непознаваемым.

Между тем последовательный анализ основных соотношений квантовой механики — уравнений де-Бройля — дает возможность подойти к объективной физической картине поведения квантовых частиц на временной границе и отсюда найти путь к физическому объяснению квантовых эффектов.

При этом анализе мы будем исходить из того положения, что фундаментальным, оправданным широким опытом, соотношениям физики должны отвечать не фикции и не символы, а объективные свойства материи.

Основным предметом нашего рассмотрения будет поведение свободных частиц, обладающих массой покоя, которые для краткости мы будем называть тяжелыми частицами.

Подойдя с сформулированной выше позиции к соотношениям де-Бройля для таких частиц:

$$\text{Полная энергия частицы с массой } m = mc^2 = \text{энергии фотона} = h\nu. \quad (2)$$

$$\text{Импульс частицы со скоростью } v = mv = \text{импульсу фотона} = \frac{h\nu}{c} = \frac{h}{\lambda_{\text{ф}}} \quad (3)$$

$v = c^2/v$  — фазовая скорость,  $\lambda_\phi$  — длина фазовой волны), в этих со-  
 снениях можно вскрыть физический смысл, кардинально отличаю-  
 я от обычного толкования и который, насколько нам известно, до  
 тор еще не был указан\*.

ычное, ставшее традиционным толкование соотношений де-Брой-  
 заключается в том, что они представляют объединение корпускулярного  
 нного аспектов в описании тяжелых частиц путем приписывания  
 полнительных волновых свойств.

днако это толкование не раскрывает физического смысла соотноше-  
 (2) и (3), представляя лишь общий комментарий к ним. По непосред-  
 ственному и прямому своему физическому содержанию уравнения де-  
 ля являются не чем иным, как выражением закона сохранения энер-  
 и импульса при «переходе» тяжелой частицы в легкую — в неко-  
 й «фотон» (мы его назовем « $i$ -фотон») с частотой  $\nu$ :

$$\text{тяжелая частица} \rightarrow i\text{-фотон} \quad (4)$$

о ясно видно из той формы, в которой выше записаны эти соотноше-  
 (2), (3) и в которых по их прямому смыслу не содержится ничего дру-  
 \*. Математическому условию этого «перехода» (2), (3) должен отве-  
 не фиктивный, не символический, а некоторый реальный процесс  
 елой частицей. Установление его характера и является основной за-  
 нашего анализа.

ецифическая особенность изображенного «перехода» (4) заключается  
 в том, что его приходится считать мнимым в отношении энергии  $i$ -фотона,  
 действительным в отношении его импульса. Это соответствует тому,  
 а опыте не наблюдается никакого излучения с частотой  $\nu$ , эквива-  
 лентной массе частицы, но наблюдается фазовая волна, эквивалентная  
 импульсу:

$$\lambda_\phi = \frac{h}{mv}, \quad (5)$$

— скорость частицы,  $m$  — ее масса.

отношению между групповой ( $v$ ) и фазовой ( $c'$ ) скоростью фазовых  
 отвечает дисперсия, не осуществимая ни в какой обычной оптической

ис. 1, 2 изображают положение частицы  $A$  (черный прямо-  
 угльник) во временно-пространственном континууме в данной момент  
 ни, т. е. на нулевом фронте времени. Координаты  $L$  —  $L$  символи-  
 зуют пространственные измерения континуума (для простоты взято  
 ; за единицу скорости принята скорость света в вакууме  $c$ ).

та схема является обычной при графическом изображении объеди-  
 ного пространственно-временного континуума.

вижение объекта в пространстве-времени может быть представлено  
 ложение его перемещения по пространственной координате  $L$  и пере-  
 ния самого временного фронта по оси  $t$ . Таким образом объект  $A$   
 ет свое положение в пространстве, непрерывно оставаясь на нулевом  
 те времени.

классическом понимании, которое удержано и релятивистской тео-  
 нулевой фронт времени толкуется просто как граница, отделяю-

Подчеркнем, что всякое толкование уравнений де-Бройля, по самому их смыслу,  
 есть применение оптической аналогии к поведению тяжелых частиц. Метод  
 ги — один из основных в науке (аналогия частицы и упругого шара, гидроди-  
 и электродинамики, ядра и капли и т. п.). Закономерность же оптической ана-  
 в механике микрообъектов оправдана всем развитием физики.

Сам де-Бройль смотрел на свои соотношения как на формальные выводы из  
 а относительности, имеющие чисто символический характер. «...Волна (фазовая —  
 ) не является физическим явлением в старом смысле слова, это — некоторое сим-  
 еское представление вероятности в пространстве и во времени» [4].



щая «прошлое» от «будущего», которой приписывается сколь угодно малая толщина по временной координате и неограниченная распространение по пространству. По классическому представлению этот сколь угодно тонкий по времени слой ( $L - L$ ) (который мы будем называть  $N$ -областью) включает в себе всю совокупность объектов, существующих в природе.

Выше уже указывалась физическая неприслешность такой карты и отмечалась неудовлетворительность ее исправления при помощи отношения неопределенности. Мы не претендуем в этой работе на какое-либо общее решение проблемы времени. Из этой проблемы мы выделяем лишь один вопрос — о физической ширине данного момента для раз-

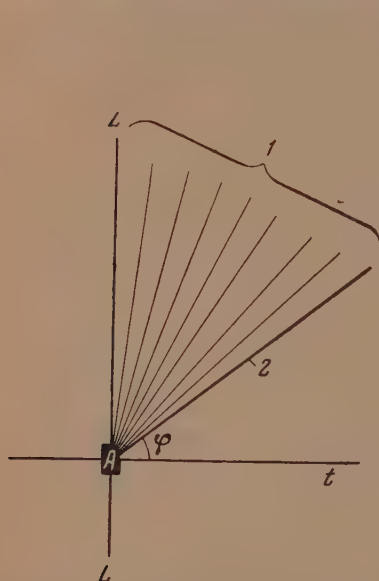


Рис. 1. 1 — траектории фазовых лучей (скорость  $> c$ ); 2 — траектория светового луча (скорость  $c$ )

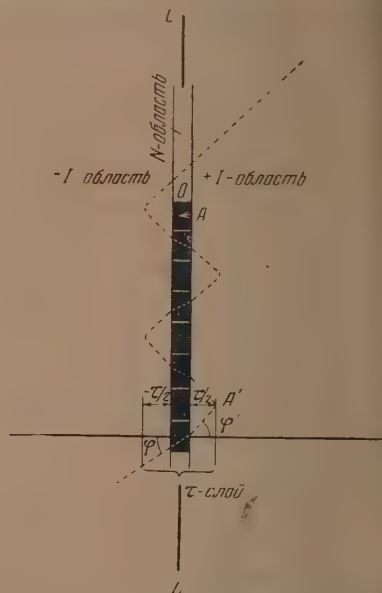


Рис. 2.  $A$  — тяжелая частица  $\operatorname{tg} \varphi = c/n_m$   
 $\operatorname{tg} \varphi' = c^2/v$

частиц, т. е. о поведении этих частиц на временной границе. Этот вопрос весьма актуален и в то же время более доступен анализу, чем проблема времени в целом, часть которой он составляет.

Обычные электромагнитные волны и связанные с ними световые кванты (фотоны) распространяются по границе  $L - L$  в  $N$ -области. Заполнение этой области фотонами или тяжелыми частицами сообщает ей некоторую конечную временную толщину. Об этом «жестком» временном диаметре тяжелых частиц (т. е. о ширине для них  $N$ -слоя) — см. примечание на стр. 2002.

Под «жесткой» временной толщиной  $\theta$  мы понимаем толщину  $N$ -области, отвечающую геометрическому размеру частицы (см. примечание на стр. 2002). Хотя этот слой имеет конечную временную толщину, но в отношении него также нельзя допустить, чтобы он заключал в себе всю совокупность физических объектов и процессов в природе. Например, ясно, что в пределах  $N$ -слоя не существует такой области, которая могла бы заключать в себе фазовые волны и  $i$ -фотоны с присущими им свойствами (см. выше). Отсюда следует, что единственной частью временно-пространственного континуума, где могут «распространяться»  $i$ -фотоны и фазовые волны (и где не существует обычных электромагнитных волн и фотонов), является какая-то часть  $\pm I$ -области, лежащей по обе стороны от нулевой фронта времени, т. е. от  $N$ -области.

В терминах времени, как текущей координаты, это означает, что период частицы в  $i$ -фотон, выражаемый уравнением де-Бройля, сопряжен смещением  $i$ -фотона (следовательно, и фазовой волны) со световой временной границы в  $I$ -область.

Ниже мы увидим, какой физический смысл имеет этот вывод.

Заштрихованный сектор (рис. 1) в  $I$ -области отвечает сверхсветовым скоростям для  $i$ -фотона ( $c^2/v$ ) против субсветовой фазовой скорости, равной  $c/n$  для обычных фотонов в  $N$ -области, заполненной тяжелыми частицами с показателем преломления  $n$ , который соответствует той частице как микросреде. Это различие фазовых скоростей в  $N$ - и  $I$ -областях имеет фундаментальное значение для развиваемой оптической аналогии. Оно позволяет углубить эту аналогию и рассматривать и временные области:  $N$ -область, с одной стороны, и прилегающие к ней  $\pm I$ -области, с другой,—как оптические среды разной оптической плотности, причем  $I$ -область по отношению к  $N$ -области представляет как «сверхвакуум» (поскольку фазовая скорость в ней больше световой). Подобное «оптическое расслоение» пространственно-временного континуума выражается в том, что показатель преломления  $I$ -области\* относительно  $N$ -области оказывается значительно меньше единицы и в присутствии тяжелой частицы равен

$$n_i = \frac{c}{n} \Big/ \frac{c^2}{v} = \frac{v}{nc} \ll 1, \quad (6)$$

Нетрудно понять физический смысл этой оптической аналогии: она означает, что  $i$ -фотон и фазовые волны, связанные с частицей, должны прерывать полное внутреннее отражение на границе  $I$ -области (куда они спускаются) в  $N$ -область (т. е. обратно к частице) при критическом угле, определяемом из уравнения:

$$\sin \varphi_{\text{крит.}} \geq n_i = \frac{v}{nc}. \quad (7)$$

Условие полного внутреннего отражения фазовых волн на границе  $N$ - и  $I$ -областей точно определяется благодаря тому, что в системе пространство-время (рис. 1 и 2) тангенс «угла падения» ( $\varphi$ ) луча на границе: [ $N$ -область (частица) —  $I$ -область] равен фазовой скорости фотона  $N$ -области, т. е.

$$\operatorname{tg} \varphi = \frac{1}{n} \quad (8)$$

(а единицу скорости принята скорость света в вакууме) и, следовательно,  $\varphi$  фиксирован и равен

$$\sin \varphi = \frac{1}{\sqrt{1+n^2}} \quad (9)$$

и (для больших  $n$ )

$$\sin \varphi \approx \frac{1}{n}.$$

\* Мы рассматриваем положительную и отрицательную части  $I$ -области как оптически одинаковые «среды» для фазовых волн. Это возможно потому, что волна де-Бройля обладает обратимостью во времени, как это следует из неизменности ее фазового показателя  $\cos 2\pi\nu(t - z/c')$  при одновременной перемене знака  $t$  и  $c'$ . Физически это означает симметричность состояния частицы ( $i$ -фотона и фазовой волны) относительно нулевой временной границы, как это показывает уравнение Дарвина:

$$p_t = \sqrt{p^2 + \left(\frac{hqt}{m_0}\right)^2}$$

— начальная ширина пакета при  $t = 0$ ;  $p_t$  — для момента  $t$ ). Подобная симметричность, вытекающая из свойств фазовой волны, упрощает дальнейший анализ, но не является его необходимым условием. Если будет указан принцип физической неэквивалентности  $+I$ - и  $-I$ -области для частицы, то он всегда может быть учтен дополнительно.

Отсюда условие полного внутреннего отражения фазовых волн на границе  $N$ - и  $I$ -областей выразится

$$\sin \varphi_{\text{крит.}} = \sin \varphi,$$

откуда

$$v \leq c \frac{n}{\sqrt{1+n^2}}. \quad (10)$$

Так как «показатель преломления» частицы очень велик, то с очень большой степенью приближения условие полного внутреннего отражения будет

$$v < c. \quad (11)$$

Следовательно, полное внутреннее отражение  $i$ -фотона на границе  $N$ -,  $I$ -областей должно иметь место для всех реальных частиц.

Но из оптики известно, что даже при полном внутреннем отражении всегда имеет место проникновение колебаний в менее плотную среду на расстояние, соизмеримое с длиной волны. Отсюда следует весьма важный результат: фазовая волна отражается из  $I$ - в  $N$ -область не на самой временной границе ( $L - L$ ), а заходит на некоторую глубину по оси времени, раздвигая в обе стороны временную границу существования частицы на некоторую ширину  $\tau$ . Мы будем величину  $\tau$  в дальнейшем называть «временной длиной» или «временной амплитудой» частицы\*.

В своем известном исследовании полного внутреннего отражения А. А. Эйхенвальд [5] установил, что световая энергия колеблется в менее плотной среде по нормали к поверхности раздела с периодом, вдвое меньшим, чем период самой волны. Если применить эту оптическую аналогию, то углубление  $i$ -фотона в  $\pm I$ -область будет равно

$$\frac{1}{4} \frac{h}{mc^2}, \quad (13)$$

временная амплитуда колебания  $i$ -фотона относительно нулевого фронта времени выразится

$$\tau = \frac{1}{2} \frac{h}{mc^2}, \quad (14)$$

а полный период колебания  $i$ -фотона в  $\tau$ -слое будет просто обратен его частоте:

$$T = 2\tau = \frac{1}{\nu} = \frac{h}{mc^2}. \quad (15)$$

К близкой величине для  $\tau$  приводит и использование экспоненциального закона затухания интенсивности при проникновении возмущения в менее плотную среду при полном внутреннем отражении.

В найденных соотношениях (10)–(15) находит свое точное отражение свойство непроницаемости временной границы за пределами узкого  $\tau$ -слоя для каких бы то ни было частиц, так как сопряженный с частицей  $i$ -фотон

\* Чтобы различать фазы временного колебания частицы, можно положительную фазу (переход в  $+I$ -область) назвать «временным опережением», а отрицательную — «временным запаздыванием» частицы:

$$\left. \begin{aligned} +\frac{1}{2}\tau & \text{— временное опережение частицы,} \\ -\frac{1}{2}\tau & \text{— временное запаздывание частицы,} \end{aligned} \right\} \quad (12)$$



збежно должен претерпевать полное внутреннее отражение на этой границе. Полученное условие непроницаемости  $\tau$ -слоя категорически отвергает возросшие на почве теории относительности кантианские попытки представить мир в виде четырехмерной «заранее заготовленной» статической системы, которая лишь постепенно взрезается нашим сознанием по оси времени\*.

Этот результат важен также в том отношении, что он по-новому освещает ограничение скорости для объектов: частица не может достигнуть скорости света не только из-за релятивистского возрастания ее массы перигии до бесконечности, но и из-за условия непроницаемости временного  $\tau$ -слоя. При этом последнее ограничение (из-за множителя  $\sqrt{1+n^2}$ ) наступает хотя и крайне незначительно, но раньше, чем ограничение Лоренца — Эйнштейна, так как частица раньше должна «вылезти» из физического пространства-времени (что, разумеется, невозможно), чем ее масса дорастет до бесконечности. Поэтому действительной верхней границей скорости частицы является величина  $n/\sqrt{1+n^2}$ , очень близкая, но не равная скорости света.

Как видно из (13), (14), в пределах обычных скоростей временная амплитуда не зависит от скорости частицы ( $v$ ) и определяется ее массой покоя. При  $v \rightarrow c$  становится ощутимой релятивистская поправка:

$$\tau = \frac{\hbar}{2m_0 c^2} \sqrt{1 - \frac{v^2}{c^2}} = \tau_0 \sqrt{1 - \frac{v^2}{c^2}}. \quad (16)$$

Таким образом при увеличении массы покоя ( $m_0$ ) и скорости частицы временная амплитуда сокращается и в пределе ( $m_0 \rightarrow \infty$  или  $v \rightarrow c$ ) стремится к нулю.

Из проделанного анализа следует, что существование временной амплитуды у тяжелых частиц непосредственно связано с наличием фазовой волны, обладающей сверхсветовой скоростью. В свою очередь, существование фазовой волны связано с наличием у частицы массы покоя [см. уравнение (2)].

Отсюда следует, что световые кванты (фотоны), как вполне релятивистские частицы, не имеющие массы покоя и обладающие скоростью света, не обладают временной амплитудой, т. е. точно совпадают с нулевым моментом времени ( $L - L$  границей).

Это не значит, что фотоны вообще не обладают временным размером; это временно плоски в том смысле, что жестко связаны с нулевой временной границей, — собственно, они-то ее и определяют, — т. е. не имеют дебательного  $\tau$ -слоя:

$$\tau_{\text{фотон}} = 0. \quad (17)$$

Хотя вопрос о частице в поле и выходит за рамки настоящей работы, следует указать, что в общем случае силовое поле, например электромагнитное, не обязано иметь такую же временную амплитуду, как связанная с ним частица (например, фотон). Таким образом, в общем случае:

$$\tau_{\text{поле}} > 0. \quad (18)$$

Толщина временного  $\tau$ -слоя для тяжелых частиц весьма мала, даже для самых легких из них, так как частота  $i$ -фотона огромна. Например, для

\* Например, Эйнштейн и Инфельд [6] определенно заявляют, что «теория относительности... явно предпочла статическую картину и нашла в этом представлении изобретения как того, что существует в пространстве-времени, более удобную и обтекаемую картину реальности» (стр. 191, подчеркнуто мною — Н. К.). Несомненно, абстрактно возможно создавать четырехмерные статические континуумы любой временной длины. Но, как ясно показывает наш анализ, это физически бессодержательно, так как за пределами  $\tau$ -слоя не может быть никакой материи.

электрона при обычных скоростях  $\tau$  составляет  $0,4 \cdot 10^{-20}$  сек., для нейтрона (протона, Н-атома) —  $2,2 \cdot 10^{-24}$  сек., для больших молекул ( $M \sim 300$ )  $\sim 10^{-26}$  сек. и т. д.

Несмотря на незначительные абсолютные величины временной амплитуды, именно ей тяжелые частицы с малой массой обязаны появлению особых квантово-механических свойств.

Резюмируя, можно сказать, что для движения  $i$ -фотонов (а следовательно, и фазовых волн) вдоль пространственно-временной границы, заполненной тяжелой массой, получается картина, вполне аналогичная известному явлению передачи света при помощи полного внутреннего отражения по оптически плотному стержню (волноводу) (рис. 3).

Иными словами, предполагаемый в соотношениях де-Бройля  $i$ -фотон движется не по самой временной границе  $L - L$ , как обычные фотоны, а по волнообразной траектории, относительно которой эта граница играет роль геометрического места нулевых фаз.

Эта волновая траектория  $i$ -фотона непосредственно связана с фазовой волной частицы и позволяет вскрыть ее физический смысл.

Как известно, при полном внутреннем отражении всегда происходит сдвиг отраженного луча по плоскости отражения, в нашем случае — по пространственной координате  $L - L$ . Согласно теории полного внутреннего отражения, величина этого сдвига составляет около половины:

$$D \approx \frac{1}{2} \lambda_{\phi} \quad (19)$$

К этому же приводит построение на рис. 2\*. Так как одним из измерений является время, то  $\operatorname{tg} \varphi = c/n$ , а  $\operatorname{tg} \varphi'$  равен фазовой скорости  $c' = c^2/v$ , откуда

$$D = \tau c' = \frac{1}{2} \lambda_{\phi}. \quad (20)$$

Полученный результат имеет важное значение, так как он показывает, что временная амплитуда частицы имеет пространственный эквивалент, — в виде сдвига отраженного луча, — и что этот эквивалент как раз выражается фазовой волной де-Бройля. Этим фазовая волна лишается характера физической фикции или чисто символического образа (Борн) и приобретает реальный физический смысл.

Временное углубление частиц также имеет вполне ясное физическое содержание. Вспомним, что уравнение де-Бройля, как уже говорилось выше, представляет не что иное, как выражение эквивалентности частицы и  $i$ -фотона в отношении их импульса и энергии. Это важное соотношение означает, что  $i$ -фотон, переходящий в область отражения (в  $\tau$ -слой), может рассматриваться как та же частица, но движущаяся не по нулевому фронту времени, а колеблющаяся по временной координате в пределах

\* Путь  $A - A' - A$ , в плане оптической аналогии, отвечает кривой вектора Умова — Пойнтинга при полном внутреннем отражении световых волн. Но в то время как вектор Умова — Пойнтинга проводится так, чтобы выражать нормаль к силовым линиям поля, пути на рис. 2 проходят так, что тангенсы их углов выражали фазовые скорости в  $N$ - и  $I$ -областях.

Отметим, что как кривые вектора Умова — Пойнтинга, так и кривые на рис. 2 не выражают хода обычного преломленного луча в менее плотной среде, так как такой ход имеет определенность только на путях, заметно больших длин волн, здесь же путь как раз соизмерим с  $\lambda_{\phi}$ . Поэтому пунктирную волнообразную линию на рис. 2 нужно рассматривать лишь как отображение периодического возврата «фазового луча» (следовательно, и  $i$ -фотона) на нулевой фронт времени, т. е. выражение колебательного процесса в  $\tau$ -слое.



Рис. 3. 1 — оптически плотный стержень — волновод

лоя. Физически это выражает тот ясный факт, что каждая частица с тяжелой массой обладает характеристической временной амплитудой или длиной, которая и выражает ширину «данного момента» для частицы. Этот результат является естественным. Представление о том, что временная координата тяжелой частицы может быть сжата до сколь угодно малой величины, т. е. что «данный момент» для такой частицы может быть по желанию «наблюдателя» сведен до бесконечно тонкой полосы текущего времени, — является вполне метафизическим и физически фиктивным.

Нулевая толщина колебательного  $\tau$ -слоя отвечает только частицам, лишенным массы покоя (световые кванты, гравитоны). «Тяжелая» же частица не может быть временно-плоской и необходимо обладает определенной временной амплитудой. Чем меньше тяжелая масса частицы, тем больше амплитуда ее колебания по временной оси около нулевого фронта времени, т. е. тем шире  $\tau$ -слой.

Положение же этого фронта фиксируется движением световых квантов, точно совпадающих с временной границей.

Итак, последовательное развитие оптико-механической аналогии приводит к выводу, что реальное поведение тяжелой частицы на пространственно-временной границе может мыслиться аналогично явлению полного внутреннего отражения плоской волны на границе двух оптических сред: поток энергии — массы, аналогичный вектору Умова — Пойнтинга, углубляется в месте, занимаемом частицей, в менее плотную «среду» и, переходя за нулевой фронт времени, снова полностью отражается к этому фронту, пересекает его в обратном направлении и, таким образом, совершает колебание в  $\tau$ -слое около нулевой границы времени, давая при отражении сдвиг по пространственной координате на длину фазовой полуволны\* (рис. 2).

Можно показать, что фазовая волна и  $i$ -фотон физически неотделимы от частицы, так как иначе они не смогли бы удержаться в физическом пространстве-времени. Действительно, если допустить (рис. 2), что, например, в точке  $O$  фазовая волна вместо «своей» частицы находит пустое место (т. е. среду с показателем преломления, равным единице), то условием ее полного внутреннего отражения, т. е. возврата на нулевой фронт времени, — будет не уравнение (10), а

$$v \leq \frac{c}{\sqrt{2}}. \quad (21)$$

Следовательно, для частиц со скоростью, большей  $0,7c$ , имелась бы возможность «пробить»  $\tau$ -слой и исчезнуть из физического пространства-времени, что, очевидно, невозможно.

\* Как уже говорилось, описанное колебательно-поступательное движение массы-энергии вдоль пространственно-временной границы аналогично движению энергии в волноводе. Эта аналогия заходит достаточно далеко. Как известно, в электрических волноводах образуются электромагнитные волны, характеризующиеся медленным (убывающим) перемещением энергии (группы, амплитуды) и сверхсветовым перемещением фазы. При этом соотношение между групповой и фазовой скоростью таких волн точно подчиняется уравнению де-Бройля для скорости частицы и связанной с ней фазовой волны [7].

Подчеркнем, что картина полного внутреннего отражения фазовых  $i$ -фотонов на границе  $N$ - и  $I$ -областей, являющаяся результатом последовательного развития физической аналогии, как и всякая аналогия, играет роль вспомогательного построения для раскрытия объективного содержания явления, в данном случае — реального поведения тяжелой частицы во времени.

Таковым является ее осцилляция в  $\tau$ -слое, внешне аналогичная поведению электромагнитной волны в оптически плотном стержне или электрическом волноводе.

Из этой аналогии, конечно, не следует идентичность или хотя бы близость физическо-механизма колебания электромагнитной энергии на границе двух сред и тяжелой частицы на временной границе.

Нельзя требовать полного совпадения и формальной схемы этих явлений. Словом, здесь нужно считаться с теми же ограничениями, как и в других физических аналогиях.



Таким образом пространственно-временное совпадение частиц и фазовой волны (следовательно, и  $i$ -фотона) является условием стабильного существования частицы в пространстве-времени. Следовательно, фазовая волна имеет физическую реальность только как пространственный эквивалент временного опережения (амплитуды), т. е. как «шаг частицы» в  $\tau$ -слое по пространству и как выражение ее колебательного состояния в этом слое.

Объективной же физической реальностью является «частица — временной осциллятор», совершающая в  $\tau$ -слое колебания около нулевого фронта времени с определенной частотой и амплитудой\*.

Это особое специфическое свойство микрообъектов, обладающих тяжелой массой, практически утрачивается у макротел из-за очень большой массы покоя и ничтожной  $\tau$ -амплитуды и исчезает у релятивистских частиц (фотонов) из-за отсутствия тяжелой массы (следовательно, и фазовой волны) и световой скорости движения.

В противоположность субъективной трактовке «данного момента» в духе соотношения неопределенности наш анализ приводит к установлению для частиц объективной характеристической ширины «данного момента» как ширины осцилляционного  $\tau$ -слоя.

Это характеристическое время тяжелой частицы может быть названо ее колебательным или квантовым временем в дополнение к трансляционному или световому времени, как формы классического механического движения.

Такое разделение времени, вытекающее из нашего анализа, является естественным и даже необходимым: состояние частиц не может определяться тем количеством трансляционного времени, которое измерил «наблюдатель» от какого-то условного нулевого момента. Такое «субъективное время» не входит ни в одно фундаментальное уравнение для частицы. С другой стороны, строгая причинность явлений требует, чтобы будущее поведение частицы определялось ее состоянием в данный момент. Таким «данном моментом» для тяжелой частицы, как ясно из сказанного, является не фиктивный бесконечно тонкий слой времени и не какой-либо измеренный «наблюдателем» промежуток трансляционного времени, а ее собственное характеристическое квантовое время, т. е. временная амплитуда.

$\tau$ -время частицы есть реальное и объективное ее свойство, не зависящее от присутствия и измерительной работы «наблюдателя»; для частицы существуют только те события, которые находятся в пределах ее квантового времени (временной амплитуды).

---

\* Вопрос о связи частиц и полей выходит за рамки настоящей работы и в ней не разбирается.

Для проводимого анализа безразлично, существует ли данная частица самостоятельно, или она является возбужденным состоянием соответствующего поля, — важно лишь, имеет ли она массу покоя и связанную с ней фазовую волну.

По дальнейшее углубление анализа, возможно, приведет к соприкосновению нашей концепции, временной осцилляции с теорией вакуума (полевой теорией частиц) (см. [8, 9]). В связи с этим следует напомнить о толковании Шредингером [10] теории электрона Дирака.

Шредингер показал, что дираковское уравнение можно интерпретировать в том смысле, что в отсутствие сил составляющие скорости движения электрона распадаются на две компоненты. Первая — постоянно-направленная, принимает любое значение от 0 до  $c$ ; вторая является периодической с очень большой частотой колебаний и очень малой амплитудой. С этой колебательной компонентой, по Шредингеру, связаны спиновые свойства электрона. Представляется вероятным, что это «дрожание» электрона стоит в прямой связи с его временной осцилляцией в  $\tau$ -слое и может быть физически понято на этой основе.

Это тем более вероятно, что шредингеровская частота для электрона ( $\nu_e = 2m_0c^2/h$ ) как раз отвечает его временной амплитуде:  $\tau = 1/\nu_e$ .

Теория вакуума также приводит к вибрации электронов в поле нулевых колебаний. Таким образом, представление о свободной частице как о пространственно-временном осцилляторе не чуждо современным теориям элементарных частиц и квантовых полей.



Обосновывая и отстаивая объективную реальность пространства и времени, В. И. Ленин в то же время подчеркивал неизбежность изменения наших представлений об этих объективно-реальных формах бытия в порядке приближения к их абсолютному познанию: «Человеческие представления о пространстве и времени относительны, но из этих относительных представлений складывается абсолютная истина, эти относительные представления, развиваясь, идут по линии абсолютной истины, приближаются к ней. Изменчивость человеческих представлений о пространстве и времени так же мало опровергает объективную реальность того и другого, как изменчивость научных знаний о строении и формах движения материи не опровергает объективной реальности внешнего мира», «... наш «опыт» и наше познание все более приспособляются к объективному пространству и времени, все правильное и глубже их *отражаясь*» [11].

Введение, взамен условного «данного момента», представления о характеристическом квантовом времени частицы ( $\tau$ -слое), выражающем реальную ширину «данного момента» частицы, представляется назревшим необходимым шагом. Это характеристическое квантовое время непосредственно связано с величиной наименьшей временной неопределенности частицы  $\Delta t_{\text{миним}}$ , даваемой уравнением Гейзенберга:

$$\Delta t_{\text{миним}} = 2\tau = \frac{h}{mc^2}. \quad (22)$$

Однако временная амплитуда частицы никак не может рассматриваться как результат «ошибки» наблюдателя в определении энергии, так как никакое «воздействие прибора» на частицу не может привести к ее уничтожению, т. е. к неопределенности энергии порядка  $mc^2$ , а между тем только в этом случае временная амплитуда может быть сжата до нужной величины (порядка  $\tau$ ). Эта «неопределенность» или «ошибка» в энергии вполне детерминирована и связана с тем что, поместившись на нулевом (световом) фронте времени, «наблюдатель» действительно должен констатировать периодическое исчезновение частицы из  $N$ -области, благодаря ее переходу в  $I$ -область (т. е. в  $\tau$ -слой), в состояние, не контролируемое световыми квантами.

Эта осцилляция частицы в пределах  $\tau$ -слоя происходит, конечно, одинаково и в присутствии, и в отсутствие «наблюдателя». Именно из-за этой временно-пространственной «зыби», на которой с огромной частотой кажутся все частицы с тяжелой массой, «наблюдатель» и не может фиксировать состояние частицы в границах времени меньше  $\tau$  и в границах пространственной длины меньше  $l$ , связанных между собою гейзенберовским соотношением (для плоского движения):

$$l^2 = \frac{2h}{m} \tau. \quad (23)$$

В этом смысле ограничения, налагаемые соотношением неопределенности на наименьшую временную и пространственную длину объекта, возникают не при столкновении «наблюдателя» и «объекта», а лежат в природе самого объекта, являясь результатом этой «зыби», которая ограничивает точность идеального наблюдения так же, как броуновское колебание тонких нитей ограничивает точность реальных физических приборов.

В этой связи представляется значительным, что броуновская диффузионная картина движения частицы при наложении квантовых условий приводит к той же зависимости между пространственным смещением ( $l$ ) и временем ( $\tau$ ), которое дается соотношением неопределенности (23).

Действительно, легко видеть, что гейзенберовское соотношение между неопределенностью смещения и времени [уравнение (23)] имеет точно ту же форму, что и эйнштейновское уравнение для броуновского движения или диффузии (плоское движение):

$$l^2 = 4D\tau = (\lambda v) \tau, \quad (24)$$

где  $l$  — среднее квадратичное смещение броуновской частицы, отвечающее времени  $\tau$ ;  $D$  — коэффициент диффузии;  $\lambda$  — свободный пробег;  $v$  — скорость;  $\nu$  — частота броуновских импульсов. Таким образом, «коэффициент диффузии» квантовой частицы под действием пространственно-временной «зыби» должен иметь вид:

$$D = \frac{h}{2m}. \quad (25)$$

Можно показать, что наложение квантовых условий на броуновскую частицу действительно приводит к этому выражению.

Частота броуновских импульсов квантовой частицы выразится

$$\nu = \frac{v}{\lambda}. \quad (26)$$

Исключив  $\lambda$  из уравнения (24), получим

$$l^2 = \frac{v^2}{\nu} \tau = \frac{mv^2 2\tau}{2\nu m} = \frac{E}{\nu} 2 \frac{\tau}{m}. \quad (27)$$

Наложив на энергию частицы квантовое условие  $E = h\nu$ , получим выражение:

$$l^2 = \frac{2h}{m} \tau \quad \text{или} \quad D = \frac{h}{2m}, \quad (28)$$

совпадающее с соотношением неопределенности (23)—(25).

Если сопоставить по существу диффузионный, а не волновой характер уравнения Шредингера с диффузионным же характером соотношения Гейзенберга, то становится естественным представление об универсальной временно-пространственной «зыби», ообщающей квантовым частицам вполне реальные, а не возникающие лишь в порядке «неточности» наблюдения «микрокачания» во времени и пространстве. Сейчас, после открытия и истолкования сверхтонких эффектов — лэмбовского сдвига  $2^2 S_{1/2}$ , уровня водородного атома и дополнительного магнитного момента электрона, — повидимому, уже трудно сомневаться в реальности флуктуационных нулевых колебаний «вакуума». Но нужно считать, что не только эти сверхтонкие эффекты, но и основные квантовые эффекты (туннельные переходы, аномальные сечения, делокализация частиц) также связаны с временно-пространственной осцилляцией частиц.

Существование временной амплитуды у тяжелых частиц, и притом разной длины, приводит к тому, что реальный фронт времени ( $\tau$ -слой) является слоем конечной и неравной толщины. Поэтому для микрообъектов понятие одновременности состояний существенно видоизменяется, но с другой стороны, чем в теории относительности. Как уже говорилось, световые кванты фиксируют нулевое положение временной границы. Поэтому все «освещенные» объекты расположены на общем нулевом фронте времени. Однако такие объекты не составляют всего содержания системы тяжелых частиц. На нулевом фронте времени, помимо световых квантов (и других возможных релятивистских частиц), существует только часть тяжелых частиц, именно тех, которые находятся в нулевой фазе своего колебания в  $\tau$ -слое.

Аналогично, разрез системы по любой временной координате не дает всей совокупности частиц. Полностью все объекты, содержащиеся в системе, могут быть совмещены лишь на конечном временном интервале, равном амплитуде наиболее легкой и наиболее медленной частицы.

Эта «фундаментальная неодновременность» или «временная дисперсия» тяжелых частиц является их основной особенностью, лежащей в основе квантово-механических закономерностей их поведения.

Поэтому, в противоположность классической, квантовая механика по необходимости является механикой неодновременных состояний.

Возможно, что в этом пункте полученные выводы несколько приближаются к многовременному формализму современной квантовой электродинамики (Томонага), а также к схемам Штакельберга — Файнмана с рассмотрением двухстороннего движения электронов — позитронов во времени [12].

Пока эти представления рассматриваются, скорее, как формальные четные схемы, и мы не беремся выделить из них физическое содержание; сама потребность в видоизменении обычных представлений о времени, к сожалению, становится все более настойчивой.

В заключение рассмотрим, какие квантовые свойства тяжелых частиц могут получить физическое объяснение на основе развитого представления о тяжелой частице, как временном осцилляторе, без привнесения каких-либо дополнительных гипотез о характере этой осцилляции\* и свойствах  $\tau$ -слоя.

### НЕКОТОРЫЕ ПРИМЕНЕНИЯ ИЗЛОЖЕННЫХ ПРЕДСТАВЛЕНИЙ

Первым и основным следствием из формулированных положений является особый характер траектории тяжелых частиц. На нулевом фронте «классический» непрерывный характер имеет только траектория фотона (рис. 4, а). Для тяжелой же частицы эта траектория имеет непрерывный вид только в пределах, не выходящих ее  $\tau$ -слоя (рис. 4, б), для любого слоя меньшей ширины, в частности для нулевого фронта времени пространства, эта траектория приобретает «пунктирный» квантовый характер (рис. 4, в и г). Так как наблюдение за частицей всегда включает акт ее соударения с другой «пробной частицей», то фактически опыт дает поведение частицы не в ее собственном слое, а в «пробном  $\tau$ -слое», равном  $\tau$ - или  $\theta$ -слою «пробной частицы» (о  $\theta$ -слое см. ниже). Поэтому или «пробный  $\tau$ -слой» тоньше слоя частицы, то ее пребывание в этом слое обязательно будет чередоваться с пропусками в связи с переходом в более широкий собственный  $\tau$ -слой.

Для электрона, как наиболее легкой из тяжелых частиц (не считая нейтрино),  $\tau$ - и  $\theta$ -слои всех других «пробных частиц» (квантов, мезонов, атомных ядер) исчезающе малы сравнительно с шириной его собственного  $\tau$ -слоя, и поэтому его наблюдаемая траектория всегда имеет прерывистый, квантовый характер.

Для частиц с конечным размером в пунктирной траектории «точки» меняются на «тире» (в одномерном пространстве), где длина черточки отражает размер частицы ( $\sigma$ ). С увеличением размера частицы и ее массы, также с уменьшением ее скорости «шаг частицы» (т. е. ее фазовая волна) становится короче, «тире» сближаются, и квантовая, пунктирная траектория все более приближается к сплошной (рис. 4). Вместе со слиянием

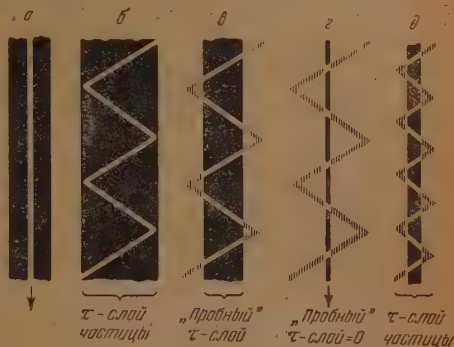


Рис. 4. а — движение фотона по нулевому фронту времени (световой границе); б — движение тяжелой точечной частицы в собственном  $\tau$ -слое; в — движение той же частицы в «пробном»  $\tau$ -слое, меньшем  $\tau$ -слоя частицы; г — движение той же частицы по нулевому фронту времени, т. е. в «пробном»  $\tau$ -слое, равном нулю; д — движение более тяжелой частицы в  $\tau$ -слое

\* То, что эта осцилляция носит особый и более сложный характер, чем это представлено в схемах (1—4), ясно из того, что эта схема непосредственно (при неизменности метрики трансляционного и квантового времени) не выражает скорости движения частицы.



«пунктира» траектория частицы все более прижимается к нулевой границе, т. е. становится все более «классической». Этому отвечает и этим объясняется тот основной факт, что волновые свойства частиц утрачиваются с ростом их массы. Напомним (см. стр. 1996), что волнообразную линию в рис. 4, б, в, г не следует отождествлять с фактическим путем частицы в  $\tau$ -слое, который не дается нашим анализом. Однако то, что мы условно называем «траекторией частицы», правильно отражает основные свойства ее истинного пути, а именно колебательный и непрерывный характер движения частицы в ее  $\tau$ -слое и распад ее траектории на квантовые элементы («пунктир») при сужении «пробного  $\tau$ -слоя».

Соотношения, указанные в примечании \*, ничего принципиально не изменяют и существенны лишь тем, что указывают верхний предел для толщины временного слоя, заполненного тяжелыми частицами атомной массы. Как видно, этот предел лежит не выше  $10^{-24}$  сек. Для электрона такая толщина вполне пренебрежима по сравнению с его  $\tau$ -амплитудой.

Поэтому по отношению к другим тяжелым частицам траектория электрона, как указывалось, всегда имеет прерывистый, квантовый характер вследствие чего его поведение не описывается классической механикой. Такая периодическая траектория, представляющая чередование «появления» и «исчезновения» частицы (благодаря ее колебанию в  $\tau$ -слое), может быть аппроксимирована как некоторая «волна», амплитуда которой в данной точке определяет «вероятность» появления там частицы.

В этой периодичности появление частицы на нулевом (световом) фронте пространства-времени и заключается физическая основа борновской трактовки фазовой волны как «волны вероятности», с той принципиальной поправкой, что «волнуется» не вероятность, а колеблется сама частица в  $\tau$ -слое.

Нужно сказать, что представление о периодичности («пунктирности») траектории элементарных частиц в пространстве - времени, т. е. о возможности их «появления» и «исчезновения», стоит на пороге физики как назревшая идея. Она уже высказывалась в некоторых частных формах.

\* Наряду с колебательным  $\tau$ -слоем у частицы существует еще жесткий  $\theta$ -слой, отвечающий ее «временному диаметру». Так как для  $i$ -фотона роль скорости света играет фазовая скорость  $c'$ , то этот диаметр равен

$$\theta = \frac{\sigma}{c'} = \sigma \frac{v}{c^2} \quad (29)$$

или с релятивистской поправкой

$$\theta = \sigma \frac{v}{c^2} \sqrt{1 - \frac{v^2}{c^2}} \quad (30)$$

$\sigma$  — электромагнитный диаметр электрона  $\sim 10^{-13}$  см).

Соотношение (29) легко получается графически из рис. 2.

Для частиц с небольшой тяжелой массой и размером  $\tau \gg \theta$ ; например для электрона, временная амплитуда равна  $0,4 \cdot 10^{-20}$  сек., а временной диаметр — зависимости от скорости составляет от  $\theta$  (1 eV) =  $0,65 \cdot 10^{-26}$  до  $\theta$  ( $\beta$  часть  $v = 0,5 c$ ) =  $= 1,4 \cdot 10^{-24}$  сек.

Наибольший временной диаметр электрона отвечает скорости  $v = \sqrt{0,5}$  и равен  $\theta_{\text{е макс}} = 1,6 \cdot 10^{-24}$  сек., т. е. еще в 2500 раз меньше ширины  $\tau$ -слоя. Таким образом, по сравнению со своей временной амплитудой, сам электрон может рассматриваться как временная точка. Подобное соотношение справедливо вообще для всех нуклонов с тепловыми скоростями. Но максимальный временной диаметр нейтрона или протона  $\theta_{n, p \text{ макс}} = 1,6 \cdot 10^{-24}$  сек. уже соизмерим с их временной амплитудой  $\tau_{n, p} = 2,2 \cdot 10^{-24}$  сек. Для атомов:

$$\theta_{\text{ат}} > \tau_{\text{ат}}.$$



Пример, Шредингер считал, что частотная составляющая движения трона связана с его осцилляцией между дираковскими состояниями положительной и отрицательной энергии. Я. И. Френкель [13], развивая представления Шредингера, предлагал схему «регенеративного» смещения электрона путем «появления» рядом с ним (каким образом — он не знает) «пары» электрон — позитрон с последующей нейтрализацией трона исходным электроном, который благодаря этому заменяется тем электроном в несколько смещенном положении. Подобные схемы выглядят искусственно из-за общего недостатка: их «некуда девать» исчезающий электрон и «неоткуда взять» появляющийся.

Развиваемая концепция, устанавливая различие между световым временем и колебательным  $\tau$ -слоем частицы, естественно разрешает эту трудность: чтобы образовать квантовую «пунктирную» траекторию, электрону не нужно ни переходить на отрицательный уровень энергии, ни аннигилировать с позитроном соседней «пары»: достаточно лишь перейти со световой границы в  $\tau$ -слой и появиться на нем в следующей фазе колебания. Неудовлетворительность представлений Шредингера и Френкеля заключается также в том, что явление «исчезновения — появления» (т. е. квантовый характер траектории) у них связывается только с электроном и не должен быть свойствен другим частицам (нуклонам, нейтрино и др.). По нашей концепции это явление представляет универсальное свойство всех частиц, обладающих массой покоя. Фундаментальной особенностью частиц, обладающих колебанием  $\tau$ -слоя, и, следовательно, прерывистой квантовой траекторией, является возможность разминуться в  $\tau$ -слое со встречным объектом, обойдя его по временной координате. В механике неодновременных состояний явление представляет не физический парадокс, а естественное и закономерное событие. Чтобы частица могла «перешагнуть» через встречный объект, нужно, чтобы размер этого объекта ( $\sigma$ ) был соизмерим с «шагом частицы», т. е. с длиной ее фазовой волны.

Это свойство тяжелых частиц позволяет дать физическое объяснение весьма важному явлению — туннельному эффекту, не получающему объяснения в квантовой механике ничего близкого к такому объяснению.

Сущность туннельного эффекта, как известно, состоит в способности крошечных, например электронов, проходить через барьер при полной энергии частиц  $E$ , меньшей высоты барьера  $\phi$ .

Специфическая и непонятная черта этого явления заключается в том, что для прохождения через барьер частице, казалось бы, необходимо находиться внутри барьера, а там ее полная энергия неизбежно должна быть меньше потенциальной, т. е. кинетическая энергия должна принимать отрицательное, а импульс мнимое значение, что, разумеется, невозможно.

Этому явлению дается следующее «объяснение» на основании принципа определенности, которое перешло и в советские руководства [2, 3]: деление энергии на потенциальную и кинетическую предполагает, что мы знаем одновременно и координаты и импульс частицы, а это противоречит принципу неопределенности; обнаружить же частицу внутри потенциального барьера можно и при условии  $E < \phi$ , но для этого мы должны фиксировать ее координаты в пределах, меньших ширины барьера, а это, согласно тому же принципу, должно создать дополнительную неопределенность импульса, достаточную, чтобы поднять частицу изнутри барьера на его поверхность.

В этом «объяснении» открыто предполагается, что наше незнание одновременно импульса и координаты (т. е. состояние сознания наблюдателя) наше наблюдение за состоянием частицы внутри барьера (т. е. вмешательство наблюдателя в явление) представляют необходимое условие реализации самого явления — туннельного эффекта.

Между тем очевидно, что, например,  $\alpha$ - и  $\beta$ -распад или холодная эмиссия электронов из металла происходят независимо от того, наблюдаем мы их или нет за частицами при их прохождении внутри барьера, мы их констатируем далеко за его пределами, где никакое соотношение неопределенности уже не может повлиять на их предыдущую судьбу.

Квантовая механика оказывается неспособной ответить на основной вопрос — каково реальное состояние частицы внутри барьера, т. е. области отрицательной кинетической энергии?

Временная осцилляция тяжелых частиц в  $\tau$ -слое позволяет разъяснить этот вопрос: частица с небольшой массой «перешагивает» через барьер

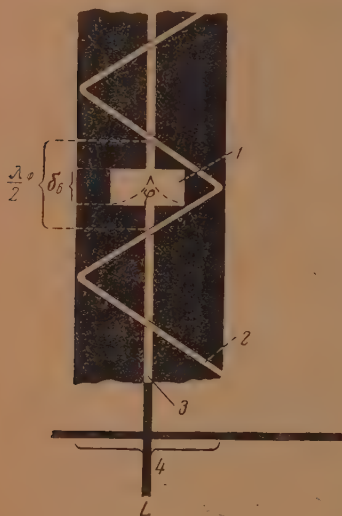


Рис. 5. 1 — потенциальный барьер в  $\tau$ -слое частицы; 2 — траектория частицы в  $\tau$ -слое; 3 — нулевой фронт времени; 4 —  $\tau$ -слой частицы.

довательно, в любом месте потенциал поля.

Здесь нет необходимости уточнять вопрос, — колеблется ли поле в пределах некоторого  $\tau$ -слоя, аналогично тяжелой частице, или в этом слое происходит постепенное спадание потенциала в обе стороны от нулевой границы (рис. 5). Эта задача, имеющая самостоятельное значение, выходит за рамки проблемы свободной частицы. Существенно то, что при обоих решениях этой задачи тяжелая частица, при соблюдении указанных выше условий, может «перешагнуть» через потенциальный барьер, т. е. осуществить туннельный переход.

Из сказанного также следует способность частиц с небольшой массой, например электронов, «перешагивать» в  $\tau$ -слой и через другие частицы при соблюдении тех же условий.

Такому «перешагиванию» должно отвечать уменьшение числа столкновений медленных электронов с частицами, т. е. понижение эффективного сечения частиц по отношению к таким электронам.

Сокращение активного сечения молекул по отношению к медленным электронам, как известно, действительно наблюдается в эффекте Рамзауэра\*.

\* Это явление осложняется тем, что электроны атомов или молекул сами обладают большой временной амплитудой. Поэтому разминуться с ними в  $\tau$ -слое летящему электрону труднее, благодаря чему здесь наблюдаются экстремальные значения сечений.

т. е. огибает его по временной координате (рис. 5), совсем не попадая внутрь барьера, так как в той области пространства, где расположен барьер, фаза колебания по  $\tau$ -слою не совпадает с нулевым фронтом времени, на котором сосредоточен полный потенциал барьера. Частица приходит в эту область раньше или позже, чем туда по оси  $t$  переместится энергетический барьер. Это и есть физическое условие возможности туннельного перехода. Чтобы это условие было выполнено, нужно, чтобы шаг частицы был больше ширины барьера и величина временной амплитуды частицы не была малой по сравнению с временной амплитудой поля на барьере.

Из того, что фотон, как релятивистская частица, не имеет временной амплитуды, не следует, как уже говорилось, что и само поле тоже является вполне временно-плоским, т. е. лишенным временной глубины.

Вместе с тем уже совсем неправдоподобно предположить, что временная глубина поля бесконечно велика, и что, своего  $\tau$ -слоя частица встречает полный

аким образом, развиваемая концепция временной осцилляции частиц тяжелой массой дает физическое разъяснение ряду их основных квантовых свойств.

Однако некоторые важные квантовые эффекты, как, например, явление гравитационно больших активных сечений и некоторые другие, остаются пока без физического объяснения. Понимание подобных явлений требует выяснения характера временной осцилляции частиц в  $\tau$ -слое и физических свойств этого слоя.

Зряд ли нужно указывать, что развиваемая концепция ни в какой мере не претендует на законченность. Автор сочтет свою задачу выполненной, если эта статья окажется полезной в постановке вопроса о характеристическом, квантовом времени частиц и о понимании, на этой основе, квантово-механических процессов.

## ВЫВОДЫ

1. Соотношения де-Бройля должны толковаться как выражение перехода тяжелой частицы в новое состояние, недоступное световым квантам, именно — перехода в  $\tau$ -слой, за нулевой фронт времени, на котором существуют только световые кванты и другие возможные релятивистские частицы, лишенные массы покоя.

Физически это значит, что всякая частица с тяжелой массой является «временным осциллятором», т. е. она не пребывает постоянно на нулевом фронте времени, а колеблется около него с временной амплитудой

$$\tau = \frac{h}{2mc^2} \quad \text{и частотой} \quad \nu = \frac{1}{2\tau}.$$

2. Ширина «данного момента» для тяжелой частицы не выражается ни сколько угодно тонким слоем времени (по классической физике) или неустраиваемой неопределенностью измерения (по принципу Гейзенберга). Эта ширина есть объективное характеристическое свойство частицы и выражается ее временной амплитудой  $\tau$ . Представления о конечной ширине «данного момента» частицы и о ее «временной осцилляции» являются физически эквивалентными.

Характеристическое время ( $\tau$ ) тяжелой частицы может быть названо колебательным или квантовым временем, в отличие от трансляционного или светового времени, как формы классического механического движения. Для частицы существуют только те события, которые лежат в пределах ее квантового времени.

3. Вследствие наличия у тяжелых частиц различной временной амплитуды и зависимости от массы и скорости, реальный фронт времени ( $\tau$ -слой) является слоем конечной и неравной толщины, т. е. тяжелые частицы обладают свойством «фундаментальной неодновременности» или «временной дисперсией». Поэтому полностью все объекты, содержащиеся в системе, могут быть совмещены лишь на конечном временном интервале, равном амплитуде наиболее легкой и наиболее медленной частицы.

Таким образом реальный фронт времени имеет слоистое или зонное строение, причем каждому слою отвечает набор частиц с определенной массой покоя и скоростью. По своей ширине ( $\tau$ ) эти слои располагаются в следующем порядке\*:

$$\tau_{\text{нейтрино}} > \tau_{\text{электрон-позитрон}} > \tau_{\text{мезоны}} > \tau_{\text{нуклоны}} > \tau_{\text{атомы}} > \tau_{\text{молекулы}} > \tau_{\text{фотоны}}.$$

4. Временная амплитуда частицы имеет пространственный эквивалент в виде сдвига или «шага частицы» по нулевому фронту пространства.

\* Мы помещаем нейтрино в начале ряда как самую легкую нерелятивистскую частицу.



времени, равного длине фазовой полуволны. Это и есть физический смысл волны де-Бройля.

5. Условием перехода частицы в  $\tau$ -слой и сохранения ее там является  $v < c$  или  $c' = c^2/v > c$ . В этом заключается физический смысл сверхсветовой фазовой скорости тяжелых частиц. Световые кванты и другие возможные релятивистские частицы, как не удовлетворяющие этому условию, не обладают временной осцилляцией и, в этом смысле, являются временно-плоскими, т. е. их временная координата постоянно совпадает с нулевым фронтом времени и определяет его положение.

6. С тяжелой частицей связан реальный колебательный процесс — ее осцилляция в  $\tau$ -слое. Но энергия и частота этого колебания ( $i$ -фотоны) не могут реализоваться в излучении, так как в  $I$ -области невозможно существование световых квантов: это — нерелятивистская часть пространственно-временного континуума. Импульс же частицы (или  $i$ -фотоны) реализуется в виде сдвига или «шага частицы» по нулевому фронту пространства-времени, в форме ее фазовой волны (см. п. § 4).

7. Неравенство  $v < c(n/\sqrt{1-n^2})$ , очень близкое к  $v < c$ , есть условие полного внутреннего отражения фазовых волн из  $I$ -области (из  $\tau$ -слоя), т. е. условие непроницаемости  $\tau$ -слоя для частиц. Это условие, с новой точки зрения, освещает принцип недостижимости скорости света тяжелыми частицами и ясно показывает фиктивность попыток трактовать мир как статический пространственно-временный континуум, лишь постепенно взрезаемый нашим сознанием по оси времени.

8. Рассмотрено применение указанных представлений к трактовке траектории тяжелых частиц, туннельного эффекта и активных сечений при столкновениях.

Московский государственный  
университет  
им. М. В. Ломоносова

Поступила  
2.I.1955

#### ЛИТЕРАТУРА

1. Н. И. Кобозев, Журн. физ. химии, 28, 2067, 2234, 1954.
2. Э. В. Шпольский. Атомная физика, т. I, ГИТТЛ, М.—Л., 1949, стр. 449 и сл.
3. Д. И. Блохинцев, Основы квантовой механики, ГИТТЛ, М.—Л., 1949, стр. 385—387 и др.; Усп. физ. наук, 45, 195, 1951.
4. Л. де-Бройль, Введение в полную механику, ОНТИ, 1934, стр. 115.
5. А. А. Эйхенвальд, ЖРФ-ХО, 41, 131, 1909.
6. А. Эйнштейн, И. Л. Инфельд, Эволюция физики, ОГИЗ, 1948.
7. Л. де-Бройль, Электромагнитные волны в волноводах и полых резонаторах, ИИЛ, М., 1948.
8. А. Соколови Д. Иваненко, Квантовая теория поля, ГИТТЛ, М.—Л., 1952.
9. Д. И. Блохинцев, Усп. физ. наук, 42, 76, 1950.
10. E. Schrödinger, Ver., 418, 1930.
11. В. И. Ленин, Соч., т. 14, Изд. 4, стр. 162, 174.
12. Сборник статей «Новейшее развитие квантовой электродинамики», ИИЛ, М., 1954.
13. Я. И. Френкель, Усп. физ. наук, 42, 69, 1950.



К ТЕОРИИ ВЯЗКОСТИ И ПЛАСТИЧНОСТИ АМОРФНЫХ  
ВЕЩЕСТВ И ДИСПЕРСНЫХ СИСТЕМ

Г. М. Бартенев

Аморфные вещества в силу особенностей молекулярного строения быстро переохлаждаются и сохраняют ниже температуры кристаллизации определенно долго аморфную структуру. Аморфные вещества могут находиться в жидком, твердом, а в случае высокомолекулярных соединений, в высокоэластическом состоянии.

В теориях вязкости жидкостей обычно не рассматривается влияние напряжения на вязкость. Между тем учет этого фактора позволяет понять природу пластического и хрупкого состояний аморфных веществ и период последних с повышением температуры от твердого к вязкотекучему состоянию.

Молекулярная теория механических свойств дисперсных систем находит лишь в начальной стадии развития. В дисперсных системах влияние напряжения является решающим фактором, определяющим основные особенности этих систем.

Теории, рассматривающие влияние напряжений, в основном являются феноменологическими теориями деформации [1—5]. Исключением является теория вязкости и пластичности, предложенная Г. Эйрингом [6, 7], исходя из молекулярно-кинетических представлений о тепловом движении жидкостях и твердых телах [1, 8].

Согласно представлениям, развитым Я. И. Френкелем, тепловое движение в жидкостях и аморфных твердых телах представляет собой колебательно-поступательные движения частиц. Частицы некоторое время находятся в положении равновесия, совершая колебательные движения, затем вследствие тепловых флуктуаций, перемещаются в новое равновесное положение, преодолевая некоторый энергетический барьер, обусловленный наличием соседних частиц и силами взаимодействия. Эти представления могут быть распространены и на тепловое движение в дисперсных системах, где под частицей следует понимать коллоидную частицу.

Время «оседлой жизни» частицы по Я. И. Френкелю определяется следующей формулой

$$\tau = \tau_0 e^{U/kT}, \quad (1)$$

где  $U$  — энергетический барьер (энергия активации),  $\tau_0$  — предэкспоненциальный множитель, равный для низкомолекулярных веществ примерно  $10^{-12}$  сек., для дисперсных систем на порядок — два больше.

В отсутствие внешних сил перемещения (перескоки) частиц происходит по всем направлениям пространства. Наличие внешней силы приводит к перераспределению перескоков таким образом, что число их в направлении силы возрастает, а в противоположном — уменьшается (это явление можно назвать вынужденной диффузией).

Эти качественно правильные физические представления не привели Эйринга к точной формуле, вследствие неоправданных упрощений. Формула, предложенная Эйрингом для установившегося течения, имеет

следующий вид

$$\dot{\epsilon} = \frac{2\lambda k^*}{a} \operatorname{sh} \frac{\lambda a^2 P}{2kT} \quad (2)$$

Здесь и в дальнейшем:  $\dot{\epsilon}$  — скорость деформации сдвига,  $P$  — напряжение сдвига,  $\lambda$  — расстояние между соседними равновесными положениями,  $a$  — среднее расстояние между частицами,  $k^*$  — константа, рассматриваемая в теории абсолютных скоростей реакций и зависящая от температуры.

При малых напряжениях сдвига формула (2) переходит в закон вязкого течения Ньютона, а соответствующее выражение для вязкости  $\eta = P/\dot{\epsilon}$  — в формулу Френкеля.

Формула (2) выведена Эйрингом в предположении, что при наличии тангенциальной силы все перескоки частиц можно рассматривать происходящими только в двух направлениях пространства — прямом и обратном. При выводе формулы отсутствовал должный учет влияния координатного расположения соседних частиц на энергетический барьер. Вызывает также сомнение целесообразность применения теории абсолютных скоростей реакций к тепловому движению частиц.

Ниже рассматривается молекулярная картина установившегося ламинарного течения аморфных веществ, по возможности лишенная указанных недостатков. Кинетика процесса деформации не рассматривается\*.

### 3. О ЗАКОНЕ ВЯЗКОГО ТЕЧЕНИЯ АМОРФНЫХ ВЕЩЕСТВ

Рассматривая установившееся течение под действием тангенциальной силы, разобьем молекулярную систему, состоящую из изодиаметричных частиц, на скользящие относительно друг друга элементарные слои толщиной  $\lambda$ , где  $\lambda$  — число порядка нескольких единиц,  $\lambda$  — имеет прежние значение. Перемещение каждого слоя относительно нижележащего осуществляется перескоками частиц в преимущественных направлениях под действием тангенциальных напряжений. Скорость относительного перемещения слоя, равная разности скоростей движения соседних слоев, постоянна при установившемся течении, при котором тангенциальная сила равна силе внутреннего трения. Скорость относительного перемещения  $\dot{\delta}$  равна средней относительной скорости перемещения частицы в слое в направлении скольжения.

Введем сферические полярные координаты  $\theta$  и  $\varphi$ . Положительное направление полярной оси  $\theta = 0$  совпадает с направлением тангенциальной силы  $F$ , а начало системы координат связано с центром тяжести частицы.

Выберем промежуток времени  $t$ , намного больший, чем время перескока  $\tau$ . Если считать, что энергетический барьер\*\* одинаков по всем направлениям, то при  $F = 0$  все направления перескоков равновероятны, а время перескока определяется формулой (1). Общее число перескоков равно  $n = t/\tau$ , а число перескоков в направлении произвольного телесного угла  $d\Omega = \sin \theta d\theta d\varphi$  равно

$$dn = \frac{t d\Omega}{4\pi\tau} = \frac{t}{4\pi\tau_0} e^{-U/kT} d\Omega. \quad (3)$$

При наличии тангенциальной силы необходимо учесть влияние поля, напряжений на энергетический барьер по всем направлениям. Для этого, согласно Эйрингу [6, 7], из энергетического барьера надо вычесть эле-

\* Феноменологические теории кинетики деформации твердых тел рассмотрены в работах [4—5].

\*\* Под энергетическим барьером понимается разность между потенциальными энергиями в максимуме потенциального горба и в равновесном положении частицы в соответствии с представлениями Я. И. Френкеля об энергии активации в жидкостях.

тарную работу, совершаемую за один перескок внешней силой против молекулярных сил. В произвольном направлении перескока эта работа равна  $\delta A = \lambda_1 \delta F \cos \theta$ , где  $\lambda_1$  — расстояние от положения равновесия максимума потенциального горба,  $\delta F$  — тангенциальная сила, приходящаяся на одну частицу,  $\theta$  — угол между направлением силы и направлением перескока.

Так как  $\delta F = P/N^{1/3}$ , где  $P$  — тангенциальное напряжение,  $N$  — число атомов в см<sup>3</sup> (примерно равное  $1/a^3$ ), то элементарная работа  $\approx \lambda_1 a^2 P \cos \theta$ .

Заменяя в формуле (3)  $U$  на  $U = \delta A$  и обозначая

$$\omega = \lambda_1 a^2, \quad z = \omega P / kT, \quad (4)$$

получим

$$dn = \frac{t}{4\pi\tau} e^{z \cos \theta} \sin \theta d\theta d\varphi, \quad (5)$$

время  $\tau$  выражается формулой (1).

Перескоки в направлении телесного угла  $d\Omega$  за время  $t$  дают суммарную перемещения частицы в направлении тангенциальной силы, равно  $\lambda dn \cos \theta$ . Средняя скорость перемещения частицы в направлении силы равна

$$\delta v = \frac{\lambda}{t} \int \cos \theta dn.$$

Скорости перемещения частицы в направлениях, перпендикулярных тангенциальной силе, в среднем равны нулю.

Записывая в развернутом виде, получим

$$\delta v = \frac{\lambda}{4\pi\tau} \int_0^\pi \int_0^{2\pi} e^{z \cos \theta} \cos \theta \sin \theta d\theta d\varphi = \frac{\lambda}{2z^2\tau} \{(z-1)e^z + (z+1)e^{-z}\}. \quad (6)$$

Учитывая, что скорость деформации сдвига равна  $\dot{\epsilon} = \delta v / \lambda$ , получим формулу, отличную от формулы Эйринга:

$$\dot{\epsilon} = \frac{1}{\kappa\tau z} \left\{ \operatorname{ch} z - \frac{\operatorname{sh} z}{z} \right\} = \varphi(z) / \tau. \quad (7)$$

Определяя затем эффективную вязкость из соотношения  $P = \eta \dot{\epsilon}$ , получим формулу, учитывающую влияние напряжения сдвига на вязкость:

$$\eta = \frac{\kappa k T \tau}{\omega} \frac{z}{z \operatorname{ch} z - \operatorname{sh} z}. \quad (8)$$

Выше при выводе формул предполагалось (как это делается обычно), что энергетический барьер не зависит от направления перескока. Это предположение не является точным.

Известно, что в жидких и аморфных твердых телах существует ближний порядок. Частица (атом или молекула) окружена ближайшими соседями в правильном порядке, напоминающем координацию соседних атомов в кристаллах. Вследствие этого частица, в зависимости от направления перескока, встречает различные по величине энергетические препятствия. Поэтому энергетический барьер  $U$  должен быть определен как функция координат  $\theta'$  и  $\varphi'$ , связанных с ближним порядком.

При перескоке частицы в новое равновесное положение эта система координат поворачивается в соответствии с новым угловым распределением соседних частиц. Вследствие этого энергетический барьер в любом равновесном положении частицы выражается одной и той же функцией  $U = U(\theta', \varphi')$ .

Из сказанного следует, что вероятность перескока зависит от направления и в отсутствие внешней силы. Вместо формулы (3) запишем

$$dn = \frac{t}{4\pi\tau_0} \exp \{-U(\theta', \varphi')/kT\} d\Omega'. \quad (9)$$

Далее, определяя среднее время, приходящееся на один перескок, как  $\tau = t/n$ , находим

$$\tau = \tau_0 \left| \frac{1}{4\pi} \int \exp \{-U(\theta', \varphi')/kT\} d\Omega' \right|. \quad (10)$$

Эта формула совпадает с формулой (1), если под  $U$  понимать среднее значение энергетического барьера, определенного следующим образом:

$$\exp(-U/kT) = \frac{1}{4\pi} \int \exp \{-U(\theta', \varphi')/kT\} d\Omega'. \quad (11)$$

При наличии тангенциальных напряжений надо  $U(\theta', \varphi')$  заменить на  $U(\theta', \varphi') - \delta A$ , где  $\delta A = \omega P \cos \theta$ , причем  $\theta, \varphi$  — прежняя система координат, связанная с тангенциальной силой. Число перескоков зависит как от направления телесного угла  $d\Omega'$ , так и от направления телесного угла  $d\Omega$ .

Вместо (9), получим следующее выражение:

$$dn = \frac{t}{(4\pi)^2\tau_0} \exp \{-[U(\theta', \varphi') - \omega P \cos \theta]/kT\} d\Omega d\Omega'. \quad (12)$$

Так как переменные со штрихом и без штриха являются независимыми, то в результате интегрирования по  $\theta'$  и  $\varphi'$  придем к формуле (5) и последующим (6)–(8), где  $\tau$  имеет смысл, определяемый выражением (10).

Выше был рассмотрен случай изодиаметричных частиц. Для анизодиаметричных (асимметричных молекул, палочко- и пластинчатобразных коллоидных частиц) энергетический барьер зависит не только от координат соседей, но и от ориентации частицы, определяемой полярными координатами  $\theta''$  и  $\varphi''$ . Так как эти переменные также не зависят от переменных  $\theta$  и  $\varphi$ , то в результате получим те же формулы (6)–(8), где энергетический барьер есть усредненная величина по переменным с одним и двумя штрихами.

Выше при выводе формул не был учтен также эффект переноса количества движения в результате обмена слоев частицами. В действительности, вследствие перескоков по всем направлениям слои обмениваются между собой частицами аналогично тому, что наблюдается в газах.

Наибольший обмен частицами имеет место при малых тангенциальных напряжениях. Оценку «газовой» составляющей силы трения произведем в этом случае. Как известно, вязкость газов определяется приближенной формулой  $\eta = \frac{1}{3} \rho \bar{c} \bar{\lambda}$ , которая, если положить  $\bar{c} = \lambda/\tau$ , где  $\lambda$  — длина,  $\tau$  — время пробега, может быть записана иначе:  $\eta = \lambda^2 \rho / 3\tau$ . Для грубой оценки «газовой» составляющей вязкости  $\eta'$  и пропорциональной ей добавочной силы трения применим аналогичную формулу, в которой  $\lambda$  и  $\tau$  означают путь и время, приходящиеся на один перескок. Для низкомолекулярных веществ  $\eta'$  составляет величину, примерно равную  $10^{-3}$  пуаз. Следовательно, для жидкостей с вязкостью  $\eta \gg 10^{-3}$  пуаз «газовой» составляющей силы трения можно пренебречь.

Полученные выше формулы строго применимы к простым аморфным веществам. Однако для качественной оценки они могут быть применены и к дисперсным системам с пространственной структурой, если вязкостью дисперсионной среды пренебречь и учесть явление тиксотропии.



Общая формула вязкости (8) получает более простое выражение в предельных случаях: малые и большие напряжения.

При малых напряжениях сдвига ( $z \ll 1$ ) формула (7) переходит в ньютоновский закон вязкого течения  $\dot{\epsilon} = P/\eta_0$ , где ньютоновская, или начальная, вязкость  $\eta_0$  равна

$$\eta_0 = \frac{3\kappa\tau_0 kT}{\omega} e^{U/kT} \quad (13)$$

можно принять  $\kappa \approx 2$  и  $\omega \approx a^{3*}$ . В результате, полученная формула отличается от формулы Я. И. Френкеля численным коэффициентом (6 вместо 3).

Таким образом вязкость при малых напряжениях практически не зависит от напряжения сдвига, но зависит от температуры — положение хорошо известное из опыта и впервые объясненное Эйрингом [6, 7].

Этот случай целиком применим для маловязких жидкостей, у которых с увеличением напряжения сдвига переход от ламинарного к турбулентному течению происходит раньше, чем наступает нарушение условия  $\dot{\epsilon} \ll 1$ .

В случае больших напряжений ( $z \gg 1$ ) формула (8) не всегда реализуется по ряду причин. Например, в случае простых жидкостей по причине турбулизации потока, в случае дисперсных систем — по причине разрушения структуры и перехода вследствие этого к иному механизму течения.

### ВЯЗКОТЕКУЧЕЕ И ПЛАСТИЧЕСКОЕ СОСТОЯНИЕ

Из формулы (7) следует, что произведение  $\epsilon\tau = \varphi(z)$  есть функция только безразмерного параметра  $z$ . На рис. 1 схематически изображена обобщенная кривая течения, охватывающая все состояния (реализуемые и нереализуемые) стационарного течения аморфного вещества при любых напряжениях, температурах, размерах частиц и энергиях активаций.

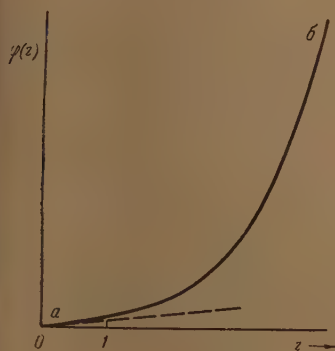


Рис. 1. Обобщенная кривая течения:  $\varphi(z) = \epsilon\tau$ ,  $z = \omega P/kT$ ;  $a - z \ll 1$ ;  $\beta - z \gg 1$

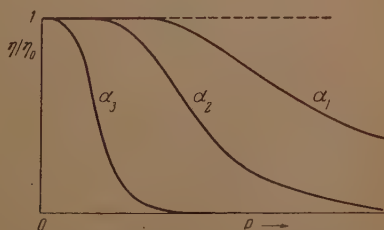


Рис. 2. Зависимость отношения эффективной вязкости к начальной от напряжения сдвига при различных значениях параметра  $\alpha = \omega/kT$  ( $\alpha_3 > \alpha_2 > \alpha_1$ )

Для практических целей на опыте обычно получают зависимость скорости деформации от напряжения. Эта зависимость часто выражается кривой такого же типа, как и обобщенная. Поэтому анализ обобщенной кривой имеет непосредственно практический интерес.

Как видно из рис. 1, область малых напряжений характеризуется приближенно линейным ходом кривой и практически постоянной вяз-

\* В случае дисперсных систем параметр  $\omega$  может значительно отличаться от объема сплошных частиц.

костью; область больших напряжений — нелинейной зависимостью и вязкостью, падающей с возрастанием напряжения по показательному закону.

Величина параметра  $\alpha = \omega/kT$  определяет интервал напряжений, в котором вязкость практически постоянна и равна  $\eta_0$ . Чем меньше  $\alpha$ , тем до больших напряжений действует закон вязкости течения Ньютона. Сказанное иллюстрируется кривыми на рис. 2.

Таким образом, при переходе от веществ с малыми к веществам с большими размерами частиц параметр  $\alpha$  возрастает, а поэтому область постоянной вязкости сужается. Этим

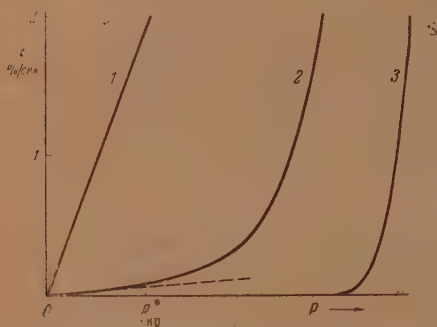


Рис. 3. Кривые текучести: 1 — вязкотекучее ( $T > T^*$ ); 2 — переходное ( $T = T^*$ ); 3 — пластическое состояние ( $T < T^*$ )

Как видно из рис. 1, условие  $z = 1$  соответствует переходу от ньютоновского к неньютоновскому течению. Условное критическое напряжение  $P_{нр} = kT/\omega$ , соответствующее этому условию, имеет различные значения для различных веществ и температур.

Обычно в экспериментальной практике точность измерения скорости деформации, соответствующая  $10^{-4}$  сек.<sup>-1</sup>, считается достаточной. На рис. 3 в соответствующем масштабе приведены кривые течения согласно формуле (7) при высокой, средней и низкой температурах. При высоких температурах вещество ведет себя как ньютоновская, при средних — как аномальная жидкость и при низких — как пластическое тело с условным пределом текучести. Следовательно, одно и то же аморфное вещество или дисперсная система при различных температурах может находиться в вязкотекучем, переходном и пластическом состояниях — вывод, известный из других работ, феноменологически рассматривающих влияние напряжений на деформацию твердых тел.

Произвол в выборе точности измерений и масштаба изображения кривых, ограниченный лишь практической целесообразностью и экспериментальными возможностями, приводит к условности понятий о вязкотекучем и пластическом состояниях. Температура переходного состояния также условна и зависит от точности измерения\*.

Принимая точность измерения, указанную выше, условную температуру перехода  $T^*$  от вязкотекучего к пластическому состоянию, определим как температуру, при которой величина  $\dot{\epsilon}(1) = 0,368/\kappa^*$  (где  $\kappa^*$  — время перескока при  $T = T^*$ ) на порядок величины больше, чем точность измерения (т. е. равна  $10^{-3}$  сек.<sup>-1</sup>). Отсюда следует, что при температуре перехода  $\kappa^* = 2 \cdot 10^2$  сек. Следовательно, условная температура перехода  $T^*$  равна температуре, при которой время «оседлой жизни» частицы в ненапряженном материале по порядку величины равно минуте. Соответст-

\* Эта температура, в отличие от температуры стеклования  $T_g$ , не зависит от временного режима, так как характеризует установившиеся процессы деформации.

но условное критическое напряжение для переходного состояния равно  $\tau_{кр} = kT^*/\omega$ .

Кривая 3 на рис. 3 сходна с кривой, обычно получаемой для пластических тел. Слияние этой кривой ниже условного предела текучести с осью абсцисс является кажущимся. Этот результат в настоящее время хорошо известен из экспериментальных данных.

Таким образом течение в жидком и твердом состояниях подчиняется одному и тому же механизму. Разделение на вязкотекучее и пластическое состояние является условным, зависящим от выбора масштаба. Ньютоновское течение имеет место как в жидких, так и в твердых телах, в интервал напряжений, в котором вязкость практически постоянна, тем меньше, чем ниже температура и больше размеры частиц.

Как известно, в твердом состоянии аморфное вещество может быть пластическим и хрупким. Хрупкое состояние достигается тогда, когда понижением температуры условный предел текучести, смещаясь в сторону больших напряжений, достигает значений хрупкой прочности материала. Переход из пластического в хрупкое состояние характеризуется температурой хрупкости  $T_{хр}$ , зависящей от временного режима испытания. С понижением температуры пластическое состояние переходит в хрупкое, причем разность температур  $T^* - T_{хр}$  определяет ширину температурного интервала пластичности.

Размеры частиц аморфного вещества или дисперсной системы определяют ширину интервала пластичности: чем больше размеры частиц, тем шире интервал пластичности. Это можно видеть из сравнения дисперсной системы с силикатным стеклом. Для дисперсной системы с размерами частиц  $50 \text{ \AA}$  и  $T^* \approx 300^\circ \text{K}$  имеем  $\eta_0 = 4 \cdot 10^8$  пуаз и  $P_{кр}^* = 0,34 \text{ кг/см}^2$ ; для силикатного стекла с размерами частиц  $2,5 \text{ \AA}$  (ионами кремния и кислорода) и  $T^* \approx 800^\circ \text{K}$  имеем  $\eta_0 = 0,9 \cdot 10^{13}$  пуаз и  $P_{кр}^* = 7200 \text{ кг/см}^2$ .

Определяя температуру хрупкости (по Тамману) как температуру, при которой начальная вязкость имеет значение  $10^{13}$  пуаз, видим, что дисперсная система имеет широкий интервал пластичности, в котором начальная вязкость изменяется на пять порядков величины. У силикатного стекла интервал пластичности практически отсутствует\*\*.

Таким образом нижняя граница интервала пластичности (температура хрупкости) для различных веществ характеризуется одинаковым значением вязкости  $\eta_0 \approx 10^{13}$  пуаз, а верхняя (условная температура перехода) — различными значениями начальной вязкости, тем меньшими, чем больше размеры частиц аморфного вещества или дисперсной системы.

Различие свойств дисперсной системы и силикатного стекла состоит также в резко отличных значениях условного критического напряжения  $P_{кр}^*$ . В первом случае критическое напряжение меньше, а во втором — больше хрупкой прочности этих материалов. Вследствие этого хрупкое разрушение дисперсной системы происходит значительно ниже температуры перехода, а хрупкое разрушение силикатного стекла происходит сразу ниже этой температуры\*\*\*.

\* При других температурах, не близких к абсолютному нулю,  $P_{кр}$  имеет тот же порядок величины. В практических условиях измерения вязкости силикатных стекол величина напряжений  $P \ll P_{кр}$ . Поэтому у силикатных стекол в жидком и твердом состоянии должно наблюдаться ньютоновское течение.

\*\* Вследствие этого температуру стеклования силикатных стекол иногда определяют как температуру перехода из вязкотекучего в хрупкое состояние.

\*\*\* Разделение материалов на хрупкие и пластичные условно, так как один и тот же материал в зависимости от условий опыта может находиться как в хрупком, так и в пластическом состоянии. Тем не менее это разделение имеет некоторый физический смысл. Например, силикатное стекло при обычных условиях практически сразу переходит из вязкотекучего в хрупкое состояние и поэтому в пластическом состоянии не наблюдается, за исключением высоких всесторонних давлений [14]. Такой материал можно назвать хрупким. Дисперсные системы (тиксотропные) имеют широкий интервал пластичности, а полимеры — широкий интервал высокоэластичности. Поэтому первые можно назвать пластическими, а вторые — эластическими материалами.



Условная температура перехода, зависящая от типа вещества, характеризуется одинаковым значением времени «оседлой жизни» частиц, а, следовательно, в соответствии с формулой (1) примерно одинаковым отношением энергии активации к температуре перехода. Поэтому отношение энергии активации к температуре перехода должно быть одинаковым для всех веществ.

Например, полагая  $\tau^* = 10^2$  сек. и  $\tau_0 = 10^{-12}$  сек., получим из формулы (1), что  $U \approx 64 T^*$  кал/моль, где  $T^*$  выражена в °К. Это соотношение совпадает с ранее полученным [15] для стандартной температуры стеклования  $T_g^{(ст)}$ , при которой время «оседлой жизни» также равно  $10^2$  сек. Эта температура определяется по точке перелома на кривой линейного расширения при скорости нагревания 3 град./мин., принятой в качестве стандартной. Совпадение условной температуры перехода и стандартной температуры стеклования является случайным, так как при других скоростях нагревания температура стеклования имеет иные значения.

Существует распространенное мнение, что стандартной (или близкой к ней) температуре стеклования соответствует одно и то же значение вязкости, равное для всех веществ примерно  $10^{13}$  пуаз. Для силикатных стекол, у которых стандартная температура стеклования и температуры хрупкости близки друг к другу, это в действительности и наблюдается. Для других веществ, имеющих интервал пластичности, вязкость при температуре стеклования может быть значительно меньше.

## О МЕХАНИЗМЕ И ЗАКОНЕ ТЕЧЕНИЯ ТИКСОТРОПНЫХ ДИСПЕРСНЫХ СИСТЕМ

В предыдущем разделе все рассуждения, строго говоря, относились к структурам, практически не разрушающимся вплоть до перехода ламинарного течения в турбулентное.

Для дисперсных систем разрушение структуры в процессе течения [9—13] становится существенным фактором, изменяющим ход кривой течения (при больших напряжениях) примерно так, как это схематически изображено на рис. 4. Вследствие разрушения структуры отклонение кривой вверх происходит резко, что приводит для дисперсных систем к дополнительному снижению условного предела текучести.

Согласно П. А. Ребиндеру [9] дисперсные системы подразделяются на коагуляционные и конденсационные структуры и неструктурированные системы.

В неструктурированных коллоидных растворах или суспензиях коллоидные частицы не связаны друг с другом в окружающей их жидкой (дисперсионной) среде вследствие малой концентрации или наличия стабилизирующих факторов. В таких системах течение происходит, как в вязкой среде с не взаимодействующими частицами, по механизму Эйнштейна — Гатчека.

Конденсационные структуры, образуемые химическими связями главной валентности, действующими между частицами, являются прочными и необратимыми структурами (после разрушения). При наличии палочкообразной или цепной форм частиц эти структуры образуют (даже при малых концентрациях дисперсной фазы) жесткую или эластичную сетку, пронизывающую весь объем. Эти системы составляют особый класс тел и ниже не рассматриваются.

Коагуляционные структуры образуются слабыми остаточными ван-дер-ваальсовыми силами, действующими между частицами через тонкие жидкие прослойки, образуют упругую или эластичную сетку, подверженную легкому разрушению при нагревании или при механическом воздействии, являются обратимыми (тиксотропными) структурами. После



апического разрушения структура постепенно и полностью восстанавливается.

Для возникновения тиксотропных структур по П. А. Ребиндеру необходимы три условия: 1) наличие частиц коллоидных размеров, находящихся в интенсивном тепловом (броуновском) движении, обеспечивающем в результате эффективных соударений большое число сцеплений и развитие пространственной структуры (сетки); 2) наличие коагуляционных участков на поверхности частиц; 3) достаточно большое число частиц, необходимое для пронизывания всего объема среды пространственной сеткой.

Слабые обратимые связи обеспечивают в тиксотропных дисперсных системах проявление пластических свойств. Каждая частица, являющаяся элементом пространственной сетки, связана с ближайшими соседями слабыми связями, легко разрушаемыми тепловым движением. Вследствие этого тепловое движение коллоидных частиц аналогично тепловому движению атомов и молекул в простых жидкостях, а время «оседлой жизни» коллоидной частицы зависит от сил связи и температуры и определяется формулой (1), где предэкспоненциальный множитель на два порядка больше, а энергетический барьер приобретает несколько иной смысл, чем в случае простых аморфных веществ. Преодоление коллоидной частицей энергетического барьера есть в основном разрыв связи с соседними. Следовательно, барьер имеет смысл потенциальной энергии связи между частицами.

Вследствие отрыва частиц и присоединения их в других местах сетки, сетка в отдельных малых частях перестраивается, сохраняя, однако, в целом одни и те же макроскопические свойства.

После отрыва и перемещения частицы в новое положение восстановление связей с другими частицами происходит не мгновенно, а во времени. То же самое происходит с частицами механически разрушенной структуры в процессе постепенного восстановления пространственной сетки. Это и заключается молекулярная причина тиксотропных свойств.

Для коагуляционных структур время восстановления связей сравнимо с обычными масштабами времени, для простых жидкостей оно много меньше. При высоких температурах время «оседлой жизни» меньше, чем при низких. Соответственно этому меньше и время, в течение которого происходит процесс восстановления связей. Поэтому силы сцепления между частицами и энергетический барьер (для равновесных состояний системы) с повышением температуры уменьшаются. Равновесная структура с повышением температуры «разрыхляется». Отсюда следует, что для тиксотропных систем формула (1) усложняется, так как  $U$  есть функция  $t$ . Скорость тиксотропного восстановления разрушенной структуры зависит от времени «оседлой жизни» и времени, необходимого для полного восстановления связей, и характерного для данной системы: чем больше то и другое, тем больше скорость тиксотропного восстановления равновесной структуры.

Молекулярная динамическая модель тиксотропных систем, развитая выше, позволяет понять механические свойства их. Прежде всего становится вполне ясным, что следует понимать под разрушением структуры этих систем. Под этим термином надо понимать неполное восстановление связей до их равновесного значения, вследствие уменьшения под влиянием напряжений времени «оседлой жизни». Предельно невозстановленные связи соответствуют предельно разрушенной структуре при больших напряжениях, когда частицы практически уже не сцеплены друг с другом.

Загиб кривой течения (рис. 4) вверх и выход вновь на прямую объясняется разрушением структуры с увеличением градиента скорости течения [9—13]. Согласно П. А. Ребиндеру в области малых градиентов скоростей малых напряжений разрушаемые связи успевают тиксотропно восстанавливаться. Происходит медленное течение практически неразрушен-

ной структуры по ньютоновскому закону с вязкостью  $\eta_0$ . Отклонение от ньютоновского течения (подъем кривой вверх) связано с началом заметного разрушения структуры и, вследствие этого, с падением вязкости. С увеличением градиента скорости разрушение структуры растет до некоего предела, соответствующего состоянию с предельно разрушенной структурой и постоянной вязкостью  $\eta_m$ .

Представления, развитые выше, позволяют эти взгляды развить дальше и углубить понимание рассматриваемых процессов с молекулярно-кинетической точки зрения.

Ключом к пониманию реологической кривой (рис. 4) является зависимость времени «оседлой жизни» от градиента скорости или напряжения. Это следует из формулы (5). Обозначая  $\tau'$  и  $\tau$  — время «оседлой жизни» в напряженном и ненапряженном состояниях получим:

$$\tau' = \tau / z \operatorname{sh} z,$$

где  $z$  имеет прежнее обозначение (4), откуда  $\omega$  — величина, по порядку равная объему приходящему на одну дисперсную частицу.

При  $z \leq 1$  имеем  $\operatorname{sh} z \approx z$  и поэтому  $\tau' \approx \tau$ . Следовательно, в области ньютоновского течения ( $z < 1$  или  $P < P_{\text{кр}}$ ) энергетический барьер  $U \approx U_0$ , где  $U_0$  — барьер при  $P = 0$ . Таким образом, в этом интервале напряжений имеет место ньютоновское течение с практически неразрушающейся структурой, что полностью согласуется с представлениями П. А. Ребиндера.

Кривая течения без учета разрушения структуры, совпадая на ньютоновском участке, в дальнейшем располагается ниже реальной кривой (рис. 4).

Чтобы учесть разрушение структуры, необходимо в формуле (7) заменить  $\tau$  на  $\tau'$ . Однако формула (7) может описать только начало подъема кривой. Для сильно разрушенных структур она не применима, так как с увеличением разрушения происходит переход к иному механизму течения. Для предельно разрушенной структуры механизм течения аналогичен механизму течения неструктурированных систем. Вязкость  $\eta_m$  определяется в основном вязкостью жидкой среды, а не силами сцепления между частицами, ибо они предельно малы. Вязкость жидкой среды определяется временем «оседлой жизни» молекул, размеры которых малы по сравнению с размерами коллоидных частиц. Вследствие этого при переходе от одного механизма течения к другому параметр  $z$  резко уменьшается, а условное критическое напряжение возрастает. Это обеспечивает выход кривой при больших градиентах скоростей вновь на ньютоновский режим течения, но с вязкостью намного порядков меньше начальной вязкости.

В заключение выражаю благодарность П. А. Ребиндеру за интерес к работе и обсуждение основных положений, изложенных выше.

## ВЫВОДЫ

1. Из молекулярно-кинетических представлений о тепловом движении в аморфных телах и дисперсных системах для установившегося ламинар-

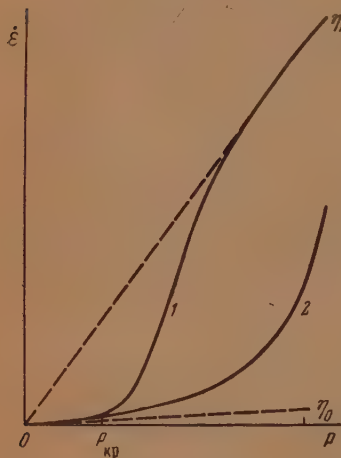


Рис. 4. Реальная реологическая кривая (1) дисперсной тиксотропной системы и предполагаемая зависимость (2) без разрушения структуры;  $P_{\text{кр}}$  — условный предел пропорциональности

течения получены более точные, чем предложенные ранее, формулы учета (закона течения) и вязкости, учитывающие влияние напряжений. Для дисперсных систем (тиксотропных) формулы верны лишь качественно.

При малых тангенциальных напряжениях закон течения переходит в ньютоновский, а формула вязкости — в формулу Я. И. Френкеля, но с малым численным значением предэкспоненциального множителя.

2. Формулы описывают как жидкое (вязкотекучее), так и твердое (пластическое) состояние аморфных веществ. В твердом состоянии при больших напряжениях течение (ползучесть) происходит по ньютоновскому закону, но, в отличие от жидкого состояния, с большой вязкостью.

Интервал напряжений, в котором имеет место ньютоновское установившееся течение, уменьшается с понижением температуры (при переходе от жидкого к твердому состоянию) и увеличением размеров частиц и переходе от одних веществ и систем к другим). Поэтому для веществ с разными размерами частиц и жидкого состояния переход к неньютоновскому течению должен наблюдаться при относительно больших напряжениях или градиентах скоростей.

3. Вязкотекучее (жидкое) и пластическое (твердое) состояния аморфных веществ и дисперсных систем являются условными. Переход от одного состояния к другому характеризуется условной температурой, зависящей от выбора масштаба измерений и не зависящей (в отличие от температуры стеклования) от временного режима испытания, так как рассматриваются установившиеся процессы течения.

4. Условная температура перехода для различных веществ характеризуется одинаковым временем «оседлой жизни», но неодинаковым значением вязкости — в отличие от температуры хрупкости, которой соответствует всегда одинаковое значение вязкости, примерно равное  $10^{13}$  э.

5. Разность между условной температурой перехода и температурой хрупкости определяет ширину интервала пластичности: чем больше разность, тем шире интервал пластичности. Для силикатных стекол он узок, а для дисперсных систем широк.

6. Исходя из развитых представлений о роли размеров частиц молекулярной динамической модели дисперсной системы, дана в разном представлении П. А. Ребиндера трактовка реологической кривой течения дисперсных систем.

Педагогический институт им. Потемкина  
Всесоюзный научно-исследовательский  
институт стекла

Поступила  
24.I.1955

#### ЛИТЕРАТУРА

- R. Becker, Phys. Zs., 26, 919, 1925; Zs. techn. Phys., 7, 547, 1926.  
E. Grown, Zs. Physik, 98, 382, 1936.  
М. В. Классен-Неклюдова и Т. А. Конторова, Усп. физ. наук 26, 217, 1944.  
А. П. Александров, Труды 1-й и 2-й конф. по высокомолекулярным соединениям, Изд-во АН СССР, 1945, стр. 49.  
Г. Гуревич, Журн. техн. физики, 17, 1491, 1947.  
H. Eyring, Journ. Chem. Phys., 4, 283, 1936.  
С. Глестон, К. Лейдлер, Г. Эйринг, Теория абсолютных скоростей реакций, ИИЛ, гл. 9, 1948.  
Я. И. Френкель, Кинетическая теория жидкостей, Изд-во АН СССР, 1945.  
П. А. Ребиндер, Вестн. АН СССР № 2, 1955; Труды Ин-та физ. химии АН СССР, вып. 1, 5, 1950; Колл. журн., 8, 157, 1946.  
Е. Е. Сегалова, П. А. Ребиндер и Л. Н. Сентюрихина, Колл. журн., 13, 461, 1951.  
М. П. Волярович, Колл. журн., 16, 227, 474, 1954.  
Н. В. Михайлов, Колл. журн., 17, 68, 1955.  
Н. В. Михайлов и П. А. Ребиндер, Колл. журн., 17, 107, 1955.  
P. Bridgman, Journ. Colloid. Sci., 2, 17, 1947.  
Г. М. Бартнев и И. А. Лукьянов, Журн. физ. химии, 29, 1486, 1955.



## КИНЕТИКА ВОЗБУЖДЕНИЯ МОЛЕКУЛ ЭЛЕКТРОМАГНИТНЫМИ И МЕХАНИЧЕСКИМИ ВОЛНАМИ

### 1. ЗНАЧЕНИЕ ЦИКЛИЗАЦИИ СВОБОДНОЙ ЭНЕРГИИ ПРИ ВОЗБУЖДЕНИИ МОЛЕКУЛ В СТРУКТУРНЫХ АНСАМБЛЯХ

*С. С. Васильев*

При возбуждении молекул электромагнитными и акустическими волнами, а также любым другим видом механических волн, осуществляют квантовые переходы внутри молекул, среди которых могут иметь место и электронные возбуждения, и процессы возбуждения колебаний атомов и возбуждение процессов вращения молекул.

Это создает предпосылки к проведению исследований, целью которых является установление общих законов кинетики возбуждения молекул, которые имеют место при воздействии на молекулы волновых потоков свободной энергии, независимо от того, каким видом волн вызывается такое возбуждение\*.

Результаты выполненной нами в этом направлении работы частично излагаются в настоящей статье.

Представим себе прежде всего, что в некоторой системе имеется установившийся во времени процесс подвода энергии. Если распределение энергии между образующими такую систему молекулами и атомами имеет флуктуационный характер, т. е. определяется законами статистики равновероятных событий, совокупность таких частиц называется «статистическим ансамблем».

Однако представляется очевидным, что понятие «статистического ансамбля» является до известной степени абстракцией, так как всякая реальная система имеет свою макроскопическую структуру. Благодаря этому такая система может концентрировать свободную энергию, движение которой внутри системы может приобретать колебательный, волновой характер.

Например, пары воды, испаряемые земными водоемами, подымаются в высокие слои атмосферы, конденсируются в туман. Неограниченная масса тумана может рассматриваться как статистический ансамбль, в котором молекулы и их агрегаты расположены в соответствии с законами молекулярного беспорядка и распределение энергии между ними подчинено законам флуктуации. Но облака, образованные из такого тумана, представляют макроскопические единицы, положение которых в пространстве уже вовсе не определяется тепловым движением образующих их частиц, а зависит от распределения в атмосфере запасов свободной энергии, источником которой является свободная энергия разных видов радиаций. Сила тяготения производит разделение зарядов в облаке. Благодаря этому такое облако, вместе с индуцируемым в поверхностных слоях земли его «электрическим изображением», образует конденсатор, при пробое которого — в момент грозового разряда — возникают электромагнитные и акустические колебания, частота и амплитуда которых определяются геометрическими параметрами облака и его высотой над

\* Доказательство того, что плотность энергии электромагнитного поля является плотностью свободной энергии в термодинамическом смысле этого слова, дано в книге Абрагама-Беккера [1].



поверхностью земли, но практически уже вовсе не зависят от физических свойств молекул воды и воздуха [2].

Представим себе также какие-либо нитеобразные макромолекулы, находящиеся в растворе. Согласно современным представлениям [3] звенья таких молекул находятся в тепловом «микроброуновом движении», благодаря чему наиболее вероятным является закручивание подобных молекул в клубок. Тепловое «микроброуновое движение» таких молекул как целых единиц способствует их сцеплению и образованию клубков, содержащих несколько таких молекул. Распределение энергии в таких системах подчиняется статистике Максвелла — Больцмана и поэтому такие системы относятся к числу «статистических ансамблей».

Но пусть рассматриваемые макромолекулы, так или иначе сцепленные между собой, образуют некоторую упорядоченную структуру, — например струну, натянутую между «граничными» точками. Такое натяжение препятствует проявлению всех возможных форм атомно-молекулярных движений, т. е. частично подавляет тепловое броуновское движение частей струны. Благодаря этому колеблющаяся струна может накопить значительные порции свободной энергии, которая большее или меньшее время сохраняется от рассеяния, при колебаниях струны переходя из формы потенциальной энергии в кинетическую и обратно и постепенно излучаясь в окружающее пространство. При такого рода колебаниях смена фаз совершается с правильной циклическостью, т. е. таким образом, что через достаточно определенные промежутки времени имеет место повторение данной фазы колебания. Весьма существенно при этом, что в этом случае распределение энергии между отдельными атомами и молекулами связями уже отнюдь не носит «флуктуационного» характера, определяется законом распределения амплитуд в стоячей волне.

Интересный пример, в котором проявляется воздействие макроскопической структуры системы на возбуждение молекул электромагнитными волнами, мы находим в современной технике стабилизации генераторов сантиметровых волн в так называемых «клизотронах» [4].

В обычных ламповых генераторах электромагнитных волн стабилизация частоты колебаний достигается помещением в конденсатор колебательного контура пьезоэлектрических кварцевых пластин, механические колебания которых находятся в резонансе с колебаниями зарядов на пластинках конденсатора. Для стабилизации же клизотронов теперь применяется наполнение полости их волноводов аммиаком, ротационные переходы в молекулах которого сопровождаются поглощением и излучением электромагнитных волн в том же диапазоне частот, на который настраивается клизотрон. Таким образом, здесь имеет место непосредственный резонансный обмен энергии между макроскопической системой молекул аммиака, стабилизирующей не только колебания энергии в генераторе, но, очевидно, поддерживающий и концентрацию ротационно-возбужденных молекул аммиака в волноводе на уровне, отличном от термодинамического равновесия.

Обобщая вышеизложенные факты, приходим к следующим выводам и предположениям. В системах, состоящих из сочетаний молекул и атомов, которых тем или иным путем подавляется или ограничивается роль тепловых флуктуационных колебаний, делается возможным сохранение рассеяния колеблющейся свободной энергии. Такие системы мы будем называть «структурными ансамблями». Колебания свободной энергии структурных ансамблей, сопровождаемые правильной циклической сменой фаз колебания, мы будем называть «циклизацией свободной энергии», а саму колеблющуюся энергию — «структурной энергией».

При электромагнитных колебаниях такой структурной энергией является «безваттная» энергия магнитного потока, связанного с данной макроскопической системой, периодически преобразующаяся в энергию

соответствующего электрического поля. При механических же колебаниях структурной энергией является кинетическая энергия движущихся макроскопических масс, преобразующаяся в потенциальную энергию соответствующих упругих деформаций. Такие виды энергии могут называться «структурной энергией» потому, что частота и амплитуда колебаний энергии в данном случае определяются геометрической структурой всей системы, т. е. относительным расположением образующих ее макроскопических частей.

Целью нижеследующих рассуждений является выяснение вопроса — каким образом циклизация свободной энергии может быть учтена в кинетике возбуждения молекул в структурных ансамблях.

### КИНЕТИКА ВОЗБУЖДЕНИЯ МОЛЕКУЛ В СТАТИСТИЧЕСКИХ И СТРУКТУРНЫХ АНСАМБЛЯХ КАК СЛУЧАЙ ЦЕПНОЙ ПЕРЕДАЧИ ЭНЕРГИИ

Рассмотрим здесь последовательно, каким образом может быть вычислена концентрация возбужденных молекул в следующих типичных случаях возбуждения молекул электромагнитными волнами.

Когда в системе место имеет термодинамическое равновесие.

Когда в системе термодинамическое равновесие не устанавливается, но когда система является статистическим ансамблем.

Когда система является структурным ансамблем.

Возбуждение молекул акустическими волнами будет рассмотрено впоследствии.

Заметим прежде всего, что возбуждение молекул электромагнитными волнами в системе, в которой имеет место термодинамическое равновесие, согласно А. Эйнштейну, осуществляется таким образом, что процесс прямого возбуждения молекул с уровня  $f$  на уровень  $i$ , скорость которого равна  $B_{if}u_{\nu}n_{f,T}$ , компенсируется обратными процессами спонтанного и индуцированного излучения, скорости которых соответственно равны  $A_{fi}n_{i,T}$  и  $B_{fi}u_{\nu}n_{i,T}$ . Другими словами, в этом случае имеет место следующее уравнение баланса процессов возбуждения и излучения [5]:

$$B_{if}u_{\nu}n_{f,T} = A_{fi}n_{i,T} + B_{fi}u_{\nu}n_{i,T}. \quad (1)$$

Здесь  $u_{\nu}$  — «спектральная плотность излучения», т. е. функция распределения в спектре, при посредстве которой вычисляется общая плотность излучения  $u$ , охватывающая весь участок спектра:

$$u = \int_0^{\infty} u_{\nu} d\nu. \quad (2)$$

При этом в формулах (1), (2) и всюду ниже индекс  $\nu$  в обозначении  $u_{\nu}$  указывает на то, что спектральная плотность излучения соответствует квантам энергии  $h\nu$ , которые поглощаются или излучаются при переходах  $f \rightarrow i$  или  $i \rightarrow f$ . Эти переходы отмечаются индексами коэффициента возбуждения  $B_{if}$  или коэффициента индуцированного излучения  $B_{fi}$ , рядом с которыми всегда стоит величина  $u_{\nu}$ . Далее, в коэффициенте  $A_{fi}$  означает коэффициент или кинетическую константу спонтанного излучения, которому соответствуют энергетические переходы  $i \rightarrow f$ . Наконец,  $n_{f,T}$  и  $n_{i,T}$  означают концентрацию молекул, находящихся на уровнях возбуждения  $f$  и  $i$  при условии господства в системе термодинамического равновесия, определенной температурой  $T$ .

Если излучение может быть сравнено с излучением абсолютно черного тела имеющего температуру  $T$ , то, согласно закону М. Планка,

$$u_{\nu} = \frac{8\pi\nu^2}{c^3} \frac{h\nu}{\exp\left(\frac{h\nu}{kT}\right) - 1},$$

где  $c$  — скорость света.

Кроме того, статистическая механика показывает, что отношение концентраций молекул, находящихся на уровне  $i$  и на уровне  $f$  при условии термодинамического

равновесия, соответствующего температуре  $T$ , определяется формулой:

$$\frac{n_{i,T}}{n_{j,T}} = \frac{g_i}{g_j} \exp\left(-\frac{h\nu}{kT}\right), \quad (4)$$

где  $n_i, g_i$  — статистические веса молекул, находящихся на уровнях возбуждения

и  $n_j, g_j$  — статистические веса молекул, находящихся на уровнях возбуждения

и  $n_j, g_j$  — статистические веса молекул, находящихся на уровнях возбуждения

и  $n_j, g_j$  — статистические веса молекул, находящихся на уровнях возбуждения

$$\frac{A_{ji}}{B_{ji}} = \frac{8\pi h\nu^3}{c^3}; \quad B_{ji}g_i = B_{ij}g_j, \quad (5)$$

иными мы воспользуемся ниже.

Здесь же оценим условия, при которых можно оставить без внимания индуцированное излучение. Представим себе, что  $A_{ji} \gg B_{ji}u_\nu$ . Тогда из (1) и (5) получим

$$\frac{g_i}{g_j} \frac{1}{\exp\left(\frac{h\nu}{kT}\right) - 1}. \text{ Если положить } h\nu > kT, \text{ то } \frac{n_{i,T}}{n_{j,T}} = \frac{g_i}{g_j} e^{-\frac{h\nu}{kT}}, \text{ т. е. равнове-}$$

сие может установиться и без индуцированного излучения. Пусть  $kT = 1$  eV. Тогда  $7700^\circ \text{K}$ . Это значит, что если температура источника излучения  $T \leq 7700^\circ \text{K}$ , то всех энергетических переходов, для которых  $h\nu \geq 1$  eV, можно не принимать во внимание процессы индуцированного излучения.

Так видно, в термодинамически равновесных системах имеет место и «детального равновесия». Это значит, что энергетические переходы, сопровождаемые поглощением квантов, энергия которых  $h\nu = h\nu_{ij}$ , точно компенсируются обратными процессами, при которых излучаются те же кванты, обладающие энергией  $h\nu = h\nu_{ji} = h\nu_{ij}$ . Если же термодинамическое равновесие не достигается, закон детального равновесия уже не имеет силы и в этом случае в балансе элементарных процессов необходимо учитывать все возможные переходы между различными энергетическими уровнями молекул.

Покажем, что в этом случае кинетика процессов возбуждения молекул электромагнитными волнами, сопровождаемых энергетическими переходами между различными уровнями возбуждения, может быть представлена при помощи следующей системы дифференциальных уравнений для концентраций частиц, которая в общем виде была нами обоснована и проинтегрирована в другом месте [6]. Эта система имеет вид:

$$\frac{dn_i}{dt} = u_{oi} + \sum_j r_{ij}n_j - s_i n_i \quad (i, j = 1, 2, \dots, k). \quad (6)$$

где  $n_i, n_j$  — концентрации промежуточных частиц сорта  $i$  или  $j$ ;  $u_{oi}$  — скорость появления частиц сорта  $i$  в результате какого-либо процесса, не зависящего от течения цепной реакции;  $s_i n_i$  — скорость исчезновения частиц сорта  $i$ ;  $r_{ij}n_j$  — скорость появления частиц сорта  $i$  в результате того или иного превращения частиц сорта  $j$ . При этом  $s_i$  — условно-мономолекулярная обобщенная кинетическая константа процессов исчезновения частиц  $i$ , а  $r_{ij}$  — условно-мономолекулярная обобщенная кинетическая константа процессов появления частиц  $i$  в результате превращения частиц  $j$ .

Для использования системы уравнений (6) в интересующих нас теперь случаях возбуждения молекул электромагнитными волнами надо иметь виду следующее.

Каждому энергетическому уровню рассматриваемых молекул мы должны приписать один из индексов:  $i, j = 1, 2, \dots, k$ , где  $k$  будет общее число рассматриваемых уровней. Не следует смешивать числа  $i, j$  с обозначением уровней, принятых в квантовой механике. Поэтому, совершенно безразлично, в каком порядке производить нумерацию. Важно



лишь, чтобы счет уровней молекул, концентрации которых испытывают в ходе цепного процесса значительные изменения, начинались с числа 1 так как все формулы, получаемые при интегрировании системы (6), строго связаны с системой нумерации  $i, j = 1, 2, \dots, k$  [6].

Область пространства, в котором происходит рассматриваемое возбуждение молекул, для краткости, в дальнейшем будем называть «областью возбуждения». Спектральную плотность излучения частоты  $\nu$  для источника излучения обозначим через  $u_\nu^0$ . Спектральную же плотность излучения в области возбуждения обозначим через  $u_\nu$ . Эту величину  $u_\nu$  будем называть «действующей спектральной плотностью излучения». Тогда

$$u_\nu = u_\nu^0 \gamma_\nu, \quad (7)$$

где  $\gamma_\nu$  будет означать «коэффициент использования излучения источника частоты  $\nu$ ».

Заметим при этом, что, так как разного рода источники излучения, например горящий факел, газоразрядная трубка, солнце и т. д., оказываются удаленными от области возбуждения, то «ансамбль», состоящий из области возбуждения, внешнего источника излучения и промежуточной среды, в которой распространяется излучение, уже не может рассматриваться как ансамбль «статистический». Структура такого ансамбля определяется коэффициентом  $\gamma_\nu$ . Например, если источником излучения является шар или цилиндр радиуса  $R_0$ , яркость всех участков поверхности которых одинакова, и если  $R$  — расстояние от центра такого излучателя до данной точки рассматриваемой области возбуждения, то

$$\gamma_\nu = \frac{R_0^2}{R^2} e^{-\int_{R_0}^R k_\nu dR}, \quad (8)$$

где  $k_\nu$  — коэффициент поглощения для частоты  $\nu$  в промежуточной области между поверхностью излучения и областью возбуждения.

Из (8) видно, что  $\gamma_\nu \rightarrow 1$ , когда  $R \rightarrow R_0$  и  $k_\nu \rightarrow 0$ , т. е. когда источник излучения оказывается в непосредственной близости от области возбуждения. Этот случай может быть реализован, например, таким образом, что газоразрядная трубка помещается рядом с исследуемой областью возбуждения. При этом какой-либо непоглощающей кванты  $h\nu$  жидкостью осуществляется охлаждение трубки, устраняющее тепловое воздействие источника на область возбуждения. Возможен также случай, когда внутри самой области возбуждения идет какая-либо химическая реакция, сопровождаемая излучением, так что молекулы области поглощают энергию этого излучения и приходят в возбужденное состояние. Это имеет место, например, в живых клетках, окислительные реакции в которых являются источником «митогенетического излучения».

Если излучение источника близко к излучению черного тела, то распределение энергии излучения характеризуется формулой Планка (3) и определяется температурой источника  $T^0$ . Но обратим внимание на то, что при помощи формулы (3) для данной частоты колебания спектральная плотность излучения источника  $u_\nu^0$  и его температура  $T^0$  связаны однозначно при посредстве универсальных постоянных. Поэтому, если распределение излучения источника и не носит термодинамически равновесного характера, условно мы можем сопоставлять каждому значению спектральной плотности излучения  $u_\nu^0$  некоторое значение температуры  $T_\nu^0$ , которую будем называть «спектральной температурой источника». В этом случае распределение энергии в источнике будет характеризоваться распределением спектральных температур  $T_\nu^0$ . Для излучателя.

ского к черному телу, для всех  $\nu$  спектральные температуры  $T^0$ .

Рассмотрим сначала случай, когда область возбуждения является статистическим ансамблем, в который поступает излучение частоты  $\nu$ , являющаяся спектральная плотность которого равна  $u_\nu$ . Таким статистическим ансамблем может быть газ, раствор и т. д., содержащие молекулы, способные поглощать кванты  $h\nu$ .

Мы примем также, что концентрация молекул, находящихся на основном уровне возбуждения, меняется крайне незначительно. Эту концентрацию будем обозначать через  $n_a$ , причем индекс  $a$  здесь будет означать \* от индексов  $i, j = 1, 2, \dots, k$ . Тогда скорость процесса возбуждения молекул, сопровождаемого переходом  $a \rightarrow i$ , будет практически независимой от скорости всех прочих процессов.

Благодаря этому можно положить:

$$u_{oi} = B_{ia} u_\nu n_a. \quad (9)$$

Энергетические уровни возбужденных молекул пронумеруем в таком порядке, что большему значению энергии возбуждения будет соответствовать и большее значение индекса  $i$ . Уровень возбуждения, энергия которого меньше энергии рассматриваемого уровня  $i$ , будем называть уровнем  $f$ . В числе этих уровней  $f$  будет и основной уровень  $a$ . Уровень же возбуждения, энергия которого больше уровня  $i$ , будем называть уровнем  $l$ .

Заметим далее, что скорость переходов  $i \rightarrow f$  посредством спонтанного излучения будет равна  $A_{fi} n_i$ , где коэффициент спонтанного излучения имеет смысл кинетической константы мономолекулярного процесса излучения \*\*. Соответственно этому, скорость процессов потери энергии возбуждения молекулами посредством ударов второго рода, сопровождаемых переходами  $i \rightarrow f$ , можно обозначить через  $C_{fi} n_i$ . Здесь  $C_{fi}$  будет кинетической константой процессов ударов второго рода. Если концентрация невозбужденных молекул, находящихся на основном уровне  $a$ , значительно превышает концентрацию всех возбужденных молекул, константа  $C_{fi}$  явится константой мономолекулярного процесса потери энергии молекулами  $i$ . Молекулы могут терять свою энергию возбуждения и посредством процессов «внутренней конверсии», при которых часть энергии возбуждения рассеивается в виде тепла. Скорость таких процессов будем

\* Нередко молекулам, находящимся на основном уровне возбуждения, приписывают индекс  $o$ . Но индексом  $o$  в работах по кинетике цепных реакций [6] мы отметили либо скорость процесса появления активных частиц, не зависящую от развития цепной реакции,  $u_{oi}$  или  $u_o$ , либо — начальную концентрацию какой-либо активной частицы  $n_{oi}$  или  $n_o$ . Поэтому молекулы, находящиеся на основном уровне возбуждения, здесь мы отмечаем индексом  $a$ .

Если  $n_a \cong \text{const}$ , индекс  $a$  не входит в систему индексов  $i, j = 1, 2, \dots, k$ . Если же необходимо также учесть и изменение концентрации молекул, находящихся на основном уровне, можно, не меняя принятого порядка нумерации уровней возбужденных состояний, увеличить систему равенств (6) на одно дополнительное уравнение и в новой системе приписать нормальному уровню молекул последний индекс  $k$ . Здесь, следовательно, окажется  $a = k$ .

\*\* В ранее опубликованной работе [7] мы располагали индексы в обратном порядке и писали для переходов  $i \rightarrow f$  выражение константы излучения так:  $A_{if}$ . Такой рядок расположения индексов принят, например, в книге Э. В. Шпольского [5].

Но теперь, обратив внимание на возможность рассматривать кинетику энергетических переходов молекул между различными уровнями возбуждения как частный случай кинетики цепных реакций, описываемых в общем виде системой равенств (6), мы вынуждены унифицировать систему индексов и писать  $A_{fi}$ . Такой же порядок обозначения индексов принят в известной книге Бете [8] и в ряде других руководств теории излучения.

обозначать через  $G_{ji}n_i$ , причем  $G_{ji}$  будет соответствующей кинетической константой процессов внутренней конверсии.

Если надо выразить скорости переходов  $l \rightarrow i$ , то кинетические константы соответствующих процессов запишутся так:  $A_{il}$ ,  $C_{il}$ ,  $G_{il}$ .

Если плотность излучения сравнительно невелика и концентрации возбужденных молекул достаточно малы, скоростью исчезновения молекул  $i$  посредством процессов индуцированного излучения и посредством довозбуждения их до высших энергетических уровней посредством поглощения квантов света можно пренебречь.

Но следует учесть, что возбужденные молекулы могут исчезать из данной области посредством процессов диффузии. Как было показано нами ранее [6], [7], приближенно скорость процесса диффузии молекул  $i$  можно положить равной  $D_i n_i$ , где  $D_i$  обозначает кинетическую константу диффузии.

Также, скорость исчезновения возбужденных молекул посредством какой-либо химической реакции обозначим через  $R_i n_i$ , где  $R_i$  будет обозначать условно-мономолекулярную кинетическую константу реагирования возбужденных молекул.

Мы будем считать, что температура области возбуждения поддерживается достаточно низкой, так что возбуждением нормальных молекул за счет тепловых толчков можно пренебречь. Это значит, что переходы  $a \rightarrow i$ , требующие энергии активации, мы оставляем без внимания. Но, если разница между энергетическими уровнями невелика, следует учесть возможность переходов  $j \rightarrow i$  и  $i \rightarrow l$  за счет тепловых толчков, требующих небольшой энергии активации. Скорость таких процессов обозначим через  $Y_{ij}n_j$  или  $Y_{il}n_i$ , где  $Y_{ij}$ ,  $Y_{il}$  будут означать кинетические константы рассматриваемых переходов. Обозначим, наконец, через  $\sum_j$  суммирование по всем индексам  $j$ , а через  $\sum_l$  — суммирование по всем индексам  $l$ , и положим для краткости

$$\sum_j A_{ji} = A_i; \quad \sum_j C_{ji} = C_i; \quad \sum_j G_{ji} = G_i; \quad \sum_l Y_{li} = Y_i. \quad (10)$$

Тогда обобщенная константа исчезновения молекул, находящихся на уровне возбуждений  $i$ , представится в таком виде:

$$s_i = A_i + C_i + G_i + Y_i + D_i + R_i. \quad (11)$$

Обобщенная константа скорости процессов, в результате которых исчезновение молекул, находящихся на уровне  $j$ , сопровождается появлением молекул на уровне  $i$ , представится в следующем виде:

если  $j > i$ , то

$$r_{ij} = r_{il} = A_{il} + C_{il} + G_{il}, \quad (12)$$

если же  $j < i$ , то

$$r_{ij} = r_{if} = Y_{if}, \quad (13)$$

причем, так как температура низка, в (13)  $f \neq a$ .

Таким образом, мы видим, что посредством равенств (9), (10), (11), (12), (13) весьма просто могут быть найдены все постоянные, которые согласно системе дифференциальных уравнений (6) определяют кинетику изменения концентраций возбужденных молекул в любом статистическом ансамбле, находящемся под воздействием потока электромагнитных волн.

Однако, как легко видеть, при этом мы пока не учитывали явления обратного поглощения излучения. Этому будет соответствовать, например, условие, согласно которому геометрические размеры рассматриваемого



ансамбля невелики, так что излучение, испускаемое возбужденными молекулами, практически успевает выйти за пределы ансамбля без поглощения.

Интегралы системы (6) известны [6]. Но сейчас мы рассмотрим некоторые частные случаи общих решений с целью выяснения роли отдельных энергетических переходов в молекулах в установлении той или иной концентрации возбужденных молекул в статистическом ансамбле.

Начнем с рассмотрения самого простого случая. Допустим, что переходы  $j \rightarrow i$  практически могут быть оставлены без внимания, так что  $r_{ij} = 0$ . Тогда система уравнений (6) распадается на ряд независимых уравнений, имеющих вид:

$$\frac{dn_i}{dt} = B_{ia}u_{\nu}n_a - s_i n_i \quad (i = 1, 2, \dots, k). \quad (14)$$

Причина, обратная обобщенной кинетической константе исчезновения возбужденных молекул, которую мы обозначим через  $\tau_{s,i}$ , имеет смысл времени продолжительности жизни возбужденных молекул:

$$\tau_{s,i} = \frac{1}{s_i}. \quad (15)$$

На основании (14), (15) получаем

$$n_i = B_{ia}u_{\nu}\tau_{s,i} \left(1 - \exp\left(-\frac{t}{\tau_{s,i}}\right)\right) \cdot n_a. \quad (16)$$

В этом, если  $t \gg \tau_{s,i}$ , то достигается стационарное состояние, когда

$$n_i = B_{ia}u_{\nu}\tau_{s,i} \cdot n_a. \quad (17)$$

Скидывая теперь введенное ограничение  $r_{ij} = 0$ , учтем все возможные энергетические переходы  $j \rightarrow i$ . Но для сохранения возможно более простого вида получаемых формул будем рассматривать область возбуждения в момент времени, достаточно далеко отстоящий от начала процесса возбуждения. Так как система уравнений (6)–(13) не предусматривает никакого «разветвления», в этом случае найдем, что в области возбуждения в момент  $t \rightarrow \infty$  должно установиться «стационарное состояние», когда для всех возбужденных молекул  $i$  соответствующие скорости  $\frac{dn_i}{dt} \rightarrow 0$ . В этом случае система дифференциальных уравнений (6) превращается в систему алгебраических уравнений:

$$B_{ia}u_{\nu}n_a + \sum_j r_{ij}n_j - s_i n_i = 0 \quad (i, j = 1, 2, \dots, k). \quad (18)$$

Рассмотрим пример, когда наибольшее значение имеют состояния возбуждения, имеющие индексы 1, 2, 3. Для ясности, отметим дополнительными индексами величины  $u_{\nu}$ , обозначив их через  $u_{\nu,ia}$ , где  $i = 1, 2, 3$ . Тогда из (18) получим:

$$\left. \begin{aligned} s_1 n_1 - r_{12} n_2 - r_{13} n_3 &= B_{1a} u_{\nu, 1a} n_a \\ -r_{21} n_1 + s_2 n_2 - r_{23} n_3 &= B_{2a} u_{\nu, 2a} n_a \\ -r_{31} n_1 - r_{32} n_2 + s_3 n_3 &= B_{3a} u_{\nu, 3a} n_a \end{aligned} \right\}, \quad (19)$$

где константы  $s_i$  определяются формулами (10), (11), а константы  $r_{ij}$  — формулами (12), (13).

Вычислим, для примера, из (19) концентрацию возбужденных молекул  $n_2$ . Приняв во внимание (15) и полагая:

$$\frac{B_{1a}u_{v,1a} \left( \frac{r_{31}}{s_1} + \frac{r_{31}r_{23}}{s_1s_3} \right) + \left( 1 - \frac{r_{31}r_{13}}{s_1s_3} \right) + \frac{B_{3a}u_{v,3a} \left( \frac{r_{23}}{s_3} + \frac{r_{21}r_{13}}{s_1s_3} \right)}{1 - \frac{r_{21}r_{12}}{s_1s_2} - \frac{r_{31}r_{13}}{s_1s_3} - \frac{r_{32}r_{23}}{s_2s_3} - \frac{r_{31}r_{12}r_{23}}{s_1s_2s_3} - \frac{r_{21}r_{32}r_{13}}{s_1s_2s_3}} = \chi_{v,2a} \quad (20)$$

получим:

$$n_2 = B_{2a}u_{v,2a} \chi_{v,2a} \tau_{s,2} n_a \quad (21)$$

Из рассмотрения выражений (20), (21) видно, что коэффициент  $\chi_{v,2a}$  показывает, во сколько раз увеличивается концентрация возбужденных молекул сорта  $i$  в силу того, что в рассматриваемом статистическом ансамбле осуществляются не только элементарные процессы прямого возбуждения, сопровождаемые переходами  $a \rightarrow 2$ , но и процессы перехода молекул ранее возбужденных до уровня  $j=1$  и  $j=3$  на уровень  $i=2$ . Подобные энергетические переходы молекул с уровней  $j$  на уровень  $i$  можно рассматривать как цепную передачу энергии, ранее потраченной на возбуждение молекул  $j$ , на возбуждение молекул  $i$ .

Определяя в общем случае значения концентраций  $n_i$  из системы равенств (18) подобно тому, как была определена концентрация  $n_2$  из равенств (19), назовем соответствующие коэффициенты  $\chi_{v,ia}$  «коэффициентами цепного усиления» процессов прямого возбуждения молекул с уровня  $a$  до уровня  $i$ . Для краткости будем писать вместо  $\chi_{v,ia}$  просто  $\chi_v$ . Тогда из (18) получим:

$$n_i = B_{ia}u_v \chi_v \tau_{s,i} n_a \quad (i = 1, 2, \dots, k). \quad (22)$$

Приняв же во внимание соотношение (7), напишем равенства (22) в таком виде:

$$n_i = B_{ia}u_v^0 \eta_v \chi_v \tau_{s,i} n_a \quad (i = 1, 2, \dots, k). \quad (23)$$

Пусть теперь источник удален на некоторое расстояние  $R$  от рассматриваемой области возбуждения. Тогда, если в пространстве между источником излучения и областью возбуждения поместить собирающую линзу, то действие такой линзы будет равносильно приближению источника излучения к области возбуждения, при котором облученность последней возрастет. Это значит, что степень использования энергии излучения увеличивается. Тогда вместо  $\eta_v$  в формулу (23) следует подставить уже какое-то другое значение  $\eta_v^* = \eta_v \sigma_v$ , где величину  $\sigma_v$  мы будем называть «коэффициентом структурного усиления» процесса возбуждения  $a \rightarrow i$ . При этом очевидно, что, если вместо указанной собирающей линзы поместить линзу рассеивающую, то «усиление» надо будет понимать в некотором условном смысле, так как теперь степень использования энергии излучателя уменьшится. Таким образом, если полагать  $\sigma_v > 1$  — для случая действия собирательных линз и  $\sigma_v < 1$  — для случая действия линз рассеивающих, то наличие такого рода «структурных усилителей» в процессах возбуждения молекул можно будет учесть, если заменить в (23)  $\eta_v$  на  $\eta_v \sigma_v$ , т. е. положить:

$$n_i = B_{ia}u_v^0 \eta_v \sigma_v \chi_v \tau_{s,i} n_a \quad (i = 1, 2, \dots, k). \quad (24)$$

Изложенные рассуждения можно обобщить следующим образом. Если в пространстве между областью возбуждения, в которой находятся рассматриваемые молекулы, и источником излучения поместить промежуточный резонансный контур, снабженный антенной, то действие такого промежуточного контура будет равносильно концентрированию энергии излучателя или приближению излучателя к области возбуждения.

гими словами, промежуточный контур, ловящий электромагнитные волны, посылаемые источником излучения, будет эквивалентен собирающей линзе. Если же промежуточный резонирующий контур снабдить антенной, распространяющейся в пространство, в которое излучение генератора не поступает, то действие такого промежуточного контура будет эквивалентно действию рассеивающей линзы. Таким образом, видно, что влияние резонансных контуров, находящихся в пространстве между излучателем и областью возбуждения, также может быть учтено коэффициентом структурного усиления  $\sigma_v$ .

Представим себе также, что поглощающие кванты частоты  $\nu$  молекулы взаимодействуют друг с другом, образуя «структурные ансамбли», в которых или иным путем ограничивается роль тепловых броуновских движений. Наглядным примером таких структурных ансамблей могут служить упорядоченные агрегаты молекул полиеновых красителей — псевдо-дианинов [9—11]. Мономерные молекулы этих красителей не способны флуоресцировать и имеют широкий максимум поглощения, расположенный в области частот  $\nu = 5,7 \cdot 10^{14}$  герц, т. е. длин волны  $\lambda = 5250 \text{ \AA}$ . Упорядоченные же агрегаты, в состав которых входит от  $10^3$  до  $10^4$  молекул, имеют весьма узкий и высокий максимум в спектре поглощения и такой же максимум в спектре люминесценции, причем положение этих максимумов значительно смещено в область длинных волн по сравнению с расположением максимума в спектре поглощения мономерных молекул. Рентгенографическое исследование показывает, что рассматриваемые агрегаты представляют собой подобие линейных кристаллов. Из этого есть основание полагать, что при поглощении соответствующих квантов электроны в таком агрегате колеблются вдоль его протяжения.

Поглощение электромагнитных волн подобными упорядоченными агрегатами молекул как цельными единицами может рассматриваться по аналогии с поглощением волн макроскопическими резонирующими структурами. Это может объяснить факт значительного смещения максимума в спектре таких молекул в область длинных волн, так как положение этого максимума будет определяться собственной резонансной частотой агрегата, т. е. его геометрической конфигурацией. Но, с другой стороны, взаимодействия между молекулами в таком агрегате не могут быть значительными. Поэтому, каждая образующая агрегат молекула в первом приближении может рассматриваться как сохраняющая свои прежние свойства. Это позволяет считать, что поглощение электромагнитных волн агрегатом сопровождается усиленным возбуждением тех энергетических переходов в отдельных молекулах, при которых поглощаются кванты, частота которых соответствует указанной собственной резонансной частоте агрегата как целой структурной единицы. И в этом случае известное влияние структуры упорядоченных агрегатов на возбуждение переходов в его состав молекул может быть учтено посредством коэффициента структурного усиления  $\sigma_v$ , т. е. посредством применения формулы (24).

Заметим, далее, что действие структурного усиления может быть представлено как увеличение коэффициента возбуждения от значения  $B_{ia}$  до значения  $B_{ia}^*$ , для чего надо положить:

$$B_{ia}\sigma_v = B_{ia}^* \quad (25)$$

можно также считать, что при структурном усилении коэффициент возбуждения  $B_{ia}$  остается прежним, действующая же спектральная плотность излучения возрастает от значения  $u_v$  до значения  $u_v^*$ , согласно равенству:

$$u_v\sigma_v = u_v^* \quad (26)$$



Другими словами, можно полагать:

$$B_{ia}u_{\nu} = B_{ia}^*u_{\nu} = B_{ia}u_{\nu}^*. \quad (27)$$

Кроме того, легко видеть, что произведение:

$$\chi_{\nu} \cdot \tau_{s,i} = \tau_i \quad (28)$$

означает время продолжительности жизни возбужденного состояния с учетом цепного усиления процесса непосредственного возбуждения этого состояния. В общем случае при возбуждении входящих в состав структурных ансамблей молекул величина времени продолжительности жизни может измениться от значения  $\tau_i$  до какого-то иного значения так что вместо (28) тогда следует писать:

$$\chi_{\nu}^* \tau_{s,i}^* = \tau_i^*, \quad (29)$$

причем здесь  $\tau_{s,i}^*$  будет означать время продолжительности жизни рассматриваемых возбужденных молекул без учета цепного усиления, а  $\chi_{\nu}^*$  будет коэффициентом цепного усиления в структурном ансамбле.

На основании соотношений (25)–(29) мы можем теперь прийти к следующему выводу. Приведенное выше уравнение (22) выражает в общем виде стационарную концентрацию молекул в статистических ансамблях при условии возбуждения этих молекул электромагнитными волнами. С учетом равенства (28) это уравнение можно переписать так:

$$n_i = B_{ia}' u_{\nu} \tau_i \cdot n_a. \quad (30)$$

Переходя же к случаю возбуждения молекул электромагнитными волнами в структурных ансамблях, вместо (30) мы можем писать:

$$n_i = B_{ia}' u_{\nu} \tau_i^* n_a = B_{ia} u_{\nu}^* \tau_i^* n_a. \quad (31)$$

По сравнению с уравнением (24), уравнение (31) является более общим, поскольку в (31) принята во внимание возможная замена  $\tau_i$  на  $\tau_i^*$ . Но очевидно, что как только особенности макроскопической структуры системы перестают сказываться на возбуждении молекул, коэффициент структурного усиления  $\chi_{\nu}$  оказывается равным единице и время  $\tau_i^*$  делается равным времени  $\tau_i$ . В этом случае (31) переходит в (30).

Наконец, обратим внимание на то, что сопоставление формул (31) и (4) позволяет сделать еще один существенный вывод. Для этого заменим в (3)  $T$  на  $T_{\nu}^0$  и  $u_{\nu}$  на  $u_{\nu}^0$ . Тогда для  $h\nu > kT$  можно будет написать:

$$u_{\nu}^0 = \frac{8\pi h\nu^3}{c^3} \exp\left(-\frac{h\nu}{kT_{\nu}^0}\right) = \frac{8\pi h\nu^3}{c^3} \theta_{\nu} \exp\left(-\frac{h\nu}{kT}\right), \quad (32)$$

где положено

$$\theta_{\nu} = \exp\left(\frac{h\nu(T_{\nu}^0 - T)}{kT_{\nu}^0 T}\right) \geq 1. \quad (33)$$

Эта величина  $\theta_{\nu}$  может быть названа «коэффициентом термодинамической неравновесности» потока излучения, поступающего в систему, имеющую температуру  $T$ . В самом деле, при  $\theta_{\nu} = 1$  равенство (32) определяет спектральную плотность излучения частоты  $\nu$  для равновесного излучения, соответствующего средней температуре  $T$  области возбуждения. Поэтому коэффициент  $\theta_{\nu} > 1$  показывает, во сколько раз спектральная плотность излучения частоты  $\nu$  в источнике излучения больше этой равновесной плотности излучения при  $\theta_{\nu} = 1$ .

примем теперь во внимание равенства (7) и (5) и положим в (5)  $i$ . Тогда получим:

$$B_{ia}u_v = B_{ia}\tau_v\gamma_v u_v^0 = A_{ai}\tau_v\gamma_v\theta_v \frac{g_i}{g_a} \exp\left(-\frac{h\nu}{kT}\right). \quad (34)$$

Отметим, что величину  $A_{ai}$  можно проставить посредством равенства.

$$A_{ai} = \frac{1}{\tau_i}, \quad (35)$$

где  $\tau_i$  будет означать время продолжительности возбужденного состояния в установлении в системе детального равновесия, когда процессы прямого возбуждения  $a \rightarrow i$  точно компенсируются процессами обратного перехода  $i \rightarrow a$ , осуществляемых посредством спонтанного излучения.

На основании (34) и (35) уравнение (31) можно представить в таком виде:

$$n_i = \theta_v\gamma_v\sigma_v \frac{\tau_i^*}{\tau_i} \frac{g_i}{g_a} \exp\left(-\frac{h\nu}{kT}\right) \cdot n_a. \quad (36)$$

Значим

$$\theta_v\gamma_v\sigma_v \frac{\tau_i^*}{\tau_i} g_i = g_i^* \quad (37)$$

назовем величину  $g_i^*$  «эффективным статистическим весом» возбужденных молекул  $i$  в рассматриваемом структурном ансамбле. Тогда из (36) и (37) получим

$$n_i = \frac{g_i^*}{g_a} \exp\left(-\frac{h\nu}{kT}\right) n_a. \quad (38)$$

В случае установления термодинамического равновесия в системе достигается состояние, когда  $\tau_i^* = \tau_i$ ;  $\theta_v = 1$ ;  $\gamma_v = 1$ ;  $\sigma_v = 1$ ;  $g_i^* = g_i$ . Тогда уравнение (38) делается тождественным уравнению (4), в котором положено  $f = a$ .

Таким образом, в случае стационарного возбуждения молекул электромагнитными волнами в структурном ансамбле при отсутствии в системе установившегося термодинамического равновесия можно считать, что в системе устанавливается «квазиротермодинамическое равновесие», соответствующее единой температуре системы. Однако статистические веса возбужденных состояний при таком равновесии имеют уже некоторое «эффективное» значение, определяемое равенством (37).

Особенно интересным может быть использование формул (31), (38) в теории фотосинтеза углеводов зелеными растениями и вообще в теории биофизико-химических процессов. В самом деле, в случае фотосинтеза температура источника излучения — солнца — превышает температуру среды, в которой находится растение. Это служит наглядным показателем того, что электромагнитные волны солнечной радиации приносят с собой значительные запасы свободной энергии. Формулы же (31), (38) (с учетом формул (7), (27), (29), (37)) показывают, что возникновение той или иной концентрации возбужденных молекул хлорофилла в зеленых листьях зависит как от свойств самих молекул, так и от структурных факторов, определяющих циклизацию свободной энергии. Поэтому тот общеизвестный факт, что фотосинтез углеводов до сих пор не мог быть осуществлен вне живых листьев, может быть объяснен трудностью достичь в применявшихся до сих пор модельных системах, содержащих молекулы хлорофилла, такого накопления и распределения энергии возбуждения, какое достигается в ассимиляционных единицах хлоропластов живых листьев. Исследование хлоропластов в поляризованном свете

ясно обнаруживает упорядоченный характер этих образований [12]. Это непосредственно указывает на то, что хлоропласты вместе с прочими морфологическими элементами клеток могут выполнять функции структурных ансамблей, в которых имеет место циклизация свободной энергии.

### ВЫВОДЫ

1. Понятие статистического ансамбля является предельным понятием, так как во многих случаях сочетание молекул или атомов образует «структурный ансамбль», распределение энергии в котором не носит флуктуационного характера.

2. В структурных ансамблях может иметь место сохранение свободной энергии от рассеяния. Колебания такой энергии, сопровождаемые правильной сменой фаз, могут быть названы «циклизацией свободной энергии», а сама ритмически колеблющаяся энергия — «структурной энергией».

3. Показано, что кинетика процессов возбуждения молекул электромагнитными волнами в статистических и структурных ансамблях может быть выражена при помощи кинетических уравнений цепных процессов.

4. Показано, что концентрации возбужденных молекул в статистических и структурных ансамблях, находящихся в стационарном состоянии, могут быть представлены при помощи весьма простых формул, в которые входят коэффициенты, учитывающие влияние на процессы прямого возбуждения молекул как побочных энергетических переходов в молекулах, так и макроскопических структурных образований, концентрирующих или рассеивающих свободную энергию излучения. Эти показатели названы — соответственно — «коэффициентом цепного усиления» и «коэффициентом структурного усиления» процессов прямого возбуждения молекул.

5. Указано на возможное применение полученных в настоящей работе результатов в теории процесса фотосинтеза углеводов в клетках зеленых растений и вообще — в теории биофизико-химических процессов.

Технологический институт  
легкой промышленности  
им. Л. М. Кагановича  
Москва

Поступила  
26.I.1955

### ЛИТЕРАТУРА

1. Абрагам-Беккер, Теория электричества, ОНТИ, 1936, стр. 235.
2. R. Rudenberg, Elektrische Schaltvorgänge, Berlin, 1933, стр. 564.
3. Альфрей, Механические свойства высокополимеров, ИИЛ, 1950.
4. W. V. Smith and L. G. Quevedo, Journ. App. Phys., 18, 1112, 1947.
5. Э. В. Шпольский, Атомная физика, Гостехтеоретиздат, т. I, 1949, стр. 291.
6. С. С. Васильев, Журн. физ. химии, 26, 1207, 1952; 27, 1081, 1410, 1953.
7. С. С. Васильев, Журн. физ. химии, 25, 1577, 1952.
8. Г. Бете, Квантовая механика простейших систем, ОНТИ, 1935, стр. 216.
9. Scheibe, Schöntag, Katheder, Naturwiss., 27, 499, 1939.
10. Scheibe, Zs. angew. Chemie, 50, 212, 1937.
11. А. Н. Теренин, Фотохимия красителей, Изд-во АН СССР, 1947, стр. 23.
12. А. Фрей-Висслинг, Субмикроскопическое строение протоплазмы и ее производных, ИИЛ, 1950, стр. 212—227.



# КИНЕТИКА ПЕРЕНОСА СЕРЫ ИЗ ЧУГУНА В ШЛАК СИСТЕМЫ CaO — Al<sub>2</sub>O<sub>3</sub>

О. В. Травин и Л. А. Шварцман

В расплавах тройной системы Fe — C — S имеют место сильные отклонения от идеальности, приводящие при определенных концентрациях к расслаиванию на две жидкости [1]. Наличие таких отклонений, повышающих термодинамическую активность серы, растворенной в железе, является одной из важных причин того, что десульфурация чугуна может быть осуществлена значительно эффективнее, чем десульфурация стали. Это подтверждается сопоставлением данных табл. 1 о равновесном распределении серы между металлом и шлаком в этих двух случаях. Таким образом, имеются термодинамические условия для глубокого очищения расплавленного чугуна от серы. В связи с этим представляет практический интерес изучение закономерностей, характеризующих протекание во времени процесса десульфурации.

Таблица 1

| Температура | Состав шлака в вес. % |      |                                |                  |       |       |                                | Состав металла в вес. % |      |      | L <sub>S</sub> |
|-------------|-----------------------|------|--------------------------------|------------------|-------|-------|--------------------------------|-------------------------|------|------|----------------|
|             | S                     | FeO  | Fe <sub>2</sub> O <sub>3</sub> | SiO <sub>2</sub> | CaO   | MgO   | Al <sub>2</sub> O <sub>3</sub> | S                       | C    | Si   |                |
| [2]         | 1,09                  | 0,14 | —                              | 25,14            | 30,44 | 25,72 | 18,34                          | 0,050                   | —    | 1,27 | 21,8           |
| [3]         | 2,35                  | 0,2  | —                              | 31,10            | 34,90 | 18,65 | 13,54                          | 0,0090                  | 4,98 | 1,24 | 261            |

Кинетика подобных процессов переноса вещества из одной жидкой фазы в другую исследовалась весьма мало. Значительно большее развитие получили работы по изучению скоростей растворения твердых тел и газов в жидкостях, которые были обобщены А. Н. Шукаревым и Нернстом [4]. Скорость растворения  $Q$  твердого тела в жидкости определяется уравнением

$$Q = \frac{DA}{\delta} (c_n - c_0) = k (c_n - c_0), \quad (1)$$

где  $D$  — коэффициент диффузии растворяющегося вещества,  $\delta$  — толщина перемешиваемого слоя жидкости на границе с твердым телом,  $A$  — величина поверхности этой границы,  $c_n$  — концентрация насыщения и  $c_0$  — концентрация в объеме раствора.

Дальнейшее развитие и уточнение этой диффузионной теории принадлежит В. Г. Левичу [5].

В последнее время были выполнены экспериментальные исследования кинетики процессов взаимодействия металла и шлака.

Так, И. С. Куликов и А. А. Жуховицкий [6] изучали процесс изотопного обмена железом между металлической фазой и шлаком. Они нашли, что кинетика обмена железом определяется скоростью массопередачи в шлаковой фазе. На основании теоретического анализа они показали, что зависимость коэффициента массопередачи от интенсивности перемешивания

вания имеет степенной характер. При усилении перемешивания показатель степени стремится к предельной величине  $2 + m$ .

Позднее подобное исследование было сделано Держем и Бирчнэлом [7], которые изучали обмен железом между металлом и насыщенным кремнеземом железистым шлаком. Они нашли, что кинетика этого процесса описывается уравнением для реакций первого порядка.

Тауэрс, Парис и Чипман [8] использовали радиокальций для определения коэффициента диффузии окиси кальция в шлаке, содержащем 40  $\text{SiO}_2$ , 40  $\text{CaO}$  и 20 вес. %  $\text{Al}_2\text{O}_3$ . Были найдены следующие величины коэффициентов диффузии: при  $1350^\circ$ — $3,3 \cdot 10^{-7}$ , при  $1400^\circ$ — $6,8 \cdot 10^{-7}$  и при  $1450^\circ$ — $1,3 \cdot 10^{-6}$   $\text{см}^2/\text{сек.}$ , которые соответствуют энергии активации процесса диффузии порядка 70 ккал. Интересно отметить, что эта величина близка к значению энергии активации процесса перехода серы из металла в шлак, найденному Чангом и Гольдманом [9].

Этот факт может рассматриваться как косвенное подтверждение диффузионного характера кинетики десульфурации.

Изучение кинетики переноса серы из чугуна в шлаки доменного типа было предпринято И. А. Соколовым [10] и В. Г. Воскобойниковым [11]. Из опытов этих авторов следует, что скорость десульфурации зависит как от величины поверхности соприкосновения металла со шлаком, так и от условий перемешивания.

Вопросу о механизме и кинетике процесса переноса серы из чугуна в шлак посвящены три лабораторных исследования [9, 12, 13]. В первой из этих работ [9] изучался перенос серы из насыщенного углеродом железа в шлаки системы  $\text{CaO} - \text{Al}_2\text{O}_3 - \text{SiO}_2$ . О скорости десульфурации судили по увеличению концентрации серы в шлаке.

В условиях опытов концентрация серы в металле почти не изменялась.

Авторы полагают, что при малом изменении в ходе опытов величины поверхности раздела между жидкими фазами  $A$ , веса шлака  $S$  и концентрации серы в металле  $c_m$ , скорость увеличения содержания серы в шлаке  $c_s$  определяется уравнением

$$\frac{dc_s}{dt} = k_m B - k_s c_s H, \quad (2)$$

где  $B = (A/S)c_m$ , а  $H = A/S$  и  $k_m$  и  $k_s$  — соответственно константы скорости прямой и обратной реакций. Они считают, что их опытные данные подтверждают уравнение (2), т. е. что кинетика переноса серы как из металла в шлак, так и в обратном направлении описывается уравнением для реакций первого порядка относительно концентрации серы. Сопоставление опытов, проводившихся во вращающемся и стационарном тиглях, показало лишь малое влияние перемешивания на скорость процесса. В ходе опытов наблюдалось изменение цвета проб шлака от почти бесцветных до черных. Это было истолковано как свидетельство присутствия в шлаке сульфида железа, который, как известно, сильно окрашивает стекла. Авторы склоняются к предположению о том, что вероятный механизм процесса десульфурации заключается в непосредственном переходе сульфида железа из металла в шлак и что лимитирующим звеном является диффузия  $\text{FeS}$  через поверхность раздела двух фаз.

Во второй работе [12] делается попытка уточнить механизм десульфурации и уже отвергается мысль о диффузионной природе процесса. Основанием для этого послужили результаты приближенных измерений коэффициента диффузии серы в расплавленном шлаке доменного типа, которые показали, что величина  $D$  меньше чем  $10^{-5}$   $\text{см}^2/\text{сек.}$  Однако необходимо подчеркнуть, что малая величина коэффициента диффузии сама по себе не может служить указанием на характер процесса. Достаточно принять толщину диффузионного слоя равной  $10^{-4}$  см, чтобы получить количественное согласие с данными опыта, исходя из соотношения  $k = D/\delta$ , так как согласно [12]  $k_m \approx 10^{-1}$ , а  $D = 10^{-5}$   $\text{см}^2/\text{сек.}$

твердая диффузионный механизм, авторы выдвигают утверждение, что «площадь поверхности раздела шлак — металл является основным фактором, определяющим скорость процесса», которое подтверждается опытами, проведенными с четырехкратным изменением величины поверхности. Однако ясно, что наличие пропорциональности между площадью поверхности раздела и скоростью процесса в одинаковой степени говорит и в пользу диффузионной теории.

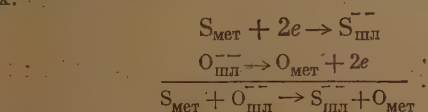
В дальнейших опытах [12] было показано, что по ходу процесса содержание железа в шлаке проходит через максимум, в то время как концентрация серы монотонно увеличивается. Это рассматривается как указание на то, что сера переносится в шлак вместе с железом, и сульфид железа играет роль промежуточного продукта. Исходя из своих данных, Филбрук и Гольдман считают возможным следующий трехстадийный механизм переноса серы из чугуна в шлак:

1.  $\text{FeS (в металле)} \rightleftharpoons \text{FeS (в шлаке)}$ .
2.  $\text{FeS (в шлаке)} + \text{CaO (в шлаке)} \rightleftharpoons \text{CaS (в шлаке)} + \text{FeO (в шлаке)}$ .
3.  $\text{FeO (в шлаке)} + \text{C (в металле)} \rightarrow \text{Fe} + \text{CO(газ)}$ .

В третьей работе этой серии [13] изучалось влияние растворенных в чугуне элементов на кинетику перехода серы в шлак. Было найдено, что алюминий существенно увеличивает скорость десульфурации уже при концентрации, равной 0,4 вес. %.

Добавление к чугуну марганца также повышает скорость переноса серы. Алюминий значительно сильнее кремния и марганца ускоряет процесс. При этом увеличение скорости переноса серы сопровождается увеличением концентрации железа в шлаке. Весьма интересно, что в случае отсутствия серы в металле содержание железа в шлаке было значительно более низким, чем при десульфурации. Это еще раз подтверждает предположение об одновременном переходе железа и серы через границу металл — шлак. Авторы считают, что увеличение скорости десульфурации при увеличении концентрации кремния, марганца и алюминия в чугуне объясняется тем, что эти элементы раскисляют шлак.

О. А. Есин и А. И. Окунев [14] рассмотрели экспериментальные данные Чанга и Гольдмана [9] с точки зрения ионной теории. Основываясь на результатах опытов, в которых установлено наличие скачка электрического потенциала на границе раздела металл — шлак [15], О. А. Есин и А. И. Окунев считают, что эту границу пересекают не нейтральные частицы а ионы. В качестве одного из вариантов они предлагают рассматривать десульфурацию как одновременный переход анионов в противоположных направлениях:



Однако такая точка зрения полностью не объясняет опытных данных, говорящих на то, что одновременно с серой в шлак переходит и железо. Грант, Каллинг и Чипман [16] исследовали кинетику десульфурации чугуна. Они использовали графитовые тигли с двумя сообщающимися делениями и винтовую графитовую мешалку, непрерывно перекачивавшую жидкий чугун через шлак из одного отделения в другое. Сопоставив свои данные с результатами исследования Хатча и Чипмана [3], они приходят к выводу о том, что в обоих случаях время установления равновесия имеет один и тот же порядок и что увеличение интенсивности перемешивания оказывает лишь незначительное влияние на увеличение скорости десульфурации. Этот вывод не представляется достаточно убедительным потому, что применявшийся способ перемешивания, так же как и в опытах Чанга и Гольдмана [9], не затрагивал в необходимой степени



инициальную фазу, в которой, повидимому, лежит основное сопротивление диффузии.

Грант, Каллинг и Чипман считают наиболее медленным звеном процесса десульфурации восстановление кремнезема шлака.

Грант, Тройли и Чипман [17], развивая эту идею, экспериментальные показали, что кремнезем шлака является достаточно сильным окислителем, который может существенно замедлить десульфурацию. Очевидно, что предположение указанных авторов не исчерпывает вопроса, так как оно совершенно обходит случай, когда шлак не содержит кремнезема.

Подводя итоги, можно сказать, что, несмотря на ряд экспериментальных работ, в литературе еще не пришли к единому взгляду на природу процесса десульфурации.

Настоящее исследование посвящено уточнению вида кинетического уравнения этого процесса и выяснению влияния кремния и марганца на кинетику реакции с целью получения данных, которые в сочетании с результатами других исследований окажутся полезными для более глубокого раскрытия механизма переноса серы из чугуна в шлак.

### МЕТОДИКА

Опыты проводились в графитовых тиглях, помещавшихся в индукторе высокочастотного генератора, в атмосфере очищенного азота. О скорости процесса судили по изменению концентрации серы в металле в пробах, отбиравшихся по ходу опыта. Определение концентрации производилось при помощи метода радиоактивных индикаторов. С этой целью в чугун заранее вводили радиоактивную серу (около 2 микрокур S<sup>35</sup> на 1000 г металла). Интенсивность радиоактивного излучения проб чугуна определялась при помощи торцевого счетчика Б-ФЛ методом счета из толстых слоев порошка с крупностью частиц 0,25 мм. Точность измерений составляла приблизительно 2%. Чистота препарата радиоактивной серы определялась путем измерения периода полураспада, который оказался равным 88 дням — в хорошем согласии с табличными данными. Применение радиосеры позволило получать достаточно надежные данные о изменении содержания серы в металле в весьма широком диапазоне концентраций вплоть до чрезвычайно низких, которые практически недоступны для определения методами химического анализа.

Особенности устройства тиглей заключались в следующем. Цилиндрический графитовый блок имел по три вертикальных отверстия — тигля диаметром 28 и глубиной 100 мм. Рядом с каждым тиглем просверливался узкий, сообщающийся с ним в нижней части вертикальный канал диаметром 6 мм. Эти каналы позволяли отбирать пробы металла нагасыванием в кварцевую трубочку без нарушения естественного хода процесса и загорания проб металла шлаком. Кроме того, излучение из этих каналов весьма близко к излучению абсолютно черного тела, что дает возможность надежно измерять температуру оптическим пирометром.

Наличие трех тиглей в одном блоке позволяет проводить параллельные опыты в строго одинаковых условиях. В опытах один тигель служил для сравнения и всегда содержал металл и шлак одного и того же состава. В двух других тиглях помещались металлы и шлаки выбранного состава. Заметим, что отбиравшиеся пробы металла имели весьма малый вес по сравнению с весом садки. Поэтому отношение поверхности раздела металл — шлак к объему металла в ходе опыта изменялось лишь на 5—10%.

Для установления действительного механизма процесса десульфурации имеет существенное значение определение его кинетического порядка. С этой целью была проведена серия опытов при постоянной температуре 1475°, в которых концентрация серы в металле изменялась в весьма широких пределах. В этих опытах вес чугуна составлял 350 г, а шлака — 15 г; диаметр тигля — 35 мм. Чугун содержал очень малые количества кремния и марганца, а концентрация углерода соответствовала равновесию с графитом при данной температуре. Шлак содержал 45,50 CaO; 50,00 Al<sub>2</sub>O<sub>3</sub>; 5,18 MgO; 0,25 вес. %: SiO<sub>2</sub>. В первом опыте исходное содержание серы было 0,68% а конечное 0,233%. После отбора последней пробы металла с его поверхности намораживанием снимался весь шлак и опыт продолжался снова со свежим шлаком прежнего состава. При этом последняя проба металла законченного опыта являлась первой пробой следующего.

В результате проведенных таким образом последовательных опытов



концентрация серы в чугуне была снижена до 0,00027%, т. е. примерно 200 раз. Полученные данные, представленные на рис. 1 в координатах логарифм концентрации — время, показывают, что экспериментальные точки удовлетворительно укладываются на прямую линию. Таким образом, в описанных опытах соблюдается кинетическое уравнение первого порядка относительно концентрации серы в металле. Ввиду больших значений коэффициентов распределения серы между металлом и шлаком, а также вследствие непрерывного удаления окиси углерода обратный переход серы из шлака в металл практически не имел места.

На основании вывода о соблюдении уравнения первого порядка пришли также к выводу и Гольдман на основании опытов, проводившихся в интервале 1525—1580°. Представляло интерес выяснить температурную зависимость скорости десульфурации и характера кинетического уравнения в более ши-

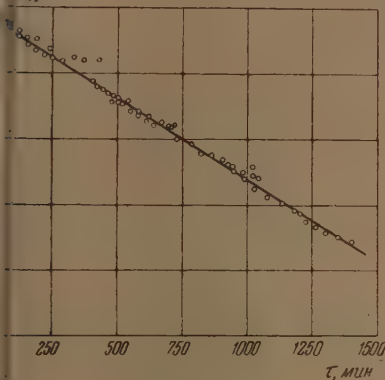


Рис. 1

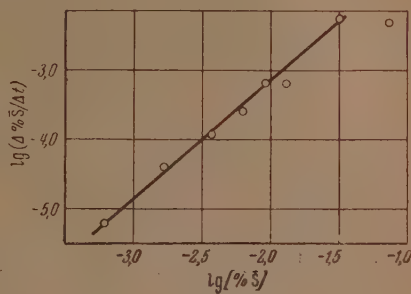


Рис. 2

ром диапазоне температур. С этой целью была проведена серия опытов между 1475 и 1675°. Начальная концентрация серы была около 0,1%. Шлак состоял из 41,25 CaO; 50,05 Al<sub>2</sub>O<sub>3</sub> и 6,67 вес. % MgO (вес чугуна 15 г, шлака 15 г; диаметр тигля 28 мм).

Результаты опытов приведены в табл. 2.

Таблица 2

| 1475°        |        | 1505°        |        | 1525°        |         | 1575°        |        | 1625°        |         |
|--------------|--------|--------------|--------|--------------|---------|--------------|--------|--------------|---------|
| Время в мин. | [%S]   | Время в мин. | [%S]   | Время в мин. | [%S]    | Время в мин. | [%S]   | Время в мин. | [%S]    |
| 0            | 0,100  | —            | —      | 11           | 0,0913  | 0            | 0,097  | 0            | 0,097   |
| 15           | 0,065  | —            | —      | 25           | 0,0326  | 11           | 0,0563 | 9            | 0,049   |
| 40           | 0,031  | 40           | 0,027  | 27           | 0,0284  | 20           | 0,0235 | 15           | 0,0147  |
| 70           | 0,0116 | 70           | 0,0050 | 41           | 0,0067  | 30           | 0,0085 | 20           | 0,0110  |
| 100          | 0,0050 | 100          | 0,0017 | 55           | 0,0033  | 40           | 0,0049 | 25           | 0,00753 |
| 152          | 0,0017 | 153          | 0,0006 | 85           | 0,0015  | 60           | 0,0036 | 35           | 0,00496 |
|              |        |              |        | 115          | 0,00126 | 80           | 0,0023 | 55           | 0,00242 |
|              |        |              |        |              |         |              |        | 95           | 0,00086 |
|              |        |              |        |              |         |              |        | 157          | 0,00036 |

Для нахождения порядка реакции использовали уравнение для скорости десульфурации:

$$\frac{\Delta [\%S]}{\Delta t} = -k [\%S]^n, \quad (3)$$

где  $k$  — коэффициент массопередачи,  $n$  — порядок реакции и  $[\%S]$  — средняя концентрация в металле за промежуток времени  $\Delta t$ . Величина  $n$

находилась по данным опыта графически, путем нанесения значений

$$\lg \frac{\Delta [\%S]}{\Delta t}$$

относительно  $\lg [\% \bar{S}]$ . Полученные данные изображены на рис. 2, на котором экспериментальные точки удовлетворительно укладываются на прямую линию с угловым коэффициентом 1,71. Из этого следует, что в рассматриваемом случае кинетика реакции не описывается уравнением первого порядка, а подчиняется уравнению с дробным показателем

$$\frac{d [\%S]}{dt} = -k [\%S]^{1,71}. \quad (4)$$

Были найдены величины  $n$  для опытов при других температурах. Результаты вычислений  $n$ , а также коэффициенты массопередачи представлены в табл. 3.

Рассмотрение таблицы показывает, что кинетический порядок реакции закономерно увеличивается с ростом температуры. Таким образом про-

Таблица 3

| $t, ^\circ\text{C}$ | $n$  | $k$   |
|---------------------|------|-------|
| 1475                | 1,08 | 0,045 |
| 1505                | 1,29 | 0,15  |
| 1525                | 1,35 | 0,235 |
| 1575                | 1,55 | 0,863 |
| 1625                | 1,71 | 1,78  |
| 1675                | 1,85 | 9,60  |

веденные опыты позволили сделать более подробный анализ кинетических кривых, чем это было выполнено Чангом и Гольдманом [9], и установить зависимость порядка реакции от температуры. При относительно низких температурах порядка 1450—1500 величина  $n$  близка к единице. При высоких температурах, приближающихся к 1700°, выполняется уравнение для реакций второго порядка относительно концентрации серы в металле.

Реальный чугун всегда содержит наряду с углеродом и другие элементы. Для выяснения их влияния на скорость десульфурации целесообразно сначала исследовать более простые случаи, когда железо содержит кроме углерода лишь один элемент.

Для изучения влияния кремния была проведена серия опытов со сплавом состава 41,25 CaO; 50,05 Al<sub>2</sub>O<sub>3</sub>; 6,67 вес. % MgO. Условия проведения всех опытов были одинаковыми, за исключением содержания кремния в металле, которое менялось в пределах от 0,07 до 3,40%. Опыты проводились при постоянной температуре 1475°, при которой кинетика процесса удовлетворительно описывается уравнением первого порядка. Это позволяло судить о влиянии кремния на кинетику десульфурации по величине коэффициента массопередачи, вычисляемой из уравнения

$$k = \frac{1}{t} \lg \frac{[\%S_0]}{[\%S_t]}, \quad (5)$$

где исходное содержание серы в чугуне  $[\% S_0]$  было около 0,1%, а  $[\% S_t]$  — содержание серы в момент времени  $t$ .

Результаты опытов представлены графически на рис. 3 и 4. На рис. 3 изображены кинетические кривые в координатах концентрация серы (в процентах от начальной) — время (в минутах); они получены путем усреднения результатов двух параллельных опытов.

На рис. 4 снятые с кривых рис. 3 данные представлены в координатах логарифм концентрации серы в металле — время. Рассмотрение рис. 4 показывает удовлетворительное подчинение кинетики уравнению первого порядка. Кроме того, из этого рисунка видно, что наклон прямых заметно

зависит от содержания кремния в чугуне. Эта зависимость имеет минимум, что видно из табл. 4.

Таблица 4

| %              | 0,07 | 0,36 | 1,18 | 2,36 | 3,40 |
|----------------|------|------|------|------|------|
| $k \cdot 10^2$ | 1,31 | 1,00 | 0,88 | 0,94 | 1,05 |

Таким образом, в описанных условиях плавки увеличение концентрации кремния в металле сначала приводит к заметному уменьшению  $k$ . Даль-

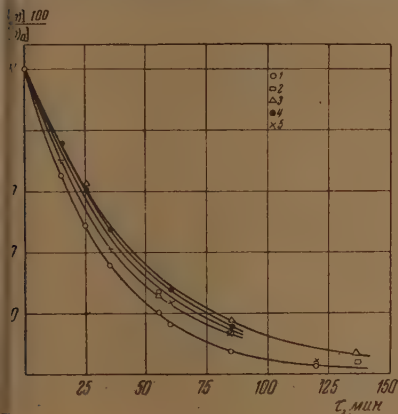


Рис. 3. 1 — 0,07; 2 — 0,36; 3 — 1,18; 4 — 2,36; 5 — 3,40% Si

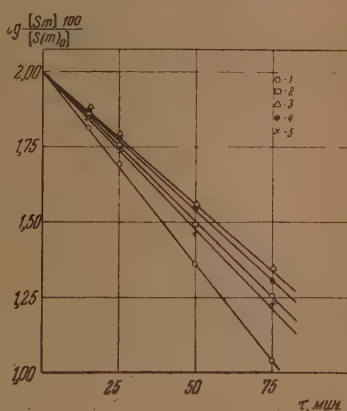


Рис. 4. 1 — 0,07; 2 — 0,36; 3 — 1,18; 4 — 2,36; 5 — 3,40% Si

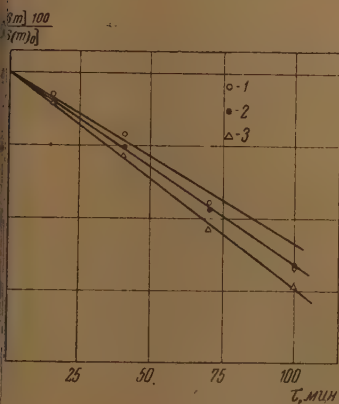


Рис. 5. 1 — 0,11; 2 — 0,63; 3 — 3,43% Mn

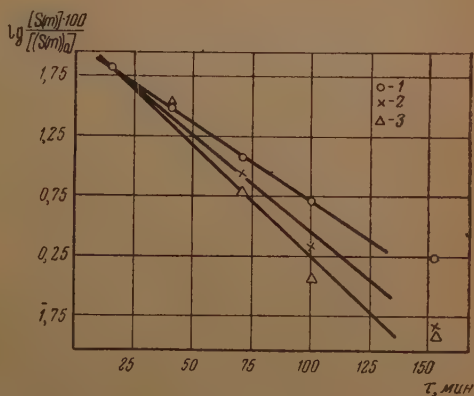


Рис. 6. 1 — 0,07 Si; 0,11 Mn; 2 — 0,75 Si; 0,75 Mn; 3 — 1,72 Si; 1,72% Mn

шее увеличение содержания кремния свыше 1% приводит к возрастанию  $k$ .

Для изучения влияния марганца был проведен опыт при 1475° в тех же условиях, как и описанные выше опыты с кремнием. Содержание марганца в трех отделениях было 0,11; 0,61 и 3,43 вес. %. На рис. 5 результаты опытов представлены в полулогарифмической системе координат.



Полученные данные позволяют предположить, что, как и в случае кремния, увеличение содержания марганца в чугуна сначала несколько уменьшает  $k$ , а затем вновь увеличивает. При этом влияние марганца проявляется слабее, чем кремния.

О влиянии кремния и марганца при их совместном присутствии можно судить по результатам опыта, проведенного в описанных условиях при

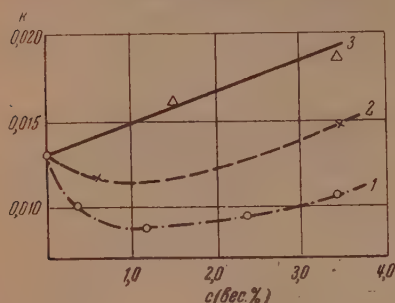


Рис. 7

1475°, в котором в первом отделении тигля металл содержал 0,07% Si и 0,11% Mn, во втором — 0,75% Si и 0,75% Mn и в третьем — 1,72% Si и 1,72% Mn.

Результаты опыта, представленные на рис. 6 в полулогарифмической системе координат, отчетливо показывают, что при совместном присутствии кремния и марганца скорость десульфурации чугуна заметно возрастает при увеличении концентрации этих элементов.

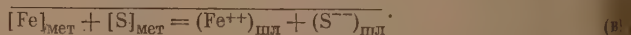
На рис. 7 представлена зависимость величин  $k$  при 1475° от концентрации

кремния (кривая 1), марганца (кривая 2) и суммы концентрации этих элементов при их совместном присутствии (кривая 3). Отметим, что при достаточной выдержке в опытах достигались весьма высокие показатели распределения, превышавшие 1000. Это может быть объяснено как большой десульфурующей способностью использованных шлаков, так и тем, что реакция протекала необратимо — вследствие того, что окись углерода удалялась из тигля.

### ОБСУЖДЕНИЕ РЕЗУЛЬТАТОВ

Рассмотрение результатов описанных опытов и сопоставление их с литературными данными позволяют предположить следующий механизм процесса переноса серы из чугуна в шлаки системы  $\text{CaO} - \text{Al}_2\text{O}_3$ .

Исходя из электрохимических представлений, а также экспериментального факта присутствия железа в шлаке, первую стадию — переход серы из металла в шлак — можно представить уравнениями:



В случае присутствия в железе элементов — восстановителей реакция (б) может встречать конкуренцию других процессов, также обеспечивающих соблюдение условий электронейтральности, например:



Первая стадия, изображаемая уравнением (в), совершается быстрее последующих и не лимитирует скорости протекания всего процесса. В тонком слое шлака, прилегающем к металлу, достигается концентрация серы, соответствующая равновесию. Так как коэффициент распределения серы в рассматриваемой системе весьма высок, то, очевидно, этот слой

шлак сильно обогащен железом и серой и по существу представляет собой окислов в сульфиде железа. В силу относительно малой концентрации пона кислорода в диффузионном слое и трудности образования окислов окиси углерода, восстановление  $\text{FeO}$  не получает развития. Известно, что небольшие концентрации  $\text{FeO}$  — порядка 0,2—0,3% — могут находиться в равновесии с насыщенным раствором углерода в железе [3]. Восстановление  $\text{FeO}$  становится возможным по мере диффузии объема шлака в пограничный слой ионов кислорода, движущихся навстречу сере. В силу значительно большего размера ( $r_{\text{S}} = 1,78$ , а  $r_{\text{O}} = 1,32 \text{ \AA}$ ) сера должна диффундировать медленнее кислорода. Поэтому дальнейшее развитие десульфурации определяется скоростью диффузионного переноса серы в объем шлака (вторая стадия). Наконец, вторая стадия представляет собой быстрый процесс восстановления железа.

Предположение о том, что лимитирующей стадией всего процесса десульфурации является молекулярный перенос пона серы в объем шлака из диффузионный слой, лежащий на границе с металлом, приводит к следующему кинетическому уравнению:

$$-\frac{d[\% \text{ S}]}{dt} = DA \left[ \frac{(\% \text{ S})_{\text{p}} - (\% \text{ S})_{\text{o}}}{\delta} \right], \quad (6)$$

где  $(\% \text{ S})_{\text{p}}$  — равновесная концентрация серы в шлаке на его границе с металлом;  $(\% \text{ S})_{\text{o}}$  — концентрация серы в объеме шлака.

Так как в рассматриваемом случае коэффициент распределения очень мал, то можно пренебречь величиной  $(\% \text{ S})_{\text{o}}$  по сравнению с  $(\% \text{ S})_{\text{p}}$ . В связи с этим уравнение (6) сведется к виду:

$$-\frac{d[\% \text{ S}]}{dt} = \frac{DA(\% \text{ S})_{\text{p}}}{\delta}. \quad (7)$$

Ввиду того что при равновесии  $(\% \text{ S})_{\text{p}} = k[\% \text{ S}]$ , то

$$-\frac{d[\% \text{ S}]}{dt} = \frac{kDA[\% \text{ S}]}{\delta}. \quad (8)$$

В соответствии с этим уравнением скорость реакции должна быть при независимости величин  $k$ ,  $D$ ,  $A$  и  $\delta$  от  $[\% \text{ S}]$  быть пропорциональна концентрации серы в металле. Это наблюдалось в опытах, проводившихся при относительно низких температурах. При более высоких температурах скорость десульфурации подчинялась уравнению с дробным показателем порядка реакции, большим единицы.

Объяснение этого явления можно получить, приняв, что с ростом температуры происходит изменение условий перемешивания жидкого шлака действующими на границе его раздела с металлом пузырьками окиси углерода.

При повышении температуры растет количество и объем выделяющейся окиси углерода и уменьшается вязкость шлака.

В связи с этим изменяется эффективная толщина диффузионного слоя. В соответствии с уравнением:

$$\delta = \frac{m}{v}, \quad (9)$$

где  $m$  — коэффициент пропорциональности,  $v$  — скорость движения жидкости и  $\delta$  — величина, зависящая от степени турбулентности течения. Естественно, что менее вязкий шлак при прочих равных условиях будет иметь в более турбулентном состоянии.

Количество выделяющейся из чугуна окиси углерода эквивалентно

количеству перешедшей в шлак серы в соответствии с итоговым стехиометрическим уравнением:



Поэтому можно принять, что скорость движения шлака пропорциональна скорости выделения окиси углерода, которая, в свою очередь, пропорциональна концентрации серы в металле. Принимая это во внимание, подставляя вместо  $v = k' [\% \text{S}]$ , получим

$$\frac{d [\% \text{S}]}{dt} = -k'' [\% \text{S}]^{1+1} \quad (10)$$

Из (10) следует, что изменение условий движения шлака может привести к изменению экспериментально определяемого порядка реакции. Можно сделать предположение о том, что в рассматриваемом случае

меняется от 0 до 1. При относительно низких температурах, когда вязкость шлака велика, выделение пузырьков газа не нарушает существенным образом молекулярного характера переноса серы в диффузионном слое. Иными словами,  $l = 0$ , и кинетика процесса подчиняется мономолекулярному закону. По мере повышения температуры величина  $l$  растет. По этой причине наблюдаемый порядок реакции становится дробным, как это и наблюдалось в описанных выше опытах. Таким образом, основная идея предлагаемого объяснения механизма процесса десульфурации заключается в том,

что скорость последнего определяется диффузией серы в шлаке в условиях турбулентного перемешивания пузырьками выделяющейся окиси углерода. В пользу таких диффузионных представлений говорят и результаты наших опытов, в которых было зафиксировано наличие градиента концентрации серы в шлаке. Это было осуществлено путем радиографирования вертикального разреза слоя шлака, быстро охлаждаемого на поверхности металла.

Из приведенной на рис. 8 радиографии ясно видно наличие повышенной радиоактивности на нижней поверхности шлака, соприкасавшейся с металлом. К этому же выводу можно прийти и непосредственно из рассмотрения шлифа шлака, который в основной массе имеет зеленоватый цвет. Темнозеленый слой расположен вблизи нижней поверхности шлака и соответствует более почерневшей полоске на радиографии. Таким образом наибольшая концентрация серы соответствует повышенной концентрации ионов железа в шлаке.

О том, что сера переходит в шлак вместе с железом, свидетельствуют и наши наблюдения за цветом проб шлака, отбравшихся по ходу плавки. Вначале шлак имел зеленоватый цвет, затем через бурый, черный, коричневый и желтый переходил в почти белый.

Изложенные представления позволяют подойти к объяснению влияния различных факторов на кинетику десульфурации.

Элементы-раскислители, как, например, алюминий, кремний, марганец, снижают концентрацию закиси железа на поверхности диффузионного слоя шлака. Вследствие этого в нем возрастает равновесная концентрация серы и соответственно увеличивается градиент ее концентрации по сравнению с нелегированным чугуном. Поэтому при прочих равных условиях должна возрасти и скорость десульфурации, что и наблюдалось в ряде случаев [13]. Однако проведенные в настоящей работе опыты показывают, что в известных условиях присутствие элементов-раскислителей может и не ускорять десульфурации. Повидимому, это обусловлено тем,



продукты раскисления, например кремнезем, изменяют вязкость диффузионного слоя шлака и уменьшают его основность. В случае, если состав шлака таков, что падение основности сопровождается уменьшением вязкости, то отрицательное влияние кремнезема может не проявиться. С другой стороны, если шлак содержит кремнезем, то его влияние на кинетику десульфурации должно зависеть от того, присутствует или нет кремний в металле. В последнем случае кремнезем является окислителем и может таким образом затормозить развитие десульфурации. В случае, если в металле содержится кремний и его концентрация превышает равновесную с кремнеземом шлака данного состава, то  $\text{SiO}_2$  не будет влиять на процесс десульфурации. Этим и может быть объяснено наблюдавшееся [13] значительное ускорение десульфурации шлаками системы  $\text{CaO} - \text{Al}_2\text{O}_3 - \text{SiO}_2$  в присутствии кремния по сравнению с нелегированным чугуном.

Подобное же влияние оказывают, как это следует из опытов, и другие окислители, как, например, алюминий и марганец. При этом чем энергичнее раскислитель, тем больше он увеличивает скорость десульфурации.

При совместном присутствии в чугуне кремния и марганца, как это видно из наших опытов, наблюдается только ускоряющее влияние этих элементов на процесс десульфурации. Повидимому, это обусловлено тем, что в диффузионный слой шлака в результате реакции одновременно переходят и кремнезем, и закись марганца, образующие легкоплавкую смесь, понижающую вязкость шлака. Это указывает, что важными условиями ускорения процесса (наряду с усилением перемешивания шлака) является наличие элементов-восстановителей в чугуне и уменьшение вязкости диффузионного слоя шлака при переходе в него продуктов раскисления. Из сказанного следует, что кремний и марганец, растворенные в чугуне, особенно при их совместном присутствии, нельзя считать элементами, замедляющими процесс очищения металла от серы. Наоборот, в известных условиях они могут существенно ускорять десульфурацию.

### ВЫВОДЫ

1. Изучена скорость десульфурации чугуна шлаком системы  $\text{CaO} - \text{Al}_2\text{O}_3$  при различных температурах в зависимости от концентраций в металле серы, кремния и марганца.

2. Найдено, что скорость десульфурации пропорциональна концентрации серы в чугуне в степени, зависящей от температуры. При относительно низких температурах показатель степени близок к единице, и реакция протекает по мономолекулярному закону. При более высоких температурах порядок реакции становится дробным и стремится к значению два.

Институт металловедения  
и физики металлов  
Москва

Поступила  
9. II. 1955

### ЛИТЕРАТУРА

1. A. Norro a. S. Lundquist, Jerncont. Ann, 130 (3), 118, 1946.
2. R. Rocca, N. Grant a. J. Chipman, Journ. of Metals, 4, 319, 1951.
3. G. Hatch a. J. Chipman, Journ. of Metals, 1 (4), 274, 1949.
4. В. А. Киреев, Курс физической химии, Госхимиздат, 1951.
5. В. Г. Левич, Физико-химическая гидродинамика, Изд-во АН СССР, 1952.
6. И. С. Куликов и А. А. Жуховицкий, Сборник трудов МИС, 32, 54, 1954.
7. G. Derge a. C. Birchenal, Journ. of Metals, 12, 1648, 1953.
8. K. Towers, M. Paris a. J. Chipman, Journ. of Metals, 11, 1455, 1953.
9. Lo Ching Chang a. K. Goldman, Met. Technology, 6, т. II, 2367, 1948.
10. И. А. Сосолов, Чугуны, доменные шлаки и расчет шихт, ОНТИ, 1936.
11. В. Г. Воскобойников, Поведение серы при восстановительной плавке. Труды ЦНИИЧМ, вып. 1, Металлургиздат, 1948.
12. G. Derge, W. Philbrook, Journ. of Metals, 9, 1111, 1950.
13. K. Goldman, G. Derge, W. Philbrook, Journ. of Metals 6 (5), 534, 1954.
14. О. А. Есин и А. И. Окунев, Изв. АН СССР, ОТН, 10, 1472, 1952.
15. О. А. Есин и Л. К. Гаврилов, Изв. АН СССР, ОТН, 8, 1234, 1951.
16. N. Grant, U. Kalling a. J. Chipman, Journ. of Metals, 8, 666, 1951.
17. N. Grant, O. Troili a. J. Chipman, Journ. of Metals, 8, 1672, 1951.



## ИЗУЧЕНИЕ ХЛОРИДНЫХ КОМПЛЕКСОВ КАДМИЯ ПРИ ПОМОЩИ АНИОНИТОВ

*В. В. Фолин, Л. Н. Федотова, В. В. Синьковский  
и М. А. Андреева*

Имеются многочисленные работы, посвященные исследованию комплексных соединений при помощи катионитов. Соответствующие методы основаны на применении к обмену катионов закона действующих масс.

Работами Крауса и Мура [1—3] и других [4,5] показана возможность качественного доказательства существования в растворах комплексных анионов различных металлов при помощи анионов. Однако, в отличие от катионитов, почти нет работ, в которых аниониты использовались бы для определения координационного числа и константы диссоциации комплексного иона. Это вызвано, повидимому, сомнением в возможности приложения к анионному обмену закона действующих масс [6,7], хотя некоторые авторы пользовались этим законом для характеристики равновесия при анионном обмене [8,9]. Только в работе [1] указывается на возможность определения константы диссоциации при помощи анионитов в динамических условиях.

Применение закона действующих масс к анионному обмену в статических условиях было убедительно показано в работах Б. П. Никольского с сотрудниками [10,11], установивших, что изотерма анионного обмена имеет тот же вид, что и катионного. Поэтому нами сделана попытка исследования комплексных соединений при помощи анионитов в статических условиях. В качестве объекта для проверки предлагаемого метода были взяты хлоридные комплексы кадмия, многократно изучавшиеся различными методами. Обзор работ по этим комплексам до 1941 г. дан Леденом [12], позже были опубликованы работы Кинга [13], И. А. Коршунова с сотрудниками [14], Эриксона [15], Вандерзее и Даусона [16] и других [17—19]. Получены чрезвычайно противоречивые данные. Некоторые авторы [14,19] приходят к выводу о существовании ионов  $\text{CdCl}_6^{4-}$ . Например, И. А. Коршунов [14] нашел, что в растворе хлористого натрия с концентрацией до 4 моль/л образуются ионы  $\text{CdCl}_3^-$ ,  $\text{CdCl}_4^{2-}$  и  $\text{CdCl}_6^{4-}$ . Вместе с тем А. М. Васильев и другие [19], пользуясь тем же полярографическим методом, нашли в этих условиях только  $\text{CdCl}^+$ ,  $\text{CdCl}_2$  и полагают, что ион  $\text{CdCl}_6^{4-}$  существует в растворах хлористого калия с концентрацией последнего от 1,6 до 4 моль/л. Повидимому, лучшими являются результаты Ледена [12], Кинга [13], Эриксона [15] и Вандерзее и Даусона [16], которые, пользуясь различными методами, нашли, что при ионной силе растворов, равной 3, а концентрации хлорида до 1,5 моль/л, существуют только ионы  $\text{CdCl}^+$ ,  $\text{CdCl}_2$  и  $\text{CdCl}_3^-$ . Постоянная ионная сила поддерживалась путем добавления к раствору хлоридов перхлората натрия.

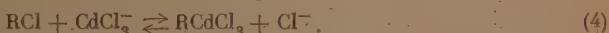
Этими же авторами были получены довольно близкие значения констант стойкости этих ионов, особенно для двух первых (табл. 1). Поэтому можно признать удовлетворительными константы, полученные Вандерзее и Даусоном при других ионных силах.

Таблица 1

Константы стойкости ионов  $\text{CdCl}^+$ ,  $\text{CdCl}_2$ ,  $\text{CdCl}_3^-$ 

| Ионная сила | $\beta'_1$ | $\beta'_2$ | $\beta'_3$ | Литература |
|-------------|------------|------------|------------|------------|
| 3           | 38,5       | 170        | 260        | [12]       |
| 3           | 35         | 115+5      | 290+3      | [15]       |
| 3           | 34,8       | 160        | 195        | [16]       |
| 2           | 26,5       | 89         | 61         |            |
| 1           | 22,3       | 60         | 26         |            |

Леден [4] показал что, из перхлоратных растворов кадмий не поглощается анионитами, что объясняется отсутствием комплексных анионов, удерживающих металл. Из растворов хлоридов кадмий будет поглощаться в виде иона  $\text{CdCl}_3^-$ . Поэтому реакции, происходящие в растворе, например, хлористого кадмия, находящегося в соприкосновении с анионитом, могут быть представлены уравнениями:



В последнем уравнении  $\text{RCl}$  — анионит в хлоридной форме.

Для равновесия можно записать:

$$\beta'_1 = \frac{[\text{CdCl}^+]}{[\text{Cd}^{2+}][\text{Cl}^-]}, \quad (5)$$

$$\beta'_2 = \frac{[\text{CdCl}_2]}{[\text{Cd}^{2+}][\text{Cl}^-]^2}, \quad (6)$$

$$\beta'_3 = \frac{[\text{CdCl}_3^-]}{[\text{Cd}^{2+}][\text{Cl}^-]^3}, \quad (7)$$

$$K' = \frac{[\text{RCdCl}_3][\text{Cl}^-]}{[\text{RCl}][\text{CdCl}_3^-]}, \quad (8)$$

$\beta'_1$ ,  $\beta'_2$ ,  $\beta'_3$  и  $K'$  — константы комплексообразования и анионного обмена, выраженные через концентрации веществ. Концентрации ионов в смоле выражаются числом молей на 1 кг смолы. Если коэффициенты активности ионов  $\text{Cd}^{2+}$ ,  $\text{CdCl}^+$ ,  $\text{CdCl}_2$ ,  $\text{CdCl}_3^-$  и  $\text{Cl}^-$  обозначают через  $\gamma_0$ ,  $\gamma_1$ ,  $\gamma_2$ ,  $\gamma_3$  и  $\gamma$ , то, пренебрегая коэффициентами активности в смоле, имеем

$$\beta_1 = \beta'_1 \frac{\gamma_0 \gamma}{\gamma_1}, \quad (9)$$

$$\beta_2 = \beta'_2 \frac{\gamma_0 \gamma^2}{\gamma_2}, \quad (10)$$

$$\beta_3 = \beta'_3 \frac{\gamma_0 \gamma^3}{\gamma_3}, \quad (11)$$

$$K' = K \frac{\gamma_3}{\gamma}, \quad (12)$$

$\beta_1$ ,  $\beta_2$ ,  $\beta_3$  и  $K$  — константы равновесия, выраженные через активности.

Обозначив аналитическую концентрацию кадмия в равновесном растворе через  $c_{Cd}$ , получаем, что

$$c_{Cd} = [Cd^{2+}] + [CdCl^+] + [CdCl_2] + [CdCl_3^-]. \quad (13)$$

Последнее выражение при помощи уравнений (5), (6) и (7) может быть записано в виде:

$$c_{Cd} = [Cd^{2+}] (1 + \beta'_1 [Cl] + \beta'_2 [Cl]^2 + \beta'_3 [Cl]^3). \quad (14)$$

Из уравнений (7), (8) и (14) легко найти, что

$$\frac{[RCdCl_3]}{c_{Cd}} = \frac{K' \beta'_3 [Cl]^{-3} [RCl]}{1 + \beta'_1 [Cl] + \beta'_2 [Cl]^2 + \beta'_3 [Cl]^3}. \quad (15)$$

Введем коэффициент распределения

$$K_d = \frac{[RCdCl_3]}{c_{Cd}}. \quad (16)$$

Он может быть легко найден экспериментально, так как

$$K_d = \frac{(c_{Cd}^0 - c_{Cd}) V \cdot 1000}{c_{Cd} m}, \quad (17)$$

где  $c_{Cd}^0$  — аналитическая концентрация кадмия в исходном растворе,  $m$  — вес смолы в граммах,  $V$  — объем раствора в литрах.

Некоторые авторы [20] отмечают, что для катионов необходимо вводить поправку на поглощение воды ионитом, но мы полагаем, что этой поправкой можно пренебречь, если объем раствора велик по сравнению с весом смолы.

Уравнение (14) можно упростить, если применить такие малые концентрации кадмия, чтобы можно было пренебречь изменением концентрации хлорионов в исходном растворе в связи с комплексообразованием, а также в смоле при замещении хлора на комплексный анион. В этом случае  $[RCl]$  — постоянная величина (равная емкости смолы), так же как коэффициенты активности в смоле. Если в растворе поддерживается постоянная ионная сила, то

$$K_d = \frac{K^* [Cl]^{-3}}{1 + \beta'_1 [Cl] + \beta'_2 [Cl]^2 + \beta'_3 [Cl]^3}, \quad (18)$$

где

$$K^* = K' \beta'_3 [RCl] \quad (19)$$

— постоянная величина.

К сожалению, в работе с анионитами трудно осуществить изменение концентрации аниона (в данном случае хлора), сохраняя постоянную ионную силу, так как должен быть один анион, который содержится в смоле и участвует в комплексообразовании. В случае хлоридов это можно сделать, применяя смесь хлористого калия с каким-либо хлоридом многовалентного металла, но последний не должен давать хлоридных комплексов, что маловероятно.

Для проверки выведенного уравнения (18) нами изучалось распределение кадмия между анионитом НО и растворами хлористого калия. Концентрация кадмия в исходном растворе составляла  $(4-6) \cdot 10^{-3}$  моль/л. Навеска смолы, обычно в 1 г, взбалтывалась с 50 мл раствора в течение нескольких суток (от 1 до 4). Раствор отделялся от смолы, и в нем, так же как в исходном, полярографически определялась концентрация кадмия. Определение поглощения производилось сравнением высот волн для исходного и равновесного растворов. Было найдено, что изменение вре-

ли взаимодействия от 1 до 4 суток практически не меняет количества поглощенного кадмия, что рассматривалось как доказательство достижения равновесия при обмене.

Опыты производились с 0,8; 1,0 и 1,2-молярными растворами хлоридного калия, для которых, как мы полагали, можно пренебречь влиянием изменения ионной силы. Доля ионов  $\text{CdCl}_2^-$  от общей суммы кадмия в растворе при этих же концентрациях меняется от 18,8 до 29 и 28,6%, если воспользоваться константами, найденными Вандер-Вейлом и Даусоном при ионной силе, равной единице.

При подстановке этих констант и выбранных концентраций хлоридного калия в уравнении (18) член  $\frac{[\text{Cl}^-]^2}{1 + \beta'_1[\text{Cl}^-] + \beta'_2[\text{Cl}^-]^2 + \beta'_3[\text{Cl}^-]^3}$  оказывается практически постоянной величиной, равной  $9 \cdot 10^{-3}$ . Следовательно, постоянным должен быть коэффициент распределения  $K_d$ .

Результаты опытов приведены в табл. 2. Нетрудно показать, что относительная максимальная погрешность для  $K_d$ , найденная из предположения, что эта величина для полиграфического определения кадмия

Таблица 2

Коэффициент распределения кадмия между раствором KCl и анионитом НО в хлоридной форме

| Конц. KCl<br>моль/л | $c_{\text{Cd}}^0 \cdot 10^3$ | $c_{\text{Cd}} \cdot 10^3$ | $K_d$ | Среднее значение $K_d$ |
|---------------------|------------------------------|----------------------------|-------|------------------------|
| 0,8                 | 5,44                         | 3,42                       | 29,5  | 28,8 $\pm$ 0,9**       |
|                     | 5,48                         | 3,49                       | 28,5  |                        |
|                     | 5,10                         | 3,24                       | 28,7  |                        |
|                     | 5,2                          | 3,22                       | 28,3  |                        |
| 1,0                 | 5,67                         | 3,51                       | 30,8  | 28,9 $\pm$ 2,3         |
|                     | 5,25                         | 3,45                       | 26,5  |                        |
|                     | 6,37                         | 3,87                       | 32,4  |                        |
|                     | 5,20                         | 3,38                       | 26,9  |                        |
|                     | 5,03                         | 3,34                       | 28,3  |                        |
|                     | 5,20                         | 3,30                       | 28,8  |                        |
| 1,2                 | 5,63                         | 3,47                       | 31,1  | 29,2 $\pm$ 2,5         |
|                     | 6,29                         | 3,83                       | 32,2  |                        |
|                     | 5,20                         | 3,33                       | 28,1  |                        |
|                     | 5,10                         | 3,36                       | 26,0  |                        |
|                     | 5,20                         | 3,30                       | 28,8  |                        |
| 2,0                 | 4,85                         | 3,32                       | 24,6  | 23,2 $\pm$ 1,2         |
|                     | 4,96                         | 3,43                       | 23,0  |                        |
|                     | 4,96*                        | 2,66                       | 22,1  |                        |
| 0,5                 | 4,74                         | 3,15                       | 25,3  |                        |

\* Во всех опытах, кроме отмеченного\*, на 1 г смолы бралось 50 мл раствора. В отмеченном взято 25 мл.

\*\* Приведены средние квадратные погрешности  $\sigma = \sqrt{\frac{\sum (x - \bar{x})^2}{n - 1}}$

на 3%, составляет 10—12%, если пренебречь погрешностями в определении других величин. Емкость анионита была 2,5 г-экв./кг, так количество поглощенных ионов  $\text{CdCl}_2^-$  не превышало 4% емкости.

Как видно из табл. 2, средние коэффициенты распределения в указанных условиях остаются удовлетворительно постоянными, что хорошо соответствует теории.

Для сравнения были произведены опыты при концентрации хлоридного калия 0,5 и 2,0 моль/л, показавшие изменение коэффициентов распределения.



Имея четыре опыта и пренебрегая изменением коэффициентов активности, можно найти четыре неизвестных величины —  $\beta'_1, \beta'_2, \beta'_3$  и  $K'$ , входящие в уравнение (18). Однако, как видно из табл. 1, изменение ионной силы вызывает значительное изменение констант, особенно  $\beta'_2$  и  $\beta'_3$ , а кроме того, в данном частном случае, близкие значения  $K_d$  приводят к очень сильному влиянию погрешности в их определении, что не позволяет воспользоваться этим методом.

Уравнение (18) можно упростить, приняв, что концентрацией ионов кадмия можно пренебречь и в растворе находятся только ионы  $\text{CdCl}^+$ ,  $\text{CdCl}_2$ ,  $\text{CdCl}_3^-$  с константами устойчивости

$$\alpha_1 = \frac{[\text{CdCl}_2]}{[\text{CdCl}^+][\text{Cl}^-]} \quad \text{и} \quad \alpha_2 = \frac{[\text{CdCl}_3^-]}{[\text{CdCl}^+][\text{Cl}^-]^2}.$$

В этом случае

$$K_d = \frac{K^*[\text{Cl}^-]}{1 + \alpha_1[\text{Cl}^-] + \alpha_2[\text{Cl}^-]^2}, \quad (20)$$

где  $\alpha_1 = \beta'_2/\beta'_1$  и  $\alpha_2 = \beta'_3/\beta'_1$ . Три произведенных опыта позволяют искать  $\alpha_1, \alpha_2$  и  $K^*$ , но близкие значения  $K_d$  приводят к тому, что в уравнениях, которые получаются после исключения  $K^*$ , коэффициент, остроящийся при  $\alpha_1$ , меньше погрешности в его определении. Приняв в связи с этим, что этот коэффициент равен нулю и член, содержащий  $\alpha_1$ , исключается из получающегося уравнения, можно найти  $\alpha_2 = 1 \pm 0,25$ , что хорошо соответствует результатам Вандерзее и Даусона.

Из уравнения (11), (12) и (18) имеем, что

$$\frac{K'_d}{K''_d} = \frac{\gamma'_0 \gamma'^2 A_1}{\gamma''_0 \gamma''^2 A_2}, \quad (21)$$

где штрихи ' и '' указывают разные опыты (при разнóй ионной силе), а  $A_1$  и  $A_2$  — это члены  $\frac{[\text{Cl}^-]^2}{1 + \beta'_1[\text{Cl}^-] + \beta'_2[\text{Cl}^-]^2 + \beta'_3[\text{Cl}^-]^3}$  для каждого опыта с константами, соответствующими его ионной силе.

Из работы Вандерзее и Даусона [16] следует, что при концентрации  $\text{KCl}$ , равной единице,  $A_1 = 9 \cdot 10^{-3}$ , а при концентрации, равной двум,  $A_2 = 4,5 \cdot 10^{-3}$ .

Таким образом,  $\frac{K'_d}{K''_d} = 2 \frac{\gamma'_0 \gamma'^2}{\gamma''_0 \gamma''^2}$ . Взяв значения  $K_d$ , найденные нами, получим, что  $\frac{\gamma'_0 \gamma'^2}{\gamma''_0 \gamma''^2} = \frac{29}{23 \cdot 2} = 0,67$ . Это является реальным, так как коэффициенты активности ионов хлора и кадмия убывают при увеличении ионной силы.

## ВЫВОДЫ

Описан метод определения констант стойкости комплексных анионов при помощи анионов, если в растворе находится один комплексный анион и комплексные катионы и молекулы, основанный на применении к анионному обмену закона действующих масс. Показано, что распределение кадмия между анионитом и раствором хлористого калия при ионной силе, близкой к единице, соответствует выведенному уравнению, если воспользоваться приведенными в литературе константами стойкости комплексных ионов кадмия. Затруднением, по сравнению с примененными

той же цели катионитами, является сложность сохранения постоянной силы при изменении концентрации ионов, участвующих в комплексеобразовании.

Поступила  
25. II. 1955

#### ЛИТЕРАТУРА

- K. A. Kraus, G. E. Moore, *Journ. Amer. Chem. Soc.*, **73**, 9, 13, 1951.  
K. A. Kraus, G. E. Moore, *Journ. Amer. Chem. Soc.*, **75**, 1457, 1460, 1953.  
K. A. Kraus, G. E. Moore, *Journ. Amer. Chem. Soc.*, **73**, 2900, 1951.  
I. Leden, *Svensk. Kemisk Tidskrift*, **64**, 145, 1952.  
E. H. Huffman, G. M. Idding, R. C. Lilly, *Journ. Amer. Chem. Soc.*, **73**, 4474, 1951.  
Р. Кунин, Р. Майерс, Ионообменные смолы, ИИЛ, Москва, 1952, гл. VI, стр. 8.  
В. Бауман, Сборник статей «Ионный обмен», ИИЛ, Москва, 1951, стр. 49.  
R. Kunin, R. J. Myers, *Journ. Amer. Chem. Soc.*, **69**, 2874, 1937.  
R. Kunin, R. J. Myers, *Journ. Phys. Chem.*, **51**, 1111, 1947.  
Б. П. Никольский, В. И. Парамонова, Уч. зап. Ленингр. гос. ун-та, № 163, серия хим. наук, вып. 12, 112, 1953.  
Б. П. Никольский, В. И. Парамонова, Н. Ф. Боситова, Уч. зап. Ленингр. гос. ун-та, № 163, 121, 1953.  
I. Leden, *Zs. phys. Chem.*, **188A**, 160, 1941.  
E. L. King, *Journ. Amer. Chem. Soc.*, **71**, 419, 1949.  
И. А. Коршунов, Н. И. Малютина, О. М. Балабанов, Журн. общ. химии, **21**, 620, 1951.  
L. Erikson, *Acta Chem. Scand.*, **7**, 1146, 1953.  
C. E. Vanderzee, H. H. Dawson, *Journ. Amer. Chem. Soc.*, **75**, 5659, 1953.  
Н. Ф. Ермоленко, А. И. Маккавеева, Журн. общ. химии, **22**, 1741, 1952.  
P. M. Stocchi, *Gazz. Chim. Ital.*, **80**, 234, 1950.  
А. М. Васильев, В. И. Проухина, Журн. анал. химии, **6**, 218, 1951.  
S. Fronaeus, *Acta Chem. Scand.*, **5**, 859, 1951.
-

КРЕКИНГ *n*-ОКТАНА НА АЛЮМОСИЛИКАТНОМ КАТАЛИЗАТОРЕ

Т. И. Андрианова

История каталитического крекинга свидетельствует, что практика далеко опередила теорию. Несмотря на то, что процесс каталитического крекинга является важнейшим техническим процессом, до сих пор еще недостаточно хорошо изучен механизм первичного акта взаимодействия крекируемых углеводородов с катализатором, а также механизм последующих вторичных реакций. Объясняется это чрезвычайной сложностью процесса — наличием большого числа одновременно протекающих параллельных и последовательных реакций.

В литературе имеется большое число работ, посвященных изучению различных реакций углеводородов на алюмосиликатах. Изложение всех этих работ не входит в нашу задачу. Мы упомянем только некоторые из них, имеющие самое непосредственное отношение к нашей теме — изучению вторичных реакций, протекающих при крекинге парафинового углеводорода на алюмосиликате. Наиболее ранние сведения о крекинге некоторых индивидуальных парафинов содержатся в работе [1]. Исследование каталитического крекинга индивидуальных углеводородов различных классов (в том числе парафинов от  $C_4$  по  $C_{24}$ ) на алюмосиликатных катализаторах было проведено в работе [2]. Однако изучение крекинга каждого углеводорода было проведено только при одном времени контакта и 2 — 3 температурах. Крекинг *n*-бутана на алюмосиликате и *n*-гептана и метилциклогексана изучался в работах [3] и [4].

В последнее время в нашей лаборатории стал применяться метод меченых атомов, позволяющий изучать механизм вторичных реакций крекинга углеводородов [5].

В данной работе изучался характер реакций, протекающих при крекинге *n*-октана на алюмосиликате при помощи кинетического метода и метода меченых атомов.

Крекинг *n*-октана проводился в поточной установке при атмосферном давлении. Для условного разделения первичных и вторичных реакций применялся метод Шнейдера [6] — отнесения числа молей продуктов на 100 молей разложенного углеводорода и экстраполяции к нулевому разложению. Характер вторичных реакций изучался также и радиохимическим методом путем введения в зону реакции радиоактивного компонента, являющегося продуктом первичного распада *n*-октана.

Для поставленной задачи представлялось целесообразным расширить диапазон изменения времени контакта углеводорода с катализатором. Это достигалось, с одной стороны, изменением скорости подачи *n*-октана при постоянном слое катализатора и, с другой стороны, изменением слоя катализатора при постоянной скорости подачи *n*-октана. Эти два приема не являются вполне идентичными, и когда нет надобности в очень сильном расширении диапазона времени контакта, следует применять только первый из них.

Для получения широкого диапазона скоростей в работе использовались оба метода, в результате чего время контакта изменялось в 30,6 раз. Крекинг *n*-октана проводился при 500°, при этой температуре, как было установлено специальными опытами, термический крекинг не играет существенной роли. Полученные результаты представлены в табл. 1.

Таблица 1

Опыты проводились при температуре 500°

| н-октана | % превращения<br>н-октана | Выход продуктов в молях на 100 молей разложенного н-октана |                 |                    |       |  |       |                    |       |                    |       |                |     | Колич. молей про-<br>дуктов на 100 молей<br>разлож. н-октана |     |
|----------|---------------------------|--|-----------------|--------------------|-------|--|-------|--------------------|-------|--------------------|-------|----------------|-----|--|-----|
|          |                           | Н <sub>2</sub>   | СН <sub>4</sub> | Фр. С <sub>2</sub> |       | Фр. С <sub>3</sub>   |       | Фр. С <sub>4</sub> |       | Фр. С <sub>5</sub> |       | Кокс           |     |  |     |
|          |                           |  |                 | пред.              | непр. | пред.  | непр. | пред.              | непр. | пред.              | непр. | Н <sub>2</sub> | С   |  |     |
| 4        | 3,5                       | 10   | 27              | 10                 | 15    | (Определя-<br>лось суммар-<br>но фр.<br>С <sub>3</sub> +фр. С <sub>4</sub><br>пред: 69;<br>непр. 51) |       |                    |       | 57                 | 8     | 13             | 32  | 247  |     |
| 5        | 7                         | 12   | 45              | 34                 | 16    | 28   | 28    | 44                 | 3     | 39                 | 5     | Не опр.        | 14  | 69   | 254 |
| 3        | 12,3                      | 13   | 40              | 13                 | 18    | 41   | 34    | 56                 | 12    | 24                 | 3     |                | 69  | 254  |     |
| 3        | 31                        | 22   | 63              | 8                  | 8     | 61   | 14    | 54                 | 6     | 25                 | 2     |                | 28  | 96   | 275 |
| 43       | 51,7                      | 20   | 41              | 7                  | 7     | 67   | 9     | 60                 | 4     | 30                 | 1     | 40             | 80  | 246  |     |
| 39       | 63,5                      | 19   | 34              | 19                 | 9     | 68   | 9     | 65                 | 3     | 17                 | 1     | 45             | 107 | 244  |     |

В табл. 1 выход продуктов крекинга н-октана выражен в молях на 100 молей разложенного н-октана.

Как видно из таблицы, с уменьшением объемной скорости и соответственно с увеличением времени контакта содержание водорода в продуктах крекинга увеличивалось; водород определялся сжиганием над накаленной платиновой проволокой; вследствие малого абсолютного количества водорода в смеси точность анализа невелика.

Содержание метана сильно колебалось, но определенной тенденции к росту или уменьшению не имелось; содержание фракции С<sub>2</sub> невелико; выброс объясняется трудностью выделения небольшого объема фракции из смеси углеводородов. Фракции С<sub>3</sub> и С<sub>4</sub> составляли значительную долю продуктов крекинга, причем с увеличением времени контакта увеличивалась предельная и уменьшалась неопредельная часть каждой фракции, также относится и к фракции С<sub>5</sub>, что указывает на наличие вторичных реакций гидрирования неопредельных углеводородов на алюмосиликате. Таким образом, по составу продуктов можно сделать предположение, что при крекинге н-октана возможен первичный разрыв всех связей С—С, так преимущественно разрыв молекулы происходит ближе к середине, что указывает преобладание в продуктах осколков С<sub>3</sub>—С<sub>5</sub>.

Таблица 2

Опыты проводились при 500°

| Объемная скорость н-октана | Слой катализатора в см <sup>3</sup> | Продолжительность опыта в мин. | % превращения н-октана | Скорость реакции. Сумма продуктов мг | Количество кокса мг            |
|----------------------------|-------------------------------------|--------------------------------|------------------------|--------------------------------------|--------------------------------|
|                            |                                     |                                |                        | час 1 см <sup>3</sup> катализ.       | час 1 см <sup>3</sup> катализ. |
| 2,24                       | 50                                  | 74,5                           | 3,5                    | 56                                   | 3,34                           |
| 0,76                       | 100                                 | 42                             | 7                      | 37,6                                 | 2,84                           |
| 0,50                       | 100                                 | 60                             | 12,3                   | 40,3                                 | —                              |
| 0,08                       | 100                                 | 90                             | 31                     | 20,8                                 | 2,00                           |
| 0,042                      | 200                                 | 90                             | 51,7                   | 16,9                                 | 1,55                           |
| 0,032                      | 200                                 | 90                             | 63,6                   | 18,2                                 | 2,19                           |



В табл. 2 приведены некоторые другие данные этой серии опытов, позволяющие судить об изменении скорости реакции и степени закоксованности катализатора в зависимости от объемной скорости н-октана (и соответственно от времени контакта).

Как видно из табл. 2, с уменьшением объемной скорости (в 57 раз скорость реакции, выраженная количеством продуктов реакции, полученных в час на единицу катализатора, уменьшалась примерно в три раза; при этом закоксованность катализатора, выраженная количеством кокса, полученным в час на единицу катализатора, не возрастала и, следовательно, не могла быть причиной указанного уменьшения скорости реакции; последнее, повидимому, может объясняться двумя другими возможными причинами: торможением продуктами реакции или влиянием диффузионных факторов.

Торможение скорости продуктами возможно потому, что концентрация их возрастала в 18 раз, если сравнивать первый и последний опыты. Однако не исключено также и влияние диффузии. В алюмосиликатах диаметр преобладающих пор составляет около 20—30 Å [7], и при крекинге высокомолекулярных углеводородов может создаваться затруднение для проникновения молекул в глубь пор.

Мы предполагаем, что работает не вся высокоразвитая поверхность алюмосиликата, а только наиболее доступная его поверхность. Катализатор проработавший в течение часа и с виду сильно закоксованный (совершенно черный), после тщательного истирания в ступке становится почти белого цвета, а это означает, что кокс занимает какую-то небольшую часть поверхности пор.

Для выяснения влияния диффузионных факторов на скорость процесса в условиях проведения данной серии опытов было поставлено несколько дополнительных опытов, в которых изменялась линейная скорость потока, при сохранении одинаковой объемной скорости, количества катализатора и соответственно времени контакта, а также глубины превращения, что достигалось изменением диаметра сосуда.

Полученные результаты приведены в табл. 3.

Таблица 3

Влияние линейной скорости потока на скорость крекинга н-октана при 500°;  
количество катализатора 40 см<sup>3</sup>

| № опытов | Время опыта в мин. | Диаметр сосуда в мм | Объемная скорость н-октана | Линейная скорость потока см/сек | Время контакта в сек. | % превращения н-октана | Скорость крекинга мг         |
|----------|--------------------|---------------------|----------------------------|---------------------------------|-----------------------|------------------------|------------------------------|
|          |                    |                     |                            |                                 |                       |                        | час 1 см <sup>3</sup> катал. |
| 36       | 90                 | 13,5                | 1,2                        | 8,7                             | 7,1                   | 10,9                   | 92,2                         |
| 40       | 92                 | 33                  | 1,22                       | 2,1                             | 7,1                   | 9,5                    | 80,5                         |
| 42       | 60                 | 13,5                | 0,95                       | 6,8                             | 6,7                   | 11,6                   | 77,5                         |
| 41       | 60                 | 33                  | 0,94                       | 1,7                             | 9,0                   | 13,6                   | 89,7                         |
| 43       | 60                 | 13,5                | 0,41                       | 3,2                             | 19,7                  | 27,6                   | 77,2                         |
| 44       | 60                 | 33                  | 0,44                       | 0,7                             | 21,8                  | 28,2                   | 70,8                         |

В табл. 3 в каждой паре сравниваемых опытов изменялся диаметр сосуда при сохранении примерно одинаковыми всех прочих условий. Это приводило к изменению линейной скорости потока. Для большего увеличения диапазона изменения линейной скорости проведены три пары опытов при различных объемных скоростях (так как в лабораторных условиях очень трудно сильно изменять диаметр сосуда), что дало изменение линейной скорости от 8,7 до 0,7 см/сек., т. е. в 12,5 раз.

Как видно из последнего столбца табл. 3, изменение линейной скорости потока в указанных пределах не оказывает существенного влияния на скорость процесса; колебания в выражении скорости реакции не имеют определенной закономерности и, по-видимому, объясняются ошибками опыта. Таким образом, из этих данных следует, что при столь малых линейных скоростях изменение их в указанном пределе не изменяет условий диффузии и заметно не отражается на скорости процесса. Влияние диффузии может иметь место, по-видимому, при значительно больших линейных скоростях\*. Следовательно, наблюдаемое нами ранее в опытах, представленных в табл. 1, уменьшение скорости крекинга н-октана при уменьшении объемной скорости, по-видимому, связано с торможением продуктами реакции. Из рассмотрения данных по крекингу н-октана на алюмосиликате можно сделать следующие выводы:

1. Основной реакцией при взаимодействии н-октана с алюмосиликатом, доступной кинетическому анализу, является разрыв связей C — C.
2. Как показывает состав и выход продуктов реакции, разрыв возможен по всем связям C — C, однако в большей мере молекула н-октана разлагается ближе к середине с образованием осколков C<sub>3</sub>, C<sub>4</sub>, C<sub>5</sub>.
3. С изменением времени контакта и глубины превращения существенно изменяется число молей продуктов, полученных на 100 молей разложенного н-октана. Это указывает на то, что преобладающими вторичными реакциями являются те, которые протекают без изменения числа молекул. К этим реакциям можно отнести гидрирование непредельных углеводородов, изомеризацию).
4. По кинетическим данным выявлены только некоторые вторичные процессы, а именно: гидрирование непредельных осколков молекул и вторичный крекинг более тяжелых осколков.
5. Установлено уменьшение скорости крекинга при уменьшении объемной скорости н-октана, что, по-видимому, связано с наличием торможения продуктами реакции.

Кинетическим методом удается выявить не все вторичные реакции, протекающие после разрыва молекулы углеводорода на части и десорбции продуктов в объем. Существенную помощь в исследовании вторичных реакций оказывает применение метода меченых атомов. В этой работе был применен этан, меченный C<sup>14</sup>, являющийся одним из первичных продуктов распада н-октана. Этан получался гидрированием ацетиленов [8, 9]. Он вводился в зону реакции вместе с крекируемым н-октаном и радиохимическим анализом устанавливался характер его превращений на алюмосиликате. Для того чтобы сделать вторичные реакции этана более ощутимыми, мы проводили опыт при малой объемной скорости н-октана — 0,11, при достаточно большом времени контакта 37,4 сек. и при парциальном давлении этана, примерно в 10 раз превышающем то давление этана, которое образуется при крекинге одного н-октана. Для опыта было взято миллимоля н-октана и 44,5 миллимоля этана с общей активностью  $\mu\text{Cu}$  и удельной — 1,93  $\mu\text{Cu}/\text{м-моль}$ .

Результаты опыта представлены в табл. 4. Как видно из таблицы, процент превращения н-октана составляет 50,6, а процент превращения радиоактивного этана — только 15,6.

Все продукты крекинга подвергались очистке от захвата радиоактивной примеси этана методом «экстракции», т. е. каждая фракция смешивалась с избытком нерадиоактивного этана и смесь подвергалась ректификации, при этом примесь радиоактивного этана удалялась из фракции вместе с нерадиоактивным этаном; операция очистки обычно повторялась дважды, после чего, как показали холостые опыты, радиоактивная примесь удалялась полностью. Остающаяся после двукратной очистки

\* Создать большой диапазон изменения линейной скорости в лабораторных условиях очень трудно, не нарушая постоянства всех прочих условий.

Таблица 4

Температура 500°; время контакта 37,4 сек.; объемная скорость н-октана 0,11

| % превращения<br>н-октана | % превращения<br>радиоактивн. этана | Выход продуктов в молях на 100 молей разложенного н-октана |                 |                    |       |                    |       |                    |       |                    |       |                |      | Код молей продуктов<br>на 100 молей разлож. |
|---------------------------|-------------------------------------|--|-----------------|--------------------|-------|--------------------|-------|--------------------|-------|--------------------|-------|----------------|------|---|
|                           |                                     | Н <sub>2</sub>   | СН <sub>4</sub> | Фр. С <sub>2</sub> |       | Фр. С <sub>3</sub> |       | Фр. С <sub>4</sub> |       | Фр. С <sub>5</sub> |       | Кокс           |      |   |
|                           |                                     |  |                 | пред.              | непр. | пред.              | непр. | пред.              | непр. | пред.              | непр. | Н <sub>2</sub> | С    |   |
| 50,6                      | 15,6                                | 8,1  | 35,4            | —                  | 17    | 51,4               | 25,1  | 42,2               | 5,6   | 32,7               | 1,5   | 25,6           | 84,5 | 234   |

радиоактивность во фракции представляла собой истинную радиоактивность данной фракции и являлась следствием вторичных реакций радиоактивного этана, введенного в зону реакции в начале опыта.

Распределение радиоактивности по фракциям в этом опыте показано в табл. 5.

Таблица 5

Распределение радиоактивности в продуктах крекинга н-октана в присутствии этана, меченного С<sup>14</sup>

| Продукты<br>крекинга<br>н-октана       | Радиоак-<br>тивность<br>до очистки<br>в $\mu\text{Cu}$ | Радиоактив-<br>ность после<br>2 очисток<br>в $\mu\text{Cu}$ | % от<br>суммарн. ра-<br>диоактивно-<br>сти продук-<br>тов | Удельная<br>радиоактив-<br>ность<br>$\mu\text{Cu}$<br>м-моль | Образовалось<br>из меченого<br>этана в % |      |
|--|--|---|---|--|--|------|
| $\text{C}_1$                           | 7,34   | 2,15  | 3,01  | 0,07   | 6,8                                      |      |
| $\text{C}_2$ {                         | пред.  | 46,37   | 46,37   | 1,17   | —  |      |
|  | непр.  | 4,58  | 4,58  | 1,18   | 46,5                                     |      |
| $\text{C}_3$ {                         | пред.  | 5,42  | 1,48  | 2,07   | 3,15                                     |      |
|  | непр.  |   | 1,15  | 0,21   | 0,69                                     |      |
| $\text{C}_4$ {                         | пред.  | 3,07  | 1,59  | 2,23   | 2,8                                      |      |
|  | непр.  |   | ~0  | ~0   | ~0                                       |      |
| $\text{C}_5$ {                         | пред.  | 1,33  | 0,86  | 1,21   | 0,11                                     | 1,68 |
| непр.                                  |  |   |   |  |  |      |
| $\text{C}_6 + \text{C}_7 + \text{C}_8$ | 2,84   | 0,33  | 0,46  | 0,01   | 0,14                                     |      |
| Кокс                                   | 0,34   | 0,34  | 0,48  | 0,01*  | 1,53                                     |      |

\* Удельная радиоактивность кокса рассчитана на миллимоль углерода.

Как видно, из табл. 5, наибольшей удельной радиоактивностью по сравнению с другими продуктами обладает этилен. Это указывает на то, что этилен образовался в значительной мере из радиоактивного этана. Процент превращения этана в этилен по радиоактивности соответствует 6,4, а общий процент превращения этана составляет 15,6.

По расчету равновесия реакции



превращение этана в этилен должно быть несколько меньше чем 6,4% при данной температуре (500°). Это расхождение может объясняться как ошибкой опыта, так и возможностью образования этилена из этана по

тому механизму. Из табл. 5 следует также, что доля участия радиоактивного этана в образовании других продуктов крекинга невелика. Причем предельных углеводородах каждой фракции общая и удельная радиоактивность больше, чем в непредельных. Наличие радиоактивности во фракциях с числом углеродных атомов больше двух можно объяснить реакциями синтеза, в которых участвует радиоактивный этан. В нашей работе совместно с другими авторами [5] по изучению крекинга н-гексана на алюмосиликате в присутствии этана, меченного  $C^{14}$ , для объяснения образования радиоактивных предельных углеводородов мы предложили реакцию деструктивного алкилирования этаном н-гексана и продуктов распада молекул н-гексана, например:



Видимо, аналогичные реакции имеют место и при крекинге н-октана в присутствии этана, меченного  $C^{14}$ .

Как было показано в работе [10], обмен углеродом в углеводородах в условиях крекинга на алюмосиликате практически не имеет места, поэтому наличие радиоактивного углерода во фракциях  $C_3$ ,  $C_4$ ,  $C_5$  нельзя объяснить обменом.

В заключение следует отметить, что данная работа не претендует на выяснение механизма крекинга углеводородов на алюмосиликате, как указывалось выше, эта задача очень сложна и не может быть решена в небольшой экспериментальной работе, она имела целью изучение только некоторых частных реакций, сопутствующих крекингу н-октана на алюмосиликате.

### ВЫВОДЫ

1. Этан на алюмосиликате ведет себя как мало реакционноспособное вещество.
2. Доля участия этана в образовании различных вторичных продуктов невелика, т. е. большая часть их образуется за счет крекинга н-октана. Этилен же примерно наполовину образуется из этана, однако общее количество его в реакционной смеси невелико по сравнению с другими компонентами.
3. Доля участия этана в образовании кокса соответствует только 1,5%.

Академия наук СССР  
Институт физической химии  
Москва

Поступила  
26.II.1955

### ЛИТЕРАТУРА

1. G. Egloff, J. C. Morrel, C. L. Thomas, H. S. Bloch, Jour. Amer. Chem. Soc., **61**, 3571, 1939.
2. B. S. Greensfelder and H. N. Voge, Ind. Eng. Chem., **37**, 514, 1945.
3. R. C. Hansford, Ind. Eng. Chem., **39**, 849, 1947.
4. Б. Т. Абаева, Диссертация, ЦИАТИМ, М., 1949.
5. Е. А. Андреев, Т. И. Андрианова, Б. В. Клименок, О. В. Крылов, С. З. Рогинский, М. М. Сахаров, ДАН, **86**, 781, 1954.
6. V. Schneider and K. Frolich, Ind. Eng. Chem., **23**, 1405, 1931.
7. А. В. Агафонов, Алюмосиликатные катализаторы, Гостехиздат, 1952.
8. Н. П. Кейер, Б. В. Клименок, Г. В. Исагуляни, ДАН, **85**, 1029, 1952.
9. И. Я. Марголис, Б. В. Клименок, О. А. Головина, ДАН, **86**, 313, 1952.
10. Б. В. Клименок, Е. А. Андреев, О. В. Крылов, М. М. Сахаров, ДАН, **95**, 101, 1954.



## ИССЛЕДОВАНИЕ ПРОЦЕССОВ, ПРОТЕКАЮЩИХ С ИЗМЕНЕНИЕМ ЧИСЛА СТЕПЕНЕЙ СВОБОДЫ, В МНОГОКОМПОНЕНТНЫХ ГЕТЕРОГЕННЫХ СИСТЕМАХ. II

Л. С. Палатник и А. И. Ландау

Целью настоящей работы является доказательство правила о сопряженных областях разделения [1] для всех возможных случаев  $K \rightarrow L$  переходов [1], а именно: 1) когда величины  $K$  и  $L$  принимают каждая все возможные значения в интервале от нуля до  $n+1$ ; 2) когда в результате  $K \rightarrow L$  перехода исчезает некоторое количество  $\alpha^-$  и возникает заново  $\alpha^+$  чистых компонентов\*, исчезает  $\beta^-$  и возникает заново  $\beta^+$  растворов (твердых, жидких и газообразных фаз) или химических соединений.

Для решения поставленной задачи нам придется вновь рассмотреть переход  $K$ -вариантной термодинамической системы в  $L$ -вариантную ( $K \rightarrow L$  переход). Здесь обе системы представляют собой одну и ту же термодинамическую систему с одним и тем же массовым составом, но лишь участвующую сперва в  $K$ -, а затем в  $L$ -вариантном процессе.

В излагаемой работе приняты следующие обозначения:  $M$  — масса всей системы;  $M_i$ ,  $X_i$  — масса и концентрация  $i$ -го компонента во всей системе;  $m_j$  — масса  $j$ -й фазы;  $m_{ij}$ ,  $x_{ij}$ ,  $\mu_{ij}$  — масса, концентрация и химический потенциал  $i$ -го компонента в  $j$ -й фазе;  $P$ ,  $T$ ,  $V$ ,  $S$  и  $E$  — давление, температура, объем, энтропия и внутренняя энергия системы;  $n$  — число компонентов в системе; математическое выражение типа:  $i = a_1, a_2, \dots, a_\lambda \setminus b_1, b_2, \dots, b_\xi$  означает, что индекс  $i$  пробегает все значения из ряда  $a_1, a_2, \dots, a_\lambda$  за исключением значений  $b_1, b_2, \dots, b_\xi$ ; математическое выражение типа:  $\eta_i \in \{a_1, a_2, \dots, a_\lambda\}$ ,  $i = 1, 2, \dots, \xi$  означает, что величины  $\eta_1, \eta_2, \dots, \eta_\xi$  выбираются произвольно из числа величин  $a_1, a_2, \dots, a_\lambda$ . Величины, относящиеся к  $K$ -вариантной системе, будем обозначать одним штрихом, относящиеся к  $L$ -вариантной системе — двумя штрихами.

Пусть в  $K$ -вариантной системе (в  $K$ -вариантном процессе) участвует  $a$  растворов и выпали в чистом виде компоненты: 1-, 2-, ...,  $\sigma$ -,  $\sigma+1$ -, ...,  $p$ -й. Массы чистых компонентов будем обозначать следующим образом:  $m'_{s_1}, m'_{s_2}, \dots, m'_{s_\sigma}, m'_{s_{\sigma+1}}, \dots, m'_{s_p}$ , где  $m'_{s_i}$  — масса  $i$ -го чистого компонента. Массы растворов  $K$ -вариантной системы обозначим следующим образом:  $m'_1, \dots, m'_a$ , где  $m'_j$  — масса, отвечающая  $j$ -му раствору. Соответственно индексации масс обозначаются и химические потенциалы. Химические потенциалы чистых компонентов:  $\mu'_{s_1}, \mu'_{s_2}, \dots, \mu'_{s_\sigma}, \mu'_{s_{\sigma+1}}, \dots, \mu'_{s_p}$ , где  $\mu'_{s_i}$  — потенциал, отвечающий  $i$ -му чистому компоненту; химические потенциалы растворов:  $\mu'_{11}, \mu'_{21}, \dots, \mu'_{a1}, \mu'_{12}, \dots$  и т. д., где  $\mu'_{ij}$  — химический потенциал, отвечающий  $i$ -му компоненту в  $j$ -м растворе (каждое  $\mu'_{ij} = \mu'_{ij}(P, T, x'_{1j}, \dots, x'_{n-1,j})$ ).

Пусть в результате  $K \rightarrow L$  перехода в  $K$ -вариантной системе исчезли (растворились)  $\sigma+1$ -,  $\sigma+2$ -, ...,  $p$ -й чистые компоненты, но выпали

\* Для краткости здесь и ниже под термином «чистый компонент» подразумевается фаза, которая состоит из одного чистого компонента.

в чистом виде  $p+1$ -,  $p+2$ -, ...,  $q$ -й компоненты, пусть исчезли  $p+1$ -,  $\Sigma+2$ -, ...,  $a$ -й растворы, и в то же время возникло заново  $\Sigma$  новых растворов. Тогда  $K$ -вариантная система в результате  $K-L$  перехода перейдет в  $L$ -вариантную систему, в которой участвует  $b$  растворов и выпали в чистом виде  $1$ -,  $2$ -, ...,  $\sigma$ -,  $p+1$ -, ...,  $q$ -й компоненты. Растворы с номерами  $1, 2, \dots, \Sigma$  принадлежат как  $K$ -, так и  $L$ -вариантной системе, остальные растворы  $L$ -вариантной системы отличаются от растворов  $K$ -вариантной системы. Массы и химические потенциалы чистых компонентов  $L$ -вариантной системы будем обозначать следующим образом:  $m''_{s_1}, m''_{s_2}, \dots, m''_{s_\sigma}, m''_{s_{p+1}}, \dots, m''_{s_q}$  и  $\mu''_{s_1}, \mu''_{s_2}, \dots, \mu''_{s_\sigma}, \mu''_{s_{p+1}}, \dots, \mu''_{s_q}$ , где  $m''_{s_i}$ -я масса и  $\mu''_{s_i}$ -й химический потенциал отвечают  $i$ -му чистому компоненту. Массы растворов обозначим:  $m''_1, m''_2, \dots, m''_b$ , где  $m''_j$ -я масса отвечает  $j$ -му раствору. Химические потенциалы растворов  $L$ -вариантной системы обозначим:  $\mu''_{11}, \mu''_{21}, \dots, \mu''_{n1}, \mu''_{12}, \mu''_{22}, \dots$  и т. д., где  $\mu''_{ij}$ -й химический потенциал отвечает  $i$ -му компоненту в  $j$ -м растворе (каждое  $\mu''_{ij} = \mu''_{ij}(P, T, x''_{1j}, \dots, x''_{n-1,j})$ ).

### ВЫВОД ОСНОВНОЙ СИСТЕМЫ УРАВНЕНИЙ

Составим и запишем матрицу концентраций  $K$ -вариантной системы:

$$\begin{array}{cccccccc|c}
 1 & 0 & \dots & 0 & 0 & \dots & 0 & x'_{11} & \dots & x'_{1\Sigma} & x'_{1,\Sigma+1} & \dots & x'_{1a} & X_1 \\
 0 & 1 & \dots & 0 & 0 & \dots & 0 & x'_{21} & \dots & x'_{2\Sigma} & x'_{2,\Sigma+1} & \dots & x'_{2a} & X_2 \\
 \dots & \dots & \dots & \dots & \dots & \dots & \dots & \dots & \dots & \dots & \dots & \dots & \dots & \dots \\
 0 & 0 & \dots & 1 & 0 & \dots & 0 & x'_{\sigma 1} & \dots & x'_{\sigma\Sigma} & x'_{\sigma,\Sigma+1} & \dots & x'_{\sigma a} & X_\sigma \\
 0 & 0 & \dots & 0 & 1 & \dots & 0 & x'_{\sigma+1,1} & \dots & x'_{\sigma+1,\Sigma} & x'_{\sigma+1,\Sigma+1} & \dots & x'_{\sigma+1,a} & X_{\sigma+1} \\
 \dots & \dots & \dots & \dots & \dots & \dots & \dots & \dots & \dots & \dots & \dots & \dots & \dots & \dots \\
 0 & 0 & \dots & 0 & 0 & \dots & 1 & x'_{p1} & \dots & x'_{p\Sigma} & x'_{p,\Sigma+1} & \dots & x'_{pa} & X_p \\
 0 & 0 & \dots & 0 & 0 & \dots & 0 & x'_{p+1,1} & \dots & x'_{p+1,\Sigma} & x'_{p+1,\Sigma+1} & \dots & x'_{p+1,a} & X_{p+1} \\
 \dots & \dots & \dots & \dots & \dots & \dots & \dots & \dots & \dots & \dots & \dots & \dots & \dots & \dots \\
 0 & 0 & \dots & 0 & 0 & \dots & 0 & x'_{n1} & \dots & x'_{n\Sigma} & x'_{n,\Sigma+1} & \dots & x'_{na} & X_n
 \end{array} \quad (I)$$

Матрица концентраций  $L$ -вариантной системы будет иметь, соответственно, следующий вид:

$$\begin{array}{cccccccc|c}
 1 & 0 & \dots & 0 & 0 & \dots & 0 & x''_{11} & \dots & x''_{1\Sigma} & x''_{1,\Sigma+1} & \dots & x''_{1b} & X_1 \\
 0 & 1 & \dots & 0 & 0 & \dots & 0 & x''_{21} & \dots & x''_{2\Sigma} & x''_{2,\Sigma+1} & \dots & x''_{2b} & X_2 \\
 \dots & \dots & \dots & \dots & \dots & \dots & \dots & \dots & \dots & \dots & \dots & \dots & \dots & \dots \\
 0 & 0 & \dots & 1 & 0 & \dots & 0 & x''_{\sigma 1} & \dots & x''_{\sigma\Sigma} & x''_{\sigma,\Sigma+1} & \dots & x''_{\sigma b} & X_\sigma \\
 0 & 0 & \dots & 0 & 0 & \dots & 0 & x''_{\sigma+1,1} & \dots & x''_{\sigma+1,\Sigma} & x''_{\sigma+1,\Sigma+1} & \dots & x''_{\sigma+1,b} & X_{\sigma+1} \\
 \dots & \dots & \dots & \dots & \dots & \dots & \dots & \dots & \dots & \dots & \dots & \dots & \dots & \dots \\
 0 & 0 & \dots & 0 & 0 & \dots & 0 & x''_{p1} & \dots & x''_{p\Sigma} & x''_{p,\Sigma+1} & \dots & x''_{p,b} & X_p \\
 0 & 0 & \dots & 0 & 1 & \dots & 0 & x''_{p+1,1} & \dots & x''_{p+1,\Sigma} & x''_{p+1,\Sigma+1} & \dots & x''_{p+1,b} & X_{p+1} \\
 \dots & \dots & \dots & \dots & \dots & \dots & \dots & \dots & \dots & \dots & \dots & \dots & \dots & \dots \\
 0 & 0 & \dots & 0 & 0 & \dots & 1 & x''_{q1} & \dots & x''_{q\Sigma} & x''_{q,\Sigma+1} & \dots & x''_{qb} & X_q \\
 0 & 0 & \dots & 0 & 0 & \dots & 0 & x''_{q+1,1} & \dots & x''_{q+1,\Sigma} & x''_{q+1,\Sigma+1} & \dots & x''_{q+1,b} & X_{q+1} \\
 \dots & \dots & \dots & \dots & \dots & \dots & \dots & \dots & \dots & \dots & \dots & \dots & \dots & \dots \\
 0 & 0 & \dots & 0 & 0 & \dots & 0 & x''_{n1} & \dots & x''_{n\Sigma} & x''_{n,\Sigma+1} & \dots & x''_{nb} & X_n
 \end{array} \quad (II)$$

Положим, не нарушая общности, полную массу  $M$  гетерогенной системы равной единице ( $M = 1$ ). Используя обобщенный метод «центра тяжести» [2, 3], мы можем выразить массы  $K$ -вариантной системы следующим образом:

$$m'_j = \frac{\Delta'_j}{\Delta'_L} - \frac{\Delta'^{(1)}_j}{\Delta'_L} m'_1 \delta'^{(1)} - \frac{\Delta'^{(2)}_j}{\Delta'_L} m'_2 \delta'^{(2)}, \quad j = x', x' + 1, \dots, a, \quad (1)$$

где

$$x' = \begin{cases} 1 & \text{при } K \geq 2, \\ 2 & \text{при } K = 1, \\ 3 & \text{при } K = 0. \end{cases} \quad (2)$$

$$\Delta'_L = \begin{vmatrix} x'_{\eta_1 x'} & \dots & x'_{\eta_1 a} \\ \dots & \dots & \dots \\ x'_{\eta_{a-x'+1} x'} & \dots & x'_{\eta_{a-x'+1} a} \end{vmatrix} \neq 0 \quad (3)$$

при  $\eta_i \in \{p+1, \dots, q, q+1, \dots, n\}$ ;  $i = 1, 2, \dots, a-x'+1$ ;

$$\Delta'_j = \begin{vmatrix} x'_{\eta_1 x'} & \dots & x'_{\eta_1, j-1} & X_{\eta_1} & x'_{\eta_1, j+1} & \dots & x'_{\eta_1 a} \\ \dots & \dots & \dots & \dots & \dots & \dots & \dots \\ x'_{\eta_{a-x'+1} x'} & \dots & x'_{\eta_{a-x'+1}, j-1} & X_{\eta_{a-x'+1}} & x'_{\eta_{a-x'+1}, j+1} & \dots & x'_{\eta_{a-x'+1} a} \end{vmatrix}, \quad (4)$$

$$= \frac{\pi'^{(1)} \Delta'^{(1)}_j}{\Delta'_L} = \begin{vmatrix} x'_{\eta_1 x'} & \dots & x'_{\eta_1, j-1} & x'_{\eta_1 1} & x'_{\eta_1, j+1} & \dots & x'_{\eta_1 a} \\ \dots & \dots & \dots & \dots & \dots & \dots & \dots \\ x'_{\eta_{a-x'+1} x'} & \dots & x'_{\eta_{a-x'+1}, j-1} & x'_{\eta_{a-x'+1} 1} & x'_{\eta_{a-x'+1}, j+1} & \dots & x'_{\eta_{a-x'+1} a} \end{vmatrix}, \quad (5)$$

$$= \frac{\pi'^{(2)} \Delta'^{(2)}_j}{\Delta'_L} = \begin{vmatrix} x'_{\eta_1 x'} & \dots & x'_{\eta_1, j-1} & x'_{\eta_1 2} & x'_{\eta_1, j+1} & \dots & x'_{\eta_1 a} \\ \dots & \dots & \dots & \dots & \dots & \dots & \dots \\ x'_{\eta_{a-x'+1} x'} & \dots & x'_{\eta_{a-x'+1}, j-1} & x'_{\eta_{a-x'+1} 2} & x'_{\eta_{a-x'+1}, j+1} & \dots & x'_{\eta_{a-x'+1} a} \end{vmatrix}, \quad (6)$$

$$\pi'^{(1)} = \begin{cases} \delta'^{(1)} & \text{при } j = 2, 3, \dots, a, \\ 1 & \text{при } j = 1; \end{cases} \quad (6a)$$

$$\pi'^{(2)} = \begin{cases} \delta'^{(2)} & \text{при } j = 3, 4, \dots, a, \\ 1 & \text{при } j = 1, 2; \end{cases} \quad (6b)$$

$$\delta'^{(1)} = \begin{cases} 1 & \text{при } k = 0, 1, \\ 0 & \text{при } k \geq 2 \end{cases} \quad (7)$$

$$\delta'^{(2)} = \begin{cases} 1 & \text{при } k = 0, \\ 0 & \text{при } k \geq 1 \end{cases} \quad (8)$$

аконец,

$$m'_{si} = X_i - \sum_{j=\kappa'}^a \frac{\Delta'_j}{\Delta'_L} x'_{ij} + m'_1 \delta'^{(1)} \sum_{j=\kappa'}^a \frac{\Delta'_j}{\Delta'_L} x'_{ij} + \\ + m'_2 \delta'^{(2)} \sum_{j=\kappa'}^a \frac{\Delta'_j}{\Delta'_L} x'_{ij} - \delta'^{(1)} m'_1 x'_{i1} - \delta'^{(2)} m'_2 x'_{i2} \quad (9)$$

$$i = 1, 2, \dots, p.$$

легко видеть, что

$$\delta'^{(1)} \Delta'_1 \equiv 0 \quad (10)$$

$$\delta'^{(2)} \Delta'_1 \equiv \delta'^{(2)} \Delta'_2 \equiv 0. \quad (11)$$

Аналогичным образом запишем массы фаз  $L$ -вариантной системы

$$m''_j = \frac{\Delta''_j}{\Delta''_L} - \frac{\Delta''^{(1)}_j}{\Delta''_L} m''_1 \delta''^{(1)} - \frac{\Delta''^{(2)}_j}{\Delta''_L} m''_2 \delta''^{(2)}, \quad (12)$$

$$j = \kappa'', \kappa'' + 1, \dots, b;$$

$$m''_{si} = X_i - \sum_{j=\kappa''}^b \frac{\Delta''_j}{\Delta''_L} x''_{ij} + m''_1 \delta''^{(1)} \sum_{j=\kappa''}^b \frac{\Delta''_j}{\Delta''_L} x''_{ij} + \\ + m''_2 \delta''^{(2)} \sum_{j=\kappa''}^b \frac{\Delta''_j}{\Delta''_L} x''_{ij} - \delta''^{(1)} m''_1 x''_{i1} - \delta''^{(2)} m''_2 x''_{i2}, \quad (13)$$

$$i = 1, 2, \dots, \sigma, p+1, \dots, q,$$

$$\kappa'' = \begin{cases} 1 & \text{при } L \geq 2, \\ 2 & \text{при } L = 1, \\ 3 & \text{при } L = 0; \end{cases} \quad (14)$$

$$\delta''^{(1)} = \begin{cases} 1 & \text{при } L = 0, 1; \\ 0 & \text{при } L \geq 2 \end{cases} \quad (15)$$

$$\delta''^{(2)} = \begin{cases} 1 & \text{при } L = 0, \\ 0 & \text{при } L \geq 1; \end{cases} \quad (16)$$

$$\Delta''_L = \begin{vmatrix} x''_{\eta_1 \kappa''} & \dots & x''_{\eta_1 b} \\ \dots & \dots & \dots \\ x''_{\eta_{b-\kappa''+1} \kappa''} & \dots & x''_{\eta_{b-\kappa''+1} b} \end{vmatrix} \neq 0 \quad (17)$$

$$\eta_i \in \{\sigma + 1, \dots, p, q + 1, \dots, n\}; i = 1, 2, \dots, b - \kappa'' + 1,$$

$$= \begin{vmatrix} x''_{\eta_1 \kappa''} & \dots & x''_{\eta_1, j-1} & X''_{\eta_1} & x''_{\eta_1, j+1} & \dots & x''_{\eta_1 b} \\ \dots & \dots & \dots & \dots & \dots & \dots & \dots \\ x''_{\eta_{b-\kappa''+1} \kappa''} & \dots & x''_{\eta_{b-\kappa''+1}, j-1} & X''_{\eta_{b-\kappa''+1}} & x''_{\eta_{b-\kappa''+1}, j+1} & \dots & x''_{\eta_{b-\kappa''+1} b} \end{vmatrix}, \quad (18)$$



$$\pi^{(1)} \Delta_j^{(1)} =$$

$$= \begin{vmatrix} x''_{\eta_1 \kappa''} & \dots & x''_{\eta_1, j-1} & x''_{\eta_1 1} & x''_{\eta_1, j+1} & \dots & x''_{\eta_1 b} \\ x''_{\eta_{b-\kappa''+1} \kappa''} & \dots & x''_{\eta_{b-\kappa''+1}, j-1} & x''_{\eta_{b-\kappa''+1} 1} & x''_{\eta_{b-\kappa''+1}, j+1} & \dots & x''_{\eta_{b-\kappa''+1} b} \end{vmatrix}, \quad (18)$$

$$\pi^{(2)} \Delta_j^{(2)} =$$

$$= \begin{vmatrix} x''_{\eta_1 \kappa''} & \dots & x''_{\eta_1, j-1} & x''_{\eta_1 2} & x''_{\eta_1, j+1} & \dots & x''_{\eta_1 b} \\ x''_{\eta_{b-\kappa''+1} \kappa''} & \dots & x''_{\eta_{b-\kappa''+1}, j-1} & x''_{\eta_{b-\kappa''+1} 2} & x''_{\eta_{b-\kappa''+1}, j+1} & \dots & x''_{\eta_{b-\kappa''+1} b} \end{vmatrix}, \quad (20)$$

$$\pi^{(1)} = \begin{cases} \delta^{(1)} & \text{при } j = 2, 3, \dots, b; \\ 1 & \text{при } j = 1; \end{cases} \quad (20a)$$

$$\pi^{(2)} = \begin{cases} \delta^{(2)} & \text{при } j = 3, 4, \dots, b; \\ 1 & \text{при } j = 1, 2. \end{cases} \quad (20b)$$

Легко видеть, что

$$\delta^{(1)} \Delta_1^{(1)} \equiv 0 \quad (21)$$

и

$$\delta^{(2)} \Delta_1^{(2)} \equiv \delta^{(2)} \Delta_2^{(2)} \equiv 0. \quad (22)$$

В момент  $K-L$  перехода будут, очевидно, выполняться следующие равенства концентраций:

$$x'_{ij} = x''_{ij} = x_{ij}, \quad i = 1, 2, \dots, n; \quad j = 1, 2, \dots, \Sigma, \quad (23)$$

и следующие равенства масс фаз:

$$m'_j = m''_j; \quad j = 1, 2, \dots, \Sigma; \quad (24)$$

$$m'_j = 0; \quad j = \Sigma + 1, \dots, a; \quad (25)$$

$$m''_j = 0; \quad j = \Sigma + 1, \dots, b; \quad (26)$$

$$m'_{s_i} = m''_{s_i}; \quad i = 1, 2, \dots, \sigma; \quad (27)$$

$$m'_{s_i} = 0; \quad i = \sigma + 1, \dots, p; \quad (28)$$

$$m''_{s_i} = 0; \quad i = p + 1, \dots, q. \quad (29)$$

Подставляя в выражения (24)–(29) формулы (1)–(22), получим

$$(1 - \delta^{(1)}) \left( \frac{\Delta'_1}{\Delta'_L} - \frac{\Delta'^{(1)}_1}{\Delta'_L} m'_1 \delta^{(1)} - \frac{\Delta'^{(2)}_1}{\Delta'_L} m'_2 \delta^{(2)} \right) + \delta^{(1)} m'_1 =$$

$$= (1 - \delta^{(1)}) \left( \frac{\Delta''_1}{\Delta''_L} - \frac{\Delta''^{(1)}_1}{\Delta''_L} m''_1 \delta^{(1)} - \frac{\Delta''^{(2)}_1}{\Delta''_L} m''_2 \delta^{(2)} \right) + \delta^{(1)} m''_1; \quad (30)$$

$$(1 - \delta^{(2)}) \left( \frac{\Delta'_2}{\Delta'_L} - \frac{\Delta'^{(1)}_2}{\Delta'_L} m'_1 \delta^{(1)} - \frac{\Delta'^{(2)}_2}{\Delta'_L} m'_2 \delta^{(2)} \right) + \delta^{(2)} m'_2 =$$

$$= (1 - \delta^{(2)}) \left( \frac{\Delta''_2}{\Delta''_L} - \frac{\Delta''^{(1)}_2}{\Delta''_L} m''_1 \delta^{(1)} - \frac{\Delta''^{(2)}_2}{\Delta''_L} m''_2 \delta^{(2)} \right) + \delta^{(2)} m''_2; \quad (31)$$

$$\begin{aligned} & \frac{\Delta'_j}{\Delta'_L} - \frac{\Delta'_j{}^{(1)}}{\Delta'_L} m'_1 \delta'_{(1)} - \frac{\Delta'_j{}^{(2)}}{\Delta'_L} m'_2 \delta'_{(2)} = \\ & = \frac{\Delta''_j}{\Delta''_L} - \frac{\Delta''_j{}^{(1)}}{\Delta''_L} m''_1 \delta''_{(1)} - \frac{\Delta''_j{}^{(2)}}{\Delta''_L} m''_2 \delta''_{(2)}, \quad j = 3, 4, \dots, \Sigma; \end{aligned} \quad (32)$$

$$\frac{\Delta'_j}{\Delta'_L} - \frac{\Delta'_j{}^{(1)}}{\Delta'_L} m'_1 \delta'_{(1)} - \frac{\Delta'_j{}^{(2)}}{\Delta'_L} m'_2 \delta'_{(2)} = 0, \quad j = \Sigma + 1, \dots, a; \quad (33)$$

$$\frac{\Delta''_j}{\Delta''_L} - \frac{\Delta''_j{}^{(1)}}{\Delta''_L} m''_1 \delta''_{(1)} - \frac{\Delta''_j{}^{(2)}}{\Delta''_L} m''_2 \delta''_{(2)} = 0, \quad j = \Sigma + 1, \dots, b; \quad (34)$$

$$\begin{aligned} X_i & - \sum_{j=\kappa'}^a \frac{\Delta'_j}{\Delta'_L} x'_{ij} + m'_1 \delta'_{(1)} \sum_{j=\kappa'}^a \frac{\Delta'_j{}^{(1)}}{\Delta'_L} x'_{ij} + \\ & + m'_2 \delta'_{(2)} \sum_{j=\kappa'}^a \frac{\Delta'_j{}^{(2)}}{\Delta'_L} x'_{ij} - \delta'_{(1)} m'_1 x'_{i1} - \delta'_{(2)} m'_2 x'_{i2} = \\ & = X_i - \sum_{j=\kappa''}^b \frac{\Delta''_j}{\Delta''_L} x''_{ij} + m''_1 \delta''_{(1)} \sum_{j=\kappa''}^b \frac{\Delta''_j{}^{(1)}}{\Delta''_L} x''_{ij} + m''_2 \delta''_{(2)} \sum_{j=\kappa''}^b \frac{\Delta''_j{}^{(2)}}{\Delta''_L} x''_{ij} - \\ & - \delta''_{(1)} m''_1 x''_{i1} - \delta''_{(2)} m''_2 x''_{i2}, \quad i = 1, 2, \dots, \sigma; \end{aligned} \quad (35)$$

$$\begin{aligned} X_i & - \sum_{j=\kappa'}^a \frac{\Delta'_j}{\Delta'_L} x'_{ij} + m'_1 \delta'_{(1)} \sum_{j=\kappa'}^a \frac{\Delta'_j{}^{(1)}}{\Delta'_L} x'_{ij} + \\ & + m'_2 \delta'_{(2)} \sum_{j=\kappa'}^a \frac{\Delta'_j{}^{(2)}}{\Delta'_L} x'_{ij} - \delta'_{(1)} m'_1 x'_{i1} - \delta'_{(2)} m'_2 x'_{i2} = 0; \quad i = \sigma + 1, \dots, p; \end{aligned} \quad (36)$$

$$\begin{aligned} X_i & - \sum_{j=\kappa''}^b \frac{\Delta''_j}{\Delta''_L} x''_{ij} + m''_1 \delta''_{(1)} \sum_{j=\kappa''}^b \frac{\Delta''_j{}^{(1)}}{\Delta''_L} x''_{ij} + \\ & + m''_2 \delta''_{(2)} \sum_{j=\kappa''}^b \frac{\Delta''_j{}^{(2)}}{\Delta''_L} x''_{ij} - \delta''_{(1)} m''_1 x''_{i1} - \delta''_{(2)} m''_2 x''_{i2} = 0; \quad i = p + 1, \dots, q. \end{aligned} \quad (37)$$

Для дальнейшего заметим, что имеют место следующие соотношения:

$$\kappa' = 1 + \delta'_{(1)} + \delta'_{(2)} \quad (38)$$

$$\kappa'' = 1 + \delta''_{(1)} + \delta''_{(2)}. \quad (39)$$

Вспомогательное какое-нибудь  $i$ , взятое в интервале от 1 до  $n$ . Умножим соотношения (30)–(32) на соответствующие величины  $x_{ij}$  ( $j = 1, 2, \dots, \Sigma$ ), соотношения (33) на соответствующие величины  $x'_{ij}$  ( $j = \Sigma + 1, \dots, a$ ), соотношения (34) на соответствующие величины  $x''_{ij}$  ( $j = \Sigma + 1, \dots, b$ ) и суммируем полученные выражения. Тогда, учитывая (23), (38) и (39), без труда получим

$$\begin{aligned} X_i & - \sum_{j=\kappa'}^a \frac{\Delta'_j}{\Delta'_L} x'_{ij} + m'_1 \delta'_{(1)} \sum_{j=\kappa'}^a \frac{\Delta'_j{}^{(1)}}{\Delta'_L} x'_{ij} + \\ & + m'_2 \delta'_{(2)} \sum_{j=\kappa'}^a \frac{\Delta'_j{}^{(2)}}{\Delta'_L} x'_{ij} - \delta'_{(1)} m'_1 x'_{i1} - \delta'_{(2)} m'_2 x'_{i2} = \\ & = X_i - \sum_{j=\kappa''}^b \frac{\Delta''_j}{\Delta''_L} x''_{ij} + \delta''_{(1)} m''_1 \sum_{j=\kappa''}^b \frac{\Delta''_j{}^{(1)}}{\Delta''_L} x''_{ij} + \\ & + m''_2 \delta''_{(2)} \sum_{j=\kappa''}^b \frac{\Delta''_j{}^{(2)}}{\Delta''_L} x''_{ij} - \delta''_{(1)} m''_1 x''_{i1} - \delta''_{(2)} m''_2 x''_{i2}, \quad i = 1, 2, \dots, n. \end{aligned} \quad (40)$$



и (37). Соотношения (42) и (45) будут соответственно представлены в таком виде:

$$\begin{aligned} \lambda_{\eta} - \sum_{j=\kappa'}^a \frac{\Delta_j'}{\Delta_L'} x_{\eta j} + m_1' \delta'^{(1)} \sum_{j=\kappa'}^a \frac{\Delta_j'^{(1)}}{\Delta_L'} x_{\eta j} + \\ + m_2' \delta'^{(2)} \sum_{j=\kappa'}^a \frac{\Delta_j'^{(2)}}{\Delta_L'} x_{\eta j} - \delta'^{(1)} m_1' x_{\eta 1} - \delta'^{(2)} m_2' x_{\eta 2} = 0, \end{aligned} \quad (47)$$

$$\eta = p + 1, \dots, q, q + 1, \dots, n \setminus \eta_1', \eta_2', \dots, \eta_{a-\kappa'+1}';$$

$$\begin{aligned} X_{\eta} - \sum_{j=\kappa''}^b \frac{\Delta_j''}{\Delta_L''} x_{\eta j} + m_1'' \delta''^{(1)} \sum_{j=\kappa''}^b \frac{\Delta_j''^{(1)}}{\Delta_L''} x_{\eta j} + \\ + m_2'' \delta''^{(2)} \sum_{j=\kappa''}^b \frac{\Delta_j''^{(2)}}{\Delta_L''} x_{\eta j} - \delta''^{(1)} m_1'' x_{\eta 1} - \delta''^{(2)} m_2'' x_{\eta 2} = 0, \end{aligned} \quad (48)$$

$$\eta = \sigma + 1, \dots, p, q + 1, \dots, n \setminus \eta_1'', \eta_2'', \dots, \eta_{b-\kappa''+1}''.$$

Из соотношений (47) и (48) выберем, например, соотношения (47). Учтя, что при  $\eta = \eta_1', \eta_2', \dots, \eta_{a-\kappa'+1}'$  соотношения (47) обращаются в тождества, учитывая также соотношения (23), (33) и (36), мы можем представить соотношения (47) в таком виде:

$$\begin{aligned} X_i - \sum_{j=\kappa'}^{\Sigma} \frac{\Delta_j'}{\Delta_L'} x_{ij} + m_1' \delta'^{(1)} \sum_{j=\kappa'}^{\Sigma} \frac{\Delta_j'^{(1)}}{\Delta_L'} x_{ij} + \\ + m_2' \delta'^{(2)} \sum_{j=\kappa'}^{\Sigma} \frac{\Delta_j'^{(2)}}{\Delta_L'} x_{ij} - \delta'^{(1)} m_1' x_{i1} - \delta'^{(2)} m_2' x_{i2} = 0, \end{aligned} \quad (49)$$

$$i = \sigma + 1, \dots, n.$$

Если мы рассмотрим более подробно выражение для величины  $\Delta_j''/\Delta_L''$  при  $j > \Sigma$ , учитывая (23),

$$= \frac{1}{\Delta_L''} \times \begin{vmatrix} x_{\eta_1 \kappa''}'' & x_{\eta_1 \kappa''+1}'' & \dots & x_{\eta_1 \kappa''+j-1}'' & X_{\eta_1}'' & x_{\eta_1 \kappa''+j+1}'' & \dots & x_{\eta_1 b}'' \\ \dots & \dots & \dots & \dots & \dots & \dots & \dots & \dots \\ x_{\eta_{b-\kappa''+1} \kappa''}'' & x_{\eta_{b-\kappa''+1} \kappa''+1}'' & \dots & x_{\eta_{b-\kappa''+1} \kappa''+j-1}'' & X_{\eta_{b-\kappa''+1}}'' & x_{\eta_{b-\kappa''+1} \kappa''+j+1}'' & \dots & x_{\eta_{b-\kappa''+1} b}'' \end{vmatrix} \quad (50)$$

Подставляя в (50) выражения для величин  $X_{\eta_1}'', X_{\eta_2}'', \dots, X_{\eta_{b-\kappa''+1}}''$  и учитывая (49), легко получить, учитывая (19) и (20):

$$\begin{aligned} \frac{\Delta_j''}{\Delta_L''} = \delta''^{(1)} (1 - \delta'^{(1)}) \left( \frac{\Delta_1'}{\Delta_L'} - m_1' \delta'^{(1)} \frac{\Delta_1'^{(1)}}{\Delta_L'} - m_2' \delta'^{(2)} \frac{\Delta_1'^{(2)}}{\Delta_L'} \right) \frac{\Delta_j'^{(1)}}{\Delta_L''} + \\ + \delta''^{(2)} (1 - \delta'^{(2)}) \left( \frac{\Delta_2'}{\Delta_L'} - m_1' \delta'^{(1)} \frac{\Delta_2'^{(1)}}{\Delta_L'} - m_2' \delta'^{(2)} \frac{\Delta_2'^{(2)}}{\Delta_L'} \right) \frac{\Delta_j'^{(2)}}{\Delta_L''} + \\ + \delta''^{(1)} \frac{\Delta_j'^{(1)}}{\Delta_L''} - m_1' \delta'^{(1)} \frac{\Delta_j'^{(1)}}{\Delta_L''} + \delta''^{(2)} \frac{\Delta_j'^{(2)}}{\Delta_L''} - m_2' \delta'^{(2)} \frac{\Delta_j'^{(2)}}{\Delta_L''}, \end{aligned} \quad (51)$$

$$j = \Sigma + 1, \dots, b.$$



Аналогично, записывая величину  $\Delta_j''/\Delta_L''$  при  $j = 3, 4, \dots, \Sigma$  в вид

$$\frac{\Delta_j''}{\Delta_L''} = \frac{1}{\Delta_L''} \times \begin{vmatrix} x_{\eta_1 \kappa''}'' & x_{\eta_1 \kappa''+1}'' & X_{\eta_1}'' & x_{\eta_1 \kappa''+1}'' & x_{\eta_1 b}'' \\ \dots & \dots & \dots & \dots & \dots \\ x_{\eta_{b-\kappa''+1} \kappa''}'' & x_{\eta_{b-\kappa''+1} \kappa''+1}'' & X_{\eta_{b-\kappa''+1}}'' & x_{\eta_{b-\kappa''+1} \kappa''+1}'' & x_{\eta_{b-\kappa''+1} b}'' \end{vmatrix} \quad (51)$$

и подставляя в (51a) выражения для величин  $X_{\eta_1}'', X_{\eta_2}'', \dots, X_{\eta_{b-\kappa''+1}}''$  взятые из (49), получим, учитывая (19) и (20),

$$\begin{aligned} \frac{\Delta_j''}{\Delta_L''} &= \delta''^{(1)}(1 - \delta'^{(1)}) \left( \frac{\Delta_1'}{\Delta_L'} - m_1' \delta'^{(1)} \frac{\Delta_1'^{(1)}}{\Delta_L'} - m_2' \delta'^{(2)} \frac{\Delta_1'^{(2)}}{\Delta_L'} \right) \frac{\Delta_j'^{(1)}}{\Delta_L'} + \\ &+ \delta''^{(2)}(1 - \delta'^{(2)}) \left( \frac{\Delta_2'}{\Delta_L'} - m_1' \delta'^{(1)} \frac{\Delta_2'^{(1)}}{\Delta_L'} - m_2' \delta'^{(2)} \frac{\Delta_2'^{(2)}}{\Delta_L'} \right) \frac{\Delta_j'^{(2)}}{\Delta_L'} + \\ &+ \frac{\Delta_j'}{\Delta_L'} - m_1' \delta'^{(1)} \frac{\Delta_j'}{\Delta_L'} - m_2' \delta'^{(2)} \frac{\Delta_j'}{\Delta_L'} + \delta''^{(1)} \frac{\Delta_j'}{\Delta_L'} m_1' \delta'^{(1)} + \delta''^{(2)} \frac{\Delta_j'}{\Delta_L'} m_2' \delta'^{(2)}, \\ &j = 3, 4, \dots, \Sigma. \end{aligned} \quad (52)$$

Подставляя (51) и (52) в (32) и (34), получим

$$\begin{aligned} &\delta''^{(1)}(1 - \delta'^{(1)}) \left( \frac{\Delta_1'}{\Delta_L'} - m_1' \delta'^{(1)} \frac{\Delta_1'^{(1)}}{\Delta_L'} - m_2' \delta'^{(2)} \frac{\Delta_1'^{(2)}}{\Delta_L'} \right) \frac{\Delta_j'^{(1)}}{\Delta_L'} + \\ &+ \delta''^{(2)}(1 - \delta'^{(2)}) \left( \frac{\Delta_2'}{\Delta_L'} - m_1' \delta'^{(1)} \frac{\Delta_2'^{(1)}}{\Delta_L'} - m_2' \delta'^{(2)} \frac{\Delta_2'^{(2)}}{\Delta_L'} \right) \frac{\Delta_j'^{(2)}}{\Delta_L'} + \delta''^{(1)} \frac{\Delta_j'}{\Delta_L'} m_1' \delta'^{(1)} + \\ &+ \delta''^{(2)} \frac{\Delta_j'}{\Delta_L'} m_2' \delta'^{(2)} = \frac{\Delta_j'^{(1)}}{\Delta_L'} m_1' \delta'^{(1)} + \frac{\Delta_j'^{(2)}}{\Delta_L'} m_2' \delta'^{(2)}, \quad j = 3, 4, \dots, b. \end{aligned} \quad (53)$$

Проделав аналогичную подстановку выражений для величин  $X_{\eta_1}'', X_{\eta_2}'', \dots, X_{\eta_{b-\kappa''+1}}''$  в выражения для величин  $\Delta_1''/\Delta_L''$  и  $\Delta_2''/\Delta_L''$ , получим соответственно

$$\frac{\Delta_1''}{\Delta_L''} = (1 - \delta'^{(1)}) \left( \frac{\Delta_1'}{\Delta_L'} - m_1' \delta'^{(1)} \frac{\Delta_1'^{(1)}}{\Delta_L'} - m_2' \delta'^{(2)} \frac{\Delta_1'^{(2)}}{\Delta_L'} \right) + \delta'^{(1)} m_1, \quad (54)$$

и

$$\begin{aligned} \frac{\Delta_2''}{\Delta_L''} &= \delta''^{(1)}(1 - \delta'^{(1)}) \left( \frac{\Delta_1'}{\Delta_L'} - m_1' \delta'^{(1)} \frac{\Delta_1'^{(1)}}{\Delta_L'} - m_2' \delta'^{(2)} \frac{\Delta_1'^{(2)}}{\Delta_L'} \right) \frac{\Delta_2'^{(1)}}{\Delta_L'} + \delta''^{(1)} \frac{\Delta_2''^{(1)}}{\Delta_L'} \delta'^{(1)} m_1 + \\ &+ \delta'^{(2)} m_2 + (1 - \delta'^{(2)}) \left( \frac{\Delta_2'}{\Delta_L'} - m_1' \delta'^{(1)} \frac{\Delta_2'^{(1)}}{\Delta_L'} - m_2' \delta'^{(2)} \frac{\Delta_2'^{(2)}}{\Delta_L'} \right). \end{aligned} \quad (55)$$

Подставляя (54) в (30) и учитывая (21) и (22), получим

$$\delta''^{(1)}(1 - \delta'^{(1)}) \left( \frac{\Delta_1'}{\Delta_L'} - m_1' \delta'^{(1)} \frac{\Delta_1'^{(1)}}{\Delta_L'} - m_2' \delta'^{(2)} \frac{\Delta_1'^{(2)}}{\Delta_L'} \right) + \delta''^{(1)} m_1' \delta'^{(1)} - m_1' \delta'^{(1)}. \quad (56)$$



$$\left. \begin{aligned}
 X_i - \sum_{j=\kappa'} \frac{\Delta_j'}{\Delta_L'} x_{ij} + m_1' \delta^{(1)} \sum_{j=\kappa'} \frac{\Delta_j^{(1)'}}{\Delta_L'} x_{ij} + \\
 + m_2' \delta^{(2)} \sum_{j=\kappa'} \frac{\Delta_j^{(2)'}}{\Delta_L'} x_{ij} - \delta^{(1)} m_1' x_{i1} - \delta^{(2)} m_2' x_{i2} = 0, \\
 i = \sigma + 1, \dots, n \setminus \gamma_1', \gamma_2', \dots, \gamma_{a-\kappa'+1}', \\
 \frac{\Delta_j'}{\Delta_L'} - \frac{\Delta_j^{(1)'}}{\Delta_L'} m_1' \delta^{(1)} - \frac{\Delta_j^{(2)'}}{\Delta_L'} m_2' \delta^{(2)} = 0, \\
 j = \Sigma + 1, \dots, a;
 \end{aligned} \right\} \quad (6)$$

$$\left. \begin{aligned}
 X_i - \sum_{j=\kappa''} \frac{\Delta_j''}{\Delta_L''} x_{ij} + m_1'' \delta^{(1)} \sum_{j=\kappa''} \frac{\Delta_j^{(1)'}}{\Delta_L''} x_{ij} + \\
 + m_2'' \delta^{(2)} \sum_{j=\kappa''} \frac{\Delta_j^{(2)'}}{\Delta_L''} x_{ij} - \delta^{(1)} m_1'' x_{i1} - \delta^{(2)} m_2'' x_{i2} = 0, \\
 i = \sigma + 1, \dots, n \setminus \gamma_1'', \gamma_2'', \dots, \gamma_{b-\kappa''+1}'', \\
 \frac{\Delta_j''}{\Delta_L''} - \frac{\Delta_j^{(1)'}}{\Delta_L''} m_1'' \delta^{(1)} - \frac{\Delta_j^{(2)'}}{\Delta_L''} m_2'' \delta^{(2)} = 0, \\
 j = \Sigma + 1, \dots, b;
 \end{aligned} \right\} \quad (6_1)$$

$$x_{1j} + x_{2j} + \dots + x_{nj} = 1; \quad j = 1, 2, \dots, \Sigma, \quad (6_2)$$

$$x'_{1j} + x'_{2j} + \dots + x'_{nj} = 1; \quad j = \Sigma + 1, \dots, a, \quad (6_3)$$

$$x''_{1j} + x''_{2j} + \dots + x''_{nj} = 1; \quad j = \Sigma + 1, \dots, b. \quad (6_4)$$

Первый вариант основной системы уравнений  $K-L$  перехода включает в себя соотношения (60), (61), (62), (63) и (64); второй вариант включает в себя соотношения (60), (61), (62), (63) и (64).

Произведем подсчет числа неизвестных  $N$  и числа уравнений  $Y$  для первого варианта основной системы уравнений (совершенно те же результаты даст аналогичный подсчет для второго варианта основной системы уравнений), считая величины  $X_i$  заданными заранее. В этом случае неизвестными величинами оказываются  $P, T$ , все  $x_{ij}$  ( $i = 1, 2, \dots, n$ ;  $j = 1, 2, \dots, \Sigma$ ), все  $x'_{ij}$  ( $i = 1, 2, \dots, n$ ;  $j = \Sigma + 1, \dots, a$ ) и все  $x''_{ij}$  ( $i = 1, 2, \dots, n$ ;  $j = \Sigma + 1, \dots, b$ ). Кроме того, неизвестными величинами являются  $m_1'$  при  $\delta^{(1)} \neq 0$  и  $m_2'$  при  $\delta^{(2)} \neq 0$  (ср. [4]). Итого:  $2 + n \times [(a - \Sigma) + (b - \Sigma) + \Sigma] + \delta^{(1)} + \delta^{(2)} = 2 + na + nb - n\Sigma + \delta^{(1)} + \delta^{(2)}$  неизвестных:

$$N = 2 + na + nb - n\Sigma + \delta^{(1)} + \delta^{(2)}. \quad (6_5)$$

Уравнения (60) дают нам  $n[(a - \Sigma) + (b - \Sigma) + \Sigma - 1] + q$  уравнений. Соотношения (61) дают нам  $n - \sigma - (a - \kappa' + 1) + (a - \Sigma)$  уравнений, или, учитывая (38),  $n - \sigma - \Sigma + \delta^{(1)} + \delta^{(2)}$  уравнений. Соотношения (62)–(64) дают нам вместе  $\Sigma + (a - \Sigma) + (b - \Sigma) = a + b - \Sigma$  уравнений. Итого:

$$Y = na + nb - n\Sigma + q - \sigma + a + b - 2\Sigma + \delta^{(1)} + \delta^{(2)}. \quad (6_6)$$

юда следует

$$N - Y = 2 - (q - \sigma) - [(a - \Sigma) + (b - \Sigma)] \geq 0. \quad (67)$$

имеют место следующие выражения:

$$q - \sigma = \alpha^+ + \alpha^-, \quad (68)$$

$$a - \Sigma = \beta^-, \quad (69)$$

$$b - \Sigma = \beta^+. \quad (70)$$

Юда, окончательно, «правила отбора», позволяющие судить о возможных изменениях количества сосуществующих фаз в гетерогенной системе [1], приобретают при фиксированных  $X_i$  следующий вид:

$$2 - \alpha^- - \alpha^+ - \beta^- - \beta^+ \geq 0. \quad (71)$$

#### ОБЩЕЕ ПРАВИЛО О СОПРИКАСАЮЩИХСЯ ОБЛАСТЯХ РАЗДЕЛЕНИЯ ФАЗ

Как известно, диаграмма равновесия многокомпонентной гетерогенной системы складывается из различных областей разделения\*, отделенных между собой границами [некоторыми гиперповерхностями в  $(n + 1)$ -мерном пространстве диаграммы равновесия]. Каждая область разделения соответствует разделению многокомпонентной системы на определенное число, например,  $r$  фаз. В последнем случае мы говорим, что данная область разделения отвечает  $(n + 2 - r)$ -вариантной системе.

Знание основной системы уравнений (60) — (64) для данного  $K - L$  перехода и вытекающего отсюда правила отбора (71) позволяет [1] установить зависимость размерности границы между областями разделения от разности между числами чистых компонентов и числами растворов (жидких, твердых и газообразных фаз или химических соединений) в данных областях разделения, т. е. от чисел  $\alpha^-$ ,  $\alpha^+$ ,  $\beta^-$  и  $\beta^+$ . Пусть в данной диаграмме равновесия мы имеем две области разделения, соответствующие  $K$ - и  $L$ -вариантной системе, причем при переходе из одной области разделения в другую (т. е. при переходе  $K$ -вариантной системы в  $L$ -вариантную) исчезает  $\alpha^-$  и возникает заново  $\alpha^+$  чистых компонентов, исчезает  $\beta^-$  и возникает заново  $\beta^+$  растворов. Тогда размерность  $R_1$  границы между указанными областями разделения равна

$$R_1 = (n + 1) - \alpha^- - \alpha^+ - \beta^- - \beta^+ \geq 0. \quad (72)$$

Выражение (72) является самой общей формулировкой правила о соприкасающихся областях разделения.

Заметим, что наряду с правилом о соприкасающихся областях разделения (72) и независимо от него должно выполняться известное неравенство Гиббса, также непосредственно вытекающее из основной системы уравнений (60) — (64) [точнее, из соотношений (60)] и имеющее в приложении к  $K - L$  переходам следующий вид:

$$\sigma + \Sigma + \alpha^- + \alpha^+ + \beta^- + \beta^+ \leq n + 2. \quad (73)$$

#### Применение общего правила о соприкасающихся областях разделения к сечениям диаграмм равновесия

Выражение (72), данное для всей диаграммы равновесия в целом, можно распространить на тот общий случай ее различных сечений, когда последние не рассекают каких бы то ни было узлов диаграммы равновесия («неузловые» сечения). Узлом мы называем пересечение некоторого числа гиперповерхностей\*\*. Узлы диаграммы равновесия образуются за

\* В другой (применявшейся для трехкомпонентных систем [5, 6]) терминологии: пространств состояний.

\*\* Определенный таким образом узел не следует смешивать с узловыми сингулярными точками, рассматриваемыми в дифференциальной геометрии.



счет пересечения границ между областями разделения и могут иметь размерность от нуля (точки) и до  $n-1$ . К ним (узлам) относятся, например, вершины фазовых звезд: эвтектические, перитектические точки и т. д. Сечения, рассекающие какие-либо узлы диаграммы равновесия, мы назовем «узловыми» сечениями. Они представляют собой частный случай всех возможных вообще сечений диаграммы равновесия. Приведем несколько примеров узловых и неузловых сечений диаграммы равновесия

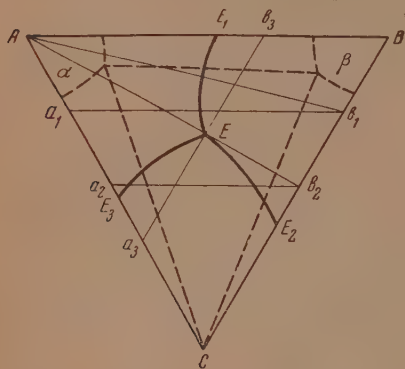


Рис. 1. Плоская проекция изобарического сечения ( $P=\text{const}$ ) диаграммы равновесия тройной системы

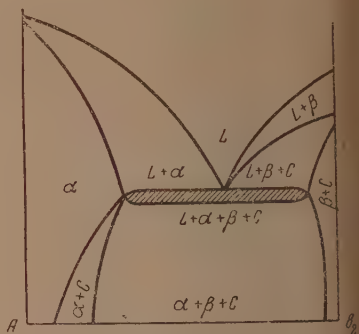


Рис. 2. Политермическое сечение  $Ab_2$

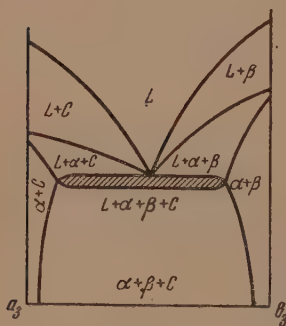


Рис. 3. Политермическое сечение  $a_3b_3$

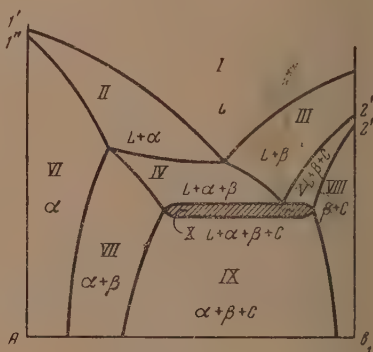


Рис. 4. Политермическое сечение  $Ab_1$ . Римскими цифрами обозначены соответствующие области разделения

тройной системы с простой эвтектикой при ограниченной растворимости компонентов А и С в В и компонентов В и С в А в твердом состоянии и неограниченной растворимости всех трех компонентов в жидком состоянии (рис. 1—6). Сечения  $Ab_2$  и  $a_3b_3$ , проходящие через эвтектическую точку  $E$  (рис. 1, 2 и 3), являются узловыми. Остальные сечения  $Ab_1$ ,  $a_1b_1$  и  $a_2b_2$  (рис. 1, 4, 5 и 6) — неузловые.

Для неузловых сечений правило о соприкасающихся областях разделения дает [1] следующее соотношение:

$$R_1 = R - \alpha^- - \alpha^+ - \beta^- - \beta^+ \geq 0, \quad (74)$$

$R$  — размерность данного сечения диаграммы равновесия. В частном случае сечений, рассекающих какие-либо узлы диаграммы равновесия (плоские сечения), соотношение (74) может не выполняться. Кроме того, правило о соприкасающихся областях разделения (72) и соотношение (74) могут не выполняться в бесконечно малых окрестностях критических точек.

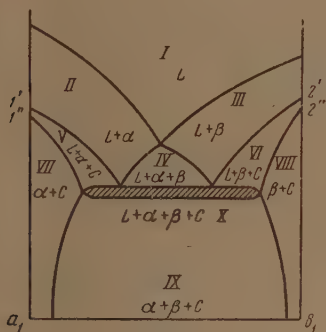


Рис. 5. Политермическое сечение  $a_1b_1$

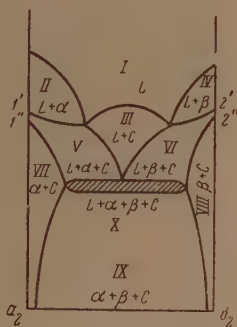


Рис. 6. Политермическое сечение  $a_2b_2$

Обратим внимание на то, что соотношение (74) представляет собой лишь результат приложения правила о соприкасающихся областях разделения к сечениям диаграмм равновесия, но ни в коем случае не является выражением или формулировкой этого правила. Единственной тематической формулировкой этого правила является соотношение (72), рассмотренное выше.

### ВЫРОЖДЕННЫЕ ОБЛАСТИ РАЗДЕЛЕНИЯ ФАЗ

Прежде чем перейти к практическому применению правила о соприкасающихся областях разделения (72) и вытекающего из него соотношения (74) к диаграммам равновесия и их различным сечениям, следует рассмотреть вопрос о вырожденных областях разделения. Вырожденными мы назовем такие области разделения на диаграмме равновесия (в ее сечении), которые имеют размерность, меньшую размерности диаграммы равновесия (меньшую размерности данного сечения). Таковы, например, инвариантные и моновариантные области разделения и другие (см. ниже). Вырожденные области разделения можно разбить на две категории. Первой из них относятся неинвариантные и моновариантные области разделения. Если мы рассматриваем диаграмму равновесия, построенную на осях  $P, T, X_1, X_2, \dots, X_{n-1}$ , то число геометрических измерений  $z$  таких областей разделения на диаграмме равновесия или в ее сечении совпадает с величиной  $y'_{\text{энт}}^*$ , т. е. отличается на два порядка от размерности диаграммы равновесия (или сечения) для неинвариантных областей и на один порядок для моновариантных областей разделения. Это вырождение можно назвать абсолютным, так как оно вызвано произвольным выбором осей ординат ( $P, T, X_1, X_2, \dots, X_{n-1}$  — см. [4]), и чем идеальнее термодинамическая система, чем менее точны приборы наблюдения, тем резче оно выступает. С другой стороны, если бы диаграмма равновесия была

\* Величина  $y'_{\text{энт}}$  равна числу произвольно изменяющихся параметров  $P, T, X_1, X_2, \dots, X_{n-1}$  [4].

построена на других осях, а именно на осях  $V, S, X_1, X_2, \dots, X_{n-1}$ \* где интенсивные параметры  $P$  и  $T$  заменены экстенсивными (аддитивными) параметрами  $V$  и  $S$ , то  $z$  было бы равно уже не величине  $y'_{\text{экт}}$ , а  $y_{\text{экт}}$  (числу экстенсивных степеней свободы термодинамической системы [4]), которое одинаково для всех областей разделения, включая невариантные и моновариантные области. Таким образом, в случае построения диаграммы равновесия на осях  $V, S, X_1, X_2, \dots, X_{n-1}$ \*\* невариантные и моновариантные области разделения уже не являлись бы вырожденными. Эти обстоятельства удобно пользоваться для обнаружения абсолютно вырожденных областей разделения в диаграммах равновесия, построенных на осях  $P, T, X_1, X_2, \dots, X_{n-1}$ . Чтобы выявить абсолютно вырожденные области разделения в таких диаграммах равновесия (или их сечениях), следует уяснить себе, как бы выглядела та же самая диаграмма (сечение), построенная на осях  $V, S, X_1, X_2, \dots, X_{n-1}$ \*\*. Тогда те точки, линии, поверхности и т. д., которые при подобном переходе от одной осяи к другим приобретут дополнительные измерения, будут выявлены как абсолютно вырожденные области разделения. При этом те точки, линии, поверхности и т. д., которые приобретут при указанном переходе одно дополнительное измерение, будут, очевидно, представлять собой моновариантные области разделения, а приобретшие два дополнительных измерения — невариантные области разделения.

Ко второй категории вырожденных областей разделения относятся те области, вырождение которых зависит от нерастворимости тех или иных компонентов или химических соединений гетерогенной системы. Эти области разделения можно назвать относительно вырожденными. Действительно, так как абсолютной нерастворимости в природе не существует, то рассматриваемые области разделения в принципе не вырождены (т. е. их вырождение является относительным; отсюда происхождение самого названия упомянутых областей), и лишь несовершенство приборов наблюдения или слишком мелкий масштаб диаграмм равновесия превращает для нас ограниченную растворимость в кажущуюся нерастворимость, а соответствующие области разделения заставляет считать вырожденными. Если мы возьмем диаграммы равновесия более крупного масштаба и усовершенствуем приборы наблюдения, то всякое вырождение таких областей разделения исчезнет и они приобретут вид, обычный при ограниченной растворимости. Последним обстоятельством можно воспользоваться для выявления относительно вырожденных областей разделения в тех или иных диаграммах равновесия или их сечения. Для этого следует представить себе, как бы выглядели те же самые диаграммы равновесия (или сечения) в случае, если бы нерастворимость определенных компонентов или химических соединений сменилась их ограниченной растворимостью. Тогда те точки, линии, поверхности и т. д., которые при подобном переходе от нерастворимости к ограниченной растворимости приобретут дополнительные измерения, и будут являться относительно вырожденными областями разделения.

Вырожденные области разделения образуют в общем случае на диаграмме равновесия различные гиперповерхности. Границы, которыми отделены области разделения друг от друга, также представляют собой различные гиперповерхности на диаграмме равновесия. Вследствие этого легко можно смешать вырожденные области разделения с границами между областями разделения, в то время как их следует различать (ср. [5]) между собой. Вырожденные области разделения можно рассматривать (для тройных систем ср. [6]) как  $(n+1)$ -мерные (в случае диа-

\* Или на осях  $V, E, X_1, X_2, \dots, X_{n-1}$ .

\*\* Или на осях  $V, E, X_1, X_2, \dots, X_{n-1}$ .

области равновесия в целом) или как  $R$ -мерные (в случае  $R$ -мерных фазовых диаграмм равновесия) области с одним, двумя или более вырожденными\*, т. е. обращенными в нуль, измерениями. Последнее становится очевидным после сделанных выше замечаний о природе вырождения тех или иных областей разделения. Ввиду этого и для исключения возможности смещения вырожденных областей разделения с границами между областями разделения целесообразно при применении к диаграммам равновесия или их сечениям соотношений (72) и (74) «восполнять» вырожденные измерения таких областей. Так, например, вырожденную область разделения на двумерной диаграмме равновесия (в двумерном

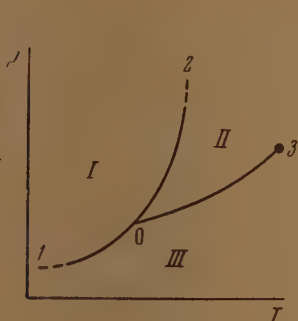


Рис. 7

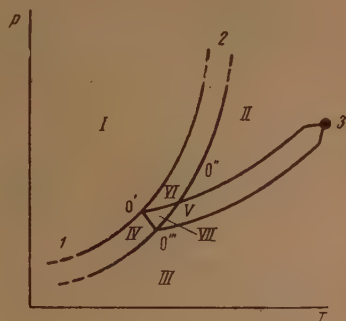


Рис. 8

Рис. 7. Диаграмма равновесия однокомпонентной системы: I — кристалл; II — жидкость; III — пар. Кривые равновесия: 1 — кристалл — пар; 2 — кристалл — жидкость; 3 — жидкость — пар

Рис. 8. Диаграмма равновесия однокомпонентной системы, на которой восполнены «недостающие» измерения вырожденных областей разделения: I — кристалл; II — жидкость; III — пар; IV — кристалл + пар; V — жидкость + пар; VI — кристалл + жидкость + пар; VII — кристалл + жидкость + пар

мении), имеющую вид точки, удобно представить в виде небольшого шарика или многоугольника, — вид линии в виде узкой полосы. Вырожденную область разделения на трехмерной диаграмме равновесия (в трехмерном сечении), имеющую вид точки, удобно представить в виде небольшого шарика или многогранника, — линии в виде тонкого цилиндра или призмы, имеющую вид плоскости (поверхности) — в виде тонкой пластинки и т. п. Учитывая все сказанное выше, легко убедиться, что при этом абсолютно вырожденные области разделения приобретут тот вид, который они имели бы на диаграмме равновесия (или сечении), построенной на осях  $V$ ,  $S$ ,  $X_1$ ,  $X_2$ , ...,  $X_{n-1}$ , а относительно вырожденные области разделения приобретут тот вид, который они имели бы в случае, если бы растворимость соответствующих компонентов и химических соединений сменялась их ограниченной растворимостью.

Покажем, как выполняется правило о соприкасающихся областях разделения, на ряде примеров. Рассмотрим сначала простейшую диаграмму равновесия однокомпонентной системы (рис. 7 и 8). При первом взгляде на рис. 7 может создаться впечатление, что правило о соприкасающихся областях разделения (72) в данном случае не выполняется. Однако не следует забывать, что линии  $01$ ,  $02$  и  $03$  представляют собой не границы, а вырожденные области разделения — в данном случае

\* Отсюда происхождение самого названия упомянутых областей.



моновариантные двухфазные области. Точно так же точка  $O$  представляет собой неинвариантную трехфазную область разделения (кристалл + жидкость + пар). Представив линии  $01$ ,  $02$  и  $03$ , согласно сказанному выше, в виде полос, а точку  $O$  в виде треугольника и рассмотрим вновь полученную диаграмму\* (рис. 8), мы убедимся, что правило (72) полностью выполняется. В самом деле, переходу, например, из области  $I$  (кристалл) в область  $VI$  (кристалл + жидкость) соответствует:  $\alpha^- = 0$ ,  $\alpha^+ = 1$ ,  $\beta^- = 0$ ,  $\beta^+ = 0$ . Отсюда по формуле (72) при  $n=1$  получаем  $R_1 = 1$ . Как видно из рис. 8, этот переход действительно совершается вдоль линии, а именно линии  $0'2$ . Аналогичным образом совершаются переходы между следующими областями:  $II \rightarrow VI$ ,  $II \rightarrow V$ ,  $III \rightarrow V$ ,  $III \rightarrow IV$  и  $I \rightarrow IV$ . Переходу из области  $I$  в область  $VII$  (кристалл + жидкость + пар) соответствует:  $\alpha^- = 0$ ,  $\alpha^+ = 2$ ,  $\beta^- = 0$ ,  $\beta^+ = 0$ . Отсюда получаем  $R_1 = 0$ . На рис. 8 этот переход совершается через точку  $O'$ . Аналогичным образом происходят переходы между областями  $II \rightarrow VII$  и  $III \rightarrow VII$ . Переходу из области  $IV$  (кристалл + пар) в область  $V$  (жидкость + пар) соответствует:  $\alpha^- = 1$ ,  $\alpha^+ = 1$ ,  $\beta^- = 0$ ,  $\beta^+ = 0$ . Отсюда получаем  $R_1 = 0$ . На рис. 8 этот переход осуществляется через точку  $O''$ . Аналогичным образом осуществляются переходы между областями  $IV \rightarrow VI$  и  $V \rightarrow VI$ . Все перечисленные выше переходы можно свести в одну таблицу следующего вида (табл. 1):

Таблица 1

| Переходы   | $I \rightarrow VI$ | $II \rightarrow VI$ | $II \rightarrow V$ | $III \rightarrow V$ | $III \rightarrow IV$ | $I \rightarrow IV$ | $I \rightarrow VII$ | $II \rightarrow VII$ | $III \rightarrow VII$ | $IV \rightarrow V$ | $IV \rightarrow VI$ | $VI \rightarrow V$<br>и т. д. |
|------------|--------------------|---------------------|--------------------|---------------------|----------------------|--------------------|---------------------|----------------------|-----------------------|--------------------|---------------------|-------------------------------|
| $\alpha^-$ | 0                  | 0                   | 0                  | 0                   | 0                    | 0                  | 0                   | 0                    | 0                     | 1                  | 1                   | 1                             |
| $\alpha^+$ | 1                  | 1                   | 1                  | 1                   | 1                    | 1                  | 2                   | 2                    | 2                     | 1                  | 1                   | 1                             |
| $\beta^-$  | 0                  | 0                   | 0                  | 0                   | 0                    | 0                  | 0                   | 0                    | 0                     | 0                  | 0                   | 0                             |
| $\beta^+$  | 0                  | 0                   | 0                  | 0                   | 0                    | 0                  | 0                   | 0                    | 0                     | 0                  | 0                   | 0                             |
| $R_1$      | 1                  | 1                   | 1                  | 1                   | 1                    | 1                  | 0                   | 0                    | 0                     | 0                  | 0                   | 0                             |

Подобным же образом можно разобрать рассмотренные выше неузловые сечения диаграммы равновесия тройной системы (рис. 1, 4, 5 и 6). Чтобы выделить на этих сечениях абсолютно вырожденные области разделения, представим себе эти сечения построенными на осях  $V$ ,  $S$ ,  $X_1$ ,  $X_2$ , ...,  $X_{n-1}$ . Тогда мы легко убедимся, что эвтектическая область разделения ( $L + \alpha + \beta + C$ ), помеченная на рис. 4, 5 и 6 номером  $X$ , представляет собой вырожденную область, граничащую своими концами через отдельные точки\*\* с невырожденными областями  $VII$  и  $VIII$ . Вследствие этого и в соответствии со сказанным выше мы представили ее на рис. 4, 5 и 6 в виде узкой (заштрихованной) полосы с заостренными концами. Кроме того, мы убедимся, что между точками  $I'$  и  $I''$  на рис. 4 лежит вырожденная область разделения, представляющая собой моновариантную область разделения (кристалл + жидкость) чистого компонента  $A$  и соответствующая сечению диаграммы равновесия однокомпонентной системы (рис. 8) при  $P = \text{const}$ . Точно так же между точками  $I'$  и  $I''$  на рис. 5 и 6 лежит вырожденная область разделения, представляющая собой моновариантную трехфазную область разделения ( $L + \alpha + C$ ) бинарной системы из компонентов  $A$  и  $C$  и соответствующую сечению диаграммы равновесия указанной бинарной системы при фиксированном соотношении между концентрациями компонентов  $A$  и  $C$  и при  $P = \text{const}$ . Аналогичный смысл имеет отрезок  $2' 2''$  на рис. 4—6.

Результаты применения к рассмотренным сечениям (рис. 4—6) правила (74) мы можем соответственно представить в виде таблиц, аналогичных табл. 1 (см. табл. 2—4).

Приведем еще два несложных примера. Рассмотрим неузловое изобаротермическое сечение ( $P$  и  $T = \text{const}$ ) диаграммы равновесия той же самой тройной системы при температуре ниже эвтектической (рис. 9). Вследствие нерастворимости компонентов  $A$  и  $B$  в  $C$  в этом сечении имеется относительно вырожденная однофазная область

\* После указанных преобразований рассматриваемая диаграмма равновесия приобретает тот вид, который она имела бы, будучи построена на осях  $V$  и  $S$  или  $V$  и  $E$  (см. выше).

\*\* В том, что это должны быть точки, можно непосредственно убедиться из рассмотрения соответствующего сечения, построенного на осях  $V$ ,  $S$ ,  $X_1$ ,  $X_2$ , ...,  $X_{n-1}$ . Это следует также из того, что в сечении, построенном на осях  $P$ ,  $T$ ,  $X_1$ ,  $X_2$ , ...,  $X_{n-1}$ , область  $X$  представляет собой в действительности бесконечно тонкую полосу, концы которой, очевидно, являются точками.

Таблица 2

| Переходы | I → II | II → IV | I → III | II → III | III → V | V → IV | III → X | X → VIII | VIII → V | V → IX | X → IX | IV → VI<br>и т. д. |
|----------|--------|---------|---------|----------|---------|--------|---------|----------|----------|--------|--------|--------------------|
| $R_1$    | 0      | 0       | 0       | 0        | 0       | 1      | 0       | 0        | 0        | 0      | 0      | 0                  |
| $R_2$    | 0      | 0       | 0       | 0        | 1       | 0      | 1       | 0        | 0        | 1      | 1      | 0                  |
| $R_3$    | 1      | 1       | 1       | 1        | 0       | 1      | 1       | 0        | 1        | 1      | 0      | 0                  |
| $R_4$    | 1      | 1       | 1       | 0        | 1       | 0      | 0       | 0        | 1        | 0      | 1      | 0                  |

Таблица 3

| Переходы | I → II | I → III | I → IV | II → V | III → VI | V → IV | IV → VI | II → X | X → IX | X → VII | V → X | V → IX<br>и т. д. |
|----------|--------|---------|--------|--------|----------|--------|---------|--------|--------|---------|-------|-------------------|
| $R_1$    | 0      | 0       | 0      | 0      | 0        | 1      | 0       | 0      | 0      | 0       | 0     | 0                 |
| $R_2$    | 0      | 0       | 0      | 1      | 1        | 0      | 1       | 1      | 0      | 0       | 0     | 0                 |
| $R_3$    | 1      | 1       | 2      | 0      | 0        | 1      | 0       | 1      | 1      | 2       | 1     | 1                 |
| $R_4$    | 1      | 1       | 0      | 1      | 1        | 0      | 0       | 0      | 2      | 0       | 1     | 0                 |

Таблица 4

| Переходы | I → II | I → IV | I → III | I → V | I → VI | V → VI | II → III | III → IV | III → X | X → VII | X → IX | IX → VIII<br>и т. д. |
|----------|--------|--------|---------|-------|--------|--------|----------|----------|---------|---------|--------|----------------------|
| $R_1$    | 0      | 0      | 0       | 0     | 0      | 0      | 0        | 1        | 0       | 0       | 0      | 0                    |
| $R_2$    | 0      | 0      | 1       | 1     | 1      | 1      | 1        | 0        | 0       | 0       | 1      | 1                    |
| $R_3$    | 1      | 1      | 0       | 1     | 1      | 1      | 0        | 1        | 2       | 0       | 0      | 0                    |
| $R_4$    | 1      | 1      | 1       | 0     | 0      | 0      | 0        | 0        | 0       | 0       | 1      | 1                    |

компонента С, которую мы вместо точки представили в виде неправильного четырехугольника (заштрихованного). На этом примере наглядно подтверждается высказанное выше утверждение, что при искусственном дополнении «недостающих» измерений относительно вырожденных областей разделения последние приобретают тот вид, который они имели бы в случае, если бы нерастворимость соответствующих компонентов и химических соединений сменялась их ограниченной растворимостью. В самом деле, однофазная область (С) VII имеет на рис. 9 такой же вид, как и области (α) I и (β) II.

Переходы для рассматриваемого сечения указаны в табл. 5.

Рассмотрим также изобарическое сечение ( $P = \text{const}$ ) диаграммы равновесия двухкомпонентной системы (компоненты А и В) с химическим соединением S (рис. 10). Соединение S образует в твердом состоянии ограниченные растворы с компонентами А и В, компоненты А и В не растворимы в S. В жидком состоянии S неограниченно растворяется в А и В. В рассматриваемом сечении имеются следующие вырожденные области разделения: две эвтектические области ( $L + \alpha + S$ ) VIII и ( $L + S + \beta$ ) IX, а также относительно вырожденная область химического соединения (S) V; кроме того, между точками 1' и 1'', 2' и 2'' и 3' и 3'' на рис. 10 лежат вырожденные области разделения, представляющие собой моновариантные области разделения (кристалл + жидкость) соответственно чистых компонентов А и В и чистого химического соединения S. Переходы для рассматриваемого сечения указаны в табл. 6.

Таблица 5

| Переходы   | I → III | I → V | I → VI | V → II | V → VI | V → IV | III → V | III → VII | VI → VII | VII → IV | III → IV | III → VI<br>и т. д. |
|------------|---------|-------|--------|--------|--------|--------|---------|-----------|----------|----------|----------|---------------------|
| $\alpha^-$ | 0       | 0     | 0      | 0      | 0      | 0      | 1       | 0         | 0        | 0        | 0        | 0                   |
| $\alpha^+$ | 1       | 0     | 1      | 0      | 1      | 1      | 0       | 0         | 0        | 0        | 0        | 0                   |
| $\beta^-$  | 0       | 0     | 0      | 1      | 0      | 1      | 0       | 1         | 2        | 0        | 1        | 0                   |
| $\beta^+$  | 0       | 1     | 1      | 0      | 0      | 0      | 1       | 0         | 0        | 1        | 1        | 1                   |
| $R$        | 2       | 2     | 2      | 2      | 2      | 2      | 2       | 2         | 2        | 2        | 2        | 2                   |
| $R_1$      | 1       | 1     | 0      | 1      | 1      | 0      | 0       | 1         | 0        | 1        | 0        | 1                   |

Подобным образом можно рассмотреть приведенные выше узловые сечения (рис. 2 и 3) и убедиться в наличии у них переходов, при которых правило (74) выполняется.

Правило о соприкасающихся областях разделения (72) и вытекающее из него соотношение (74) были проверены авторами на большом количестве простых и сложных диаграмм равновесия и сечений. В некоторых

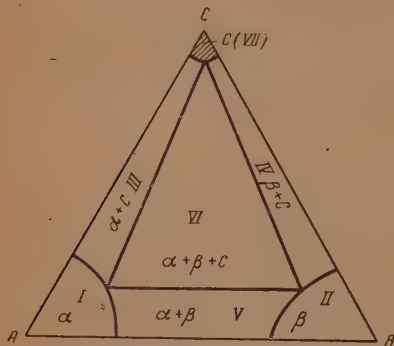


Рис. 9. Изобаротермическое сечение ( $P$  и  $T = \text{const}$ ) диаграммы равновесия тройной системы при температуре ниже эвтектической

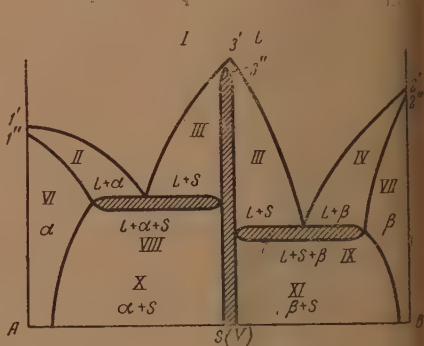


Рис. 10. Изобарическое сечение ( $P = \text{const}$ ) диаграммы равновесия бинарной системы с химическим соединением

случаях при применении соотношений (72) и (74) возникают кажущиеся противоречия, которые легко рассеиваются при учете сказанного выше об узловых сечениях и о вырождении некоторых областей разделения. После внимательного рассмотрения все подобные «исключения» устраняют-

Таблица 6

| Переходы   | I → II | I → III | I → IV | I → VIII | I → IX | III → V | VIII → V | V → XI | XI → IX | XI → VII | VII → IX | XI → IV<br>и т. д. |
|------------|--------|---------|--------|----------|--------|---------|----------|--------|---------|----------|----------|--------------------|
| $\alpha^-$ | 0      | 0       | 0      | 0        | 0      | 0       | 0        | 0      | 0       | 1        | 0        | 1                  |
| $\alpha^+$ | 0      | 1       | 0      | 1        | 1      | 0       | 0        | 0      | 0       | 0        | 1        | 0                  |
| $\beta^-$  | 0      | 0       | 0      | 0        | 0      | 1       | 2        | 0      | 0       | 0        | 0        | 0                  |
| $\beta^+$  | 1      | 0       | 1      | 1        | 1      | 0       | 0        | 1      | 1       | 0        | 1        | 1                  |
| $R$        | 2      | 2       | 2      | 2        | 2      | 2       | 2        | 2      | 2       | 2        | 2        | 2                  |
| $R_1$      | 1      | 1       | 1      | 0        | 0      | 1       | 0        | 1      | 1       | 1        | 0        | 0                  |

и превращаются лишь в примеры, лишний раз подтверждающие истинность правила о соприкасающихся областях разделения.

Сформулированное выше в наиболее общем виде правило о соприкасающихся областях разделения (72) совместно с вытекающим из него соотношением (74) может служить критерием для топологического анализа диаграмм равновесия многокомпонентных гетерогенных систем и выяснения их геометрической структуры, а также может оказать известную помощь при расшифровке экспериментально полученных диаграмм равновесия реальных многокомпонентных систем.

### ВЫВОДЫ

1. Проведено в наиболее общем виде исследование  $K-L$  переходов и т. е. переходов  $K$ -вариантной термодинамической системы в  $L$ -вариантную. Выведена основная система уравнений (60)–(64), определяющая видный  $K-L$  переход.

2. Получено и сформулировано в наиболее общем виде правило о соприкасающихся областях разделения (72), выражающее зависимость размерности границы между двумя областями разделения на диаграмме равновесия от разности между числами чистых компонентов и числами створов (жидких, твердых и газообразных фаз или химических соединений) в данных областях разделения.

3. Рассмотрено применение правила о соприкасающихся областях разделения к различным сечениям диаграмм равновесия. Произведена классификация всех возможных вообще сечений на два основных типа: узловое и неузловое сечения. Получено, вытекающее из правила о соприкасающихся областях разделения, соотношение (74) для неузловых сечений.

4. Рассмотрен вопрос о вырожденных областях разделения и указаны методы применения правила о соприкасающихся областях разделения к таким диаграммам равновесия или сечениям, которые включают в себя вырожденные области разделения.

5. В заключение приведены примеры применения правил (72) и (74) к простым и сложным диаграммам равновесия и к неузловым сечениям.

Харьковский государственный  
университет им. А. М. Горького  
Харьковский политехнический  
институт им. В. И. Ленина

Поступила  
10. III. 1955

### ЛИТЕРАТУРА

1. Л. С. Палатник и А. И. Ландау, Журн. физ. химии, 29, 1784, 1955.
2. Л. С. Палатник, ДАН, 95, 1227, 1954.
3. Л. С. Палатник и В. М. Конторович, Журн. физ. химии, 28, 1599, 1954.
4. Л. С. Палатник и А. И. Ландау, ДАН, 102, 125, 1955.
5. Г. Мазинг, Тройные системы. Элементарное введение в теорию тройных сплавов, ОНТИ, М.—Л., 1935.
6. В. Я. Аносов и С. А. Погодин, Основные начала физико-химического анализа, Изд-во АН СССР, М.—Л., 1947.



НИЗКОТЕМПЕРАТУРНЫЕ ИССЛЕДОВАНИЯ СТРУКТУРЫ  
АРОМАТИЧЕСКИХ СОЕДИНЕНИЙ

## IV. АНИЗОТРОПИЯ ТЕПЛОВОГО РАСШИРЕНИЯ В БЕНЗОЛЕ

*В. М. Кожин и А. И. Емтайгородский*

В отличие от нафталина [1] и антрацена [2] измерение средних коэффициентов линейного расширения в кристалле бензола проводилось в температурном интервале 175° С. Изменение интервала вызвано тем, что при комнатной температуре бензол находится в жидком состоянии (т. пл. +5,5° С). Верхней точкой измерений была температура -20° С. Указанное значение температуры достигалось при помощи описанного ранее метода [1], но только вместо жидкого азота в качестве охладителя была использована смесь спирта с твердой двуокисью углерода. Регистрация температуры кристалла производилась при помощи термопары медь-константан.

В значительной мере трудности эксперимента связаны с выращиванием монокристаллов бензола. По имеющимся литературным данным рентгеновское исследование бензола в твердом состоянии проводилось рядом авторов [3—5]. Но только Коксу [6] удалось вырастить монокристаллы бензола в капилляре и исследовать их при температуре -3° С.

Проведенное нами испытание нескольких методов выращивания монокристаллов бензола показало, что наиболее успешным является метод кристаллизации из расплава. Для этого бюкс с жидким бензолом выдерживался при температуре от -2 до -5° С. На внутренних стенках бюкса довольно быстро вырастали монокристаллы. Преимущественной формой роста кристаллов была ромбическая дипирамида. Учитывая большую упругость паров бензола (при -2,6° С достигает 20 мм), мы не проводили измерений на оптическом гониометре.

В нашем эксперименте кристалл первоначально устанавливался под целлофановым колпачком на воске слегка охлажденной гониометрической головки так, чтобы через некоторое время кристалл начал слегка плавиться в том месте, где он соединен с воском. В это время на колпачок пускалась тонкая струя жидкого азота, и кристалл примерзал к воску и в дальнейшем прочно держался на гониометрической головке.

Сначала снималась рентгенограмма качания, которая обычно указывала на необходимость небольшого изменения в ориентировке кристалла. После этого мы переходили к съемке рентгенограммы, необходимой для исследования кристалла. Кристалл, посаженный на гониометрическую головку, удавалось сохранять от одного до трех дней.

Измерение анизотропии теплового расширения производилось на монокристаллах размером 1×1×2 мм.

Из рентгенограмм качания и рентгеногониометрических разверток, снятых на медном излучении, были определены оси элементарной ячейки для двух разных температур:

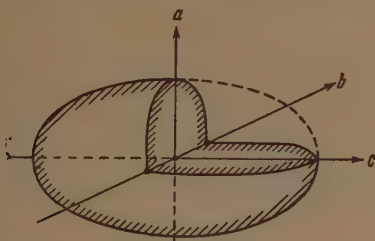
$$t_1 = -20^\circ \text{C}: a = 7,43; \quad b = 9,63; \quad c = 6,99 \text{ kX};$$

$$t_2 = -195^\circ \text{C}: a = 7,27; \quad b = 9,45_2; \quad c = 6,72_8 \text{ kX}.$$

Для ромбического кристалла главные оси тепловой деформации падают с кристаллографическими осями. Было найдено  $\alpha_{11} = 118 \cdot 10^{-6}$ ,  $\alpha_{22} = 106 \cdot 10^{-6}$ ,  $\alpha_{33} = 214 \cdot 10^{-6}$ .

Пространственное изображение поверхностной фигуры коэффициента теплового расширения дано на рисунке.

Зная из работы [6] расположение плоскости молекулы, мы нашли значение коэффициента расширения в направлении, перпендикулярном плоскости молекулы (ось  $N$  в случае нафталина [1]),  $\alpha = 138 \cdot 10^{-6}$ .



Пространственное расположение фигуры коэффициентов тепловой деформации в бензоле по отношению к осям  $a$ ,  $b$  и  $c$  кристалла

Необходимо отметить, что увеличение молекулы на одно бензольное кольцо в ряду бензол — антрацен связано с довольно постоянным отношением средних объемных значений коэффициентов расширения.

Так, для бензола и нафталина это отношение равно

$$\frac{438 \cdot 10^{-6}}{258 \cdot 10^{-6}} = 1,70,$$

для нафталина и антрацена

$$\frac{258 \cdot 10^{-6}}{145 \cdot 10^{-6}} = 1,78.$$

Мы надеемся в будущем продолжить определение анизотропии теплового расширения для других веществ этого ароматического ряда.

### ВЫВОДЫ

1. Подвергнуты рентгеновскому исследованию монокристаллы бензола. Найдены размеры элементарной ячейки для температур  $-20$  и  $-195^\circ \text{C}$ .
2. Определены средние коэффициенты теплового расширения в направлении главных осей тепловой деформации кристалла бензола.

Академия наук СССР

Институт элементоорганических соединений

Москва

Поступила

6.IV.1955

### ЛИТЕРАТУРА

- В. М. Кожин и А. И. Китайгородский, Журн. физ. химии, **27**, 534, 1953.  
 В. М. Кожин и А. И. Китайгородский, Журн. физ. химии, **27**, 1676, 1953.  
 C. D. Eastman, Journ. Amer. Chem. Soc., **46**, 917, 1924.  
 В. Вroom'e, Zs. f. Kryst., **62**, 325, 1925.  
 G. Bruni, Rend. Acad. Lincei, **11**, 1058, 1930.  
 E. G. Cox, а. J. A. S. Smith, Nature, **173**, 75, 1954.

## О МЕХАНИЗМЕ КАТАЛИТИЧЕСКОЙ ДЕГИДРАТАЦИИ ЭТИЛОВОГО СПИРТА И ДИЭТИЛОВОГО ЭФИРА

*К. В. Топчиева и Е. Юн-Пин*

Несмотря на большое число работ по парофазной дегидратации спиртов и простых эфиров над окисью алюминия, механизм этой реакции окончательно не выяснен. В настоящее время не имеется единой схемы, при помощи которой можно было бы объяснить все наблюдаемые экспериментальные факты и разрешить противоречия в толковании механизмов реакции.

Изучение литературы по вопросу дегидратации спиртов привело нас к следующим основным выводам:

1. Дегидратация всех спиртов: алифатических, циклических, ароматических, жирно-ароматических и многоатомных, подчиняется одному общему механизму.

2. Образование простых эфиров может иметь место при дегидратации всех спиртов и является неотъемлемой стадией дегидратации.

3. Скорость дегидратации спиртов в большой степени зависит от строения. Легче всего дегидратируются третичные спирты. Вторичные спирты легче дегидратируются, чем первичные. Спирты нормального строения дегидратируются тем легче, чем больше их молекулярный вес.

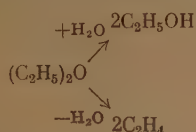
4. Способы приготовления катализаторов резко сказываются на их активности, однако определяющим фактором в подборке катализаторов является их химическая природа.

5. Катализаторы активны только в гидратной форме. Обезвоженные катализаторы теряют свою активность.

При исследовании кинетики парофазной дегидратации этилового спирта и диэтилового эфира [1—4] был установлен ряд важных фактов для решения вопроса о природе активных центров [5] и механизме этой реакции. Одинаковый характер кинетических кривых дегидратации этилового спирта на окиси алюминия и на алюмосиликатах, линейная зависимость констант скоростей дегидратации этилового спирта и диэтилового эфира от состава катализаторов и практическое равенство энергий активации этих реакций говорят об однотипности активных центров указанных катализаторов в реакциях дегидратации спирта и эфира. Неизменность констант скорости реакций дегидратации спирта и эфира на исходном и отравленном ионами натрия (из водных растворов солей) алюмосиликатом катализаторе указывает на то, что активной в обеих реакциях является свободная окись алюминия с гидроксильными группами на ее поверхности. Опыты по избирательному отравлению катализаторов ионами натрия методом обменной адсорбции из водных растворов солей натрия показали, что кислотные центры алюмосиликата, активные в реакциях углеводов, не проявляют заметной каталитической активности в реакциях дегидратации. В наших исследованиях показано, что кинетика каталитической дегидратации этилового спирта на окиси алюминия и алюмосиликатах имеет последовательный (консекутивный) характер [1]. Однако последовательная схема механизма дегидратации спирта не может объяснить факты расхождения скоростей образования этилена из спирта и эфира, установленные разными авторами [6, 7], а параллельная схема не в состоянии объяснить наличие максимума на кривой зависимости выхода эфира от времени контакта. Ни последо-

ильная, ни параллельная схемы не могут объяснить установленное в данной работе наличие максимума на кривой зависимости выхода этилового спирта от времени контакта, при дегидратации диэтилового эфира. Видимо, на основании одних только кинетических данных нельзя однозначно установить действительный механизм реакции каталитической дегидратации. Для выяснения механизма необходимо еще учитывать физическое взаимодействие между катализатором и реагирующим веществом, т. е. необходимо учитывать элементарную стадию действия катализатора. На основании изучения ряда работ [8—17], в которых было доказано взаимодействие алюмосиликатных катализаторов со спиртами, классических работ В. Е. Тищенко [18] по исследованию свойств катализаторов на основе окисей алюминия, а также на основании новых данных по гидратации и дегидратации диэтилового эфира, нами была предложена схема дегидратации этилового спирта на окиси алюминия и алюмосиликатных катализаторах.

Рядом исследователей [19—21] было установлено, что диэтиловый спирт в присутствии таких катализаторов, как окись алюминия, серная кислота, смешанные окисные катализаторы, способен гидратироваться в этиловый спирт. При исследовании процессов дегидратации диэтилового эфира [4] также было обращено внимание на образование заметных количеств этилового спирта. В связи с этим для выяснения механизма гидратации этилового спирта нам представлялось совершенно необходимым изучить кинетику гидратации и дегидратации диэтилового эфира. Если реакция дегидратации этилового спирта протекает по последовательной схеме через стадию образования диэтилового эфира, то разложение диэтилового эфира должно протекать по параллельной схеме с образованием этилового спирта и этилена:



В этом случае выходы этилена и спирта должны увеличиваться непрерывно с увеличением времени контакта, и кинетические кривые не должны проходить через максимум. Наличие максимума на кривой зависимости выхода спирта от температуры, при гидратации диэтилового эфира, было отмечено в работе А. А. Ваншейдта и Л. Лозовского [20]. Можно было ожидать, что наличие максимума будет наблюдаться и при постоянной температуре, но при изменении времени контакта. Ниже приводим результаты кинетических опытов по гидратации диэтилового эфира. Опыты проводились в проточной установке с постоянной подачей этилового спирта [1]. Задача пара воды осуществлялась прибором, предложенным в работе С. Е. Брауде и Б. П. Брунса [22].

В табл. 1 и на рисунке приведены результаты кинетических опытов по гидратации диэтилового эфира на окиси алюминия при 300° С. Молярное соотношение эфира и воды равнялось единице.

В табл. 2 и 3 приведены данные по кинетике дегидратации чистого диэтилового эфира на окиси алюминия при 275 и 300°. Этиловый спирт в этом случае образуется за счет гидратации эфира той частью воды, которая образуется при дегидратации эфира в этилен.

Из рисунка и табл. 1—3 видно, что максимум кривой зависимости выхода этилового спирта от времени контакта (кривая I) ясно наблюдается во всех случаях.

Наличие максимумов на кинетических кривых при гидратации и дегидратации эфира не может быть объяснено обычной схемой последовательной реакции дегидратации этилового спирта. Эти данные указывают, что для установления действительного механизма каталитической дегид-



ратации спирта и эфира недостаточно исходить только из стехиометрического состава продуктов реакции или одних кинетических данных. В этом случае, повидимому, необходимо еще учитывать возможное взаимное

Таблица 4

Кинетика гидратации диэтилового эфира при 300°

| Объемная скорость подачи эфира ( $n_0$ ) в моль/час см <sup>3</sup> (кат.) | $\frac{1}{n_0}$ | Эфир, превратившийся в спирт, в % у Сп | Эфир, превратившийся в этилен, в % у С <sub>2</sub> H <sub>4</sub> |
|--|-----------------|--|--|
| 0,01790  | 55,86           | 6,27                                   | 61,00  |
| 0,02675  | 37,40           | 10,66                                  | 54,79  |
| 0,03490  | 28,65           | 13,91                                  | 43,44  |
| 0,04325  | 23,23           | 14,96                                  | 41,54  |
| 0,05190  | 19,27           | 13,63                                  | 34,44  |
| 0,06000  | 16,66           | 12,56                                  | 29,49  |
| 0,10200  | 9,87            | 8,16                                   | 17,34  |

действию активных центров катализатора с молекулами реагирующего вещества.

В литературе имеется достаточное число работ, указывающих на наличие химического взаимодействия спиртов с катализаторами, в частности с окисью алюминия и алюмосиликатами. А. В. Киселев с сотрудниками [8, 9] обратил внимание на явление необратимой адсорбции паров метилового спирта на силикагелях различной структуры. Авторы объяснили это явление образованием эфира ортокремневой кислоты при взаимодействии метилового спирта с гидроксильными группами поверхности силикагеля.

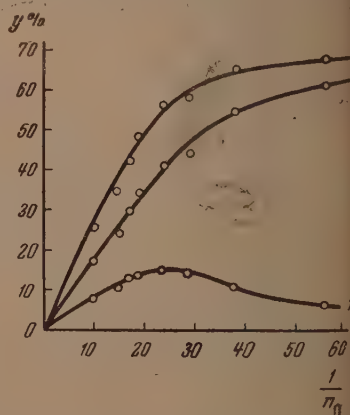
В работе [10] было установлено, что химическая адсорбция паров метилового спирта, приводящая к обратному типу сложного эфира, наблюдается

только на силикагелях, но и на окиси алюминия и алюмосиликатах разного состава. Способность такого поверхностного эфира к разложению определяет каталитическую активность этих катализаторов в реакции дегидратации. Реальная возможность образования промежуточного соединения на поверхности окисных катализаторов была доказана тем, что исходный метиловый спирт после ряда повторных снятий изотерм адсорбции и десорбции содержал 0,64% воды, образовавшейся за счет поверхностной химической реакции.

В работах [11–14] спектральным методом было показано, что при адсорбции паров метилового спирта на силикагеле и алюмосиликагеле происходит глубокое химическое взаимодействие между адсорбированными молекулами и активными центрами катализатора с образованием поверхностного химического соединения.

С. М. Карпачева и А. М. Розен [15–17], изучая изотопный обмен окисных катализаторов, в частности окиси алюминия и каолина, с водяным паром, содержащим O<sup>18</sup>, пришли также к заключению, что при контакте этилового спирта с гидратом окиси алюминия происходит образование промежуточного соединения — алкоголята.

Таким образом, многочисленные исследования советских ученых не оставляют никаких сомнений в том, что при адсорбции спиртов на окиси алюминия и алюмосиликатах образуется поверхностное соединение эфирного типа. Для окиси алюминия, а также для алюмосиликатных



Кинетика гидратации эфира на Al<sub>2</sub>O<sub>3</sub> при 300° С. 1 — превращение эфира в спирт; 2 — превращение эфира в этилен; 3 — общая степень превращения эфира

лизаторов, вследствие однотипности их активных центров, таким поверхностным соединением, очевидно, является соединение типа алко-  
гата алюминия  $>Al-O-C_2H_5$ . Равенства значений энергии акти-  
вации образования этилена из этилового спирта и диэтилового эфира, по-  
тому, свидетельствуют о том, что образовавшееся поверхностное  
соединение является одним и тем же, независимо от того, что взято в  
исходном веществе — спирт или эфир. Все эти факты позволяют

Таблица 2

Таблица 3

Кинетика дегидратации диэтилового  
эфира при 275°

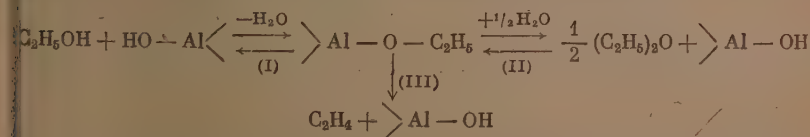
Кинетика дегидратации диэтилового  
эфира при 300°

| $n_0$  | $\frac{1}{n_0}$ | $v_{сп}$ | $v_{C_2H_4}$ |
|--------|-----------------|----------|--------------|
| 0,3215 | 31,10           | 5,04     | 50,25        |
| 0,4135 | 24,20           | 7,57     | 44,14        |
| 0,4654 | 21,48           | 9,53     | 40,81        |
| 0,5130 | 19,46           | 9,92     | 38,42        |
| 0,5635 | 17,74           | 9,47     | 37,10        |
| 0,6130 | 16,31           | 8,64     | 35,75        |
| 0,6404 | 15,62           | 6,86     | 33,72        |
| 0,7140 | 13,01           | 4,30     | 30,12        |
| 0,8104 | 12,34           | 3,45     | 25,55        |

| $n_0$   | $\frac{1}{n_0}$ | $v_{сп}$ | $v_{C_2H_4}$ |
|---------|-----------------|----------|--------------|
| 0,01521 | 65,75           | 5,42     | 72,62        |
| 0,02675 | 37,40           | 7,74     | 62,52        |
| 0,04325 | 23,23           | 10,32    | 53,01        |
| 0,05190 | 19,27           | 12,14    | 50,78        |
| 0,06000 | 16,66           | 11,12    | 47,72        |
| 0,06850 | 14,60           | 9,97     | 46,01        |
| 0,08551 | 11,69           | 7,53     | 40,73        |
| 0,11900 | 8,40            | 5,45     | 30,13        |

сделать заключение о том, что реакция дегидратации спиртов проте-  
кает через стадию образования нестойкого химического поверхностного  
соединения типа алкогата алюминия и дальнейшего распада его на про-  
дукты дегидратации.

Исходя из выдвинутого положения, механизм дегидратации этилового  
спирта и диэтилового эфира на окиси алюминия и алюмосиликатных  
катализаторах можно представить следующей схемой:



По этой схеме первая стадия процесса заключается во взаимодействии  
свободных молекул спирта и эфира с активными центрами катализа-  
тора  $>Al-OH$  с образованием поверхностного соединения типа алкога-  
та алюминия  $>Al-O-C_2H_5$ . Затем это поверхностное соединение может  
распасться на спирт или эфир, причем оба эти процесса являются обра-  
тимыми. При повышении температуры поверхностное соединение разла-  
гается на этилен и воду. В зависимости от природы катализаторов,  
структуры и строения спирта и эфира, а также от условий проведения  
реакции, соотношение получаемых продуктов будет различное.

Максимум выхода эфира при дегидратации спирта на основании пред-  
ложенной схемы можно объяснить тем, что при малом времени контакта  
равновесие между (I) и (II) стадиями не достигнуто, и реакция направлена  
в сторону установления равновесия, т. е. в сторону образования эфира.  
При установлении равновесия выход эфира достигает максимального  
значения. При дальнейшем увеличении времени контакта за счет необра-  
тимой стадии (III), равновесная концентрация поверхностного соединения  
будет все время уменьшаться. Для установления нового равновесного  
состояния часть спирта и эфира будет расходоваться из газовой фазы;  
следовательно, их концентрация будет падать с увеличением времени

контакта. Так же объясняется и наличие максимума выхода спирта при гидратации эфира. На основании данной схемы легко объяснить и все другие факты, наблюдаемые при дегидратации этилового спирта и эфира.

Предложенная схема находится в хорошем согласии с классическими работами В. Е. Тищенко [18] по изучению свойств алкоголятов алюминия, который показал, что алкоголяты алюминия разлагаются на спирты, простые эфиры и этиленовые углеводороды, т. е. выделяют те же продукты, что при дегидратации спиртов и эфиров.

Выдвинутая нами схема дегидратации спирта и эфира на алюмосиликатных катализаторах, на наш взгляд, довольно хорошо объясняет экспериментальные факты и является одной из наиболее вероятных схем, отражающей действительный механизм этой каталитической реакции.

### ВЫВОДЫ

1. Исследована кинетика гидратации и дегидратации диэтилового эфира на окиси алюминия при 275 и 300°. Показано, что кривая зависимости выхода этилового спирта от времени контакта проходит через максимум.
2. Предложена схема для механизма каталитической дегидратации этилового спирта и диэтилового эфира на окиси алюминия и алюмосиликатных катализаторах.

Московский государственный  
университет  
им. М. В. Ломоносова

Поступила  
12.IV.1955

### ЛИТЕРАТУРА

1. К. В. Топчиева и К. Юн-Пин, Вестн. МГУ, № 12, 39, 1952.
2. К. В. Топчиева и К. Юн-Пин, Вестн. МГУ, № 2, 89, 1953.
3. К. В. Топчиева и К. Юн-Пин, Журн. физ. химии, 29, 1678, 1955.
4. К. В. Топчиева и К. Юн-Пин, Журн. физ. химии, 29, 1854, 1955.
5. К. В. Топчиева и К. Юн-Пин, ДАН, 101, 1955.
6. F. Bischoff and A. N. Adkins, Journ. Amer. Chem. Soc., 47, 810, 1925.
7. Л. Х. Фрейдлини и А. М. Левит, Изв. АН СССР, ОХН, № 2, 163, 1952.
8. О. М. Джигит, А. В. Киселев, Н. Н. Микос-Авгуль, К. Д. Щербакова, ДАН, 70, 441, 1949.
9. Н. Н. Микос-Авгуль, О. М. Джигит, А. В. Киселев, Журн. физ. химии, 26, 977, 1950.
10. К. В. Топчиева и А. П. Баллод, ДАН, 75, 247, 1950.
11. А. Н. Теренин, Вестн. ЛГУ, № 11, 143, 1953.
12. А. И. Сидорова и А. Н. Теренин, Изв. АН СССР ОХН, № 2, 154, 1950.
13. О. В. Фиалковская, А. Н. Теренин, Изв. АН СССР ОХН, № 3, 226, 1951.
14. А. И. Сидорова, Журн. физ. химии, 28, 525, 1954.
15. С. М. Карпачева и А. М. Розен, ДАН, 68, 1057, 1949.
16. С. М. Карпачева и А. М. Розен, ДАН, 81, 425, 1951.
17. С. М. Карпачева и А. М. Розен, ДАН, 75, 55, 1950.
18. В. Е. Тищенко, Действие амальгмированного алюминия на алкоголь, С.-Петербург, 1899.
19. А. А. Баландин, Н. И. Шуйкин, Т. К. Козминская и М. П. Несвижский, Журн. физ. химии, 2, 601, 1932.
20. А. А. Ваншейдт и М. Лозовский, Журн. общ. химии, 3, 329, 1933.
21. М. Я. Каган, И. М. Россинская и С. М. Чернцов, Журн. общ. химии, 3, 337, 1933.
22. Г. Е. Брауде и Б. П. Брунс, Зав. лаб., № 11—12, 1123, 1945.

## ИССЛЕДОВАНИЕ ТЕРМИЧЕСКОЙ ДИССОЦИАЦИИ ДИСУЛЬФИДА МОЛИБДЕНА

А. Н. Зеликман и О. Е. Крейн

Дисульфид молибдена  $\text{MoS}_2$  — наиболее устойчивый из известных сульфидов молибдена. Сульфиды более высокой валентности ( $\text{MoS}_3$  и  $\text{Mo}_2\text{S}_5$ ) термически неустойчивы и диссоциируют при сравнительно низкой температуре (400—500°). Между тем дисульфид молибдена устойчив в широком диапазоне температур. Заметная термическая диссоциация его при атмосферном давлении наблюдается лишь при температурах выше 1300°. Образующийся при этом (по утверждению ряда авторов)  $\text{Mo}_2\text{S}_3$  мало изучен. Свойства дисульфида молибдена, являющегося основным молибденовым минералом, исследованы далеко не полно. В частности, это относится к поведению минерала при высоких температурах.

Первые исследования по изучению поведения молибденита при нагревании носили качественный характер. Так, Гишар [1] показал, что при кратковременной выдержке молибденита при высокой температуре (в электродуговой печи) в отсутствие воздуха дисульфид молибдена диссоциирует с образованием  $\text{Mo}_2\text{S}_3$ . При длительной выдержке происходит полная диссоциация с получением металла. В вакууме заметная диссоциация наблюдалась уже при 1000—1200° [2]. Авторы, изучавшие диссоциацию  $\text{MoS}_2$  в вакууме, указывают, что в этом случае диссоциация происходит до металла без промежуточного образования  $\text{Mo}_2\text{S}_3$  [2—4]. Количественные данные об упругости диссоциации дисульфида молибдена были впервые получены Парравано и Малькуори [5]. Экспериментальная методика авторов состояла в определении равновесного состава газовой фазы для реакции:  $\text{MoS}_2 + \text{H}_2 \rightleftharpoons \text{Mo} + \text{H}_2\text{S}$ , по методу струи (метод Елинека). Полученные данные затем (с учетом известных значений константы диссоциации сероводорода) пересчитывали на равновесную упругость паров серы над молибденитом. Из сохранения постоянного состава газовой фазы в процессе восстановления  $\text{MoS}_2$  водородом (вплоть до почти полного удаления серы) авторы заключили, что восстановление водородом протекает до металла без промежуточного образования  $\text{Mo}_2\text{S}_3$ , что затем рентгенографически подтвердил и Монторо [3].

Из экспериментальных данных Парравано и Малькуори и данных о теплоемкости  $\text{MoS}_2$  Келли [6] вывел уравнение изменения свободной энергии образования дисульфида молибдена по реакции:



$$\Delta F^\circ = -57640 - 15,78T \lg T + 5,6 \cdot 10^{-3} T^2 - 0,252 \cdot 10^6 \cdot T^{-1} + 49,24T;$$

$$\Delta F_{298}^\circ = -54190 \text{ кал}; \quad \Delta H_{298}^\circ = -56270 \text{ кал.}$$

И. А. Маколкин [7] из измерений э. д. с. гальванической цепи:



получил для этих же величин близкие значения:

$$\Delta F_{298}^\circ = -53960 \text{ кал}, \quad \Delta H_{298}^\circ = -55980 \text{ кал.}$$

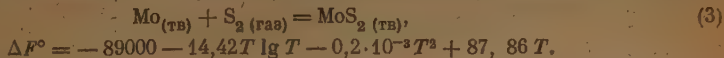
Для того чтобы из приведенного выше уравнения Келли получить уравнение свободной энергии образования  $\text{MoS}_2$  из молибдена и газообразной серы следует учесть изменение свободной энергии превращения



Келли для этой реакции

$$\Delta F^\circ = 31360 - 1,36T \lg T + 5,8 \cdot 10^{-3} T^2 - 38,62T.$$

Вычитая это уравнение из уравнения свободной энергии для реакции (1), получаем уравнение реакции



$$\Delta F^\circ = -89000 - 14,42T \lg T - 0,2 \cdot 10^{-3} T^2 + 87,86T.$$

Значения упругости диссоциации  $\text{MoS}_2$  при температурах 900—1100°, подсчитанные по этому уравнению, приведены в табл. 1 и на рис. 2.



Работа Парравано и Малькуори до сих пор была единственным экспериментальным исследованием упругости диссоциации молибденита при высоких температурах. Ввиду этого нами было предпринято дополнительное изучение этой важной характеристики с использованием другого метода исследования.

### ЭКСПЕРИМЕНТАЛЬНОЕ ИССЛЕДОВАНИЕ

**Методика исследования.** Для определения упругости диссоциации молибденита мы остановились на косвенном методе, основанном на определении равновесного состава газовой фазы для реакции восстановления дисульфида молибдена водородом:



При этом мы исходили из имеющихся в литературе указаний, подтвержденных и нашими предварительными опытами, что дисульфид молибдена восстанавливается водородом до металла, минуя промежуточное соединение  $\text{Mo}_2\text{S}_3$ .

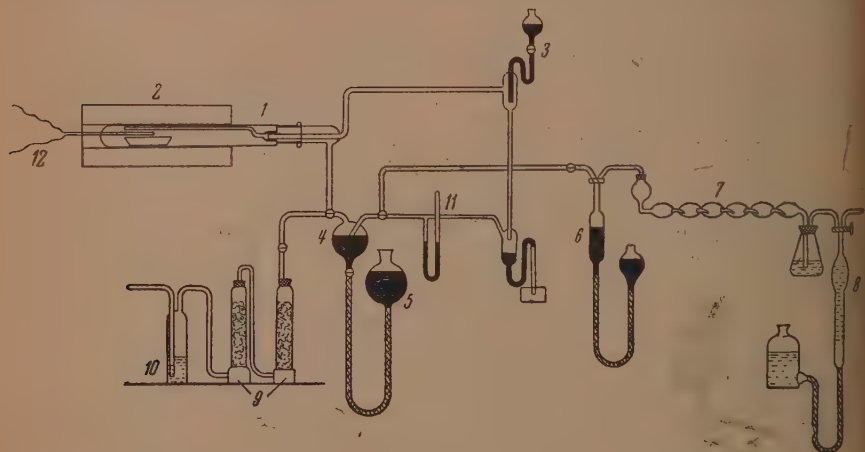


Рис. 1. Схема циркуляционной установки. 1 — кварцевая пробирка; 2 — печь; 3 — каплеуловитель; 4 — баллон для отбора газа; 5 — груша с ртутью; 6 — газовая пипетка; 7 — шариковый поглотитель с титрованным раствором иода; 8 — газовая бюретка; 9 — колонка с едким натром и фосфорным ангидридом; 10 — дренкель с серной кислотой; 11 — манометр; 12 — термопара

В отличие от Парравано и Малькуори, применявших для определения равновесного состава газовой фазы метод струи, нами был избран циркуляционный метод, заимствованный из работ А. Н. Вольского [8]. Этот метод с теоретической точки зрения имеет преимущества перед методом струи, так как в последнем определение равновесного состава газовой фазы производится путем экстраполяции экспериментальных значений на нулевую скорость, что иногда приводит к существенной ошибке.

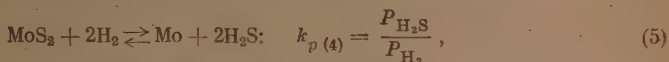
Схема циркуляционной установки приведена на рис. 1. Установка состоит из кварцевой реакционной пробирки 1, в которую помещается лодочка с исследуемым веществом, системы циркуляции газовой смеси, осуществляемой при помощи каплеуловителя 3, и системы для отбора и анализа газовой фазы 6. Кварцевая пробирка присоединена к системе циркуляции при помощи шлифа. Для отбора пробы газа на анализ в систему включен газовый баллон 4. Поддержание постоянного (атмосферного) давления в системе осуществляется подъемом или опусканием груши с ртутью 5. После помещения кварцевой лодочки с навеской молибденита в пробирку всю систему промывали чистым сухим водородом, поступающим из аппарата Киппа через систему очистки. Затем на пробирку надвигали трубчатую печь, предварительно разогретую

температуры опыта. Температуру внутри пробирки контролировали термонпарой, вставленной в кварцевую гильзу, впаянную в пробирку над лодочкой с молибденитом. Этого чтобы избежать вредного влияния термической диффузии, циркулирующая смесь после прохождения с относительно малой скоростью над лодочкой (диаметра реакционной пробирки 25 мм) всасывается в капилляр, расположенный над лодочкой. Вследствие высокой скорости в капилляре газовая смесь «закаливается» и не меняет состав, отвечающий равновесному. Для определения состава газовой фазы газа (~50 мл), отобранная в газовую пипетку 6, пропускалась через шариковый фильтр с титрованным раствором иода, который реагировал с сероводородом. Иодок водорода собирался в бюретке 8. Количество поглощенного сероводорода определяли титрованием остатка иода гипосульфитом.

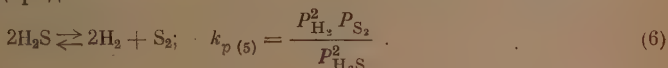
Вычисление равновесной упругости паров серы для реакции:



проводили по экспериментальным значениям для константы равновесия реакции восстановления  $\text{MoS}_2$  водородом:



с учетом известных значений для константы равновесия реакции диссоциации сероводорода:



тогда следует

$$k_p (3) = P_{\text{S}_2} = k_p^2 (4) \cdot k_p (5)$$

$$\lg P_{\text{S}_2} = 2 \lg k_p (4) + \lg k_p (5).$$

Поскольку опыты проводились при температурах 800—1100°, было принято, что пары серы состоят только из двухатомных молекул, так как при 700° содержание молекул  $\text{S}_2$  в равновесной смеси паров серы превышает 98% [9].

При расчетах приняты следующие значения константы диссоциации сероводорода  $k_p (5)$  при различных температурах [10]:

| °C   | $\lg k_p (5)$ |
|------|---------------|
| 800  | 3,65          |
| 900  | 2,90          |
| 1000 | 2,25          |
| 1100 | 1,75          |

Исследование проводили с чистым молибденитом, полученным от Минералогического музея АН СССР. Полученный после растирания в агатовой ступке просеянный через сито с отверстием 0,063 мм порошок  $\text{MoS}_2$  содержал

|       |       |
|-------|-------|
| Mo    | 59,8% |
| S     | 39,6% |
| Сумма | 99,4% |

содержание молибденита близко к теоретическому (Mo 60%; S 40%).

## РЕЗУЛЬТАТЫ ОПЫТОВ И ИХ ОБСУЖДЕНИЕ

Упругость диссоциации  $\text{MoS}_2$  исследовали в диапазоне температур 800—1100°. Экспериментальные данные приведены в табл. 1, а рассчитанные из них значения  $\lg P_{\text{S}_2}$  и свободной энергии образования  $\text{MoS}_2$  в табл. 2. На рис. 2 сопоставлены полученные нами значения упругости диссоциации  $\text{MoS}_2$  с экспериментальными данными Парравано и Малькуори. Анализ данных Парравано и Малькуори показал, что авторы при обработке своих экспериментальных данных приняли неправильные

Таблица 1

Экспериментальные данные определения равновесного состава газовой фазы

| Время от начала<br>опыта (час.) | Объем газов в мл |                  | $\frac{V_{H_2S}}{V_{H_2}}$ | Среднее значение |
|---------------------------------|------------------|------------------|----------------------------|------------------|
|                                 | H <sub>2</sub>   | H <sub>2</sub> S |                            |                  |
| 800°                            |                  |                  |                            |                  |
| 6                               | 50,80            | 0,15             | 0,0029                     | } 0,0027         |
| 10,5                            | 50,40            | 0,12             | 0,0023                     |                  |
| 11,0                            | 54,20            | 0,15             | 0,0027                     |                  |
| 21,5                            | 55,00            | 0,16             | 0,0029                     |                  |
| 900°                            |                  |                  |                            |                  |
| 4,5                             | 56,9             | 0,50             | 0,0088                     | } 0,0083         |
| 7,5                             | 71,3             | 0,60             | 0,0084                     |                  |
| 15,0                            | 66,2             | 0,52             | 0,0080                     |                  |
| 20,0                            | 54,3             | 0,43             | 0,0081                     |                  |
| 1000°                           |                  |                  |                            |                  |
| 3,0                             | 70,6             | 0,78             | 0,0110                     | } 0,0120         |
| 5,0                             | 54,5             | 0,64             | 0,0117                     |                  |
| 6,0                             | 60,8             | 0,74             | 0,0122                     |                  |
| 6,0                             | 53,6             | 0,63             | 0,0117                     |                  |
| 12,0                            | 62,5             | 0,74             | 0,0118                     |                  |
| 14,5                            | 52,2             | 0,65             | 0,0126                     |                  |
| 1100°                           |                  |                  |                            |                  |
| 6,5                             | 52,8             | 1,97             | 0,0254                     | } 0,0319         |
| 9,5                             | 50,2             | 1,67             | 0,0324                     |                  |
| 15,0                            | 51,4             | 1,62             | 0,0314                     |                  |

Таблица 2

Упругость диссоциации и свободная энергия образования  $MoS_2$

| Температура<br>°C | Среднее значение<br>$k_{p(4)} = \frac{V_{H_2S}}{V_{H_2}}$ | $21g k_{p(4)}$ | $1g k_{p(5)}$ | $1g P_{S_2}$ | $\Delta F$ |
|-------------------|---|----------------|---------------|--------------|------------|
| 800               | 0,0027  | -5,137         | -3,65         | -8,787       | 43140      |
| 900               | 0,0083  | -4,162         | -2,90         | -7,062       | 37730      |
| 1000              | 0,0120  | -3,842         | -2,25         | -6,092       | 35480      |
| 1100              | 0,0319  | -2,992         | -1,75         | -4,742       | 29800      |

чения  $k_{p(5)}$  для реакции диссоциации сероводорода. После произведенной корректировки значения  $\lg P_{S_2}$ , полученные Парравано и Малькуори, приближаются к вычисленным из наших экспериментальных данных. Однако при 800 и 1100° различие все еще составляет примерно 7,5%.

Значения  $\lg P_{S_2}$ , вычисленные по уравнению Келли, удовлетворительно согласуются с нашими экспериментальными данными: для трех температур значения  $\lg P_{S_2}$  отличаются на 3—3,7%, 900° на 0,7% (рис. 2).

Как видно из рис. 2, уравнение Келли несколько лучше отвечает полученным нами экспериментальным данным, чем данным Парравано и Малькуори, в особенности для температур 800 и 1100°.

### ВЫВОДЫ

1. Проведено экспериментальное определение упругости диссоциации дисульфида молибдена статическим методом при температурах 800—1100° по равновесному составу газовой фазы реакции восстановления  $MoS_2$  водородом.

2. Уточнены данные, полученные ранее Парравано и Малькуори по давлению струи.

3. Показано, что экспериментальные данные удовлетворительно согласуются с вычисленными из выведенного Келли уравнения свободной энергии образования  $MoS_2$ .

Московский институт  
цветных металлов и золота

Поступила  
24.V.1955г.

### ЛИТЕРАТУРА

- M. Guichard, C. R., 130, 137, 1900.  
M. Picon, C. R., 189, 96, 1929.  
K. Montoro, Atti. Acad. Lincei, [6], 9, 331, 1929.  
M. Guichard, Bull. Soc. chim., [4], 51, 569, 1932.  
N. Parravano, G. Malquori, Atti. Acad. Lincei, 7, 109, 1923.  
K. K. Kelley, Bull. U. S. Bur. Min., № 406, 1937.  
И. А. Маколкин, Acta phys. chim. URSS, 13, 361, 1940.  
А. Н. Вольский, Основы теории металлургических плавок, Металлургиздат, 1943.  
О. А. Есин и П. В. Гельд, Физическая химия пирометаллургических процессов, Металлургиздат, ч. 1, 1950, стр. 304.  
В. Льюис и Э. Рэнделл, Химическая термодинамика, Гостехиздат, 1936, стр. 449.

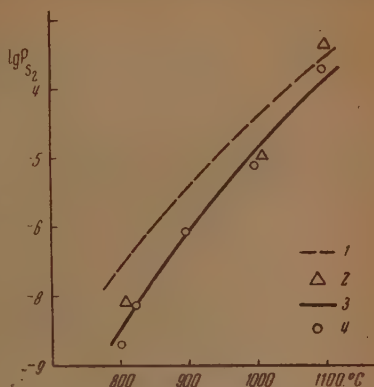


Рис. 2. Упругость диссоциации  $MoS_2$  в зависимости от температуры. 1 — данные Парравано и Малькуори; 2 — скорректированные нами данные Парравано и Малькуори; 3 — уравнение Келли; 4 — наши данные



## ДИСКУССИЯ

ВЕЛИЧИНА ПОВЕРХНОСТИ И КАТАЛИТИЧЕСКАЯ АКТИВНОСТЬ  
ПЛАТИНЫ, НАНЕСЕННОЙ НА СИЛИКАГЕЛЬ

Г. К. Боресков

Каталитические свойства твердых веществ правильнее всего характеризовать величиной удельной каталитической активности, отнесенной к единице поверхности. Для этого необходимо определять с достаточной точностью величину работающей поверхности катализатора. В случае катализаторов, не однородных по составу, в частности катализаторов на носителях, определение поверхности каталитически активного компонента является довольно сложной задачей, требующей особого решения в каждом отдельном случае. В работе А. П. Карнаухова и автора [1] при измерении адсорбции водорода при  $250^\circ$  была определена поверхность платины, нанесенной на силикагель. При этой температуре адсорбция водорода на силикагеле очень мала и может быть учтена с достаточной точностью. Количество водорода, адсорбируемое в условиях опыта единицей поверхности платины, было установлено путем измерения адсорбции водорода на губчатой платине, поверхность которой была точно определена по низкотемпературной адсорбции аргона.

Н. И. Кобозев высказал ряд критических замечаний по поводу этого метода. Он полагает, что в нашей работе содержатся две принципиальные ошибки:

1) Пользование «адсорбционными изотермами, далеко не достигающими насыщения». По мнению Н. И. Кобозева, это должно приводить к пониженной величине поверхности, получаемой из наших измерений.

2) Допущение, что удельная адсорбция (на единицу общей поверхности) не зависит от микроструктуры и обработки этой поверхности.

Начнем с разбора первого замечания. Прежде всего надо уточнить, что понимается под «насыщением изотерм».

Судя по ссылке на рис. 7 в нашей работе [1], Н. И. Кобозев имел в виду отсутствие горизонтального участка изотермы. Это действительно усложняет задачу определения поверхности, но отнюдь не означает, что значительная часть поверхности остается при этом не покрытой адсорбируемым газом. Приведенное в нашей работе исследование адсорбции водорода на губчатой платине, поверхность которой была измерена по низкотемпературной адсорбции аргона, показало, что при давлении 650 мм ртут. на 1 см<sup>2</sup> поверхности платины адсорбировано  $10^{15}$  молекул водорода, т. е. что поверхность практически полностью покрыта водородом, хотя изотерма и не горизонтальна. Небольшой подъем изотерм в области полного заполнения поверхности наблюдается в подавляющем большинстве исследований адсорбции газов на металлах при повышении температур.

Именно поэтому мы и сочли более правильным для определения поверхности платины на силикагеле не постулировать определенного соотношения между числом атомов платины на поверхности и числом адсорбированных атомов водорода, а непосредственно измерить адсорбцию водорода на образце платины с известной поверхностью и принять, что и для других исследуемых образцов при равном давлении на единицу поверхности адсорбируется столько же молекул водорода.

Мнение Н. И. Кобозева, что при этом для поверхности платины мы должны получить обязательно преуменьшенное значение, совершенно не основательно.

Перейдем теперь к рассмотрению второй предполагаемой ошибки. При определении поверхности платины, нанесенной на силикагель, мы сделали допущение, что количество водорода, адсорбируемое на единицу поверхности губчатой платины и платины на силикагеле при равных давлениях водорода в области больших заполнений одинаково.

Н. И. Кобозев считает это неверным вследствие возможного различия концентрации активных участков на поверхности этих образцов. Так, он указывает, что в найденных нами размерах кристаллов губчатой платины и платины на силикагеле длина ребер кристаллов в единице веса платины во втором случае в десятки тысяч раз больше, чем в первом. Это верно, но Н. И. Кобозев не обращает внимания на то простое обстоятельство, что даже в случае мелких кристаллов число атомов, лежащих на ребрах, составляет небольшую долю общего числа атомов поверхности. Поэтому размер кристаллов и всякого рода структурные дефекты могут сказываться на форме адсорбции

и изотермы в области малых заполнений, но не должны существенно влиять на количество водорода, адсорбированного на единице поверхности в области давлений, соответствующих практически полному заполнению поверхности адсорбированным водородом.

Таким образом, в условиях наших измерений нет оснований ожидать заметного злия в адсорбции водорода на исследованных образцах платины.

Кроме разобранных основных критических замечаний Н. И. Кобозев указывает, что возможным источником ошибок в наших измерениях является трудность полного аления водорода с поверхности платины при предварительной тренировке. Эта трудность действительно имеет место, и она нами учитывалась с самого начала при разработке метода. С целью достижения возможно более полного удаления водорода с поверхности платины мы применяли продолжительную (свыше 60 час.) тренировку разов в высоком вакууме при  $550^{\circ}\text{C}$ . Это не гарантирует полного удаления водорода с поверхности металла, но доля поверхности, занятая водородом после тренировки, велика. Так, Эмметт и Куммер [3] определили путем многократного обмена с дейтеем, что количество водорода, удерживаемое железным катализатором после откачки при  $500^{\circ}\text{C}$ , отвечает покрытию 5% поверхности.

Для проверки полноты освобождения поверхности при тренировке платинированного силикагеля один из образцов был подвергнут тренировке при  $600^{\circ}$  в течение 64 час. Если бы тренировка при  $550^{\circ}$  в течение 72 час. не обеспечивала достаточно полного освобождения поверхности, то на образце, подвергнутом тренировке в более жестких условиях, адсорбция водорода была бы больше. В действительности количество адсорбированного водорода на этом образце не увеличилось, а даже несколько изилось, в соответствии с уменьшением поверхности платины в результате рекристаллизации. Это дает основание утверждать, что доля поверхности платины, занятая водородом после тренировки, значительно меньше возможной ошибки при измерении поверхности.

Проведенный разбор критических замечаний Н. И. Кобозева показывает необходимость его вывода, что примененный нами адсорбционный метод не дает возможности количественно характеризовать поверхность платины на силикагеле.

Мы не склонны переоценивать точность нашего метода, усовершенствование которого весьма желательно, но полагаем, что возможные ошибки никак не могут поколебать основной результат измерений, заключающийся в том, что поверхность платины, нанесенной на силикагель, в 4—8 раз меньше величины, отвечающей распределению ее в виде монослоя на поверхности носителя.

Правильность этого вывода, повидимому, сознает и сам Н. И. Кобозев, так как кроме критики метода измерения он приводит и возможные объяснения полученных нами результатов, в том числе и предположение об образовании ансамблей с числом атомов платины более четырех.

Мы полагаем, что найденное нами уменьшение поверхности платины по сравнению с монослоем связано с образованием кристаллов платины, средний размер которых составляет 50—100 Å. Этот вывод подтверждается рентгеновским исследованием образцов платинированного силикагеля, показавшим во всех случаях отчетливые интерференции, характерные для кристаллической платины. В. С. Чесалова и Н. Г. Севатьянов исследовали образцы платинированного силикагеля с 0,5% платины, нанесенной путем адсорбции из раствора комплексной соли, тетрааммиака платины, обработанные в течение двух часов при различных температурах [4]. Они установили, что после обработки при  $300^{\circ}$  и выше на рентгенограммах появляются линии кристаллической платины. Таким образом, в условиях осуществления каталитического окисления двуокиси серы платинированный силикагель безусловно содержит кристаллическую платину.

Вопрос о форме платины на поверхности носителя представляет существенный интерес для теории приготовления катализаторов.

В. И. Шехобалова, И. В. Крылова и Н. И. Кобозев [5] исследовали каталитическую активность платины, нанесенной на силикагель при концентрациях от 0,03 до 5,13 вес.% в отношении реакции окисления двуокиси серы. Обработывая полученные результаты по методам теории ансамблей, они пришли к выводу, что каталитической активностью обладают лишь единичные атомы платины на поверхности носителя. Образование из большого числа атомов, а также кристаллическая платина каталитически неактивны.

В противоположность этим выводам, В. С. Чесалова [4] в нашей лаборатории, исследуя активность различных платиновых катализаторов — проволоки, жести, губчатой платины и платинированного силикагеля, — пришла к выводу, что удельная каталитическая активность, т. е. активность, отнесенная к единице поверхности платины, для всех исследованных образцов приблизительно одинакова. Этот результат показывает, что именно поверхность кристаллической платины обладает каталитической активностью и что эта активность мало зависит от размера кристаллов и предварительной термической обработки.

Н. И. Кобозев пытается в своих замечаниях опорочить этот результат, указывая, что он вытекает из допущения о равенстве количеств водорода, адсорбируемого единицей поверхности различных образцов платины.

Это утверждение неверно, так как адсорбция водорода использовалась только для определения поверхности платины на силикагеле, поверхности же массивной и губчатой

той платины измерялись электрохимически и по низкотемпературной адсорбции аргона, т. е. методами, не связанными с допущением о характере адсорбции водорода. Что же касается платинированного силикагеля, то и для него критика нашего метода измерения поверхности платины не спасает теории ансамблей.

Действительно, предположим, что наши измерения поверхности платины на силикагеле неправильны, не примем во внимание результаты рентгеновского исследования, показавшего наличие кристаллической платины, и согласимся с Н. И. Кобозевым, что платина на поверхности силикагеля находится в виде образований, не выходящих за пределы монослоя. Но при этом предположении поверхность платины должна быть в 4—8 раз больше, чем измеренная нами, а удельная каталитическая активность, соответственно, в 4—8 раз меньше. Мы приходим, таким образом, к выводу, что нанесение платины в малых концентрациях на силикагель, т. е. в условиях, способствующих, с точки зрения теории ансамблей, образованию каталитических активных одиночных атомов платины, приводит не к увеличению, а к уменьшению удельной активности.

Еще разительнее выступает противоречие между выводами теории ансамблей и данными опыта при сопоставлении активности одного активного ансамбля (одиночного атома платины), найденной В. И. Шехобаловой, И. В. Крыловой и Н. И. Кобозевым [5], с активностью одного атома на поверхности кристаллической платины.

В цитированной работе Н. И. Кобозев и сотрудники характеризовали активность платины в отношении реакции окисления двуокиси серы процентом превращения, достигаемым при скорости потока 50 л/час и исходной концентрации двуокиси серы, равной 6,5%. Они нашли, что при 450° превращения одного ансамбля  $[Pt]$  равна  $3,58 \cdot 10^{-18}\%$  превращения. При этом степень превращения составляла около 80%.

Этот способ характеристики активности для реакции, тормозящейся продуктом, вообще говоря, неправилен, так как определенная таким путем активность зависит от достигнутой степени превращения. Мы все-таки им воспользуемся для целей сравнения активности, чтобы иметь возможность применить без пересчетов данные работы В. И. Шехобаловой, И. В. Крыловой и Н. И. Кобозева, и для исключения ошибки будем сравнивать активности при близких степенях превращения. Чтобы полностью исключить сомнения в определении поверхности платины, воспользуемся данными об активности массивной платины. При 450°, скорости 50 л/час и исходной концентрации двуокиси серы, равной 6,5%, степень превращения, равная 80%, достигается при истинной поверхности загруженной в аппарат платиновой проволоки, равной 1800 см<sup>2</sup>.

Отсюда активность, отнесенная к одному атому поверхности кристаллической платины, составляет

$$\frac{80 \cdot 7,6 \cdot 10^{-16}}{1800} = 3,3 \cdot 10^{-17},$$

т. е. в 10 раз больше активности единичного ансамбля. К тому же результату приводит и более строгий расчет при помощи констант скорости реакции.

Таким образом «активный» ансамбль из одного атома платины, придуманный для объяснения высокой каталитической активности платины на носителях, оказывается менее активным, чем атом платины на поверхности кристаллической платины, лишенной, по мнению Н. И. Кобозева, каталитической активности!

Высокая каталитическая активность платины на носителях, в частности на силикагеле, легко объясняется большой поверхностью тонкодисперсной кристаллической платины, устойчиво сохраняющейся на поверхности носителей, и не требует постулирования особых активных структур.

Подчеркиваемые В. И. Шехобаловой, И. В. Крыловой и Н. И. Кобозевым [6] общность кинетического уравнения и близость энергии активации для крупнокристаллической платины и платины на поверхности носителей при малых поверхностных концентрациях свидетельствуют о том, что в обоих случаях каталитический процесс протекает на поверхности кристаллической платины.

В заключение остановлюсь кратко на возможности рекристаллизации платины на поверхности силикагеля. В работе А. И. Карнаухова и автора [1] было показано, что в результате длительного прогрева (154 часа) платинированного силикагеля с 0,2% платины при 600° удельная поверхность платины уменьшилась на 45%. Мы объяснили это укрупнением кристаллов платины в процессе тренировки.

Н. И. Кобозев полагает, что обнаруженное нами уменьшение поверхности платины в результате тренировки при 600° свидетельствует о наличии в наших образцах аморфной платины. Он считает невозможным рост более крупных кристаллов за счет мелких вследствие высокой энергии, требуемой для перехода атома платины с кристалла на поверхность носителя.

Надо заметить, что рассуждение Н. И. Кобозева справедливо лишь для сравнительно крупных кристаллов. Как известно, с уменьшением размера кристаллов упругость пара возрастает и для мелких кристаллов значительно превосходит величину, характерную для крупного кристалла. Соответственно этому для очень мелких кристаллов должна быть значительно понижена и энергия перехода атомов на поверхность носителя.

Обнаруженное нами явление рекристаллизации и заключается в увеличении размера более крупных кристаллов платины за счет самых мелких, обладающих повышенной



ной упругостью испарения. С увеличением размера кристаллов переход атомов металла на поверхность носителя затрудняется очень резко, и каждой температуре ириновки соответствует определенный минимальный размер практически устойчивых поверхностей носителя кристаллов платины. Этим объясняется устойчивость тонкозернистой платины на поверхности носителей, а также приблизительное постоянство размеров кристаллов платины в образцах платинированного силикагеля, подвергнутых ириновке при одной и той же температуре, независимо от концентрации платины на носителе.

Физико-химический институт  
им. Л. Я. Карпова  
Москва

Поступила  
3.III.1955

#### ЛИТЕРАТУРА

1. К. Боресков и А. П. Карнаухов, Журн. физ. химии, 26, 1814, 1952.
  2. И. Кобозев, Журн. физ. химии, 27, 761, 1953.
  3. Н. Emmett J. T. K u m m e r, Journ. de chim. phys., 47, 67, 1950.
  4. С. Чесалова, Удельная каталитическая активность платины, Диссертация, Физико-химический ин-т им. Л. Я. Карпова, М., 1953.
  5. И. Шехобалова, И. В. Крылова и Н. И. Кобозев, Журн. физ. химии, 26, 703, 1952.
  6. И. Шехобалова, И. В. Крылова и Н. И. Кобозев, Журн. физ. химии, 26, 1666, 1952.
-



## ОТВЕТ НА ПИСЬМО А. Ф. КАПУСТИНСКОГО [1]

М. Х. Карапетянц

Появление второго письма А. Ф. Капустинского [1] очень удивляет не только тому, что оно почти не отличается от первого [2], — а на содержавшиеся в нем замечания были даны в [3] хотя и краткие, но исчерпывающие разъяснения, — но, главным образом потому, что сама дискуссия не связана ни с одним важным вопросом. Суть заключается в недоразумении: А. Ф. Капустинский смешивает два обстоятельства: факт наличия в литературе приближенного уравнения

$$\frac{\Delta H}{\omega} = a \lg z + b$$

(«правила термохимической логарифмики» А. Ф. Капустинского [4]) и то, что из этого уравнения якобы вытекает уравнение

$$\Delta H_{II} \approx a \Delta H_I + B,$$

в котором сопоставляются теплоты образования веществ в двух рядах подобных соединений.

Для устранения всякой возможности взаимного непонимания я вынужден было подробно осветить те же положения, которые были уже рассмотрены ранее (см. [5]).

Так как оба письма А. Ф. Капустинского по существу написаны для казательства того, что (2) является следствием (1), то можно было бы не рассматривать п. 1 его нового письма. Однако целиком его содержание нельзя оставить без замечаний.

Не представляю себе, как можно было иначе понять §1 первого письма А. Ф. Капустинского в связи с его вступительной частью. Ведь там было написано, что А. Ф. Капустинский хочет сделать критические замечания по существу статей [5, 6], после чего он писал фразу: «Скажем кратко о самих предпосылках разностных расчетов в термохимии». Для чего, спрашивается, упоминать о разностных расчетах, не ставя их в прямую связь с тем, что подвергается критике? Поэтому были все основания писать, что в §1 «Замечаний» А. Ф. Капустинского содержится мысль о том, что уравнение (2) сводится к закону постоянных разностей; а ведь в [5] и [6] вскользь упоминавшееся уравнение применялось к твердым веществам, а не к разбавленным растворам, к которым относится этот закон.

Мне кажется, я был прав еще и потому, что А. Ф. Капустинский применял закон постоянных разностей [7] к кристаллам (к которым он не применим), причем со ссылкой на книгу В. Ф. Лугинина [8], хотя В. Ф. Лугинин в этой книге указывает, закон постоянных разностей действителен, когда «реакции происходят... в разбавленных растворах». Таким образом, в упомянутой работе [7] без каких-либо оговорок используется заведомо неточное в данных условиях соотношение.

Позволю себе на этой ошибке А. Ф. Капустинского остановиться несколько подробнее, так как это представляет интерес и в связи с основной — второй частью настоящего письма. Вот несколько строк из того места статьи [7], где речь идет о применении правила логарифмики и закона постоянных разностей к теплотам образования карбонатов и оксалатов подгруппы бериллия (см. воспроизводимый по данным этой статьи рис. 4): «Для обоих классов соединений удовлетворительно соблюдается линейность вытекающая из правила термохимической логарифмики,\* причем, как и следовало ожидать, обе прямые идут параллельно\*\*\*. Углекислый бериллий занимает близкое положение... Соответствующее понижение дано и для экстраполяционного значения гипотетического безводного оксалата бериллия...»\*\*\*.

После изложенного ясно, что сомнение А. Ф. Капустинского в том, известны ли мне «предпосылки разностных расчетов в термохимии», можно переадресовать ему.

\* Но разброс точек достигает более 10 ккал, хотя погрешность значений  $\Delta H$  гораздо меньше (М. К.).

\*\* Это вытекает не из правила логарифмики, а из закона постоянных разностей, который, кстати сказать, упоминается в тексте позднее (М. К.).

\*\*\* Соответствующее закону постоянных разностей, но в противоречии с правилом термохимической логарифмики (М. К.).

статьи, чем же мотивированы эти сомнения? Во-первых, тем, что в критикуемых Ф. Капустинским статьях [5, 6] нет «никакой истории вопроса» и, во-вторых, тем, что я, судя по [9], «неверно понимаю» закон постоянных разностей.

Но, во-первых, в этих статьях я на  $\Delta H$  специально не останавливался. Упрек имел некоторые основания, если бы закон постоянных разностей не был упомянут в статье, посвященной тепловым эффектам. Однако и тогда упрек был бы серьезным только в том случае, если бы предмету изложения был предпослан обзор методов расчета  $\Delta H$ . Если же «история вопроса» имеется в виду, что нужно было упомянуть уравнение (1), то это желание выглядит неубедительным и по меньшей мере странным (даже, если бы А. Ф. Капустинский был прав, т. е. (2) действительно следовало бы из (1)). Ведь в [5] были перечислены очень многие свойства, для которых справедливо общее уравнение  $G_{II} \approx AG_I + B$ , не только тепловой эффект, к которому относится частное уравнение (2). Поэтому невольно вызывает недоумение обязательное требование остановиться в краткой заметке, содержащей всего 1 страницу текста и являющейся предварительным сообщением, именно на  $\Delta H$ , т. е. на одном свойстве из 20 перечисленных.

Во-вторых, если говорить о книге [9], действительно закон постоянных разностей изложен в ней без упоминания Фавра и Зильбермана (и связан с именем Н. Е. Холмова, который дал теоретическое обоснование этой закономерности), что едва ли можно квалифицировать как «невероятное понимание закона постоянных разностей» [1]\*.

1. Перехожу к основному вопросу дискуссии. Когда я писал в [3], что правило гарифмики относится только к неорганическим соединениям, находящимся в кристаллическом состоянии, то имел в виду следующее. В уравнении (1), по словам его автора, «термодинамика сочетается с кристаллохимией» [4]. Этим недвусмысленно сказано, что (1) относится только к кристаллам, что оговорено как в выводе (1)\*\*, так специально подкрепляется рис. 9 и 10 указанной статьи. Кроме того, из рис. 15—17 [4] и 1—5 [10] видно, что (1) практически не применимо к соединениям побочных подгрупп. В этом легко убедиться еще и потому, что в последующих публикациях [7, 10—12] А. Ф. Капустинский применял правило логарифмики только к соединениям элементов основных подгрупп (см. также [13]).

Следовательно, можно говорить о том, что уравнение (1) относится только к определенным классам кристаллических неорганических соединений, а уравнение (2), в отличие от (1), с тем или иным приближением применимо как к твердым, так и к жидким, и газообразным соединениям, как к неорганическим, так и к органическим.

Таким образом, были все основания утверждать, что вывод уравнения (2) из (1) означал бы вывод более общего уравнения из менее общего.

Для того чтобы убедиться в том, что уравнение (2) не вытекает из уравнения (1), достаточно рассмотреть хотя бы ряд сходных неорганических соединений, построенный не по признаку переменного  $z$ , а по какому-нибудь другому. Так, к соединениям в рядах  $MeCl_2 \cdot nH_2O$  уравнение (1), разумеется, никакого отношения не имеет, а уравнение (2) не только применимо, но и дает хорошие результаты.

Уже из всего этого ясно, что уравнение (2), вопреки утверждению А. Ф. Капустинского, не является следствием уравнения (1).

2. Но можно указать еще на одно важное обстоятельство. Сопоставим, как воспроизводят уравнения (1) и (2) опытные данные (разумеется, в тех случаях, когда можно говорить о применимости уравнения А. Ф. Капустинского). Наличие работ, в которых специально рассмотрен вопрос о соответствии уравнения (1) опытным данным, позволяло ограничиться непосредственно ссылками на них.

\* Вряд ли кто-нибудь стал говорить о том, что А. Ф. Капустинский неверно понимает закон постоянных разностей только на том основании, что он ошибочно приписал его В. Ф. Лугинину («Лугининным было описано эмпирическое обобщение, названное законом постоянных разностей» [7]).

\*\* Я совершенно не касаюсь теоретического обоснования уравнения (1), так как этот вопрос выходит за пределы настоящей дискуссии

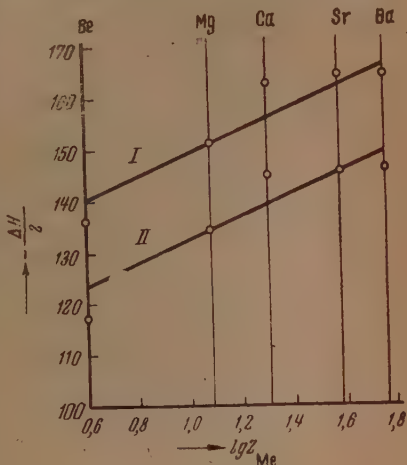


Рис. 1. Стандартные теплоты образования (ккал/г-экв.). I — оксалатов и II — карбонатов подгруппы бериллия [7]

В. П. Шишочкин [14] на основании обширного экспериментального материала пришел к выводу, что «термохимическая логарифмика Капустинского не может быть теоретически обоснована и практически не подтверждается». Если попрежнему не касаться вопроса об обосновании уравнения (1) и принять во внимание, что эта оценка его точности является несколько пессимистической, все же из текста статьи видно, что правило логарифмики является весьма приближенным. В этом читатель легко может убедиться и сам, просмотрев чертежи в статьях А. Ф. Капустинского [4, 7, 10—12]. Правда, в некоторых случаях отклонения от  $\Delta H/\omega - \lg z$  прямых кажутся незначительными, но надо учесть, что на чертежах, приведенных в [4, 7, 10—12], на оси ординат большинстве случаев отложена лишь доля  $\Delta H$ , т. е., в соответствие с уравнением (1) — теплота образования, отнесенная к 1 г-эquiv.

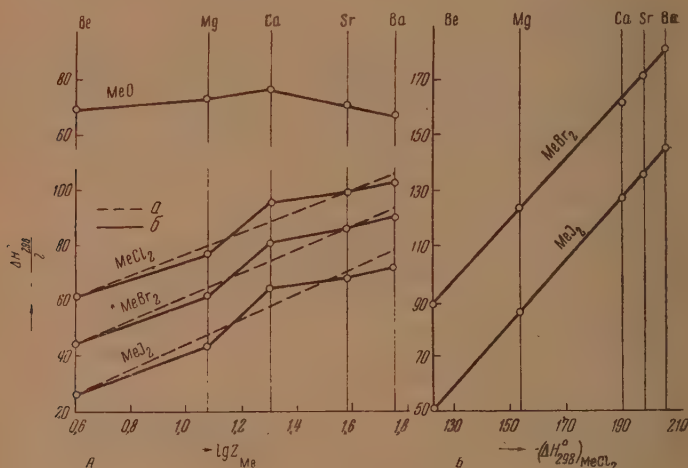


Рис. 2. Стандартные теплоты образования некоторых соединений элементов подгруппы бериллия. А: а — по уравнению А. Ф. Капустинского; б — по литературным данным (ккал/г-эquiv.); Б — по уравнению (2) (ккал/моль)

Автор другой работы В. В. Фомин [15] указывает на незначительную точность расчета по уравнению (1). Эта работа в данном случае представляет дополнительный интерес, так как в ней (на примере галогенидов I и II групп) сделан вывод, что в отличие от уравнения, аналогичного (2), правило логарифмики «не удовлетворяется».

Что касается уравнения (2), то анализ материала по теплотам образования различных веществ свидетельствует о том, что это уравнение большей частью приводит к более точным результатам, чем уравнение (1), несмотря на то, что аргумент уравнения (2) всегда содержит ошибки опыта, и несмотря на то, что влияние, например, таких факторов, как степень дисперсности и компактности отдельных веществ, должно сказаться больше на точности расчета по (2), чем по (1). Не приходится говорить о тех случаях, когда уравнения (2) дает хорошие результаты, а уравнение (1) совершенно не применимо (например, гомологические ряды углеводородов).

3. Вопреки фактам А. Ф. Капустинский утверждает, что повышение точности при переходе от его уравнения к (2) является результатом введения в составление большего числа данных.

Это неверно потому, что отклонения от (1) имеют не случайный, а систематический характер, в чем легко убедиться, например, из приведенных в статьях [4, 7, 10] чертежей.

Можно это показать и несколько иначе: правило термохимической логарифмики жестко связано с логарифмической функциональной зависимостью, в то время как уравнение (2) не содержит такого ограничения. Об этом по существу и было сказано в предыдущем моем ответе [3]. Возможно, из-за его краткости А. Ф. Капустинский не понял содержащейся в нем мысли. Поэтому поясню примером.

На рис. 2, А представлены данные по теплотам образования галогенидов подгруппы бериллия в координатах, отвечающих правилу логарифмики. Из этого рисунка ясно видно, что отклонения от линейной зависимости являются систематическими и лежат далеко за пределами ошибок в значениях  $\Delta H^\circ_{298}$ , так как последние, за исключением галогенидов бериллия, не превышают 1 ккал/моль, в то время как на графике до-

гают более 10 ккал/моль. Следовательно, эти отклонения обусловлены тем, что уравнение (1) не отвечает фактической зависимости  $\Delta H$  от  $z$  (см. также рис. 1).

На рис. 2, Б представлена зависимость, соответствующая уравнению (2). Здесь кривые ложатся лучше, чем на рис. 2, А (несмотря на удвоенный масштаб по оси ординат), потому, что на этом рисунке иная функциональная шкала. (Последнее отчетливо видно при сравнении расстояний между вертикалями, отвечающими Mg, Sr и другим элементам, на рис. 2, А и Б).

К подобным же результатам приходим и при рассмотрении вертикалей, отвечающих различным галогенидам (рис. 3), если даже учесть некоторую неточность значений  $\Delta H^\circ$ .

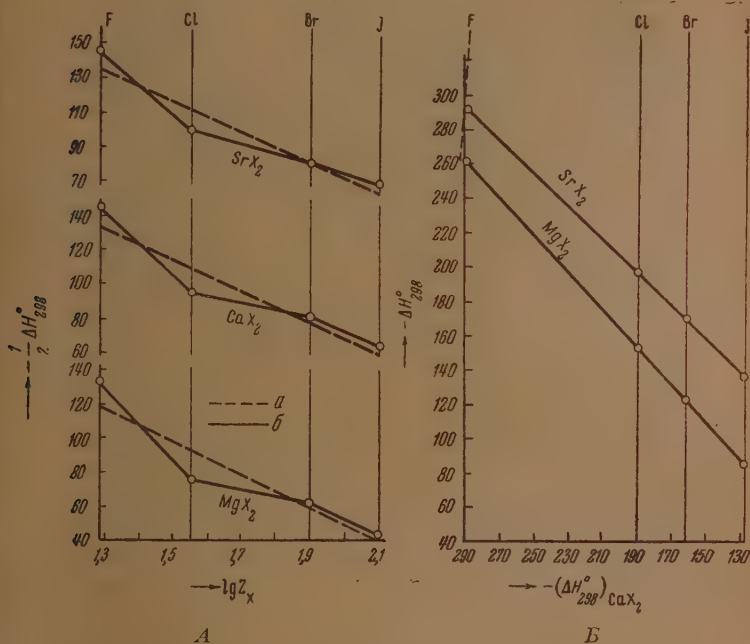


Рис. 3. Стандартные теплоты образования некоторых соединений элементов подгруппы бериллия. А: а — по уравнению А. Ф. Капустинского; б — по литературным данным (ккал/г-экв.); Б — по уравнению (2) (ккал/моль)

Число подобных примеров, разумеется, можно было бы умножить.

Существенно и следующее: если, например, обратиться к оксидам рассмотренных элементов (рис. 2), то ход  $\Delta H$  не только не очень хорошо воспроизводится правилом логарифмики, но для перехода от ломаной линии (с максимумом на ней) к прямой требуется функциональная шкала, отличающаяся от представленной на рис. 2, Б. Иначе и не могло быть, так как, если бромиды родственны хлоридам, то этого нельзя сказать, например, об оксидах.

Таким образом, даже для тех соединений, для которых правило логарифмики, по мысли его автора, должно выполняться, в действительности,  $\Delta H$  не является линейной функцией  $\lg z^*$ .

4. Вновь настаивая на «выводе» (2) из (1), А. Ф. Капустинский не замечает, что этот вывод свидетельствует лишь о том, что линейное расположение точек при сопоставлении теплот образования в двух родственных рядах соединений обусловлено именно ответственностью этих рядов, а не тем, является или не является  $\Delta H$  той или иной

\* Хотелось бы подчеркнуть, что указание на различную точность уравнений (1) (2) здесь привлечено лишь как одно из доказательств различия этих уравнений, так как я, разумеется, далек от мысли отрицать пользу практического применения правила логарифмики (см., например, [9,16]).



функцией того или иного переменного. Действительно, переход к рис. 2, Б произойдет при любом (в том числе произвольном) горизонтальном расстоянии между точками, так как на рисунке сопоставляются величины, отложенные на оси ординат рис. 2, А. Следовательно, выполнение уравнения (2) никак не связано с тем, является или не является  $\Delta H$  линейной функцией  $\lg z$ , т. е. точным или не точным является правило термохимической логарифмики.

Так обстоит дело, почему точки оказались лежащими на  $\Delta H_{II} - \Delta H_I$  — прямой. Иное дело, как расположены точки на прямой. Именно по этому, а не по предыдущему признаку, — как ошибочно полагает А. Ф. Капустинский, — следует судить, какая зависимость лежит в основе (2). Является ли (1) именно той зависимостью, которая определяет характер расположения точек на  $\Delta H_{II} - \Delta H_I$  — прямых? Газуется, нет, так как для того, чтобы из двух ломаных (в общем случае) линий  $\Delta H = \varphi(\lg z)$  получить прямую  $\Delta H_{II} = f(\Delta H_I)$ , необходимо осуществить (на рис. 1; 2, А и 3, А) горизонтальный сдвиг точек, т. е. отказаться от функциональной шкалы, отвечающий правилу термохимической логарифмики, и перейти к другой функциональной шкале.

5. А. Ф. Капустинский указывает, что уравнение (1) можно распространить на теплоты гидратации [17] и теплоты ионизации [18]. Но это ровно ничего не меняет, так как от этого «вывод» (2) из (1) не делается хоть сколько-нибудь убедительным. Я не буду обсуждать правомерность чисто механического переноса уравнения (1) на другие свойства и другие объекты (в [17] и [18] нет ни теоретических мотивировок, ни увязки с выводом (1), данным в [4]); отмечу лишь, что картина, изображенная на рис. 2 и 3, сохранится и для других свойств. Если бы кто-либо воспользовался формой уравнения (1) для расчета других величин (например, энергий решетки, теплот растворения и т. д.), то, разумеется, также ничего бы не изменилось, так как охват уравнением (1) большего экспериментального материала (даже опуская точность этого охвата) не приблизил бы его к уравнению (2): последнему в общем случае попрежнему отвечала бы другая функциональная шкала.

6. Остается добавить немного. А. Ф. Капустинский считает, что «вывод» (2) и (1), изложенный им в первом письме [1], столь же правомерен, что и вывод уравнения  $d \ln p / dT = \Delta H / RT^2$  (а) из уравнения  $\Delta H = \Delta V T \partial p / \partial T$  (б). Но, во-первых, переход от (б) к (а), как известно, связан с физически обоснованными допущениями, а «переход» от (1) к (2) основан только на исключении аргумента уравнения (1); во-вторых, первый вывод означает переход от точного уравнения к приближенному, а второй — означал бы переход от менее точного к более точному уравнению. Каким же тут аналогия?

Пример с искаженным уравнением Гиббса — Гельмгольца также, разумеется, не делает убедительным «вывод» (2) из (1), а лишь уводит в сторону от существа вопроса. Следующее за ним заключение столь же необоснованно, как и указанный пример. Поэтому на них можно не останавливаться.

В заключение хочется еще раз подчеркнуть, что если бы А. Ф. Капустинский не смешивал два разных обстоятельства, о которых упоминалось в начале настоящего письма, то удалось бы избежать этой мало плодотворной дискуссии. Кроме того, следует отметить, что принятая А. Ф. Капустинским форма изложения и категоричность немотивированных суждений, так же как и многократное приписывание мне невысказанных мной положений, не сделали убедительным то, что он стремился доказать.

В статье показано, что, вопреки утверждению А. Ф. Капустинского, уравнение, в котором сопоставляются теплоты образования веществ в двух рядах подобных соединений, не является следствием правила термохимической логарифмики А. Ф. Капустинского.

Химико-технологический  
институт им. Д. И. Менделеева  
Москва

Поступила  
22.VII.1955

#### ЛИТЕРАТУРА.

1. А. Ф. Капустинский, Журн. физ. химии, 29, 1720, 1955.
2. А. Ф. Капустинский, Журн. физ. химии, 29, 1125, 1955.
3. М. Х. Карапетьянц, Журн. физ. химии, 29, 1326, 1955.
4. А. Ф. Капустинский, Изв. АН СССР ОХН, № 6, 568, 1948.
5. М. Х. Карапетьянц, Журн. физ. химии, 27, 934, 1953.
6. М. Х. Карапетьянц, Журн. физ. химии, 28, 1136, 1954.
7. А. Ф. Капустинский, О. Я. Самойлов, Изв. АН СССР ОХН, № 4, 337, 1950.
8. В. Ф. Лугинин, Краткий курс термохимии, М., 1903, § 6.
9. М. Х. Карапетьянц, Химическая термодинамика, Госхимиздат, 1953.
10. А. Ф. Капустинский, Изв. АН СССР ОХН, № 6, 581, 1948.

1. Ф. Капустинский и О. Я. Самойлов, Изв. АН СССР ОХН, № 2, 218, 1952.
  2. Ф. Капустинский и М. С. Стаханова, Изв. АН СССР ОХН, № 4, 587, 1954.
  3. А. Киреев, Курс физической химии, Госхимиздат, 1951, стр. 230.
  4. П. Шишочкин, Журн. физ. химии, 24, 745, 1954.
  5. В. Фомин, Журн. физ. химии, 28, 1896, 1954.
  6. Х. Карапетьянц. Примеры и задачи по химической термодинамике, Госхимиздат, 1953.
  7. Ф. Капустинский, С. И. Дракин и Б. М. Якушевский, Журн. физ. химии, 27, 433, 1953.
  8. Б. Яцимирский, Изв. АН СССР ОХН, № 6, 648, 1949.
-

## ПИСЬМА В РЕДАКЦИЮ

О МОЗАИЧНЫХ БЛОКАХ КРИСТАЛЛИЧЕСКОГО И  
ПЛАВЛЕННОГО КВАРЦА

Н. А. Шишаков

Были высказаны предположения, что силикатные стекла [1], а также кристаллический кварц [2] обладают мозаичной (зернистой) структурой. Основанием для таких предположений послужили опыты с обработкой порошков этих веществ водой, приведшие к заключению, что при этом явления пептизации (измельчения частиц под действием воды) происходят благодаря такому зернистому строению. Тогда же до скорого оседания частиц было найдено, что линейные размеры имеют порядок  $1000 \text{ \AA}$  — в согласии с другими соображениями.

Целью настоящей работы было, во-первых, проверить правильность выводов о величинах частиц при помощи электронного микроскопа и, во-вторых, выяснить природу продуктов пептизации кристаллического кварца.

Для электронно-микроскопического исследования были взяты частицы кристаллического кварца и частицы плавленного кварца (кварцевого стекла), полученные в результате пептизации водой и оставшиеся во взвешенном состоянии в воде в течение месяца. Капля такой суспензии помещалась на тонкую целлулоидную пленку на шпатель с малым отверстием и после испарения воды использовалась как объект электронного микроскопического наблюдения. Полученные на электронном микроскопе негативы увеличивались в несколько раз оптически, так что общее увеличение составляло примерно 20 000.

Из приведенных фотографий (рис. 1, 2) видно, что размеры частиц колеблются от 500 до 2000  $\text{\AA}$ , что подтверждает справедливость прежних заключений. Отсутствие каких-либо признаков правильной огранки у частиц кварцевого стекла (рис. 1), представляется вполне естественным. Частички, происшедшие от кристаллического кварца (рис. 1, б), если отвлечься от наблюдающихся местами прямых линий по границам теней, в основном также, повидимому, не имеют правильной формы.

Для получения сведений об атомном строении таких высокодисперсных частиц кристаллического кварца при помощи рентгеновских лучей упомянутая тонкая взвесь подвергалась дальнейшему длительному отстаиванию. Из накопленного таким образом осадка спрессовывались обычным путем столбики для рентгенографирования цилиндрических камерах. Для сравнения производилась рентгено съемка также и с разцов из более крупнокристаллического кварца, получавшихся из взвесей возрастом 15 мин. В последнем случае можно было ожидать, что структура кварца не изменилась. Из сравнения рентгенограмм мы видим, что, несмотря на крайне высокую степень пептизации за 90 дней, частички по своей природе остаются прежним кристаллическим кварцем.

Эти опыты с кристаллическим кварцем показывают, что его мозаичные блоки имеют правильной огранки, как в случае других реальных кристаллов. Отсюда следует, что содержащиеся в кристаллах микротрещины, обуславливающие различные свойства кварца, имеют беспорядочное расположение.

Академия наук СССР  
Институт физической химии  
Москва

Поступило  
22.VI.1955

## ЛИТЕРАТУРА

1. Н. А. Шишаков, ДАН, 20, 457, 1938; Вопросы структур силикатных соединений. Изд-во АН СССР, 1954.
2. Н. А. Шишаков, ДАН, 23, 791, 1939.

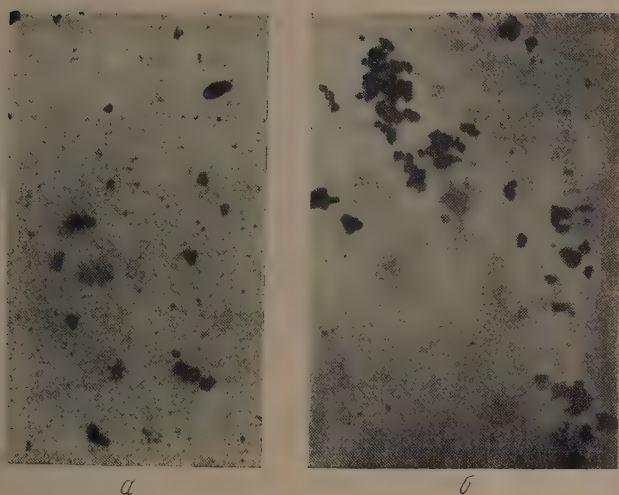


Рис. 1. Электронно-микроскопические снимки с высушенных на целлулоидной пленке крайне тонких суспензий: *а* — плавленного кварца; *б* — кристаллического кварца. Судя по тому, что увеличение в данном случае известно, размеры зерен составляют примерно 1000 Å

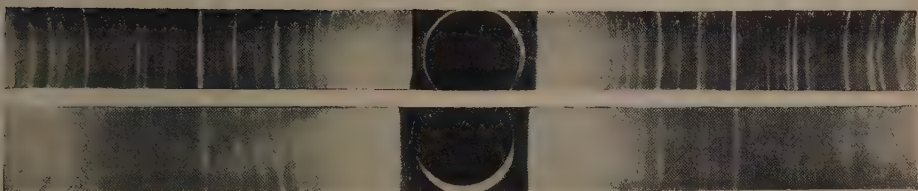


Рис. 2. Рентгенограммы от порошков кристаллического кварца, полученные на нефiltroванном железном излучении в камере диаметром 57,3 мм: *а* — порошок, полученный из взвеси возрастом 15 мин.; *б* — порошок из взвеси возрастом 90 дней (величина частиц примерно такая же, как на электронно-микроскопическом снимке, приведенном выше)





## ХРОНИКА

## Т. ГРОТТУС И ЕГО ТЕОРИЯ ЭЛЕКТРОЛИЗА

(К 150-летию первой теории электролиза)

В этом году исполняется 150 лет с момента появления первой теории электролиза, орая пользовалась широким признанием и распространением до конца XIX в. Пователем этой теории является выдающийся литовский химик и физик Т. Гроттус. Христиан Иоганн Дитрих\* фон-Гроттус [1—14]\*\* родился 20 января 1785 г. 803 г. он поступил в Лейпцигский университет, где пробыл всего 6 месяцев, затем ехал в Париж. Здесь он поступил в Политехническую школу, где слушал лекции известных французских ученых, как Бертолле, Фуркруа и др. В сентябре 1804 г. Гроттус отправился в Италию. Вначале он жил в Риме, затем в Неаполе, где оставался до конца 1805 г. В 1808 г. Гроттус вернулся на родину в имение матери (Пасвальский, ныне Литовская ССР), где и прожил до конца своей жизни. Большую часть своего времени он уделял химическим исследованиям. Умер Гроттус 14(26) марта 1861 г.

В 1805 г., живя в Неаполе, Гроттус сильно заинтересовался тогда очень популярным вопросом — изучением гальванических явлений. В то время вызвали сенсацию работы Паккиани [15—16], который утверждал, что получил при гальваническом разложении воды соляную кислоту на положительном полюсе. Гроттус решил повторить опыты. Одно обстоятельство, а именно выделение составных частей воды отдельно на отрицательных полюсах при электролизе, отвлекло его внимание от опытов Паккиани, перенес центр тяжести всей своей работы на объяснение этого явления. Его прежде всего заинтересовал механизм электролиза. Свои теоретические положения и опытные данные по этому вопросу он изложил в статье «Заметка о разложении воды и разрядных в ней тел при помощи гальванического электричества», которая принесла Гроттусу большую известность. Взгляды, изложенные в этой работе, сделались вскоре общепринятыми и оказали исключительно большое влияние на развитие теоретических представлений об электролизе и учения о растворах. В указанной работе Гроттус поставил перед собой задачу — дать общую теорию разложения жидкостей при электролизе, что была нелегкая проблема. Многие выдающиеся химики и физики того периода (Дэви, Волластон, Риттер и др.) потратили немало сил для ее решения.

Как известно, в 1800—1803 гг. работы Никольсона и Карлейля, Риттера, В. В. Петрова, Дэви показали, что при электролизе воды на полюсах выделяются кислород и водород. При этом удалось точно определить объемное отношение, в котором образуются газы при электролизе воды. При электрохимическом разложении наименее понятным было кажущееся передвижение продуктов разложения и выделение каждого из них отдельно на полюсах. То и другое требовало какого-то объяснения, которое, однако, не легко было дать. Риттер [17] считал, что вода представляет собой простое вещество, которое на положительном полюсе целиком превращается в водород, а на отрицательном — в кислород\*\*\*.

Г. Дэви\*\*\*\* в 1806 г. объяснял явления электролиза и процесс выделения из воды составных частей кислорода и водорода следующим образом:

«Кислород части воды притягивается положительной поверхностью, в то время как входящий в состав воды водород ею отталкивается; обратный процесс происходит с отрицательной поверхности; в середине или в нейтральной части цепи должно происходить воссоединение оттолкнувшихся веществ» [19].

В Италии переименовал имя на Теодор.

\* В статье [14] приведен список работ Т. Гроттуса.

\*\* Гроттус в 1808 г. дал опровержение взглядов, по которым вода считалась простым телом [18].

\*\*\* Дэви принял гипотезу Гроттуса, хотя в своих работах не упоминает имя его. В 1806 г. он пишет, что при электролизе «вполне естественно предположить, что энергия притяжения и отталкивания передается от одной частицы к другой частице (те же роли таким образом, что в жидкости устанавливается проводящая цепь и что вследствие этому происходит и продвижение)» ([19], стр. 59).

Фуркруа, Вокелен, Тенар и др. утверждали, что вода разлагается на одном только положительном полюсе, на котором выделяется только кислород. Некоторые ученые считали, что в то время как кислород воды выделяется на цинке (положительный полюс), водород ее «незримо» проводится через жидкость к платиновой проволоке (отрицательный полюс). «Это предположение, — пишет Гроттус, — действительно дает возможность судить о том, к каким отчаянным средствам иногда прибегает человеческий ум, если он не знает другого выхода» [20, стр. 157].

Нужно было дать ответ на основной вопрос — происходят ли оба процесса разложения воды (кислород и водород) от одной и той же молекулы воды,



Рис. 1

агент. И я должен сознаться, что для меня это было лучом света» [21].

Принимая, что молекула воды полярна, Гроттус считал, что при электролизе происходит деление молекулы на одну частицу, заряженную отрицательно, и другую заряженную положительно, которые и притягиваются к полюсам. Движение заряженной частицы происходит под влиянием как притягивающей, так и отталкивающей сил, центры действия которых находятся на полюсах.

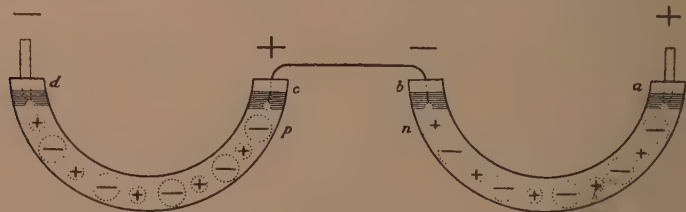


Рис. 2

Гроттус описывает механизм электролиза следующим образом: «рассмотрим некоторое количество воды, состоящей из кислорода, изображенного отрицательным знаком (—), и из водорода с положительным знаком (+) (рис. 1, 2). Как только пропуск в эту воду гальванический ток, обнаруживается электрическая полярность молекул, так что они как бы образуют полный действующий столб. Одновременно все атомы кислорода, находящиеся на пути тока, устремляются к положительному полюсу, в то время как все атомы водорода, встречающиеся на том же пути, пытаются достичь отрицательного полюса. Отсюда следует, что если изображен через oh\* молекула отдает свой кислород о стеклянному электричеству проволоки, то ее водород h тотчас же опять окисляется благодаря прибытию другого атома кислорода o', водород которого h' соединяется с g и т. д. То же самое происходит в противоположном направлении с молекулой воды QR, которая, после того как она отдала свой водород смоляному электричеству проволоки, вскоре регидрогенизируется, благодаря прибытию атома X. Это переменное чередование разложений и соединений элементов воды продолжается до тех пор, пока она полностью не разложена» ([21] стр. 9).

Гроттус считал, что во время всего этого процесса разлагаются только те молекулы воды, которые находятся у полюсов, в то время как все другие, находящиеся между полюсами, будут взаимно обменивать свои составные части, не изменяя своей природы.

В 1808 г. была опубликована статья Гроттуса «Химико-гальванические наблюдения» [22], в которой он еще раз отметил, что разложение воды гальваническим элект

\* Согласно представлениям того времени вода состояла только из двух атомов: одного атома водорода и одного кислорода.



Т. ГРОТТУС

1785—1822





твом происходит в двух различных молекулах. «Это мнение, — пишет Гроттус, — депривно и согласуется с теорией, которую я позволю себе предложить ученым». В этой работе он подчеркивает свою основную мысль, которая лежит в основе его теоретических представлений. Он пишет:

«Природа не может ни создавать, ни уничтожать, так как количество вещества не увеличивается, не уменьшается; напротив того, они все подвержены взаимному обмену элементов, и если наблюдать чудесное действие электричества, которое часто действует в скрытой форме, хотя оно повсюду распространено, то нельзя не видеть в нем одного наиболее сильно действующих агентов в великом царстве природы» ([22], стр. 17).

Заслуживает большого внимания последний параграф этой статьи, в которой Гроттус высказал свой взгляд на природу химического сродства. Он считал, что явления химического электричества тесно связаны с химическими явлениями и что последние зависят от первых, т. е., как он пишет, от «электрических напряжений, вызываемых взаимным соприкосновением тел, находящихся в химическом взаимодействии». Поэтому, по мнению Гроттуса, ученые при изучении природы химического сродства должны точно ознакомиться с законами «этих напряжений для всех тел и при всех возможных обстоятельствах».

В заключение своей статьи Гроттус пишет: «Правда, мы до сих пор еще не обладаем столь совершенными аппаратами, чтобы точно измерить электрическое состояние, вызываемое взаимным соприкосновением в телах; однако тем более желательно, чтобы исследователи направили свой ум преимущественно на эту точку, которая может быть названа (если я могу так выразиться) центром тяжести (*Centrum gravitatis*) всех химических явлений» ([22], стр. 18). Гроттус вообще полагал, что, когда соприкасаются два вещества, которые могут химически действовать друг на друга в определенных условиях, то «всегда имеет место полярное расположение легкоподвижных элементарных частей последнего (жидкого или газообразного тела), между которыми происходит «электрическое напряжение».

Гроттус, таким образом, был одним из первых, кто высказал чрезвычайно плодотворную мысль о тождестве химических сил с электрическими.

В последующих своих работах Гроттус оспаривает положение Дэви, высказанное в 1806 г., что электрические притяжения, действующие между массами тел, являются причиной химического взаимодействия веществ. Гроттус пишет: «Я осмеливаюсь, противоположно Берцелиусу\* и Дэви, заключить, что электрическое поведение масс тел по отношению друг к другу по крайней мере не всегда находится в соотношении с электрическими свойствами находящихся в химическом взаимодействии элементарных частей».

Отмечая, что электричество соприкасающихся масс по своей природе и интенсивности не соответствует химическим свойствам этих масс, Гроттус полагает, что заключение Дэви, по которому «электрическое поведение масс тел» обуславливает каждое химическое явление, является весьма проблематичным.

«Если бы пожелали, — пишет далее Гроттус, — обосновать электрохимическую систему преимущественно на наблюдаемом Дэви электрическом поведении масс тел, обладающих химическим сродством друг к другу, то это основание вряд ли было бы в состоянии выдержать тяжесть знания, которое «распадается вдребезги» от экспериментальных фактов. Таким образом, по Гроттусу, химическое сродство зависит не от электрического поведения масс тел, а от «электрического поведения» разнородных элементарных частей».

6 ноября 1818 г. Гроттус доложил Курляндскому обществу литературы и искусства обширную работу «О химическом действии света и электричества» [20], в которой он излагает свои взгляды на причину действия лучей света на вещество. Здесь он разъясняет общий вопрос о связи между цветностью луча и его фотохимическим действием; при этом он приходит к заключению, что действует только тот цвет, который является противоположным цвету тела\*\*.

Мы оставляем в стороне дальнейшее рассмотрение работ Гроттуса в этой области, акне относящихся непосредственно кatronутной нами теме. В названной работе Гроттуса, однако, имеется целая глава «Об электрохимии», представляющая для нас большой интерес. Здесь он как бы подводит итог своим работам в области электрохимии. Он привел убедительные опыты в доказательство справедливости своей теории и развил далее ряд

\* По поводу работ Берцелиуса и своих собственных Гроттус писал в 1818 г.: «Я охотно признаю, что моих незначительных знаний было бы недостаточно, чтобы развить электрохимическую систему с ученой осмотрительностью и остроумием, как это действительно удалось достойному уважения исследователю закона соотношений элементов в соединении (Берцелиусу. — Ю. С.). Если я в 1807 г. не пытался дать хотя бы набросок электрохимической системы, то это произошло лишь потому, что я всегда надеялся суметь доказать действие полярного электричества во всех химических явлениях. Но это не удалось до сих пор ни мне, ни кому-либо другому» [10], стр. 92.

\*\* Гроттусом был также сформулирован фотохимический закон поглощения: только те лучи, которые телом поглощаются, могут вызвать фотохимический процесс. Этот закон принято считать за один из основных законов фотохимии.

важных положений о жидком состоянии и, главным образом, о состоянии молекул растворенного вещества и воды в растворе.

По Гроттусу элементарные частички в растворе полярно притягиваются и отталкиваются по всем сторонам от соседних элементарных частичек. В результате этого в частичке происходит постоянный обмен «гетерогенных элементов», который Гроттус представляет при помощи элементарно-полярного цикла



([20], стр. 161). Молекулы воды располагаются, как пишет Гроттус, «по полярно-электрическим законам», а именно таким образом  $\pm \mp$ . Гроттус считает, что это как раз то положение, при котором может происходить постоянный взаимный обмен элементарных частей воды, и в этом, по его мнению, заключается существенный признак ее жидкого состояния при температуре, достаточной «для поддержания необходимой степени полярно-электрического напряжения». Когда вода замерзает, полярное расположение может остаться тем же, не происходит лишь взаимный обмен элементарных частей. Эти части каждого тела, по мнению Гроттуса, имеют свои электрические полюсы, благодаря которым они сцепляются. Однако и после образования химического соединения элементарные частички тел сохраняют взаимное «электрическое напряжение». На основе этого Гроттус считает, что «атомистическое представление о соединенных тел правильно; учение о пропорциях Дальтона — Берцелиуса также дает весьма убедительные доказательства последнего» ([20], стр. 165).

Далее он говорит о том, что благодаря разнородным элементарным частицам, находящимся в самой жидкости, в ней самой «должен постоянно действовать гальанизм», который не вызывает никакого химического взаимодействия лишь потому, что все при этом действующие «элементарные электрические силы находятся в равновесии». Гроттус пишет, что, «как только это равновесие нарушится, тотчас же обязательно наступает химический эффект». При действии тока происходит «перерыв в постоянно происходящем между элементарными частицами воды бесконечном кругообразном движении или (иными словами) направление его в конечное линейное».

Гроттус опытным путем нашел, что в различных неводных растворах (в спирте, масле и др.) электролиз значительно замедляется. Лучший проводник — водные растворы солей, кислот и оснований при определенной концентрации.

Он пишет: «...если вместо воды применяется другая среда, трудно или совсем не разлагаемая полярным электричеством в столбе при замкнутом токе, то осаждение металла не только приостанавливается, но даже приостанавливается в том соотношении, в котором от жидкости отнимается вода, и наоборот» ([20] стр. 165).

При растворении соли в воде происходит включение частичек распавшейся соли «в бесконечный деятельный гальванический круг молекул воды». «Это включение, — пишет Гроттус, — должно, без сомнения, повысить гальваническую молекулярную деятельность воды, и, именно, благодаря этому увеличивается ее электропроводность». Например, при растворении поваренной соли  $\text{Na}(+)$ ,  $\text{Cl}(-)$  атомы этой соли будут соединяться с атомами воды следующим образом  $\mp \pm$ , при этом возникает кругообразное гальваническое молекулярное движение ([20], стр. 166).

Растворение соли Гроттус рассматривает, таким образом, как электрохимический процесс, так как оно заключается: 1) в способности ее расщепляться на свои «полярно-электрические элементарные частички»; 2) «в участии этих элементов соли в гальванической деятельности молекул воды»;...; 3) соли, которые не способны к этому участию, Гроттус называл нерастворимыми.

Нетрудно видеть, что Гроттус по высказанным им взглядам является предшественником молекулярно-кинетической и электролитической теории. Это легко заметить, если сравнить высказывания Гроттуса о «постоянном взаимном обмене» атомов кислорода и водорода различных молекул воды с положениями Вильямсона [23] и Клаувиуса [24].

Представления Гроттуса о том, что расщепление молекул на элементарные составные части, как, например, молекул воды, так и молекул растворенной в ней поваренной соли, происходит уже до всякого действия электрического тока, приводят его к тому, что, «так как элементарные частички... полярно соединяются и отталкиваются по всем направлениям от близлежащих элементарных частичек, то, может быть, происходит постоянный обмен разнородных элементов». Эти положения через много лет легли в основу теории электролитической диссоциации, развитой С. Арренiusом [25].

Следует отметить, что важная мысль Гроттуса о том, что в растворе происходит самопроизвольный обмен частиц, а следовательно, разложение электролита без всякого содействия тока, не была, однако, далее развита. Наиболее известные ученые того времени (Дэви, С. де-ля-Рив, Фарадей и др.) считали, что разложение электролита в растворе происходит только под действием тока. Впоследствии такой взгляд был приписан и самому Гроттусу. В обзорных статьях и работах по истории электрохимии

П. Соколов, И. А. Каблуков, Джонс и др.) получило распространение ошибочное мнение, согласно которому отличительная черта теории Гроттуса заключается в том, что пока нет электролиза, каждый ион связан с другим ионом и прочно им удерживается. Для того чтобы наступил электролиз, необходима определенная разность потенциалов, при которой электрические силы в состоянии преодолеть химическое притяжение между противоположными ионами в молекулах электролита. Между тем сам Гроттус в своих работах нигде об этом не говорит.

Теория Гроттуса о механизме электролиза получила в свое время быстрое признание и широкое распространение. Уже при его жизни она излагалась в учебниках по физике и химии\*. Можно сказать, что вплоть до 80-х годов прошлого столетия теория электролиза Гроттуса считалась общепризнанной\*\*; например, в «Физической химии» Н. Любавина [26] мы находим весьма подробное изложение этой теории. Помимо этой фундаментальной основной идеи, которая сделала имя Гроттуса известным, в его электрохимических работах содержится целый ряд мыслей и наблюдений, которые не теряли своего интереса и в настоящее время. К их числу относятся, например, идея о том, что электродные процессы представляют собой акты окисления и восстановления; тесная связь окислительно-восстановительных процессов с обменом электричества; что химические процессы имеют электрическую природу; что правильно измеренные значения электрических напряжений являются мерой химического сродства; что в некоторых случаях реакционная способность и электропроводность идут параллельно друг другу.

Из электрохимических наблюдений Гроттуса представляют интерес также его мысли относительно пассивного железа, о гальваническом серебрении или золочении металлов и т. д.

Вместе с Дави и Берцелиусом Гроттус сыграл, несомненно, большую роль в установлении и развитии электрохимической теории, которая вплоть до 40-х годов XIX в. пользовалась широким распространением и всеобщим признанием.

Гроттус был исследователем с чрезвычайно сильно развитой научной фантазией. Многие его предположения, догадки, правда, не оправдались. Некоторые его наблюдения и положения оказались неправильными. Однако если учесть уровень знания того времени, ограниченность вспомогательных средств, недостаточное личное общение с другими исследователями, трудности получения литературы по исследуемым им вопросам, то нельзя не удивляться тем результатам, к которым пришел Гроттус в своих выдающихся научных исследованиях.

О. И. Соловьев

Академия наук СССР  
Институт истории  
естествознания и техники  
Москва

#### ЛИТЕРАТУРА

1. П. И. Вальден, Очерк истории химии в России, Одесса, 1917, стр. 435, 437, 460.
2. П. И. Вальден, Теории растворов в их исторической последовательности, Петерб., 1924, стр. 85—89.
3. Ф. Розенбергер, История физики, часть III, вып. 1, ОНТИ, М.—Л., 1935, стр. 123.
4. И. А. Каблуков, Очерки из истории электрохимии за XIX век, М., 1901.
5. В. Оствальд, История электрохимии, СПб., 1911.
6. П. С. Кудрявцев, История физики, Учпедгиз, М., 1948, стр. 415.
7. А. Н. Фрумкин, Успехи химии, 22, 355, 1953.
8. Allgemeine deutsche Zeitung im Russland, № 65, от 21 марта 1922 г.— Некролог Гроттуса.
9. J. Fr. v. Recke u. K. Ed. Napiersky, Allgemeines Schriftsteller- und Gelehrten-Lexikon der Provinzen Livland, Esthland und Kurland, Mitau, 1829.

\* Уже в 1818 г. Гроттус был принужден жаловаться, что он забыт как автор, в то время как его теория как «само собой понятная» перешла в учебники.

\*\* Идея о переносе электричества по Гроттусу и после появления теории электролитической диссоциации Аррениуса высказывалась неоднократно различными исследователями в области электрохимии растворов. Так, Данеэль [27] объяснял высокую подвижность ионов водорода и гидроксидов в растворе, в котором электролит растворитель имеют общие ионы, при помощи теории Гроттуса, т. е. путем обмена ионов внутри молекулы растворителя. Теория Гроттуса была применена Р. Лоренсом [28] для объяснения механизма переноса электричества в расплавленных солях, когда электролит и растворитель имеют общие ионы. Исключительно высокое значение подвижностей  $H^+$  и  $OH^-$ -ионов, в 3—5 раз превышающее подвижности всех других ионов в водных растворах, впоследствии неоднократно являлось предметом обсуждения [29—32].



10. R. Luther u. A. v. Oettingen, Abhandlungen über Elektrizität und Licht, T. Grotthuss. Ostwald's Klassiker, № 152, Leipzig, 1906.
11. O. Clemen, Arch. f. d. Gesch. d. Naturw. u. d. Technik, 7, 377, 1916.
12. K. Wagner, Zs. f. Naturwiss., 3, 119, 1936.
13. W. Ostwald, Elektrochemie. Ihre Geschichte und Lehre, Leipzig, 1896, стр. 307—317.
14. A. Zvironas, «Gamta», Kaunas, 3, 211, 1938.
15. Ф. Паккиани, Технол. журнал, 2, ч. 3, 138, 1805.
16. А. Шерер, Технол. журнал, 4, ч. 1, 94, 1807.
17. J. Ritter, Journ. f. Chem. u. Phys., 1, 410, 1801.
18. T. Grotthuss, Journ. f. d. Phys., Chem. u. Mineral, 7, 703, 1808.
19. Г. Дэви, О некоторых химических действиях электричества, Гос. технико-теорет. изд-во, М.—Л., 1933, стр. 60—61.
20. T. Grotthuss, S., Über die chemische Wirksamkeit des Lichtes und der Elektrizität, Leipzig, 1906 (Ostwald's Klassiker, № 152), стр. 94—181.
21. T. Grotthuss, Die Zersetzung des Wassers und der in ihm gelösten Körper durch galvanische Elektrizität, Leipzig, 1906 (Ostwald's Klassiker, № 152 стр. 3—12).
22. T. Grotthuss, Galvanische Beobachtungen, Ostwald's Klassiker, № 152, стр. 13.
23. A. Williamson, Lieb. Ann., 77, 45, 1851.
24. R. Glaucius, Pogg. Ann., 101, 338, 1857.
25. S. Arrhenius, Recherches sur la conductibilité galvanique des électrolytes., ч. I—II, Stockholm, 1884. См. также: Zs. f. phys. Chem., 1, 631, 1887.
26. Н. Любавин, Физическая химия, Спб., 1877.
27. H. Danneel, Zs. f. Elektrochem., 11, 249, 1905.
28. R. Lorenz, Zs. f. phys. Chem., 79, 63, 1912.
29. E. Hückel, Zs. f. Elektrochem., 34, 546, 1928.
30. М. С. Скапави-Григорьева. К вопросу об исключительной подвижности водородного и гидроксильного ионов в водных растворах. ЖРФХО, 60, 1459, 1928.
31. М. Дол, Основы теоретической и экспериментальной электрохимии, ОНТИ, 1937.
32. А. В. Измайлов, Журн. физ. химии, 29, 1725, 1955.

## СОВЕЩАНИЕ ПО ВОДОРОДНОМУ ОБМЕНУ

5—7 мая 1955 г. в Киеве при Институте физической химии им. Л. В. Писаржевского АН УССР состоялось дискуссионное совещание по механизму водородного обмена.

Изотопный обмен водорода привлекает особое внимание как наиболее простой и свободный от посторонних искажений случай весьма распространенных в химии реакций, связанных с перемещениями водорода. Механизм водородного обмена тесно связан со все еще неясным механизмом протолитических реакций (например, диссоциации кислот, гидролиза, кислотно-основного катализа), многих окислительно-восстановительных реакций органической химии, реакций гидрирования и др. Изучение водородного обмена в зависимости от строения молекул уже дало ряд важных результатов для теории химического строения. В СССР водородный обмен детально изучается в ряде лабораторий. При этом в представлениях о его механизме остались нерешенные вопросы и в некоторых случаях возникли противоречия. Совещание имело целью прояснить разные точки зрения и наметить пути дальнейших исследований в этой области.

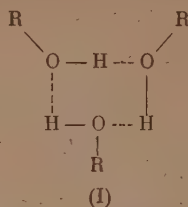
Ниже приводится краткое содержание сделанных на Совещании сообщений.

А. И. Шатенштейн (Москва) сообщил новые данные по обмену в ряде насыщенных углеводородов. Скорость обмена сильно зависит не только от кислотности среды, но и от ее диэлектрической постоянной, как показывает сравнение обмена в  $DF$ ,  $D_2O$ ,  $N_2D_4$  и  $ND_5$ . Электронно-акцепторные заместители ускоряют обмен с основными донорами и замедляют его с кислотами. Обратно действуют электронно-донорные заместители. Все эти данные указывают на то, что обмен в растворах идет по обычному механизму кислотно-основного катализа с промежуточным образованием реакционного комплекса за счет водородных связей. Его прочность и концентрация определяют скорость обмена. В предельных случаях комплексы распадаются на свободные сольватированные ионы. Обмен в насыщенных углеводородах не представляет исключений и не связан с окислением, как предполагает Д. Н. Курсанов. Например, циклопентан обменивается с  $DBr$ . Лишь в частном случае обмена с таким сильным окислителем, как  $D_2SO_4$ , обмен сопровождается окислением.

А. И. Бродский (Киев) изложил свои представления о механизме водородного обмена в растворе, который различен в зависимости от наличия или отсутствия соседних электронных пар около атома  $X$  в связи  $X-H$ . В первом случае не требуется разрыва ковалентных связей, энергия активации мала, обмен идет при всех условиях быстро и не связан с электролитической диссоциацией. Во втором случае (например, в связях  $C-H$ ) возможность и скорость обмена определяются строением, заместителями, кислотностью среды и др. Обмен этого типа идет разными путями, из которых наиболее типичны: через диссоциацию на ионы и через промежуточный электрофильный комплекс (диссоциативный и ассоциативный механизм). В подтверждение этих представлений докладчик привел в дополнение к прежним данным ряд новых из работ 1953/54 г. и, в частности, данные Кварта о неизмеримо быстром обмене между спиртами и водой в газовой фазе, где ионизационный механизм исключен. Докладчик указал на два случая, требующие дополнительного исследования: медленный обмен  $H_2$  с  $D_2O$  (Вестон и Бигельейзен) и  $H_2O$  с  $D_2O$  (В. В. Воеводский); однако для последнего Кварт нашел неизмеримо быстрый обмен.

Д. Н. Курсанов (Москва) привел новые данные, подтверждающие его предположение о механизме обмена насыщенных углеводородов с  $D_2SO_4$ , идущем лишь при наличии третичного углерода в молекуле. При этом путем перенесения реакционного центра обмениваются все атомы водорода в цепи до места включения в нее четвертичного углерода. Обмен идет по цепному механизму с инициированием цепей карбониевым ионом, образующимся при окислении третичного углерода. Этот механизм подтверждается сходством спектров третичных  $R_3CH$  и  $R_3COH$  в  $D_2SO_4$ , где нельзя ожидать никакого другого общего соединения, кроме иона  $R_3C^+$ . Стефенсен и сотр. предлагают другой механизм перенесения реакционного центра, по которому в обмене участвуют все атомы углерода, кроме третичного. Однако триметилгептан с  $D$  в третичном положении обменивает его с  $H_2SO_4$ . Обмен также идет с третичными  $H$  в 1,3,5-триметилциклопентане, где исключена изомеризация. В докладе приведены примеры облегчения обмена в результате  $\sigma-\pi$ -сопряжения (например, обмен  $\alpha-H$  в энантиоле и отсутствие его в триметилуксусном альдегиде) и подавления обмена в случаях, где  $\sigma-\pi$ -сопряжение подавлено конкуренцией с  $\pi-\pi$ -сопряжением.

Я. К. Сыркин (Москва) рассмотрел механизм обмена в соединениях типа  $\text{RON}$ . В растворах он не связан с диссоциацией и не требует ее. Докладчик предполагает промежуточное образование тримолекулярного комплекса (I) за счет водородных связей



Для константы равновесия реакции его образования  $3\text{RON} = (\text{RON})_3$  расчет дает

$$K_{\text{равн}} = 10^{-9} \exp(900/RT).$$

Для потенциального барьера перехода водорода в водородных связях методом молекулярных орбит вычисляется верхний предел 25 ккал/моль, что близко к величине экспериментально найденной И. П. Грагеровым и А. И. Бродским в бензингидроне, где барьер повышен из-за перестройки многих связей при переходе водорода. Наоборот в комплексе (I) барьер сильно снижен сопряжением трех электронов, движущихся по полю шести ядер («квазибензол»). С этой поправкой для скорости обмена вычислено

$$k = \frac{kT}{h} K_{\text{равн}} \exp(-E/RT) \approx 10^4 \exp(-6000/RT),$$

что обеспечивает наблюдаемый очень быстрый обмен.

Докладчик отмечает, что в образовании водородных связей свободные электронные пары не существенны, так как необходимая небольшая энергия в несколько ккал/моль может быть доставлена дипольными взаимодействиями.

Н. Д. Соколов (Москва) указал на несостоятельность чисто электростатической концепции водородной связи. Квантовомеханический расчет приводит к выводу о слабой донорно-акцепторной связи между H и B в комплексе  $\text{RA}-\text{H} \cdots \text{B}$ , обусловленной неподеленной электронной парой, наличие которой докладчик, в противоположность Я. К. Сыркину, считает необходимым для образования водородной связи. При переходе протона от A к B связь усиливается и имеет максимальную энергию в ионе  $\text{HBR}^+$ . Этот переход возможен лишь в полярных растворителях благодаря сольватации образующихся ионов. Если цепочка, образуемая водородными связями замкнута, то переход водорода не связан с образованием ионов и может происходить также в неполярных растворителях или в газовой фазе. Этим объясняются, например, реакции переноса протонов в бензоле, для которых раньше предполагали диссоциацию на ионы. Учет направленных валентностей и отталкивания атомов O приводит к выводу об энергетической невыгодности четверного комплекса, предложенного А. И. Бродским как одного из вариантов промежуточного комплекса при водородном обмене.

С. З. Рогинский (Москва) рассмотрел зависимость кинетики обмена от его механизма. Если все атомы водорода, участвующие в обмене, эквивалентны, то, как указал С. З. Рогинский еще в 1940 г., обмен идет по уравнению первого порядка с константой, определяемой концентрациями и видом кинетического уравнения реакции, ведущей к обмену. Эти же соотношения применимы к обмену в потоке, если время обмена заменить временем пребывания газа или раствора в реакционном сосуде. Изучение обмена в потоке позволяет измерять кинетику очень быстрых обменных реакций. Если обменивающиеся атомы водорода не эквивалентны, то получается система уравнений, сложное решение которой может быть упрощено применением тех же методов, как при решении уравнений распада в радиоактивном семействе. Последовательность реакций ступенчатого обмена дает уравнения, определяющие концентрации молекул с разными степенями изотопного замещения. При известных условиях практически получаются лишь полностью замещенные продукты. Докладчик отмечает, что кинетический анализ обмена может помочь выяснению его механизма и был недостаточно использован в ряде исследований по водородному обмену.

В. В. Воеводский (Москва) указал на применение обнаруженного им быстрого обмена углеводородных радикалов с  $\text{D}_2$  для индикации свободных радикалов. Этим путем им было показано, что окисление пропана и его крекинг в присутствии  $\text{NO}$  идут по радикальному механизму. В ряде случаев продукты обмена с  $\text{D}_2$  содержат меньше D, чем вычисленное количество для полного обмена. Это удовлетворительно объясняется первичным присоединением  $\text{D}_2$  к радикалу, после чего конкурируют реакции распада с отщеплением  $\text{HD}$  и с отнятием H второй молекулой, например  $\text{H}_3\text{C}-\text{D} \rightarrow \text{H}_2\text{CD}^* + \text{HD}$  или  $\text{H}_3\text{C}-\text{D} + \text{D}^* + \text{RH} \rightarrow \text{CH}_3\text{D} + \text{HD} + \text{R}^*$ .

Г. А. Разуваев (Горький) привел новые данные по изучению участия радикалов в реакциях элементоорганических соединений, проводимых в растворителях.

содержащих дейтерий. Дифенил, полученный от разложения  $P(C_6H_5)_5$  в  $C_6D_6$ , содержит D, что указывает на участие фенильного радикала из бензола в его образовании. В противоположность этому, фоторазложение дибензилтриту в  $C_6D_5CH_3$  дает п-дибензил. Это различие между фенильным и бензильным радикалами исчезает в катионах: дифенилнатрий так же легко обменивает водород с  $C_6D_6$ , как дибензил с  $C_6D_5CH_3$ . Дибензил, полученный облучением  $C_6H_5CH_2J$  в присутствии  $CuI_2CH_3$ , содержит D вследствие реакции  $J + C_6D_5CH_3 \rightarrow HJ + C_6D_5CH_2J$ . В реакции  $2C_6H_5CH_2Br + 2Na \rightarrow (C_6H_5CH_2)_2 + 2NaBr$ , проводимой в  $C_6D_5CH_3$ , получается дибензил также содержит D, что указывает на промежуточное образование бензила, реагирующего с толуолом.

О. Р. Скарре (Днепропетровск) нашел, что в янтарной, адипиновой и азелаиновых кислотах обе пары  $\alpha - H$  обмениваются с  $D_2O$  с разными скоростями, а в солях различий нет, но кинетическая кривая имеет S-образную форму. Это было объяснено наличием консективных реакций обмена и неэквивалентностью четырех H в кислотах.

В дополнение к этим основным докладам были сделаны следующие более краткие сообщения.

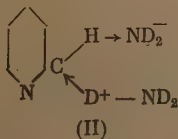
В. Н. Сеткина (Москва) сообщила, что, в отличие от насыщенных углеводов с третичным C, соли карбония обменивают с концентрированной  $D_2SO_4$  лишь первичные атомы. Здесь  $(+)$  — центр карбониевого иона не перемещается по цепи из-за соседства карбонильной с неподеленной электронной парой на его кислороде. В отличие Д. Н. Курсанова существенно участие карбониевого иона, а не его происхождения, которое может быть не только от окисления. При обмене  $DBr + AlBr_3$  соль обменивает H от углеводорода, что ведет также к образованию карбониевого иона. Таким образом, и этот случай укладывается в рассматриваемый механизм, тогда как кислотная схема не объясняет роли третичного углерода в обмене у насыщенных углеводов.

Э. Н. Парнес (Москва) привела ряд примеров влияния  $\sigma - \pi$ -сопряжения на одородный обмен в метильной группе кетонов типа  $CH_3 - CO - A$ . При наличии одоро конкурирующего сопряжения (например, при  $A = N(CH_3)_2$ ) обмен не идет. Введение  $NO_2$  в бензольное ядро ацетофенона ускоряет обмен, так как уменьшается сопряжение  $C = O$  с  $C - A$  и увеличивается подвижность метильной группы. Аналогичные соотношения были раньше найдены Г. П. Миклухиным для обмена ацетатов с  $D_2O$ . Вообще, чем больше электронно-акцепторных свойств A, тем легче идет обмен в метильной группе. Влияние заместителей на обмен в кетонах симбатно их влиянию на константу диссоциации замещенных бензойных кислот, что отвечает ионизационному механизму обмена.

Г. П. Миклухин (Киев) привел дальнейшие примеры влияния  $\sigma - \pi$ -сопряжения на обмен. Ацетаты дают по скорости обмена с  $CH_3COOD$  ряд, противоположный ряду по обмену с  $D_2O$ . Это связано с сопряжением: оно создает  $(-)$ -заряд на кислороде группы  $C = O$ , что затрудняет образование ионного иона, через который идет обмен. Аналогичные явления были найдены для обмена серы в соединениях, содержащих группу  $C - S$ .

Сообщения вызвали оживленную дискуссию, которая ниже приводится в сильно сокращенном виде.

Е. А. Шолов (Киев). В сообщениях слишком мало внимания уделено тримолекулярному донорно-акцепторному механизму. Обмен между пиридином и  $ND_3 + ND_2^-$  может идти по схеме (II). Этот механизм объясняет большое число опытных данных в аналитической химии. Так же недостаточно внимания уделено промежуточным замкнутым циклам, в которых перемещение водорода может происходить адиабатически и этому энергетически выгодно.

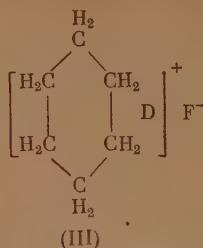


М. И. Темкин (Москва). Характерное отличие ионного механизма — ямка на вершине потенциального барьера. Высота последнего не определяется прочностью комплекса, который, таким образом, не определяет скорости обмена. Хотя большинство все склоняется к молекулярному механизму обмена, но влияние диэлектрической постоянной и ряд других факторов, приведенных А. И. Шатенштейном, указывают на то, обмен может также идти по ионизационному механизму.

Я. М. Варшавский (Москва). Окислительный механизм обмена в насыщенных углеводородах — лишь частный случай для  $D_2SO_4$ . Обмен в циклогексане и других соединений с  $DF$  идет в условиях, исключающих окисление. Можно предположить, что в насыщенных углеводородах образование комплексов с формально пятивалентным



углеродом, подобным обнаруженному недавно в ИФХ АН УССР иону  $\text{CH}_5^+$ . Например в диклогексане с DF возможен комплекс (III).



Правильно проводить качественное различие между молекулярным и ионным механизмом, как это делает А. И. Бродский. Кислотно-основной механизм не охватывает всех случаев.

Г. П. Миклухин (Киев). Переход гидридного аниона в сильно кислой среде, требуемый механизмом Д. Н. Курсанова, мало вероятен. Роль окисления можно было бы подтвердить влиянием добавок окислителей и восстановителей на скорость обмена в  $\text{D}_2\text{SO}_4$ . Представления А. И. Бродского о роли свободных электронных пар должны быть дополнены. При малой электроотрицательности атома X в связи X — обмен, вероятно, может быть медленным и при наличии свободных электронных пар. По предварительным данным обмен в системе  $\text{C}_6\text{H}_5\text{SH} + \text{D}_2\text{O}$  имеет измеримую кинетику при комнатной температуре. Представления А. И. Штенштейна следует дополнить тримолекулярным механизмом.

В. В. Воеводский. Сейчас еще рано говорить об опровержении Кварта медленного обмена  $\text{H}_2\text{O}$  с  $\text{D}_2\text{O}$  в жидкой фазе. Найденный им быстрый обмен можно объяснить каталитическим эффектом стенок кюветки спектрофотометра, в которую выпускались анализируемые пары. В опытах Г. А. Разуваева отличие  $(\text{C}_6\text{H}_5)_2\text{Hg}$  ( $\text{C}_6\text{H}_5\text{CH}_2$ ) $_2\text{Hg}$  возможно вызвано тем же «эффектом клетки», которым Шварц объясняет влияние добавок хинона на состав продуктов распада диацетилперекиси, где также konkurруют димеризация радикалов и их взаимодействие с растворителем.

М. И. Кабачник (Москва). Диссоциация кислот может протекать очень быстро. Поэтому в механизме быстрого обмена А. И. Бродского она может также вести к обмену одновременно с обменом через молекулярный комплекс. В. В. Воеводский, вероятно, прав в том, что быстрый обмен  $\text{H}_2\text{O}$  с  $\text{D}_2\text{O}$  в парах обязан каталитическому эффекту. Например, пары Hg сильно катализируют эпюлизацию в газовой фазе.

Х. С. Багдасарян (Москва). Четверной комплекс, как отметил Н. Д. Соловьев, энергетически невыгоден, если не учтена делокализация электронных пар. При ее учете такой комплекс вполне вероятен.

А. И. Штенштейн. В ряде случаев (например,  $[\text{C}_6\text{H}_5]_2$  в  $\text{ND}_3 + \text{ND}_3$ ) обмен идет очень быстро в отсутствие свободных электронных пар, что не согласуется с классификацией механизмов А. И. Бродского. Не следует сводить ассоциативный механизм к электрофильному, так как известно много случаев, когда комплекс образуется путем нуклеофильного замещения. Основной классификационный признак — электрофильность или нуклеофильность реагента. Это также не учтено Д. Н. Курсановым, согласно которому (+) — заряд на углероде вызывает подвижность протона соседней молекуле. На самом деле, в кислой среде этот (+) — заряд должен замедлять обмен.

А. И. Бродский. Приведенный А. И. Штенштейном пример с бензолом опровергает, а подтверждает предложенную концепцию, так как этот обмен идет очень быстро лишь в сильноосновной среде и вовсе не идет в  $\text{D}_2\text{O}$ . Суть различий обоих механизмов не в скорости обмена, а в том, как она зависит от строения, заместителей и кислотности донора. Относительно ассоциативного механизма расхождение вызвано отчасти терминологическими различиями. В данном случае то, что А. И. Штенштейн называет нуклеофильным замещением, было названо электрофильным комплексом. Однако нуклеофильное замещение с отщеплением гидридного иона было бы правдоподобно при водородном обмене лишь в специальных случаях (высокая концентрация крайних сильных щелочей). Относительно четверного комплекса и дискуссии о его энергетической выгодности нужно отметить, что он был приведен лишь как простейший иллюстративный пример. Вопрос о строении комплекса в докладе не затрагивался. Спор о быстром или медленном обмене  $\text{H}_2\text{O}$  с  $\text{D}_2\text{O}$  сейчас бесполезен, так как он не может быть решен без дополнительных опытных данных. В замечаниях Г. П. Миклухина нет экспериментальных данных, которые указывали бы на доминирующую роль электроотрицательности при наличии свободных и инертных электронных пар. Замедленный обмен в  $\text{D}_2\text{S}$  легко объяснить блокировкой пар при образовании полисульфидных ко-

ков. Сделанное З. Н. Парнес сопоставление влияния заместителей на обмен и на силу кислот сомнительно. Подробное сопоставление силы кислоты обнаруживает отсутствие непосредственной связи между ней и электронно-донорными или акцепторными свойствами заместителей.

Я. К. Сыркин. Действительно, влияние заместителей на  $\Delta H$  кислот не определяет их силы, так как она зависит в большой степени и от  $\Delta S$ . Распад  $\text{CH}_3\text{COOH}$  ионы энергетически очень выгоден, но это — слабая кислота из-за сильно отрицательного  $\Delta S = 22,4$ . Для получения связи силы кислот со строением нужно изучать влияние заместителей на  $\Delta S$ . Образование четырехчленных и других комплексов вполне возможно, и в докладе был рассмотрен шестичленный комплекс лишь потому, что в новых работах его часто принимают (диспропорционирование гидразобензола, тропиз ацетилхлорида, реакция трифенилхлорметана с метиловым спиртом и др.). Последнее время преувеличивают роль карбониевого иона в реакциях без достаточных тому оснований. Это относится и к механизмам водородного обмена.

По докладу Н. Д. Соколова нужно отметить, что водород перемещается в водородной связи в виде атома, а не протона. Нейтрализация в водном растворе также идет путем переноса электрона, а не протона, а водород переходит от растворителя. Неполная электронная пара во многих случаях затрудняет образование связи, а не облегчает его; поэтому роль свободных пар в водородной связи Н. Д. Соколовым увеличена.

Н. Д. Соколов. Я. К. Сыркин был бы прав, если бы в водородной связи действительно перемещался атом Н, но из смещений в оптических спектрах видно, что перемещается протон, и электронная пара имеет решающее значение в водородной связи. Последняя образуется именно в тех случаях, где возможен перенос протона, и ее существование обусловлено таким переносом.

В заключение на Совещании была рассмотрена и принята программа дальнейших исследований по механизму водородного обмена в тех лабораториях, где этот вопрос изучается.

А. Б.



## БИБЛИОГРАФИЯ

Ан. Н. Несмеянов, А. В. Лапицкий и Н. П. Руденко. *Получение радиоактивных изотопов*, М., Госхимиздат, 1954 г., цена 16 р. 50 к., тир. 10 000, отв. редактор А. А. Векслер

Книга Ан. Н. Несмеянова, А. В. Лапицкого и Н. П. Руденко «Получение радиоактивных изотопов» предназначена, как это следует из предисловия, служить пособием для лиц, изучающих и применяющих радиоактивные изотопы. Наиболее существенной частью книги является таблица изотопов со схемами их радиоактивного распада. Табличный материал составляет около трех четвертей книги, и качество его является в значительной мере решающим при окончательном определении научной ценности ценируемого пособия.

Тем не менее необходимо остановиться на первой части книги, в которой изложены некоторые основные сведения по радиохимии и дана сводка основных методов получения и изолирования радиоактивных изотопов. Эта часть книги явно носит на себе печать поспешности и совершенно неудовлетворительного редактирования. Мы ограничимся здесь несколькими примерами, число которых можно было бы умножить без особого труда.

На стр. 11 сказано: «исключение составляет процесс испускания  $\gamma$ -квантов в изомерном переходе (энергия  $\gamma$ -квантов мала) и процесс испускания электронов (энергия электронов меняется от 0 до  $\epsilon_{\text{макс}}$ ), а нейтрино вылетают по отношению к электрону под различными углами, при которых энергия отдачи может быть недостаточна для разрыва химической связи». Даже если закрыть скобки после слова «углами», а не по  $\epsilon_{\text{макс}}$ , то все же фразу никак нельзя считать удачной.

На следующей странице, двенадцатой, мы читаем: «Образование электрона в результате конверсии увеличивает энергию отдачи для  $\text{Br}^{80}$  до 0,034 eV и на очень короткое время повышается заряд ядра (*разрядка наша*), вызывает испускание электронов Оже. Решающее влияние оказывает перемещение электронов на более внутренние орбиты и образование благодаря этому иона радиоактивного ядра». Весь этот абзац написан совершенно неудовлетворительно и способен лишь ввести в заблуждение неспециалиста.

На стр. 16 без всякого пояснения говорится о процессе  $(x, x)$ , что, очевидно, означает тождественность бомбардирующей и вылетающей частицы. Впрочем про  $(n, n)$  рассматривается особо. С определением процесса обогащения, данным автором (та же стр. 16), трудно согласиться.

На стр. 19 встречаются стилистически неудачные выражения. Например, «методы соосаждения с изотопным носителем нельзя получить радиоактивных изотоп без сителя» (явный тавтологизм), «количественно это правило выражается законом Хилла» (*разрядка наша*). Странно звучит утверждение, что «вблизи поверхности сорбента собираются ионы определенного знака, а вокруг этого слоя собирается слой ионов противоположного знака» (стр. 21).

На стр. 22 указано, что «е — работа переноса иона из двойного слоя в раствор абсолютной температуре» (!).

Обращаясь к пятой главе книги, трактующей методы получения и выделения радиоактивных изотопов, мы прежде всего должны указать на крайне неудобную для пользования систему расположения литературных ссылок, посвященных отдельным изотопам, приведенных без всякого порядка в оглавлении параграфов. Таким образом, читатель далеко не сразу находит нужный ему литературный источник. Кроме того, некоторые ссылки повторяются под различными номерами несколько раз. Например, ссылка на статью Панета и Фея [Journ. Chem. Soc. 384 (1936)] фигурирует под номерами 197 и 215. Точно так же совпадают и ссылки 268 и 274, 316 и 321 и т.д.

Изложение оригинальных работ не во всех случаях проведено должным образом. На стр. 31 написано, что «другим способом служит экстракция  $\text{Ca}^{45}$  из солянокислого раствора (с  $\text{pH} = 8$ )» (!). В случае описания методов получения радиомаганца описан тот же химический метод выделения описан дважды. Реакция  $\text{Sr}^{88}(d, 2n)$  не может приводить к  $\text{Y}^{91}$  (стр. 38) — здесь явная опечатка.

Описание метода получения  $\text{Cs}^{131}$  (стр. 44) дано в искаженном виде. Цезий не оседает (как это сказано в рецензируемой книге) с гидроксидом лантана.

Основной частью монографии Ан. Н. Несмеянова, А. В. Лапицкого и Н. П. Руденко безусловно являются таблицы изотопов, составляющие вместе с другими справочными материалами немногим более двух третей книги. Потребность в справочном материале по физике и химии ядра чрезвычайно велика. Необычайно быстрое разви-

радиологических наук, громадное число публикуемых в этой области знания работ требуют необходимым непрерывное периодическое переиздание соответствующих справочников и в первую очередь именно таблиц изотопов. Поэтому большую работу, предложенную авторами в этом направлении, следует всячески приветствовать. Но и в этой значимой части есть ряд редакционных небрежностей. Не все литературные ссылки являются верными, инициалы и фамилии авторов некоторых работ искажены — достаточно указать, что Ю. В. Хольнов трижды цитируется как Ю. В. Холопов (!?).

В схемах распада отсутствуют [например, в случае  $Pb^{212}$  ( $ThB$ )] соответствующие указания на известные переходы, и наоборот (случай  $Sb^{124}$ ), указаны  $\gamma$ -линии, присутствие которых не подтверждено в ряде работ до 1 января 1954 г. (срок, указанный в цитации авторами таблиц).

Есть опечатки и в самом цифровом материале. Список опечаток в конце книги мал и достаточно велик, но далеко не полон. Все это лишний раз указывает на слабую авторскую работу.

Таблицы изотопов должны быть переизданы с соответствующими исправлениями, рационально отделить от текстовой части, не имеющей к ним непосредственного отношения, и, может быть, снабдить диаграммой Сегре. В этом случае, подобный справочник явится существенным пособием при радиохимических исследованиях.

*И. Е. Старик, А. Н. Мурин и В. Д. Нефедов*

---



## СОДЕРЖАНИЕ

|  |     |
|--|-----|
| А. И. Финкельштейн и В. И. Заграничный. Спектры поглощения производных триазина в ультрафиолетовой области . . . . .   | 197 |
| А. А. Воробьев и А. Ф. Калганов. К вопросу о связи электрической прочности жидких диэлектриков с их физико-химическими свойствами . .  | 198 |
| Х. Р. Рустамов, Т. А. Кудрявцева и Н. М. Чирков. Алкилирование бензола олефинами. I . . . . .  | 199 |
| Д. Н. Шигорин и Н. С. Докунихин. Природа водородной связи и ее влияние на колебательные и электронные спектры молекул . . . . .  | 197 |
| А. Д. Степухович и Е. И. Этингер. Стерические факторы элементарных обратимых реакций взаимодействия Н- и $\text{CN}_2$ -радикалов с простейшими олефинами . . . . .                        | 197 |
| В. Б. Коган. К вопросу о свойствах трехкомпонентных азеотропных смесей, образованных компонентами с ограниченной взаимной растворимостью .   | 198 |
| Н. И. Кобозев. О физическом истолковании уравнений де-Бройля . . . . .   | 199 |
| Г. М. Бартенев. К теории вязкости и пластичности аморфных веществ и дисперсных систем . . . . .  | 200 |
| С. С. Васильев. Кинетика возбуждения молекул электромагнитными и механическими волнами. I. Значение циклизации свободной энергии при возбуждении молекул в структурных ансамблях . . . . . | 201 |
| О. В. Травин и Л. А. Шварцман. Кинетика переноса серы из чугуна в шлак системы $\text{CaO} - \text{Al}_2\text{O}_3$ . . . . .  | 203 |
| В. В. Фомин, Л. Н. Федотова, В. В. Синьковский и М. А. Андреева. Изучение хлоридных комплексов кадмия при помощи анионитов . . . . .   | 204 |
| Т. И. Андрианова. Крекинг н-октана на алюмосиликатном катализаторе .   | 204 |
| Л. С. Палатник и А. И. Ландау. Исследование процессов, протекающих с изменением числа степеней свободы, в многокомпонентных гетерогенных системах. II . . . . .                            | 205 |
| В. М. Кожин и А. И. Китайгородский. Низкотемпературные исследования структуры ароматических соединений. IV. Анизотропия теплового расширения в бензоле . . . . .                           | 207 |
| К. В. Топчиева и К. Юн-Пин. О механизме каталитической дегидратации этилового спирта и диэтилового эфира . . . . .   | 207 |
| А. Н. Зеликман и О. Е. Крейн. Исследование термической диссоциации дисульфида молибдена . . . . .  | 208 |

## Дискуссия

|  |     |
|--|-----|
| Г. К. Боресков. Величина поверхности и каталитическая активность платины, нанесенной на силикагель . . . . . | 208 |
| М. Х. Карапетянц. Ответ на письмо А. Ф. Капустинского . . . . .  | 209 |

## Письма в редакцию

|  |     |
|--|-----|
| Н. А. Шишаков. О мозаичных блоках кристаллического и плавленого кварца . . . . . | 209 |
|--|-----|

## Хроника

|   |     |
|---|-----|
| Ю. И. Соловьев. Т. Гроттус и его теория электролиза (к 150-летию первой теории электролиза) . . . . . | 209 |
| Совещание по водородному обмену . . . . .   | 210 |

## Библиография

|   |      |
|---|------|
| И. Е. Старик, А. Н. Мурин и В. Д. Нефедов. Рецензия на книгу Ая. Н. Несмеянова, А. В. Ланицкого и Н. П. Руденко. «Получение радиоактивных изотопов» . . . . . | 2110 |
|---|------|